

## Übungen zur Vorlesung NUMERISCHE BILDVERARBEITUNG

Übungsblatt 13 , Abgabe: 28.01.1991 , 15.00 Uhr, in den Kästen 58, 59

---

### Aufgabe 41:

Sei  $A : L_2(X) \rightarrow \mathbb{C}^m$  gegeben durch

$$(Af)_k = (f, u_k), \quad k = 1, \dots, m$$

mit gewissen linear unabhängigen  $u_k \in L_2(X)$ . Sei  $f_\omega$  die Tychonoff-Phillips-Lösung zu  $Af = g$ . Geben Sie eine Funktion  $\delta_\omega(x, y)$  an, so daß

$$f_\omega(x) = \int_X f(y) \delta_\omega(x, y) dy .$$

### Aufgabe 42:

Sei  $R$  die Radon-Transformation.

Zeigen Sie: Für  $f \in S(\mathbb{R}^n)$  ist

$$R^* R f(x) = |S^{n-2}| \int_{\mathbb{R}^n} \frac{f(y)}{|x-y|} dy ,$$

wobei  $S^n$  die Oberfläche der  $n$ -dimensionalen Einheitskugel ist (also  $S^0 = 2$ ,  $S^1 = 2\pi$  usw.). Falls Ihnen das zu schwierig vorkommt, beschränken sie sich auf den Fall  $n = 2$ .

### Aufgabe 43:

Zeigen Sie: Für gerades  $g \in S(\mathbb{Z})$  ist

$$(R^* g)^\wedge(\xi) = 2(2\pi)^{(n-1)/2} |\xi|^{1-n} \hat{g}\left(\frac{\xi}{|\xi|}, |\xi|\right) .$$

Hierbei ist  $\hat{g}$  die eindimensionale Fourier-Transformation bzgl. der ersten Variablen.

Hinweis: Gehen Sie aus von

$$\int_{\mathbb{R}^n} R^* g f dx = \int_{\mathbb{Z}} g R f d\Theta ds$$

und berechnen Sie  $(R^* g)^\wedge$  als Fourier-Transformation der Distribution  $R^* g \in S'(\mathbb{R}^n)$ .

## Übungen zur Vorlesung NUMERISCHE BILDVERARBEITUNG

Übungsblatt 10 , Abgabe: 07.01.1991 , 15.00 Uhr, in den Kästen 58, 59

---

### Aufgabe 32:

Seien  $\mu_k(f)$  die zentrierten Momente von  $f$ .

Zeigen Sie, daß

$$\rho_2(f) = (\mu_{20}(f) - \mu_{02}(f))^2 + 4\mu_{11}^2(f)$$

invariant gegenüber Bewegungen ist.

### Aufgabe 33:

Sei  $\Gamma : x = \gamma(s)$ ,  $0 \leq s \leq L$ , eine zweimal stetig differenzierbare Kurve im  $\mathbf{R}^2$  ohne singuläre Punkte. Der Parameter  $s$  sei die Bogenlänge. Sei  $\phi(s)$  der (kleinere) Winkel zwischen der Tangente an  $\Gamma$  in  $\gamma(s)$  und einer festen Geraden, und sei  $k(s) = \left| \frac{d}{ds} \phi(s) \right|$  die Krümmung von  $\Gamma$  in  $\gamma(s)$ . Sei

$$\hat{k}_\ell = \int_0^L k(s) e^{-2\pi i \ell s / L} ds, \quad \ell \in \mathbf{Z}$$

- Drücken Sie  $\hat{k}_\ell$  durch  $\gamma$  aus.
- Zeigen Sie, daß  $\hat{k}_\ell$  affin invariant ist.

### Aufgabe 34:

Für  $p > 0$  gerade sei  $\Gamma$  der Polygonzug mit  $p$  Ecken  $a_0, \dots, a_{p-1}$ , der für  $p = 8$  und  $p = 16$  unten abgebildet ist.

- Berechnen Sie die Fourier-Deskriptoren  $|\hat{a}_k|$ ,  $k = 0, \dots, p-1$  von  $\Gamma$ .
- Zeigen Sie: Sind  $|\hat{b}_k|$  die Fourier-Deskriptoren eines weiteren Polygonzugs  $\Gamma'$  mit  $p$  Ecken und ist  $|\hat{b}_k| = |\hat{a}_k|$ ,  $k = 0, \dots, p-1$ , so liegen die Ecken von  $\Gamma'$  je zur Hälfte auf zwei konzentrischen Kreisen mit Radius 1 zwischen 1 und  $r$  einschließlich. Hat einer der Kreise den Radius 1 oder  $r$ , so stimmen  $\Gamma$  und  $\Gamma'$  bis auf Rotation überein.

Innerer Kreis : Radius 1  
Äußerer Kreis : Radius  $r > 1$

$$p = 8$$

$$p = 16$$

## Übungen zur Vorlesung NUMERISCHE BILDVERARBEITUNG

Übungsblatt 9 , Abgabe: 17.12.1990 , 15.00 Uhr, in den Kästen 58, 59

---

### Aufgabe 30:

Sei  $\phi \in C^\infty[0, \infty)$  eine Funktion mit folgenden Eigenschaften:

1)

$$\int_0^\infty |\phi(s)s| ds < \infty, \quad \int_0^\infty \phi(s)s ds \neq 0.$$

2) Gilt für ein integrierbares  $h$  mit kompaktem Träger

$$\int_0^\infty \phi(\rho s)h(s) ds = 0, \quad 0 \leq \rho < \infty,$$

so ist  $h = 0$ .

Die Funktion  $\phi(s) = e^{-s}$  ist ein Beispiel einer solchen Funktion. Sei  $f_0$  eine radiale Funktion in  $\mathbf{R}^2$  mit  $|\hat{f}_0(\xi)| = \phi(|\xi|)$  und sei  $F$  die Menge aller Funktionen, die durch eine affine Transformation aus  $f_0$  hervorgehen.

Zeigen Sie:

- (a) Sind  $f, g \in F$  und ist  $N_f = N_g$ , so geht  $f$  aus  $g$  durch eine Bewegung hervor.
- (b) Sind  $f, g \in F$  und ist  $P_f = P_g$ , so geht  $f$  aus  $g$  durch Streckung, eventuell Spiegelung, eventuell Punktspiegelung, und eine Translation hervor.
- (c)  $T_f$  ist konstant auf  $F$ .

Hinweis: Jede  $(n, n)$ -Matrix  $A$  läßt sich in der Form  $A = UDV$  schreiben mit unitären Matrizen  $U, V$  und einer Diagonalmatrix  $D$  mit nichtnegativen Elementen.

### Aufgabe 31:

- (a) Sei  $f \in \mathcal{S}(\mathbf{R}^2)$ . Sei  $(Rf)^\wedge$  die eindimensionale Fourier-Transformation von  $Rf$  bezüglich des zweiten Arguments, und sei  $\hat{f}$  die zweidimensionale Fourier-Transformation von  $f$ .

Zeigen Sie:

$$(Rf)^\wedge(\Theta, \sigma) = (2\pi)^{1/2} \hat{f}(\sigma\Theta), \quad \sigma \in \mathbf{R}^1, \quad \Theta \in \mathcal{S}^1.$$

- (b) Benutzen Sie (a), um einen Algorithmus zur Suche nach Geraden in einem  $N \times N$ -Bild zu konstruieren, welcher mit  $O(N^2 \log N)$  Operationen auskommt.

## Übungen zur Vorlesung NUMERISCHE BILDVERARBEITUNG

Übungsblatt 8 , Abgabe: 10.12.1990 , 15.00 Uhr, in den Kästen 58, 59

### Aufgabe 28:

Sei  $H_p$  die Hadamard-Matrix der Ordnung  $N = 2^p$  aus Aufgabe 26 (b). Zeilen und Spalten von  $H_p$  seien mit den Nummern  $0, \dots, N-1$  bezeichnet. Die Dualdarstellung von  $i \in \{0, \dots, N-1\}$  sei  $(i_{p-1}, \dots, i_0)$ , also  $i = i_0 + 2i_1 + \dots + 2^{p-1}i_{p-1}$  mit  $i_\ell \in \{0, 1\}$ .

- (a) Zeigen Sie, daß  $H_p$  für jedes  $i \in \{0, \dots, N-1\}$  genau eine Zeile mit genau  $i$  Zeichenwechseln gibt.
- (b) Die Abbildung  $z$  von  $\{0, \dots, N-1\}$  in sich selbst sei erklärt durch

$$\begin{aligned} z_0(i) &= i_{p-1} \\ z_\ell(i) &= i_{p-\ell} + i_{p-\ell-1} \pmod{2}, \quad \ell = 1, \dots, p-1. \end{aligned}$$

Zeigen Sie, daß  $H_p$  in Zeile  $z(i)$  genau  $i$  Zeichenwechsel hat.

- (c) Sei  $f = (f_0, \dots, f_{N-1})^T$ ,  $g = (g_0, \dots, g_{N-1})^T$  und  $g = H_p f$ .

Zeigen Sie, daß

$$g_i = \sum_{j=0}^{N-1} (-1)^{i_0 j_0 + \dots + i_{p-1} j_{p-1}} f_j, \quad i = 0, \dots, N-1.$$

- (d) Sei  $H = H_p \otimes H_p$  die zweidimensionale Hadamard-Matrix,

$$f = (f_{00}, f_{01}, \dots, f_{N-1, N-1})^T,$$

$$g = (g_{00}, g_{01}, \dots, g_{N-1, N-1})^T$$

und  $g = Hf$ .

Wie lautet die (c) entsprechende Formel?

### Aufgabe 29:

Sei  $K$  die  $(N, N)$ -Matrix

$$K = \begin{pmatrix} 1 & \rho & \rho^2 & \dots & \rho^{N-1} \\ \rho & 1 & \rho & \dots & \rho^{N-2} \\ & \vdots & & & \\ \rho^{N-1} & \dots & & & 1 \end{pmatrix}$$

- (a) Zeigen Sie, daß

$$\det(K) = (1 - \rho^2)^{N-1}, \quad N = 1, 2, \dots$$

- (b) Schließen Sie aus (a), daß  $K$  für  $|\rho| < 1$  positiv definit ist.

- (c) Sei  $f = (f_1, \dots, f_N)^T$  ein Bild mit  $K_f = K$ . Sei  $U$  eine unitäre  $(N, N)$ -Matrix, deren erste Spalte konstant ist. Dann gilt für  $M > 0$

$$\lim_{\rho \rightarrow 1} E \|f - f^M\|^2 = 0 .$$

Hinweis: (a) Entwickeln Sie nach der ersten Zeile.

(b) Sehen Sie sich die Hauptminoren an, vgl. *Lorenz, LA II*, S. 69.

## Übungen zur Vorlesung NUMERISCHE BILDVERARBEITUNG

Übungsblatt 7 , Abgabe: 03.12.1990 , 15.00 Uhr, in den Kästen 58, 59

---

### Aufgabe 24:

Sei  $f = (f_1, \dots, f_\nu)$  ein Bild mit

$$E f_k = \mu, \quad \rho(f_k, f_{k+1}) = \rho.$$

Sei  $\hat{f}_{k+1} = \alpha f_k + \beta$  eine Schätzung für  $f_{k+1}$  und  $d_k = \hat{f}_k - f_k$ .

Zeigen Sie:

- (a)  $E(d_{k+1}^2)$  ist minimal für  $\alpha = \rho$ ,  $\beta = (1 - \rho)\mu$ .
- (b) Sind  $\alpha, \beta$  wie in a) gewählt, so sind  $d_k, d_{k+1}$  unkorreliert.
- (c) Sind  $\alpha, \beta$  wie in a) gewählt, so ist  $E d_{k+1} = 0$ .

### Aufgabe 25:

Die Transformation  $q = Uf$  mit der  $(N, N)$ -Matrix

$$U_{k\ell} = \sqrt{\frac{2}{N+1}} \sin \frac{k\ell\pi}{N+1}, \quad k, \ell = 1, \dots, N$$

heißt Sinus-Transformation.

- (a) Zeigen Sie, daß  $U$  unitär ist.
- (b) Zeigen Sie, daß  $U$  die Karhunen-Loève- Transformation für die Kovarianzmatrix

$$K = \begin{pmatrix} 1 & \rho & & & \\ \rho & 1 & \rho & & \\ & \rho & 1 & \rho & \\ & & & \ddots & \\ & & & \rho & 1 \end{pmatrix}, \quad 0 \leq |\rho| \leq \frac{1}{2}$$

ist. Bestätigen Sie, daß  $K$  positiv definit ist.

- (c) Schreiben Sie mit Hilfe von dft ein Programm dst zur schnellen Sinus-Transformation.

**Aufgabe 26:**

Eine  $(N, N)$ -Matrix heißt Hadamard-Matrix der Ordnung  $N$ , wenn sie orthogonal ist und als Elemente nur  $+1$  und  $-1$  enthält.

(a) Zeigen Sie: gibt es eine Hadamard-Matrix der Ordnung  $N > 2$ , so ist  $N$  durch 4 teilbar.

(b) Sei

$$H_1 = \begin{pmatrix} 1 & 1 \\ 1 & -1 \end{pmatrix}, \quad H_{p+1} = H_1 \otimes H_p, \quad p = 1, 2, \dots$$

Zeigen sie, daß  $H_p$  eine Hadamard-Matrix der Ordnung  $2^p$  ist und berechnen Sie  $H_p^{-1}$ .

(c) Zeigen sie: Für die in (b) definierten Hadamard-Matrizen der Ordnung  $N = 2^p$  gibt es einen Algorithmus, der mit  $N \log_2 N$  Additionen/Subtraktionen auskommt.

**Aufgabe 27:**

Seien  $U_1, U_2$  die Karhunen-Loève-Transformationen für die positiv definiten Kovarianz-Matrizen  $K_1$  bzw.  $K_2$ .

Zeigen Sie: Dann ist  $K = K_1 \otimes K_2$  ebenfalls positiv definit und hat die Karhunen-Loève-Transformation  $U_1 \otimes U_2$ .



## Übungen zur Vorlesung NUMERISCHE BILDVERARBEITUNG

Übungsblatt 6 , Abgabe: 26.11.1990 , 15.00 Uhr, in den Kästen 58, 59

---

### Aufgabe 20:

Sei

dft(float \* x, int p, int sign)

bzw.

Procedure dft(VAR X : ARRAY OF REAL;CARDINAL p; INTEGER sign);

ein Programm für die eindimensionale diskrete Fourier-Transformation der Länge  $p$ , d.h. das Feld  $x[0], \dots, x[p-1]$  wird für  $\text{sign} = 1$  mit

$$\hat{x}[k] = \frac{1}{p} \sum_{j=0}^{p-1} e^{-2\pi ijk/p} x[j]$$

und für  $\text{sign} = -1$  mit

$$\tilde{x}[k] = \sum_{j=0}^{p-1} e^{2\pi ijk/p} x[j]$$

überschrieben. Schreiben Sie mit Hilfe von dft ein Programm

dft2(float \* x, int p, int sign)

bzw.

Procedure dft2(VAR x : ARRAY[1..MAX,1..MAX]  
OF REAL;CARDINAL p;INTEGER sign);

zur zweidimensionalen Fourier-Transformation der Länge  $p$ .

### Aufgabe 21:

Schreiben Sie unter Benutzung der Programme der Aufgabe 20 Programme

conv(float \* y, float \* w, float \* z, int p)

bzw.

Procedure conv(VAR x,w,z : ARRAY OF REAL;CARDINAL p)

und

conv2(float \*\* y, float \*\* w, float \*\* z, int p)

bzw.

Procedure conv2(VAR y,w,z : ARRAY[1..MAX,1..MAX]  
OF REAL, CARDINAL p);

zur ein- bzw. zweidimensionalen Faltung der Länge  $p$  ohne wrap-around-Fehler.

### Aufgabe 22:

Sei  $z = w * y$  eine nicht notwendig zyklische Faltung der Länge  $p$  in  $n$  Dimensionen. Sie

werde durch Fourier-Transformationen der Länge  $p$  berechnet, d.h. es werde die inverse Fourier-Transformation von  $p^n \hat{w}_k \hat{y}_k$ ,  $0 \leq k < p$  berechnet.

Zeigen Sie: Ist  $w_\ell \neq 0$  nur für  $-s \leq \ell \leq s$ , dann ist das Ergebnis richtig für  $s \leq k \leq p - s - 1$  (d.h. der wrap-around-Fehler tritt nur an den Bildrändern auf, und zwar in einer Breite von  $s$  Pixeln).

**Aufgabe 23:**

Für die  $(p, q)$ -Matrix  $A$  und die  $(r, s)$ -Matrix  $B$  ist das Tensorprodukt  $C = A \otimes B$  erklärt als die  $(pr, qs)$ -Matrix

$$C = \begin{pmatrix} a_{11}B & \dots & a_{1q}B \\ \vdots & & \\ a_{p1}B & \dots & a_{pq}B \end{pmatrix}.$$

(a) Zeigen Sie: Ist  $W_p$  die Matrix der eindimensionalen Fourier-Transformation der Länge  $p$ , so ist  $W_p \otimes W_p$  die Matrix der zweidimensionalen Fourier-Transformation der Länge  $p$ . Dabei stellt man sich die Komponenten der zweidimensionalen Felder zeilenweise zu Vektoren zusammengefaßt vor.

(b) Sei  $p = qr$  und  $\text{ggT}(q, r) = 1$ . Dann gibt es Permutationsmatrizen  $P, Q$ , so daß

$$W_p = P(W_q \otimes W_r)Q.$$

Zeigen Sie dies für  $p = 6$ ,  $q = 3$ ,  $r = 2$ .

**Übungen zur Vorlesung NUMERISCHE BILDVERARBEITUNG**

Übungsblatt 5 , Abgabe: 19.11.1990 , 15.00 Uhr, in den Kästen 58, 59

---

**Aufgabe 16:**

Sei  $K = \{\xi \in \mathbf{R}^2 : |\xi_1| + |\xi_2| \leq b\}$ .

- Bestimmen Sie das quadratische achsenparallele Gitter  $L$  maximaler Effizienz für  $K$  und geben Sie  $\eta(L, K)$  an.
- Geben Sie ein Gitter  $L$  mit  $\eta(L, K) = 1$  an.

**Aufgabe 17:**

Wie Aufgabe 16, aber mit

$$K = \{\xi \in \mathbf{R}^2 : |\xi_2| \leq b, |\xi_1| \leq |\xi_2|\}.$$

**Aufgabe 18:**

Sei  $L$  ein Gitter in  $\mathbf{R}^n$ . Zeigen Sie:

- $\hat{L} = \{\xi \in \mathbf{R}^n : \frac{1}{2\pi} \xi \cdot x \in \mathbf{Z}, \quad \forall x \in L\}$
- $L$  hat die Periode  $p \in \mathbf{R}^n$  (d.h.  $L + p = L$ ) genau dann, wenn  $p \in \hat{L}$ .
- Sei  $n_L$  die Anzahl der Punkte von  $L$  pro Einheitsvolumen. Dann ist

$$n_L n_{\hat{L}} = (2\pi)^{-n}.$$

**Aufgabe 19:**

Sei  $f \in L^2(\mathbf{R}^n)$   $b$ -bandbeschränkt.

- Zeigen Sie: Ist  $h < \frac{\pi}{b}$ , so gibt es eine von  $x, h, f$  unabhängige Zahl  $C$  mit

$$|f(x)| \leq C \max_{k \in \mathbf{Z}^n} |f(hk)|.$$

- Gilt dies auch für  $h = \frac{\pi}{b}$  ?
- Wie lautet die Aussage (a) für ein beliebiges Gitter  $L$ ?

**Übungen zur Vorlesung NUMERISCHE BILDVERARBEITUNG**

Übungsblatt 4 , Abgabe: 12.11.1990 , 15.00 Uhr, in den Kästen 58, 59

---

**Aufgabe 11:**

Zeigen Sie: Für  $h = \frac{\pi}{b}$  bilden die Funktionen

$$f_k(x) = h^{-n/2} \operatorname{sinc} b(x - hk) , \quad k \in \mathbf{Z}^n$$

ein Orthonormalsystem in  $L_2(\mathbf{R}^n)$ .

**Aufgabe 12:**

Zeigen Sie mit Hilfe der Reihe von Aufgabe 6:

$$\int_0^{\chi} t^{\nu} J_{\nu-1}(t) dt = \chi^{\nu} J_{\nu}(\chi) , \quad \nu \geq 1 .$$

**Aufgabe 13:**

Sei  $S_h f$  die sinc-Reihe für  $f \in \mathcal{S}(\mathbf{R}^n)$ , d.h.

$$(S_h f)(x) = \sum_{k \in \mathbf{Z}^n} f(hk) \operatorname{sinc} \frac{\pi}{h}(x - hk) .$$

Zeigen Sie:

$$\int (S_h f)(x) dx = h^n \sum_{k \in \mathbf{Z}^n} f(hk)$$

**Aufgabe 14:**

Sei für  $\varepsilon > 0$ ,  $b > 0$

$$f(x) = e^{-\varepsilon^2 x^2} \sin b x , \quad x \in \mathbf{R}^1 .$$

Zeigen Sie:

$$\hat{f}(\xi) = \frac{1}{\sqrt{2} 2i\varepsilon} \left( e^{-(\xi-b)^2/2\varepsilon^2} - e^{-(\xi+b)^2/2\varepsilon^2} \right)$$

## Übungen zur Vorlesung NUMERISCHE BILDVERARBEITUNG

Übungsblatt 3 , Abgabe: 05.11.1990 , 15.00 Uhr, in den Kästen 58, 59

### Aufgabe 8:

Sei  $f \in C^\infty(\mathbf{R}^n)$ ,  $p$  eine ganze positive Zahl und  $h = \frac{2\pi}{p}$ .

Zeigen Sie:

$$(a) \quad h^n \sum_{0 \leq k < p} f(hk) = (2\pi)^n \sum_{\ell} \hat{f}_{p\ell}$$

$$(b) \quad \int_{[0, 2\pi]^n} f(x) dx - h^n \sum_{0 \leq k < p} f(hk) = -(2\pi)^n \sum_{\ell \neq 0} \hat{f}_{p\ell}$$

Hierbei ist  $0 \leq k < p$  komponentenweise zu verstehen, und  $k, \ell \in \mathbf{Z}^n$ .

### Aufgabe 9:

Ein sich mit der Geschwindigkeit  $v \in \mathbf{R}^n$  bewegendes Bild  $f \in \mathcal{S}$  werde mit Belichtungszeit  $\Delta t$  photographiert. Auf dem Film entsteht dann das Bild

$$g(x) = \int_0^{\Delta t} f(x + tv) dt .$$

Sei  $T$  die Distribution

$$Tf = \int_0^{\Delta t} f(-tv) dt .$$

Zeigen Sie:

$$(a) \quad g = f * T$$

$$(b) \quad \hat{g}(\xi) = 2 e^{ia} \operatorname{sinc}(a) \hat{f}(\xi) \quad \text{mit } a = \Delta t v \cdot \xi .$$

Kann man  $f$  aus  $g$  berechnen?

### Aufgabe 10:

Ein mit Winkelgeschwindigkeit  $\omega$  rotierendes Bild  $f \in \mathcal{S}$  werde mit Belichtungszeit  $T$  photographiert. Auf dem Film entsteht dann das verschmierte Bild

$$g(x) = \int_0^T f(U(t)x) dt , \quad U(t) = \begin{pmatrix} \cos \omega t & -\sin \omega t \\ \sin \omega t & \cos \omega t \end{pmatrix} .$$

Setzen sie

$$x = r \begin{pmatrix} \cos \varphi \\ \sin \varphi \end{pmatrix} , \quad f(x) = \sum_k f_k(r) e^{ik\varphi} , \quad g(x) = \sum_k g_k(r) e^{ik\varphi}$$

und berechnen Sie die  $g_k$  aus den  $f_k$ .

Kann man die  $f_k$  aus den  $g_k$  berechnen?

## Übungen zur Vorlesung NUMERISCHE BILDVERARBEITUNG

Übungsblatt 1 , Abgabe: 22.10.1990 , 15.00 Uhr, in den Kästen 58, 59

---

### Aufgabe 1:

Sei  $T$  der Cauchysche Hauptwert, also

$$Tf = \int \frac{f(x)}{x} dx .$$

Zeigen Sie:

$$(a) \quad T'f = - \lim_{h \rightarrow 0} \left\{ \int_{|x| \geq h} \frac{f(x)}{x^2} dx + \frac{f(h)+f(-h)}{h} \right\}$$

$$(b) \quad Tf = \int \frac{f(x)-f(-x)}{2x} dx$$

$$(c) \quad \hat{T}(\xi) = -i \left(\frac{\pi}{2}\right)^{1/2} \operatorname{sgn} \xi$$

### Aufgabe 2:

Sei  $f \in \mathcal{S}(\mathbf{R}^n)$ . Zeigen Sie:

- (a) Ist  $f$  homogen vom Grade  $k$  (d.h.  $f(tx) = t^k f(x)$  für  $t \in \mathbf{R}^1$ ), so ist  $\hat{f}$  homogen vom Grade  $-k - n$ .
- (b) Ist  $f$  rotationsinvariant (d.h.  $f$  ist eine Funktion von  $|x|$ ), so ist auch  $\hat{f}$  rotationsinvariant.

### Aufgabe 3:

Sei  $f \in L_1(\mathbf{R}^n) = \{f : f \text{ meßbar, } \int |f| dx < \infty\}$ .

Zeigen Sie:  $\hat{T}_f = T_{\hat{f}}$  mit

$$\hat{f}(\xi) = (2\pi)^{-n/2} \int e^{-ix\xi} f(x) dx$$

### Aufgabe 4:

Sei

$$f(x) = \begin{cases} 1 & , \quad -1 \leq x_k \leq 1, \quad k = 1, \dots, n, \\ 0 & , \quad \text{sonst} \quad . \end{cases}$$

Berechnen Sie  $\hat{f}$ .

## Übungen zur Vorlesung NUMERISCHE BILDVERARBEITUNG

Übungsblatt 2 , Abgabe: 29.10.1990 , 15.00 Uhr, in den Kästen 58, 59

---

### Aufgabe 5:

Für  $f \in \mathcal{S}(\mathbf{R}^n)$ ,  $r > 0$  sei  $f_r(x) = f(rx)$ . Für  $T \in \mathcal{S}'$  sei

$$T_r f = r^{-n} T f_{1/r} .$$

Zeigen Sie:

- 1)  $T_r \in \mathcal{S}'$
- 2)  $\delta = r^n \delta_r$
- 3)  $(T_r)^\wedge = r^{-n} (\hat{T})_{1/r}$

### Aufgabe 6:

Sei  $J_\nu$  die Bessel-Funktion 1. Art der Ordnung  $\nu$ , d.h.

$$J_\nu(x) = \left(\frac{x}{2}\right)^\nu \sum_{k=0}^{\infty} \frac{(-x^2/4)^k}{k! \Gamma(\nu + k + 1)} , \nu \geq 0 .$$

Zeigen Sie: Ist  $f \in L_1(\mathbf{R}^n)$ ,  $n \geq 2$ , eine radiale Funktion (d.h.  $f(x) = f(|x|)$ ) so ist auch  $\hat{f}$  radial, und es gilt

$$\hat{f}(\rho) = \rho^{(2-n)/2} \int_0^\infty r^{n/2} J_{(n-2)/2}(r\rho) f(r) dr$$

Hinweis: Für  $n \geq 2$  und  $\Theta \in S^{n-1}$  gilt

$$\int_{S^{n-1}} e^{i\sigma\Theta \cdot \omega} d\omega = (2\pi)^{n/2} \sigma^{(2-n)/2} J_{(n-2)/2}(\sigma)$$

### Aufgabe 7:

Sei  $x \rightarrow x' = Ax + a$  eine affine Abbildung in  $\mathbf{R}^n$ , d.h.  $A$  ist eine nicht-singuläre  $(n, n)$ -Matrix und  $a \in \mathbf{R}^n$ . Sei  $f \in \mathcal{S}(\mathbf{R}^n)$  und  $F(x) := f(Ax + a)$ .

(a) Zeigen Sie:

$$\hat{F}(A^T \xi) = \frac{1}{\det(A)} e^{ia \cdot \xi} \hat{f}(\xi) .$$

(b)  $T \in \mathcal{S}'(\mathbf{R}^n)$  heißt radial, wenn für jede Rotation  $U$  und jeden  $f \in \mathcal{S}(\mathbf{R}^n)$  gilt

$$Tf = T(f \circ U) .$$

Zeigen Sie: Ist  $T$  radial, so auch  $\hat{T}$ .

# Prof. Natterer : Numerische Bildverarbeitung

## Vorläufige Gliederung :

### I Grundlagen der Nachrichtentechnik

Fourier - Analyse

Abtasttheoreme

Wavelets

### II Bildverarbeitung

Image Enhancement

Feature extraction

Bandwidth compression

### III Bildrekonstruktion

Tomographie

Radar

MRI

Literatur : variabel

zunächst : Yosida "Functional Analysis"

## TEIL I : Grundlagen der Nachrichtentechnik

### §1 Die Fourier-Transformation in $\mathcal{S}$

Literatur : Yosida, Functional Analysis, Sp



Korollar zu Satz 1.1.: (Parseval'sche Formel):

$f, g \in \mathcal{S}$ . Dann gilt:

$$\int \hat{f} \hat{g} dx = \int f \bar{g} dx \quad (*)$$

inj. komplex

$$\int f \bar{g} dx = \int \hat{f} \bar{\hat{g}} dx \quad (**)$$

Beweis: 1. Formel zu (ii) im Beweis zu Satz (1.1.):

$$f, g \in \mathcal{S} : \int g(\xi) \hat{f}(\xi) e^{ix \cdot \xi} d\xi = \int \hat{g}(y) f(x+y) dy$$

$$x=0 : \int g \hat{f} d\xi = \int \hat{g} f dy \quad \Rightarrow (*) \quad (V)$$

Setze nun in (\*)  $\tilde{f}$  für  $f$ :

$$\int g \tilde{f} d\xi = \int \hat{g} \tilde{f} dy$$

$$\int g \bar{f} d\xi = \int \hat{g} \bar{\tilde{f}} dy \quad = (**) \text{ mit } f, g \text{ vertauscht}$$

$$\bar{\tilde{f}}(\xi) = (2\pi)^{-n/2} \int e^{ix \cdot \xi} \bar{f}(x) dx$$

$$\tilde{f}(\xi) = (2\pi)^{-n/2} \int e^{-ix \cdot \xi} f(x) dx$$

Bemerkungen: 1.) Die gleichen Beziehungen gelten auch für  $\sim$ .

2.) Führe in  $\mathcal{S}$  das innere Produkt  $(f, g) = \int f \bar{g} dx$  ein.

Dann ist  $\mathcal{S}$  unitärer Raum.

Vervollständigung ergibt  $L_2(\mathbb{R}^n) = \{ f \text{ meßbar} : \int |f|^2 dx < \infty \}$

$$\|f\| = \langle f, f \rangle^{1/2}$$

Parseval'sche Bez.:  $(f, g) = (\hat{f}, \hat{g}) = \overline{(\hat{f}, \tilde{g})}$

$\Rightarrow \lambda, \nu$  sind Isometrien von  $L_2(\mathbb{R}^n)$ .

## §2 Die Fourier-Transformation in $\mathcal{S}'$ .

Def 2.1.: ~~Def~~

Ein lineares Funktional  $T$  auf  $\mathcal{S}$  heißt

(temperierte) Distribution, falls  $C, k, l$  existieren mit

$$|Tf| \leq C \sum_{\substack{|\alpha| \leq k \\ |\beta| \leq l}} \|f\|_{\alpha, \beta}$$

$$\|f\|_{\alpha, \beta} := \sup_{x \in \mathbb{R}^n} |x^\alpha D^\beta f(x)|$$

Die Menge aller Distributionen wird mit  $\mathcal{S}'$  bezeichnet.

Beispiele: 1.)  $g$  meßbare Funktion, schnell wachsend  
(d.h.:  $\exists k \in \mathbb{Z} : \int |g(x)| (1+|x|)^k dx < \infty$ )

(z.B.:  $e^{|x|}$  nicht schnell wachsend  
 $|x|^m$  schnell wachsend)

$$Tf := \int g f dx \quad \forall f \in \mathcal{S}$$

Dafür gilt:

$$\begin{aligned} |Tf| &= \left| \int g(x) (1+|x|)^k (1+|x|)^{-k} f(x) dx \right| \\ &\leq \underbrace{\int |g(x)| (1+|x|)^k dx}_{\leq C} \sup_{x \in \mathbb{R}^n} (1+|x|)^{-k} |f(x)| \end{aligned}$$

Man sagt:  $T$  wird von  $g$  erzeugt ( $T = T_g \stackrel{g}{=} g$ )  
(Konvention)

2.)  $Tf = f(0)$

$|Tf| \leq \sup_{x \in \mathbb{R}^n} |f(x)|$

$T = \delta =$  'Dirac'sche  $\delta$ -Funktion'

3.)  $Tf = \sum_{k \in \mathbb{Z}^n} f(h \cdot k)$  ,  $h > 0$

$|Tf| \leq \left| \sum_{k \in \mathbb{Z}^n} (1+|k|)^{-n-1} (1+|k|)^{n+1} f(hk) \right|$

$\leq \underbrace{\left| \sum_{k \in \mathbb{Z}^n} (1+|k|)^{-n-1} \right|}_{=: C} \sup_{k \in \mathbb{Z}^n} (1+\frac{1}{h}|k|)^{n+1} |f(hk)|$

$\leq C \cdot \sup_{x \in \mathbb{R}^n} (1+\frac{1}{h}|x|)^k |f(x)|$

$T = \frac{1}{\varepsilon} \sum_{k \in \mathbb{Z}^n} \delta_{\varepsilon k}$  "Shah-Distribution"

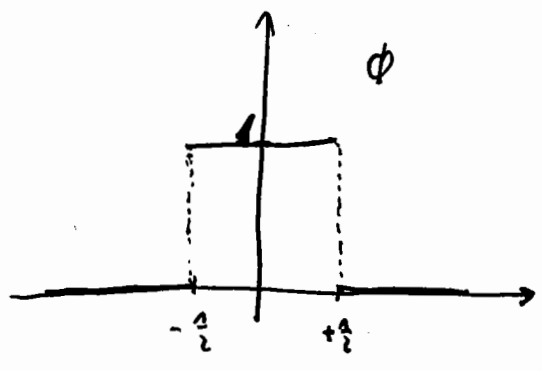
4.)  $\phi \geq 0$  ,  $\int \phi(x) dx = 1$

$\phi_\varepsilon(x) = \varepsilon^{-n} \phi(\frac{x}{\varepsilon})$

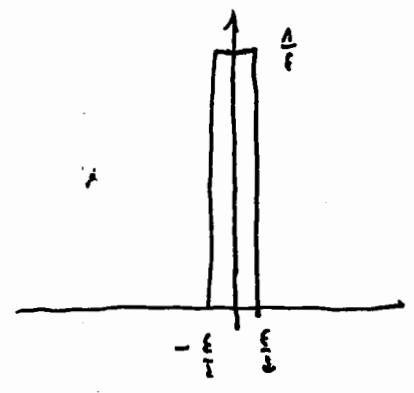
$f \in \mathcal{S} : \int \phi_\varepsilon(x) f(x) dx = \varepsilon^{-n} \int \phi(\frac{x}{\varepsilon}) f(x) dx \quad | \quad \frac{1}{\varepsilon} x = x'$   
 $= \int \phi(x') f(\varepsilon x') dx' \xrightarrow{\varepsilon \rightarrow 0} f(0) \underbrace{\int \phi(x') dx'}_{=1} = f(0)$   
 (f.v. major. konvergenz)

$\text{op } \phi_\varepsilon \quad T_{\phi_\varepsilon} f \rightarrow \delta f$  , d.h.  $T_{\phi_\varepsilon} \rightarrow \delta$

z.B.:  $u=1$ :



$T_{\phi_\epsilon} f$  :



$$T_{\phi_\epsilon} f = \frac{1}{\epsilon} \int_{-\frac{\epsilon}{2}}^{+\frac{\epsilon}{2}} f(x) dx$$

5.)  $Tf = \lim_{h \rightarrow 0} \int_{|x| \geq h} \frac{f(x)}{x} dx$  (für  $u=1$ )

$$= \int \frac{f(x)}{x} dx$$

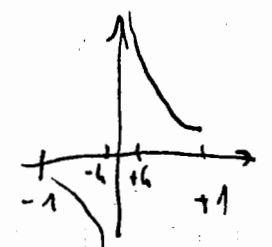
"Cauchy'scher Hauptwert"

$$= PV \int \frac{f(x)}{x} dx$$

"principal value"

$$\int_{|x| \geq h} \frac{f(x)}{x} dx = \int_{h \leq |x| \leq 1} \frac{f(x)}{x} dx + \int_{|x| > 1} \frac{f(x)}{x} dx$$

$$= \int_{h \leq |x| \leq 1} \frac{f(x) - f(0)}{x} dx + \int_{|x| > 1} \frac{f(x)}{x} dx$$



$$\Rightarrow \left| \int_{-1}^1 dx \right| \leq \int_{-1}^1 \frac{|x| \max_{[-1,1]} |f'(x)|}{|x|} dx \leq 2 \max_{[-1,1]} |f'(x)|$$

MWS  $h \leq |x| \leq 1$

$$\left| \int_{|x| \leq h} \frac{f(x)}{x} dx \right| \leq 2 \sup_{x \in \mathbb{R}^n} |f'(x)| + \int_{|x| \geq 1} |x| |f(x)| \frac{dx}{x^2}$$

$$\leq \sup_{x \in \mathbb{R}^n} |f(x)| |x| \cdot \int_{|x| \geq 1} \frac{dx}{x^2}$$

$$|Tf| \leq 2 \sup_{x \in \mathbb{R}^n} |f'(x)| + C \sup_{x \in \mathbb{R}^n} |f(x)|$$

Definition 2.2: Sei  $T \in \mathcal{S}'$ !

a.) Für  $\alpha \in \mathbb{Z}_+^n$  :  $(D^\alpha T)f := (-1)^{|\alpha|} T D^\alpha f \quad \forall f \in \mathcal{S}$

b.)  $y \in \mathbb{R}^n$  :  $T_y f = T f_y \quad \forall f \in \mathcal{S}$

mit  $f_y(x) = f(x+y) \Rightarrow f_y(x) = f(x-y)$

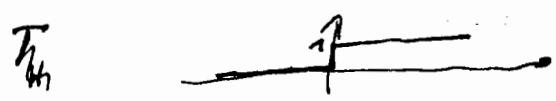
c.)  $g \in \mathcal{S}$  :  $(gT)f = T(gf) \quad \forall f \in \mathcal{S}$

! d.)  $g \in \mathcal{S}$  :  $(g * T)(x) := T \check{g}_{-x} \quad (\check{g}(x) := g(-x)!) \\ \text{(ist Funktion!)}$

! e.)  $\hat{T}f = T \hat{f} \quad \forall f \in \mathcal{S}$  (d.h.:  $D^\alpha T, T_y, gT, g * T, \hat{T}$  neue Distributionen!)  $\in \mathcal{S}'$

Beispiele: 1.)  $(D^\alpha \delta)f = \delta(D^\alpha f) (-1)^{|\alpha|} = (D^\alpha f)(0) (-1)^{|\alpha|}$

2.)  $n=1$  :  $H(x) = \begin{cases} 1 & x \geq 0 \\ 0 & x < 0 \end{cases}$  Heaviside - Fu.



$$T_H f = \int H(x) f(x) dx = \int_0^{\infty} f(x) dx$$

$$\left(\frac{d}{dx} T_H\right) f = -T_H f' = -\int_0^{\infty} f'(x) dx = f(0)$$

d.h.:  $\frac{d}{dx} T_H = \delta$

3.)  $\delta_{-y} f = \delta f_y = f(y)$

Schreibweise:  $\int \delta(x-y) f(y) dy = f(x)$

4.)  $(\delta_{-y})^{\wedge} f = \delta_{-y} \hat{f} = \hat{f}(y) = (2\pi)^{-\frac{1}{2}} \int e^{-ix \cdot \frac{1}{2} y} f(x) dx$

$\Rightarrow (\delta_{-y})^{\wedge} = T_g$  mit  $g(x) = (2\pi)^{-\frac{1}{2}} e^{-ix \cdot y}$

Schreibweise:  $(\delta_{-y})^{\wedge}(x) = (2\pi)^{-\frac{1}{2}} e^{-ix \cdot y}$

*Übersicht bei folgender Ableitung:*

*Bsp)*

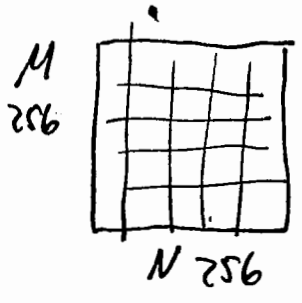
$$\hat{f}(x) = (2\pi)^{-\frac{1}{2}} \int e^{ix \cdot \xi} \hat{f}(\xi) d\xi$$

Num. Bildanalyse (15.10.90) (Vertr.)

Einschub: Diskrete Bildverarbeitung

Def: F heißt diskretes  $N \times M$  - Bild

$$: \Leftrightarrow F : \{0, \dots, N-1\} \times \{0, \dots, M-1\} \rightarrow \begin{cases} \mathbb{R} \\ \mathbb{R}_+ \\ \mathbb{C} \\ \mathbb{Z} \\ \{0, 1, \dots, 256\} \end{cases}$$



65536 Pixel  
 $\mathcal{O}(N^2 M^2)$

Probleme: a.) Speicher  
b.) Zeit

Lösung: a.) Informatik: Kompression auf 20%  
(wichtig: invertierbar!)  $\mathcal{O}(N^2 M^2)$   
 $\mathcal{O}(c \cdot N \cdot M)$   
b.) Funktionen lokal

$$G(n, m) = \sum_{k=0}^{N-1} \sum_{l=0}^{M-1} K(k, l, n, m) F(n+k, m+l)$$

$\downarrow$  effiz. Algorith.?  
 $\uparrow$  mod N       $\uparrow$  mod M

(K bel. Kernfkn.:

$K: \{0, N-1\} \times \{0, M-1\} \times \{0, N-1\} \times \{0, M-1\}$   
 $\rightarrow \mathbb{R}$

sei  $k = k_1(k, n) \cdot k_2(l, m)$

$$= \sum_{k=0}^{N-1} K_1(k, n) \left( \sum_{l=0}^{M-1} K_2(l, m) F(n+k, m+l) \right)$$

$= H(n+k, m)$

Rechenaufw:  $M \cdot M \cdot N$   
 $N \cdot N \cdot M$

$\rightarrow \mathcal{O}(N^2 M + M^2 N)$

# Discrete Fourier-Transformation: (DFT)

$$y \in \mathbb{C}^N: \hat{y}_k = \sum_{j=0}^{n-1} e^{-ikj \frac{2\pi}{n}} y_j$$

$$\tilde{y}_j = \sum_{k=0}^{n-1} e^{ikj \frac{2\pi}{n}} y_k$$

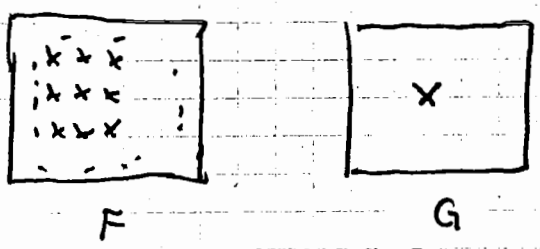
$$y, z \in \mathbb{C}^N \quad (y * z)_j = \sum_{l=0}^{n-1} y_l z_{j-l} \pmod{n}$$

Eigenschaften:

$$(\hat{\hat{y}})_k = n y_k, \quad (\hat{y \cdot z}) = (\hat{y} \cdot \hat{z})^{\wedge}$$

$$\Rightarrow y * z = (\hat{y} \cdot \hat{z})^{\sim} \cdot \frac{1}{n}$$

$$K(k, l, n, m) = \tilde{K}(k, l), \quad \tilde{K}: \{0, n-1\} \times \{0, n-1\} \rightarrow \mathbb{C}$$



z.B.:

$$\begin{pmatrix} 1 & 2 & 1 \\ 2 & 4 & 2 \\ 1 & 2 & 1 \end{pmatrix}$$

Skille (1/0)

$$\begin{pmatrix} (1,2,1) & (0,1) & (1) \\ (2,0) & (0,0) & (10) \\ (1,2,1) & (0,1) & (1) \end{pmatrix}$$

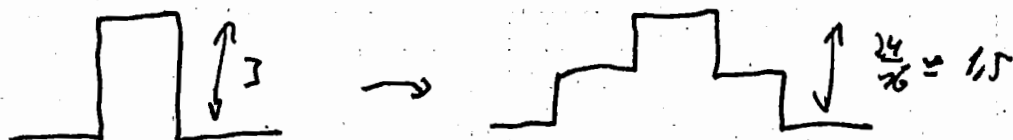
$$F: \begin{pmatrix} 1 & 2 & 1 \\ 2 & 4 & 2 \\ 1 & 2 & 1 \end{pmatrix}$$

$$G: \begin{pmatrix} 16 & 16 & 16 \\ 16 & 18 & 20 & 18 & 16 \\ 16 & 20 & 24 & 20 & 16 \\ 16 & 18 & 20 & 18 & 16 \\ 16 & 16 & 16 \end{pmatrix}$$

Matr. Mult.  
+ Aufaddieren!



Also:



glättung! ("smoothing-Filter")

"enhance":

$$\begin{pmatrix} & -1 & \\ -1 & 5 & -1 \\ & -1 & \end{pmatrix}$$

$$\begin{array}{ccc|ccc} 0 & 0 & 0 & 0 & -1 & 0 \\ 0 & 1 & 0 & -1 & 5 & -1 \\ 0 & 0 & 0 & 0 & -1 & 0 \end{array}$$

$$\begin{array}{ccc|ccc} 2 & 2 & 2 & 0 & 0 & 0 \\ 2 & 2 & 2 & 0 & 0 & 0 \\ 2 & 2 & 2 & 0 & 0 & 0 \end{array}$$



$$\begin{array}{cccccc} 6 & 0 & 2 & -2 & 0 & 0 \\ 0 & 0 & 2 & -2 & 0 & 0 \\ 0 & 0 & 2 & -2 & 0 & 0 \end{array}$$

also:

(Mun. Bildver. 18.10.90)

(RE) IBM

6. Stock: Informatica ( etal, giutte, polya ..)

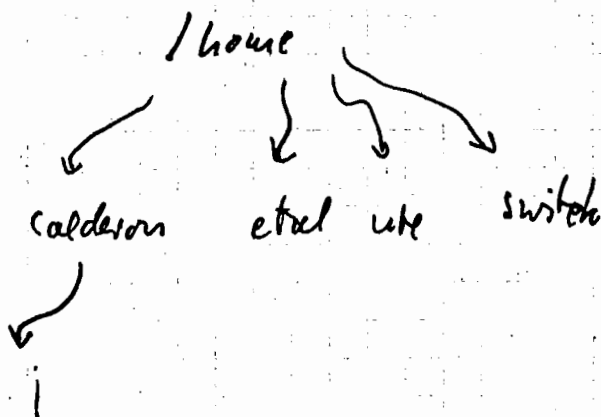
1. Stock: CALDERON (10P)  
switch

UNIX: Einführung in UNIX: 6. Stock, Dietmar Lammert  
2.-DM

in 2 Wochen: (SR B) : Atari-Rechner

UNIX: MS DOS: A:\home \... \ file  
Pfad Maus

UNIX: : /home /wuebbel /... / file  
Pfad Maus



calderon login: <user name> wuebbel

password: <password>

bash > ls / home <Dir>

cd / home / calderon  
ls um wuebbel  
gnome  
compile

Compiler:

cc für C  
(f77) für Fortran

X - Windows



rechte mouse - knopf : ...

cd ~ wuebbel/xcol# ?

xcolview true w

---

6. stud : Kefe : 603 : Julian, Stephan  
Dietmar #, Fridolf  
207 : Frank Wuebbel  
? ...209

Mathematik - Vorträge:

Mo	22.10.	17 <sup>00</sup>	Kempes
Mi	24.10.	17 <sup>00</sup>	Bedest.
Fr	26.10.	15 <sup>00</sup>	Übert
Mo	29.10.	17 <sup>00</sup>	Claus
Mi	31.10.	17 <sup>00</sup>	Ruford

$\varphi(\mathbb{R}^n), \varphi'(\mathbb{R}^n)$

$T \in \mathcal{L}'$

$D^k T f = (-1)^{|k|} T D^k f \quad . \quad D^k T g = T D^k g$

$(g * T)(x) = \int_{\mathbb{R}^n} T \check{g}_{-x} \quad , (\check{g}(x) := g(-x))$

$\hat{T} f = T \hat{f}$

(Anm:  $g * T$  und  $T * g$  sollen das gleiche bedeuten!)

Beispiele: 1)  $(f * \delta)(y)$

$\stackrel{\text{Def.}}{=} \int \delta \check{f}_{-y} = \check{f}_{-y}(0) = f(-y) = f(y)$

Schreibweise:  $\int f(x) \delta(y-x) dx = f(y)$

2)  $(g * T_h)(x) = T_h \check{g}_{-x} = \int h(y) \check{g}(x-y) dy = (h * g)(x)$

2)  $(\delta_{-y})^\wedge(\varphi) = \dots$

$\delta = (2\pi)^{-\frac{n}{2}}$

Sei  $g \in L_1(\mathbb{R}^n)$ , d.h.  $g$  messbar,  $\int |g| dx < \infty$

$$\begin{aligned} \Rightarrow \hat{T}_g f &\stackrel{\text{def.}}{=} T_g \hat{f} = \int g(\xi) \hat{f}(\xi) d\xi = (2\pi)^{-\frac{n}{2}} \int g(\xi) \int e^{-ix \cdot \xi} f(x) dx d\xi \\ &= (2\pi)^{-\frac{n}{2}} \int f(x) \int e^{-ix \cdot \xi} g(\xi) d\xi dx \\ &\dots \end{aligned}$$

$$\Rightarrow \underline{\hat{T}_g f = T_{\hat{g}} f} \quad \text{mit} \quad \underline{\hat{g}(x) = (2\pi)^{-\frac{n}{2}} \int e^{-ix \cdot \xi} g(\xi) d\xi}$$

(v)

Sei nun  $g \in L_2(\mathbb{R}^n)$ ,  $(g, f) := \int g \bar{f} dx$   
 $\|f\| := (f, f)^{1/2}$

Versuch:  $\hat{g}(\xi) = (2\pi)^{-n/2} \int e^{-ix \cdot \xi} g(x) dx$  magst im allg.  
keinen Sinn, da Integral wkt. nicht exist.  
 z.B.:  $g(x) = (1+|x|)^{-\frac{n+1}{2}}$   
 $\Rightarrow g \in L_2$ ,  $\int |g|^2 dx < \infty$   
 aber  $\int |g| dx = \infty$

Satz 2.1.: (Plancherel):

In jedem  $g \in L_2(\mathbb{R}^n)$  gibt es  $\hat{g} \in L_2(\mathbb{R}^n)$  mit  
 $\hat{T}_g = T_{\hat{g}}$  und  $\|g\| = \|\hat{g}\|$ .

Beweis:  $g \in L_2(\mathbb{R}^n)$ ,  $g_k(x) := \begin{cases} g(x) & \text{für } |x| \leq k \\ 0 & \text{sonst.} \end{cases}$

$\Rightarrow g_k \in L_2(\mathbb{R}^n)$ :

$$\int |g_k| dx = \int_{|x| \leq k} |g(x)| dx \stackrel{C.S.}{\leq} \left( \int_{|x| \leq k} 1 dx \right)^{1/2} \left( \int |g^2(x)| dx \right)^{1/2} < \infty$$

$g \in L^2 < \infty$

C.S.-Ungl.:  $\int fg dx \leq \left( \int f^2 dx \right)^{1/2} \left( \int g^2 dx \right)^{1/2}$

$$\|g_k - g_l\|^2 = \int (g_k - g_l)^2 dx \xrightarrow{k, l \rightarrow \infty} 0$$

weil Integral  $\int g^2 dx < \infty$

$\Rightarrow (g_k)_{k \in \mathbb{N}}$  ist C-Folge

$\Rightarrow g_k \rightarrow g \in L_2$ , da  $L_2(\mathbb{R}^n)$  vollständig.

Sei  $\hat{g}_k$  im Sinne von  $L_2(\mathbb{R}^n)$

Parseval'sche Beziehung:  $\|\hat{g}_k\| = \|g_k\|$

(gilt in  $\mathcal{S}$ , gilt aber auch in  $L_2(\mathbb{R}^n)$  für die  $g_k$ )

$$\|\hat{g}_k - \hat{g}_l\| = \|g_k - g_l\| \xrightarrow{k, l \rightarrow \infty} 0 \quad (20)$$

$\Rightarrow (\hat{g}_k)_k$  ist C-Folge in  $L_2(\mathbb{R}^n)$

$\Rightarrow$  Da  $L_2(\mathbb{R}^n)$  vollständig, exist.  $\hat{g} \in L_2(\mathbb{R}^n)$  d.d.

$$\|\hat{g}_k - \hat{g}\| \rightarrow 0, \quad k \rightarrow \infty$$

Es gilt für  $\hat{g}$ :

$$\hat{T}_g f = T_g \hat{f} = \int g \hat{f} d\xi = \lim_{k \rightarrow \infty} \int g_k \hat{f} d\xi \stackrel{2. Umkehr}{=} \dots$$

$$\stackrel{\text{Parseval}}{=} \lim_{k \rightarrow \infty} \int \hat{g}_k f d\xi = \int \hat{g} f d\xi = \hat{T}_g f$$

$$\left( \int |g - g_k| \, d\xi \right) \leq \left( \int |g - g_k|^2 \right)^{1/2} \left( \int 1^2 \right)^{1/2} \xrightarrow[k \rightarrow \infty]{} 0$$

$$\| \hat{g} \| = \lim_{k \rightarrow \infty} \| \hat{g}_k \| = \lim_{k \rightarrow \infty} \| g_k \| = \| g \|$$

□

( $\Rightarrow$  Fourier-Transform unitärer Operator auf  $L_2$ .)

Bemerkung:  $\hat{g}_k(\xi) = (2\pi)^{-1/2} \int_{|x|=k} e^{-ix \cdot \xi} g(x) \, dx$

nach Parseval?  $\hat{g}$  normiert  $\hat{g}_k$  normal FT

$\hat{g} = \lim_{k \rightarrow \infty} \hat{g}_k$ , d.h.  $\int | \hat{g} - \hat{g}_k |^2 \, d\xi \rightarrow 0, k \rightarrow \infty$   
in  $L_2(\mathbb{R}^n)$ !

Dafür schreibe:  $\hat{g}(\xi) = (2\pi)^{-n/2} \int e^{-ix \cdot \xi} g(x) \, dx$

apertiv (r.v.) ja nicht def.!

Schreibweisen: PV, l.i.m., ...

Also  $\hat{g}(\xi) = \lim_{k \rightarrow \infty} \int_{|x|=k} e^{-ix \cdot \xi} g(x) \, dx$

§3 Fourier-Reihen (Aso: Entwicklung in orthogonales System von  $L_2$ )

$e^{ik \cdot x} \quad k \in \mathbb{Z}^n \quad e^{ik \cdot x} = e^{i(k_1 x_1 + \dots + k_n x_n)}$

$$\int_{[0, 2\pi]^n} e^{ik \cdot x} e^{-il \cdot x} dx = \int_{[0, 2\pi]^n} e^{i(k-l) \cdot x} dx$$
  
$$= \prod_{\nu=1}^n \int_0^{2\pi} e^{i(k_\nu - l_\nu) x_\nu} dx_\nu = \begin{cases} 0, & k \neq l \\ (2\pi)^n, & k = l \end{cases}$$

$(f, g) = \int_{[0, 2\pi]^n} f \bar{g} dx \quad \|f\| = (f, f)^{1/2}$

$e^{ik \cdot x}$  paarweise orthogonal,  $\|e^{ik \cdot x}\| = (2\pi)^{n/2}$

in  $L_2([0, 2\pi]^n)$   $k \in \mathbb{Z}^n$ :

$\langle f, e^{ik \cdot x} \rangle = \hat{f}_k = (2\pi)^{-n} \int_{[0, 2\pi]^n} e^{-ik \cdot x} f(x) dx$  Fourier-Koeff.

Satz 3.1.:  $f \in C^\infty(\mathbb{R}^n)$  und in allen Argumenten  $2\pi$ -periodisch

Dann gilt:  $\langle f, e^{ik \cdot x} \rangle$  Entwicklung in das orthogonale System  $e^{ik \cdot x}$   $k \in \mathbb{Z}^n$

$f(x) = \sum_{k \in \mathbb{Z}^n} e^{ik \cdot x} \hat{f}_k$

mit gleichmäßiger Konvergenz. Außerdem gilt:

$\|f\|^2 = (2\pi)^n \sum_{k \in \mathbb{Z}^n} |\hat{f}_k|^2$  Koeff.

Beweis: 1.)  $n=1$ :  $\sum_{|k| < K} q^k = q^{-K+1} \sum_{k=0}^{2K-2} q^k =$  gem. Ke K



$$= q^{-k+1} \frac{q^{2k-1} - 1}{q - 1} \quad (q \neq 1)$$

$$= \frac{q^k - q^{-k+1}}{q - 1}$$

$$q = e^{ix} : \sum_{|k| < \infty} e^{ikx} = \frac{e^{ikx} - e^{-(k-1)ix}}{e^{ix} - 1} =$$

$$= \frac{e^{i\frac{x}{2}}}{e^{i\frac{x}{2}}} \frac{e^{i(k-\frac{1}{2})x} - e^{-i(k-\frac{1}{2})x}}{e^{i\frac{x}{2}} - e^{-i\frac{x}{2}}} = \frac{\sin(k-\frac{1}{2})x}{\sin(\frac{x}{2})}$$

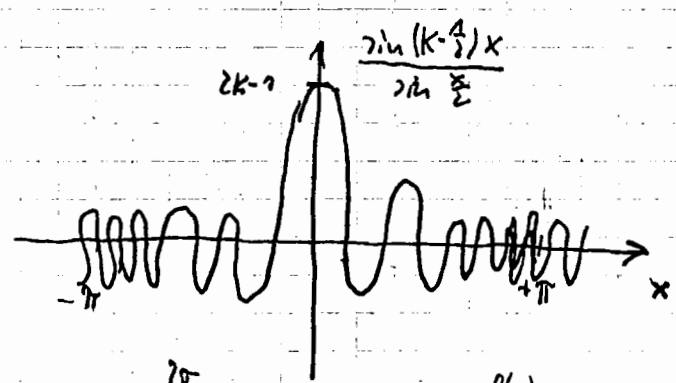
für  $x \neq 0, \pm 2\pi, \dots$

$$\text{nun: } \sin a = \frac{e^{ia} - e^{-ia}}{2i}$$

$$\underline{n=1:} \quad \sum_{|k| < \infty} e^{ikx} \hat{f}_k = (2\pi)^{-n} \int_{[0, 2\pi]} \sum_{|k| < \infty} e^{ikx -iky} f(y) dy =$$

$$= \frac{1}{2\pi} \int_0^{2\pi} f(y) \sum_{|k| < \infty} e^{ik(x-y)} dy$$

$$= \frac{1}{2\pi} \int_0^{2\pi} f(y) \frac{\sin(k-\frac{1}{2})(x-y)}{\sin(\frac{x-y}{2})} dy$$



$$f(x) \cdot 1 = \frac{1}{2\pi} \int_0^{2\pi} \frac{\sin(k-\frac{1}{2})(x-y)}{\sin(\frac{x-y}{2})} f(y) dy$$

$\sum_{|k| < \infty} e^{ik(x-y)}$  ← "Poisson'scher Kern"

$$\sum_{|k|<K} e^{ikx} \hat{f}_k - f(x) = \frac{1}{2\pi} \int_0^{2\pi} (f(y) - f(x)) \frac{\sin(k-\frac{1}{2})(x-y)}{\sin \frac{x-y}{2}} dy$$

$$= \frac{1}{2\pi} \int_0^{2\pi} g_x(y) \sin(k-\frac{1}{2})(x-y) dy$$

$$g_x(y) := \frac{f(y) - f(x)}{\sin \frac{x-y}{2}}$$

$\Rightarrow g_x \in C^\infty$

$$= \frac{1}{2\pi} \left\{ \frac{1}{k-\frac{1}{2}} \left[ - \int_0^{2\pi} g'_x(y) \cos(k-\frac{1}{2})(x-y) dy + \right. \right.$$

$$\left. \left. + [g_x(y) \cos(k-\frac{1}{2})(x-y)]_{y=0}^{y=2\pi} \right] \right\}$$

$= O\left(\frac{1}{k}\right) \xrightarrow{k \rightarrow \infty} 0$  glim. in  $\mathbb{R}^n [0, 2\pi)$  und damit in  $\mathbb{R}^n$

$$f = \sum_{k \in \mathbb{Z}^n} e^{ix \cdot k} \hat{f}_k$$

$$\|f\|^2 = \sum_{k \in \mathbb{Z}^n} (2\pi)^n |\hat{f}_k|^2$$

Verallgemeinerung des Satzes auf  $L_2$ !

Bemerkung:  $\forall f \in L_2([0, 2\pi]^n) = L_2$

Def. Operator  $(I_k f)_x = \sum_{|k| \leq K} e^{ik \cdot x} \hat{f}_k$

$\|I_k f\| \leq (2\pi)^{n/2} \|f\|$  Bessel'sche Ungleichung

$I_k: L_2 \rightarrow L_2 \quad \|I_k\| \leq (2\pi)^{n/2}$

Für  $f \in L_2$  gibt es Folge  $(f_\ell)_{\ell \in \mathbb{Z}^n}$  von  $2\pi$ -periodischen  $C^\infty$ -Funkten mit  $f_\ell \rightarrow f$  in  $L_2$ , d.h.

$$\int_{[0, 2\pi]^n} |f_\ell - f|^2 dx \rightarrow 0, \ell \rightarrow \infty$$

$$\begin{aligned} \|I_\ell f - f\| &\leq \|I_\ell f - I_\ell f_\ell\| + \|I_\ell f_\ell - f_\ell\| + \|f_\ell - f\| \\ &\leq (2\pi)^{\frac{n}{2}} \|f - f_\ell\| + \|I_\ell f_\ell - f_\ell\| + \|f_\ell - f\| \leq \epsilon \end{aligned}$$

$\ell$  so groß, dass: Falls  $K$  hinreichend groß ( $\rightarrow \infty$ )

$$[(2\pi)^{\frac{n}{2}} + 1] \|f - f_\ell\| + \|I_\ell f_\ell - f_\ell\| \leq \frac{\epsilon}{2}$$

$K$  so groß, dass  $\|I_\ell f_\ell - f_\ell\| \leq \frac{\epsilon}{2}$  (gibt, da  $f_\ell$  periodisch in  $C^\infty$ ) oder „Parseval“?

Plancherel:  $f(x) = \sum_{k \in \mathbb{Z}^n} e^{ix \cdot k} \hat{f}_k$  im Sinne von  $L_2([0, 2\pi]^n)$

$f \in L_2$ :  $\|f\|^2 = (2\pi)^{n/2} \sum_{k \in \mathbb{Z}^n} |\hat{f}_k|^2$   
oben im Satz von  $C^\infty$ !

Satz 1.2:  $g$  periodisch in  $\mathbb{R}^n$  und lokal quadratisch integrierbar.

Dann gilt:  $\hat{g} \in L^2_{loc}$

$$\hat{g} = \sum_{k \in \mathbb{Z}^n} \hat{g}_k \delta_k \quad (2\pi)^{n/2}$$

Beweis:  $f \in \mathcal{S}(\mathbb{R}^n)$

$$\widehat{T_g f} = T_g \hat{f} = \int g \hat{f} d\xi = \int \sum_{k \in \mathbb{Z}^n} \hat{g}_k e^{ik \cdot \xi} \hat{f}(\xi) d\xi =$$

$$= \sum_{k \in \mathbb{Z}^n} \hat{g}_k \int e^{ik \cdot \xi} \hat{f}(\xi) d\xi = (2\pi)^{n/2} \sum_{k \in \mathbb{Z}^n} \hat{g}_k f(k)$$

$$\Rightarrow \hat{T}g = (2\pi)^{n/2} \sum_{k \in \mathbb{Z}^n} \hat{g}_k \delta_k \quad \text{z.z.}$$

Satz 3.3. (Poisson'sche Formel)

Sei  $f \in \mathcal{S}$ . Dann gilt:

$$\sum_{\ell \in \mathbb{Z}^n} \hat{f}(\xi - 2\pi\ell) = (2\pi)^{-n/2} \sum_{\ell \in \mathbb{Z}^n} f(\ell) e^{-i\xi \cdot \ell}$$

Insbesondere ist ( $\xi = 0$ )

$$\sum_{\ell \in \mathbb{Z}^n} \hat{f}(2\pi\ell) = (2\pi)^{-n/2} \sum_{\ell \in \mathbb{Z}^n} f(\ell)$$

oder: Verschieben über  $\mathbb{R}^n$   $\mathbb{W}_{2\pi} \hat{f} = (2\pi)^{-n/2} \mathbb{W} f$

also:  $\hat{\mathbb{W}}_{2\pi} = (2\pi)^{-n/2} \mathbb{W} \leftarrow$  „Poisson'sche Formel“

Beweis:  $g(\xi) = \sum_{\ell} \hat{f}(\xi - 2\pi\ell)$

$g \in C^\infty(\mathbb{R}^n)$ ,  $2\pi$ -periodisch in allen Argumenten

$$\hat{g}_k = (2\pi)^{-n/2} \int_{[0, 2\pi]^n} e^{-ik \cdot x} g(\xi) d\xi$$

$$= (2\pi)^{-n/2} \sum_{\ell \in \mathbb{Z}^n} \int_{[0, 2\pi]^n} e^{-ik \cdot \xi} \hat{f}(\xi - 2\pi\ell) d\xi$$

$$= \underbrace{(2\pi)^{-n/2} \sum_{\ell \in \mathbb{Z}^n} \int_{[0, 2\pi]^n} e^{-ik(\xi - 2\pi\ell)} \hat{f}(\xi - 2\pi\ell) d\xi}_{= e^{-ik \cdot \xi}}$$

$$\int_{[0, 2\pi]^n + 2\pi\ell} e^{-ik \cdot \xi'} \hat{f}(\xi') d\xi'$$

$$= (2\pi)^{-n/2} \int_{\mathbb{R}^n} e^{-ik \cdot \xi'} \hat{f}(\xi') d\xi' = f(-k)$$

Fourier-Reihe für  $g$ :

$$g(\xi) = \sum_{l \in \mathbb{Z}^n} e^{i\xi \cdot l} \hat{g}_l = \sum_{l \in \mathbb{Z}^n} e^{i\xi \cdot l} f(-l) =$$

$$= \sum_{l \in \mathbb{Z}^n} f(\xi - 2\pi l) \quad \square$$

Bemerkung:  $\sum_l \hat{f}(2\pi l) = (2\pi)^{-1/2} \sum_l f(l)$

$$\hat{f}(0) = (2\pi)^{-1/2} \sum_l f(l) - \sum_{l \neq 0} \hat{f}(2\pi l)$$

$$(2\pi)^{-1/2} \int f(x) dx$$

$$\Rightarrow \int f(x) dx = \sum_l f(l) - (2\pi)^{1/2} \sum_{l \neq 0} \hat{f}(2\pi l) \quad \left. \begin{array}{l} \text{andere Schreibweise} \\ \text{der} \\ \text{Poisson'sche} \\ \text{Formel (1.0)} \end{array} \right\}$$

$f_h(x) = f(hx) : (h > 0)$

$$\int_{\frac{x'}{h}} f(hx) dx' = \sum_l f(hl) - (2\pi)^{1/2} h^{-1/2} \sum_{l \neq 0} \hat{f}(2\pi l/h)$$

$$\left( \hat{f}_h = h^{-1/2} (\hat{f})_{1/h} \right)$$

$$\Rightarrow h^{1/2} \cdot h^{1/2} \left\{ \int f(x') dx' = h \sum_l f(hl) - (2\pi)^{1/2} \sum_{l \neq 0} \hat{f}(2\pi l/h) \right.$$

Trapetzregel

Fehler der Trapetzregel

billig, gut

→ üb. auf  $\mathcal{F}$

Zu Satz 3.1.:  $(f, g) = (2\pi)^{1/2} \sum_{k \in \mathbb{Z}^n} \hat{f}_k \hat{g}_k$

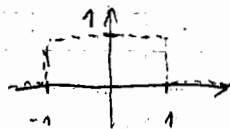
Parseval'sche Formel

## §4 Das Abtasttheorem von Shannon

Def:  $f \in L_2(\mathbb{R}^n)$  heißt bandbeschränkt mit Bandbreite  $b$   
(oder  $b$ -bandbeschränkt), falls  $\hat{f}(\xi) = 0$  für  $|\xi| \geq b$ .  
(d.h. außerhalb eines Kugel mit Radius  $b$ )

Beispiele:  $n=1$ :

$$1.) \quad \chi(x) = \begin{cases} 1, & -1 \leq x \leq 1 \\ 0, & \text{sonst} \end{cases}$$



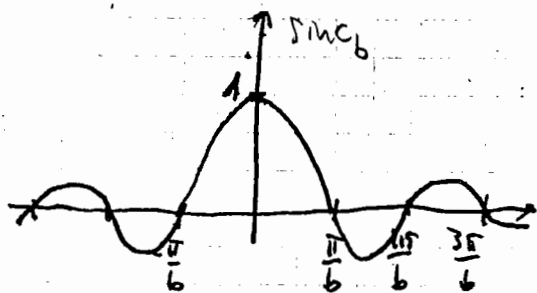
$$\begin{aligned} \tilde{\chi}(\xi) &= (2\pi)^{-1/2} \int_{-1}^{+1} e^{+ix \cdot \xi} dx = (2\pi)^{-1/2} 2 \frac{e^{i\xi} - e^{-i\xi}}{2i\xi} \\ &= 2(2\pi)^{-1/2} \frac{\sin \xi}{\xi} = \left(\frac{2}{\pi}\right)^{1/2} \frac{\sin \xi}{\xi} \end{aligned}$$

bezeichne:  $\text{sinc}(x) = \frac{\sin x}{x}$  (sprich: sinkh)

$$\Rightarrow \text{sinc}^\wedge = \left(\frac{\pi}{2}\right)^{1/2} \chi$$

$\text{sinc}$  bandbeschr. mit Bandbreite 1.

$$\underline{(\text{sinc}_b)^\wedge = b^{-1} \left(\frac{\pi}{2}\right)^{1/2} \chi_{[1/b, 1/b]} \quad \text{hat Bandbreite } b}$$



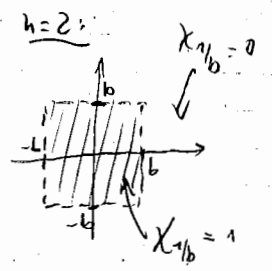
Detail der Größe  $\frac{2\pi}{b}$

Für  $x \in \mathbb{R}^n$ :

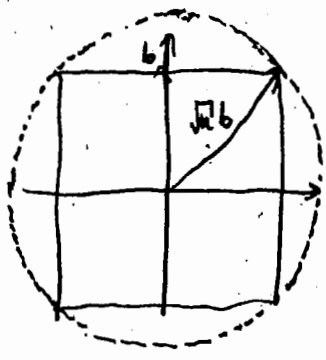
2.)  $n \geq 1$ :  $\text{sinc}(x) := \text{sinc}(x_1) \cdot \dots \cdot \text{sinc}(x_n)$

$$\widehat{\text{sinc}}_b = \left(\frac{\pi}{2}\right)^{n/2} b^{-n} \chi_{1/b}$$

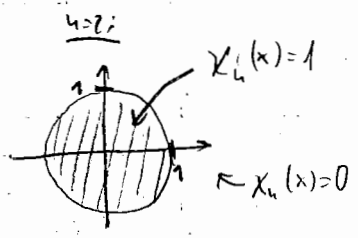
mit  $\chi_{1/b}(x) = \begin{cases} 1, & x \in [-b, +b]^n \\ 0 & \text{sonst} \end{cases}$



Bandbreite  $\sqrt{n} b$



3.)  $\chi_n(x) = \begin{cases} 1, & |x| \leq 1 \\ 0 & \text{sonst} \end{cases}$



Korrektur zu Aufg. 6:

$$\int_{\mathbb{S}^{n-1}} e^{i\sigma \cdot \omega} d\omega = (2\sigma)^{\frac{n}{2}} \sigma^{-(n-2)/2} \int_{\frac{n-2}{2}}(\sigma)$$

$$\Rightarrow \widehat{f}(\rho) = \rho^{-(\frac{n-2}{2})} \int_0^\infty r^{\frac{n}{2}} \int_{\frac{n-2}{2}}(r\rho) f(r) dr$$

$$\widetilde{\chi}_n(\xi) = |\xi|^{-(n-2)/2} \int_0^1 r^{\frac{n}{2}} \int_{\frac{n-2}{2}}(r|\xi|) dr$$

mit  $\int_0^z t^\nu \int_{\nu-1}(t) dt = z^\nu \int_\nu(z)$ ,  $\nu > 0$  folgt:

$$\begin{aligned} \widetilde{\chi}_n(\xi) &= |\xi|^{-(n-2)/2} \frac{1}{|\xi|} \int_0^{|\xi|} \left(\frac{r}{|\xi|}\right) \int_{\frac{n-2}{2}}(r') dr' \\ &= |\xi|^{-n} \int_0^{|\xi|} r^{n/2} \int_{\frac{n-2}{2}}(r) dr = |\xi|^{-n} |\xi|^{\frac{n}{2}} \int_{\frac{n}{2}}(|\xi|) \end{aligned}$$



$$\Rightarrow \tilde{\chi}_n(\xi) = \frac{J_{n/2}(|\xi|)}{|\xi|^{n/2}} \quad \downarrow \text{Besselfunktion}$$

$$\underline{n=2}: \quad \tilde{\chi}_2(\xi) = \frac{J_1(|\xi|)}{|\xi|} =: \text{Sinc}(\xi) \quad \text{hat Bandbreite 1}$$

in  $\mathbb{R}^2$   
wird im folgenden aber nicht benötigt!?

### Satz 4.1. (Shannon)

Sei  $f$   $b$ -<sup>band</sup>beschränkt und  $0 < h \leq \frac{\pi}{b}$ . Dann ist  $f$  eindeutig bestimmt durch die Werte  $f(hk)$ ,  $k \in \mathbb{Z}^n$ , und es gilt:

$$f(x) = \sum_{k \in \mathbb{Z}^n} f(hk) \text{sinc} \frac{\pi}{h}(x - hk)$$

$\uparrow$   
n-dim. sinc-Fu., wie in Beispiel 2!

Sind  $f$  und  $g$   $b$ -bandbeschränkt, so gilt:

$$\int f g \, dx = h^n \sum_{k \in \mathbb{Z}^n} f(hk) g(hk)$$

Bemerkung: 1.)  $h \leq \frac{\pi}{b}$  heißt Nyquist-Bedingung

$h < \frac{\pi}{b}$  : Oversampling (Überabtasten)

$h > \frac{\pi}{b}$  : Undersampling (Unterabtasten)

2.)  $\text{sinc} x = f(x)$

$$\hat{f}(\xi) = c \cdot (\delta_1 - \delta_{-1}), \quad \text{hat "Bandbreite 1"}$$

$h = \pi$ ,  $\text{sinc}(\pi k) = 0 \Rightarrow f(x) = 0$  nach obigem Satz (alle  $f(hk) = 0!$ )  $\downarrow$

$\Rightarrow$  Shannon <sup>i. allg. so</sup> ~~hier~~ nicht richtig für Distributionen

Satz 4.1. (Shannon)

Sei  $f \in L_2(\mathbb{R}^n)$   $b$ -Ladungsbegrenzt und  $h \in \frac{\pi}{b}$ . Dann ist  $f$  eindeutig bestimmt durch die Werte  $f(hk)$ ,  $k \in \mathbb{Z}^n$ , und

$$f(x) = \sum_{k \in \mathbb{Z}^n} f(hk) \operatorname{sinc} \frac{\pi}{h} (x - hk)$$

=:  $(S_h f)(x)$  "sinc-Reihe" (sinc = sinus cardinalis)

mit Konvergenz in  $L_2(\mathbb{R}^n)$ .

Erfüllt  $g$  die gleichen Voraussetzungen wie  $f$ , so ist

$$(f, g) = \int f \bar{g} \, dx$$

$$= h^n \sum_{k \in \mathbb{Z}^n} f(hk) \bar{g}(hk)$$

Beweis: Fourier-Reihen in  $L_2([-a, a]^n)$ :

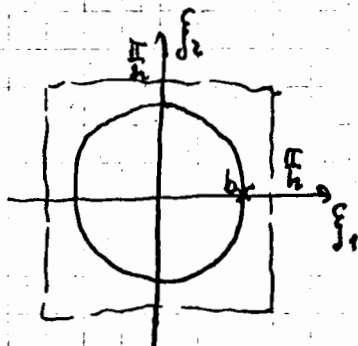
$$f(x) = \sum_{k \in \mathbb{Z}^n} \hat{f}_k e^{i\pi x \cdot k/a}$$

$$\hat{f}_k = (2a)^{-n} \int_{[-a, a]^n} f(x) e^{-i\pi x \cdot k/a} \, dx$$

$$\hat{f}(\xi) = \sum_{k \in \mathbb{Z}^n} \hat{f}_k e^{i\pi \xi \cdot k/a},$$

$$\hat{f}_k = (2a)^{-n} \int_{[-a, a]^n} \hat{f}(\xi) e^{-i\pi \xi \cdot k/a} \, d\xi$$

$n=2$ :  
 $\frac{\pi}{h} \geq b$



$a = \frac{\pi}{h}$

$$\hat{f}(\xi) = \sum_{k \in \mathbb{Z}^n} \hat{f}_k e^{i\pi \xi \cdot k}$$

$$f_k = \left(\frac{2\pi}{h}\right)^{-n} \int_{[-\frac{\pi}{h}, \frac{\pi}{h}]^n} \hat{f}(\xi) e^{-i h \xi \cdot k} d\xi$$

$$\Rightarrow f_k = \left(\frac{2\pi}{h}\right)^{-n} \int_{\mathbb{R}^n} \hat{f}(\xi) e^{-i h \xi \cdot k} d\xi$$

wobei  $\hat{f}(\xi) = 0$  außerhalb  $[-\frac{\pi}{h}, \frac{\pi}{h}]^n$

$$= h^n (2\pi)^{-\frac{n}{2}} \underbrace{(2\pi)^{-\frac{n}{2}} \int \hat{f}(\xi) e^{-i h \xi \cdot k} d\xi}_{f(-hk)}$$

$f(-hk)$

$$\hat{f}(\xi) = (2\pi)^{-\frac{n}{2}} h^n \sum_{k \in \mathbb{Z}^n} f(+hk) e^{-i h \xi \cdot k} \quad | \cdot \chi_{\frac{h}{2\pi}}(\xi)$$

in  $L_2\left([-\frac{\pi}{h}, \frac{\pi}{h}]^n\right)$

$$\chi_{\frac{h}{2\pi}}(\xi) = \begin{cases} 1 & \text{in } [-\frac{\pi}{h}, \frac{\pi}{h}]^n \\ 0 & \text{sonst.} \end{cases}$$

$$\Rightarrow \hat{f}(\xi) = (2\pi)^{-\frac{n}{2}} h^n \sum_{k \in \mathbb{Z}^n} f(hk) \chi_{\frac{h}{2\pi}}(\xi) e^{-i h \xi \cdot k}$$

in  $L_2(\mathbb{R}^n)$

Da  $\sim$  (inverse Fourier-Transform) stetig in  $L_2(\mathbb{R}^n)$ :

$$f(x) = (2\pi)^{-\frac{n}{2}} h^n \sum_{k \in \mathbb{Z}^n} f(hk) \left[ \chi_{\frac{h}{2\pi}} e^{-i h \xi \cdot k} \right]^\sim(x)$$

$$\begin{aligned} \left( \text{sinc} \frac{\mathbb{R}}{h} \right)_{hk} (x) &= \text{sinc} \frac{\mathbb{R}}{h} (x+hk) \\ &= \text{sinc} \frac{\mathbb{R}}{h} (x+hk) \end{aligned}$$

$$\begin{aligned} \left[ \left( \text{sinc} \frac{\mathbb{R}}{h} \right)_{-hk} \right]^\wedge (\xi) &= e^{-ih\xi \cdot k} \left[ \text{sinc} \frac{\mathbb{R}}{h} \right]^\wedge (\xi) \\ &= e^{-ih\xi \cdot k} \left( \frac{\mathbb{R}}{2} \right)^{\frac{n}{2}} \left( \frac{h}{\pi} \right)^n \chi_{\frac{h}{\pi}} (\xi) \\ &= (2\pi)^{-\frac{n}{2}} h^n e^{-ih\xi \cdot k} \chi_{\frac{h}{\pi}} (\xi) \end{aligned}$$

$$\Rightarrow f(x) = \sum_{k \in \mathbb{Z}^n} f(hk) \text{sinc} \frac{\mathbb{R}}{h} (x-hk) \quad \text{in } L_2(\mathbb{R}^n)$$

$$\begin{aligned} (f, g) &= \int f \bar{g} \, dx = \int \hat{f} \overline{\hat{g}} \, d\xi = \int_{[-\frac{\mathbb{R}}{h}, \frac{\mathbb{R}}{h}]^n} \hat{f} \overline{\hat{g}} \, d\xi = \\ &= \left( \frac{2\mathbb{R}}{h} \right)^n \sum_k f_k \bar{g}_k \\ &= \underbrace{\left( \frac{2\mathbb{R}}{h} \right)^n \left[ h^n (2\pi)^{-\frac{n}{2}} \right]^2}_{= h^n} \sum_k f(+hk) \bar{g}(hk) \end{aligned}$$

ist in Grunde Trapezregel für  $\hat{f}$ ?

Korollar:  $\hat{f}(\xi) = (2\pi)^{-\frac{n}{2}} h^n \sum_{k \in \mathbb{Z}^n} f(hk) e^{-ih\xi \cdot k}$

d.h. Trapezregel für Fourier-Trafo ist exakt.

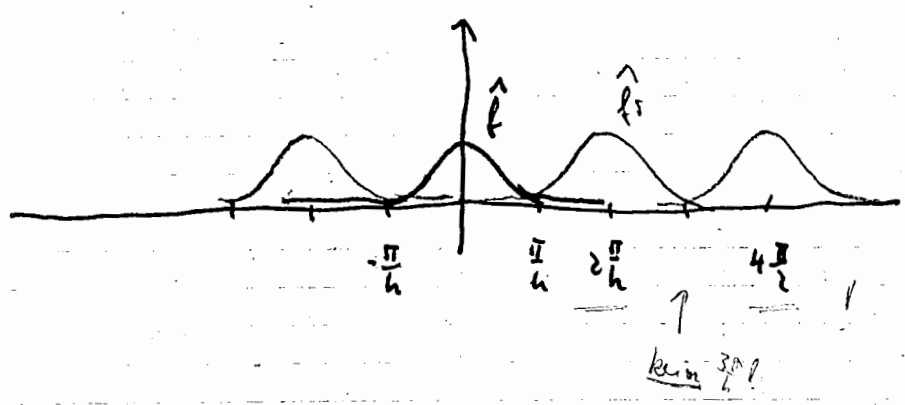
$$\underline{f_s(x)} = h^n \sum_{k \in \mathbb{Z}^n} f(hk) \delta(x-hk) \quad \left. \begin{array}{l} \text{Durch Sampling erzeugte} \\ \text{Dirac-Reihe!} \\ \text{erzeugt im Frequenzbereich} \\ \text{periodische Fortsetzung} \end{array} \right\}$$

$$\underline{f_s} := h^n f \sqcup_h \quad \text{für allg. Gitter siehe S. 46!}$$

Satz 4.2.:  $\hat{f_s}(\xi) = \sum_{\ell \in \mathbb{Z}^n} \hat{f}(\xi - \frac{2\pi}{h} \ell)$  !

→ aliasing etc.

n=1:



Beweis:  $\hat{f_s}(\xi) = h^n \sum_{k \in \mathbb{Z}^n} f(hk) \hat{\delta}(\xi) e^{-ikh \cdot \xi}$

$$= h^n (2\pi)^{-\frac{n}{2}} \sum_{k \in \mathbb{Z}^n} f(hk) e^{-ikh \cdot \xi}$$

Poisson'sche Formel (Satz 3.3.):

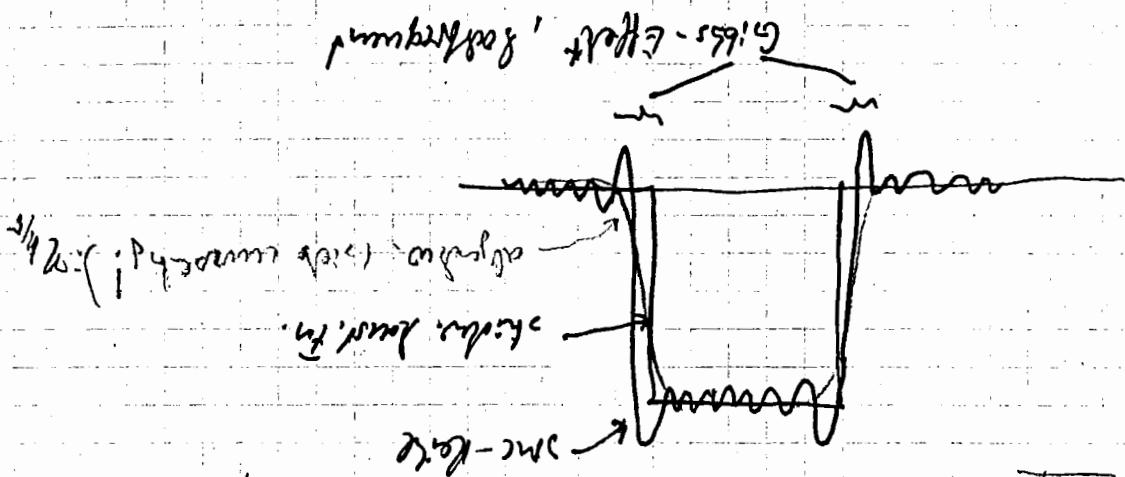
$$\sum_{\ell \in \mathbb{Z}^n} \hat{f}(\xi - 2\pi \ell) = (2\pi)^{-\frac{n}{2}} \sum_{k \in \mathbb{Z}^n} \tilde{f}(k) e^{-ik \cdot \xi}$$

$$= (2\pi)^{-\frac{n}{2}} h^n \sum_{k \in \mathbb{Z}^n} f(hk) e^{-ik \cdot \xi h}$$

Wende Satz 3.3. auf  $f_h$  an! □

Ihre unterscheiden sich  $\hat{f}$  und  $\hat{f_s}$  ?

Vermeidung des Gibbs-Eff. durch Saftes Abscheiden



Durch abgerundete Abscheiden können hohe Frequenzen mit ins Bild:

$$= \sum_{k \in \mathbb{Z}^n} f(h \cdot k) \text{ sinc } \frac{\pi}{h}(x - hk)$$

$$= (2\pi)^{-\frac{n}{2}} \sum_{k \in \mathbb{Z}^n} f(h \cdot k) \tilde{\chi}_{\frac{\pi}{h}}(x - hk)$$

$$\tilde{f}_s \tilde{\chi}_{\frac{\pi}{h}}(x) = (2\pi)^{-\frac{n}{2}} f_s \left( \tilde{\chi}_{\frac{\pi}{h}} \right)^{-x} =$$

$$\left( \tilde{\chi}_{\frac{\pi}{h}} \right)^{-x} = (2\pi)^{-\frac{n}{2}} h^{-n} \text{ sinc } \frac{\pi}{h}(x)$$

Beweis:  $\left( \tilde{f}_s \tilde{\chi}_{\frac{\pi}{h}} \right)^{-x} = f_s * \tilde{\chi}_{\frac{\pi}{h}}^{-x}$

= f(x), falls Nyquist-Bedingg. erfüllt!

$$\sum_{k \in \mathbb{Z}^n} f(hk) \text{ sinc } \frac{\pi}{h}(x - hk)$$

deshalb:  $\left( \tilde{f}_s \tilde{\chi}_{\frac{\pi}{h}} \right)^{-x} \stackrel{\text{Bos. 1}}{=} S_h f \leftarrow \text{sinc-Kurve}$

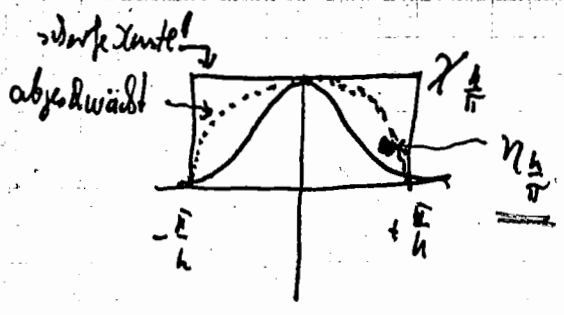
i)  $\tilde{f}_s \tilde{f}_s$  unterscheiden sich nur allein auf/unterhalb  $[-\frac{\pi}{h}, +\frac{\pi}{h}]$

"Abscheiden" und dann inverse FT!

wegen periodischer Fortsetzung

vgl. Bd. 1.3.6.9

Grund:



Scenar  
Abschwächen

z.B.:  $\eta_{\frac{h}{\pi}}(f) = \cos\left(\frac{\pi}{2} \frac{h}{\pi} f\right)$  } statt  $\gamma_{\frac{h}{\pi}}$  in die Formel S.39 oben!

Wege sanfterer Abschwächen

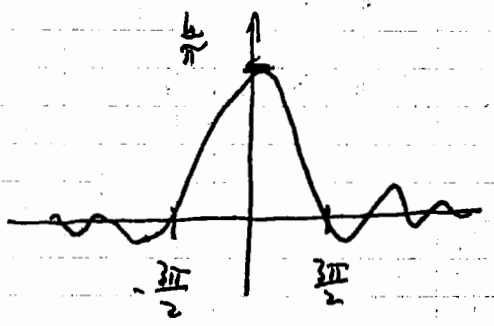
⇒ statt sinc-Reihe:

$$E_h f = \left( \hat{f}_k \eta_{\frac{h}{\pi}} \right) \sim$$

↪ nicht exakte sinc-Reihe durch IFT, sondern ein anderer (ähnlicher) Ausdruck

⇒  $(E_h f)(x) = \sum_{k \in \mathbb{Z}} f(hk) \cdot ec\left(\frac{\pi}{h}(x-hk)\right)$

mit  $ec(x) = \frac{\pi \cos x}{\pi^2 - x^2}$



Neun Bild vs. (08.11.90)

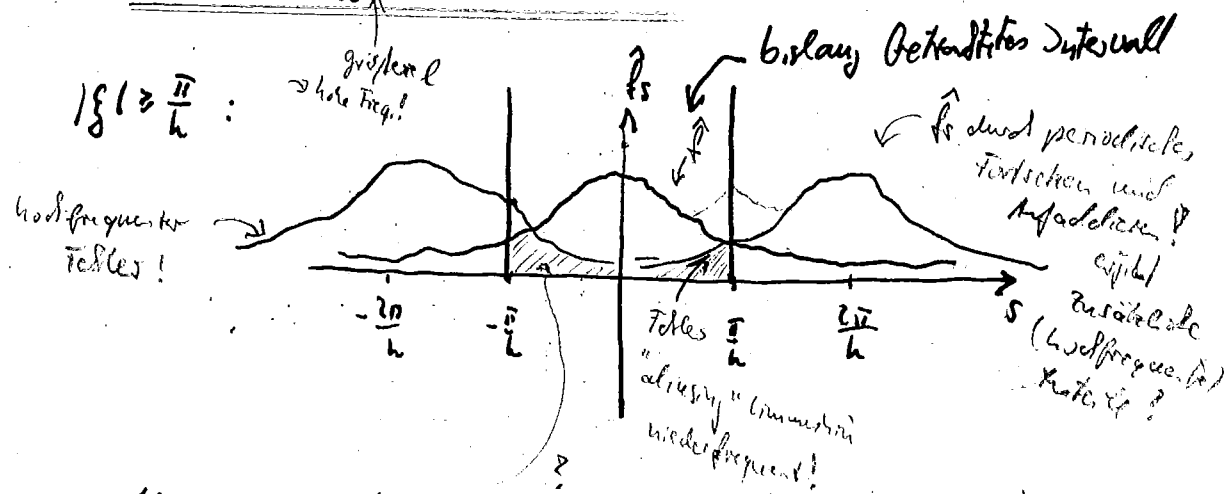
$f, f(hk)$  bekannt,  $k \in \mathbb{Z}^n$ ,  $f \neq ?$

Zwei Arten von Fehlern

1.) Hochfrequenter Fehler

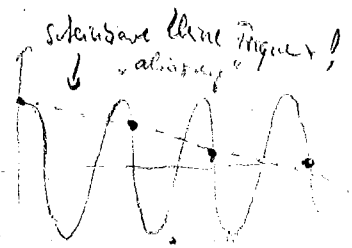
(r.o., S.36!) Was ist der Unterschied zum aliasing?

$$\hat{f}_s(\xi) = \sum_l \hat{f}\left(\xi - \frac{2\pi}{h} l\right)$$



2.) Niederfrequenter Fehler

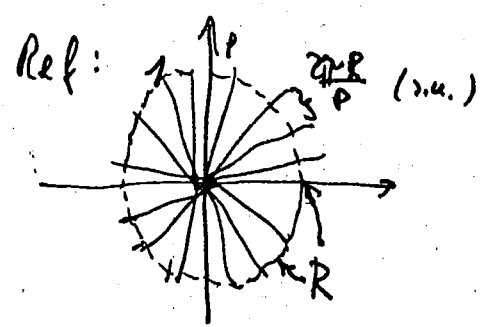
("aliasing", "fall over" - Fehler)



Beispiel:  $f(x) = \begin{cases} e^{-ip\varphi} & |x| < R \\ 0 & \text{sonst} \end{cases}$

( $n=2$ )  
 $x = r \begin{pmatrix} \cos\varphi \\ \sin\varphi \end{pmatrix}$

Also: Fehlerhafte Abtasten dieser hohen Frequenz bewirkt einen mit verstärktem niederfrequenten Anteil und verfälcht somit das niederfrequente Bild!



Resultat: verlust aller zu hohen Frequenzen (Nyquist) rauszunehmen!

$$\hat{f}(\xi) = (2\pi)^{-1} \int e^{-ix \cdot \xi} f(x) dx$$

$$= \frac{1}{\pi} \int_0^{2\pi} \int_0^R e^{-i(p \cos(\varphi-\psi) + ip\varphi)} r dr d\varphi$$

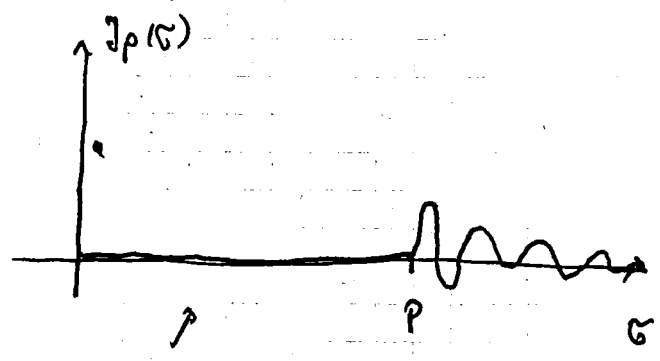
$$\xi = \rho \begin{pmatrix} \cos\psi \\ \sin\psi \end{pmatrix}$$



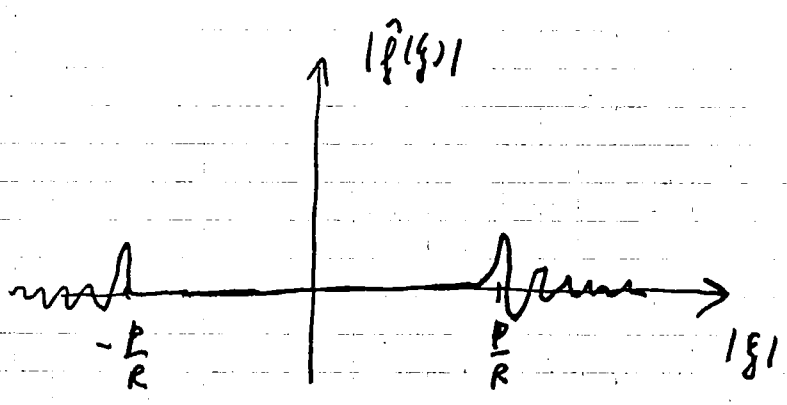
$$J_p(\sigma) = \frac{i^{-p}}{2\pi} \int_0^{2\pi} e^{i\sigma \cos \varphi - ip\varphi} d\varphi \quad \text{Bessel-fu.}$$

$$\sim \hat{f}(\xi) = i^p \int_0^R r J_p(-r\xi) dr e^{ip\psi} \quad \sim 0 \text{ falls } R_p \leq p-2$$

↓ d.h. praktisch  $|\xi| \leq \frac{p}{R}$



praktisch = 0 für  $\sigma < p-2$  und  $p$  groß

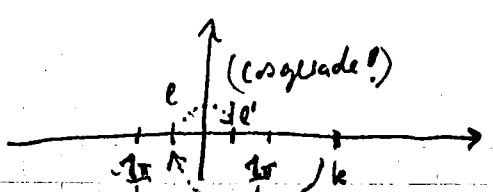


⇒  $f$  enthält keine Details  $\leq \frac{2\pi R}{p}$

Heuristische Betrachtung des aliasing:

$\cos kx, \cos lx$  betrachte auf filter  $h \cdot \mathbb{Z}$

ununterscheidbar, falls  $k-l = \frac{2\pi}{h}$  oder Vielfache davon



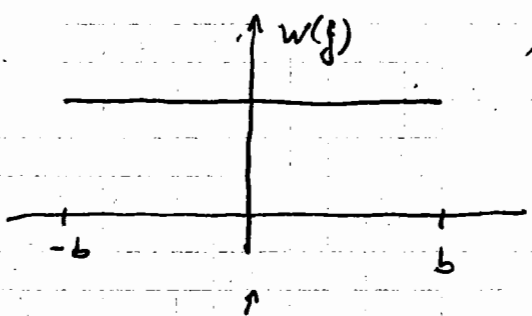
Nur möglich, falls  $k$  oder  $l$  außerhalb  $[-\frac{\pi}{h}, \frac{\pi}{h}]$

Falls  $|k|, |l| < \frac{\pi}{h}$ , sind  $\cos kx, \cos lx$  auf  $h\mathbb{Z}$  unterscheidbar  
 ist also gerade Nyquist-Bedingung.

Vermeidung von aliasing: "erst Filtern, dann Sampeln"

Filtern:  $f \rightarrow (w\hat{f})^{\sim}$   
 ↑  
 Filter

Falls:  $w(\xi) = 0$  für  $|\xi| > b$ , dann  $(w\hat{f})^{\sim}$  wieder  $b$ -bandbeschr.



"Ideales Tiefpass" (d.h.: niedrige Frequenzen dürfen passieren, hohe nicht)

Es muss analog gefiltert werden, sonst trotzdem Diskretisierungsfehler (z.B. nicht digital filtern?)

$$(w\hat{f})^{\sim} = (2\pi)^{-n/2} \hat{w} * f$$

Satz 2.2: (Faltungssatz):

Sei  $f \in \mathcal{S}, T \in \mathcal{S}'$ . Dann:

a.)  $\widehat{f * T} = (2\pi)^{n/2} \hat{f} \hat{T}$

b.)  $\widehat{f \cdot T} = (2\pi)^{-n/2} \hat{f} * \hat{T}$

→ letzte ist auf Übung des Feldes

Beweis: Yosida

ist der Fehler, falls hoch Unterkriterium die  
 sine-keile für f berechnet wird!  
 (Mat, S. 57?)

Satz 4.3.: Sei  $f \in \mathcal{S}$ . Dann gilt:

$$|(\mathcal{S}_h f - f)(x)| \leq 2(2\pi)^{-\frac{n}{2}} \int_{\mathbb{R}^n \setminus [-\frac{\pi}{h}, \frac{\pi}{h}]^n} |\hat{f}(\xi)| d\xi$$

= 0, d.h. exakt, falls Stannon erfüllt! sonst!

Dieses Integral ist gleich 0, falls  
 $|\hat{f}(\xi)| = 0 \forall \xi \in \mathbb{R}^n \setminus \{0\}$  (→ Nullfunktion. Bsp.?)

Beweis:

$$(\mathcal{S}_h f)^\wedge \stackrel{\text{vgl. S. 37?}}{=} \hat{f} \cdot \chi_{\frac{h}{\pi}}$$

$$= \chi_{\frac{h}{\pi}} \sum_{\ell} \hat{f}(\xi - \frac{i\pi}{h} \ell) = \chi_{\frac{h}{\pi}} \hat{f}(\xi) + \chi_{\frac{h}{\pi}} \hat{a}$$

$$\hat{a} = \sum_{\ell \neq 0} \hat{f}(\xi - \frac{i\pi}{h} \ell)$$

$$\Rightarrow (\mathcal{S}_h f - f)^\wedge = (\chi_{\frac{h}{\pi}} - 1) \hat{f} + \chi_{\frac{h}{\pi}} \hat{a}$$

d.h. hier stehen alle  
 nieders- (oder -) und  
 hochfrequente Teile drin!

$$\Rightarrow (\mathcal{S}_h f - f)(x) = (2\pi)^{-\frac{n}{2}} \int e^{ix \cdot \xi} \{ (\chi_{\frac{h}{\pi}} - 1) \hat{f} + \chi_{\frac{h}{\pi}} \hat{a} \} d\xi$$

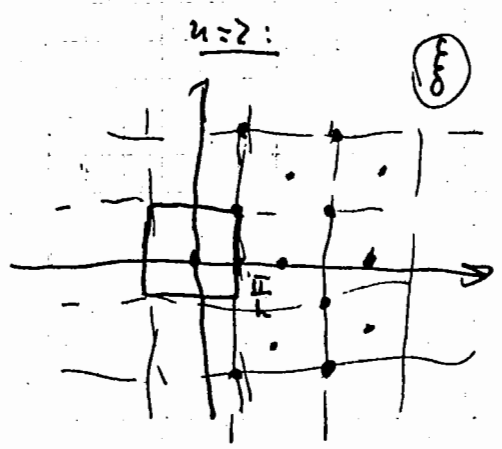
$$\int_{[-\frac{\pi}{h}, \frac{\pi}{h}]^n} e^{ix \cdot \xi} \hat{a}(\xi) d\xi = \int_{[-\frac{\pi}{h}, \frac{\pi}{h}]^n} e^{ix \cdot \xi} \sum_{\ell \neq 0} \underbrace{\hat{f}(\xi - \frac{i\pi}{h} \ell)}_{\xi'}$$

$$= \sum_{\ell \neq 0} \int_{[-\frac{\pi}{h}, \frac{\pi}{h}]^n - \frac{2\pi}{h} \ell} e^{ix \cdot (\xi + \frac{i\pi}{h} \ell)} \hat{f}(\xi') d\xi'$$

Winkel verschieben!

$$\leq \sum_{\ell \neq 0} \int_{[-\frac{\pi}{h}, \frac{\pi}{h}] - \frac{2\pi}{h} \ell} |\hat{f}(\xi)| d\xi$$

$$= \int_{\mathbb{R}^n \setminus [-\frac{\pi}{h}, \frac{\pi}{h}]^n} |\hat{f}(\xi)| d\xi$$



$$\Rightarrow \left| \int_h f - f(x) \right| \leq 2 \cdot (2\pi)^{-\frac{n}{2}} \int_{\mathbb{R}^n \setminus [-\frac{\pi}{h}, \frac{\pi}{h}]^n} |\hat{f}(\xi)| d\xi$$

Satz 4.4:  $f, g \in \mathcal{S}$  [Nkt, 5.08 oben]

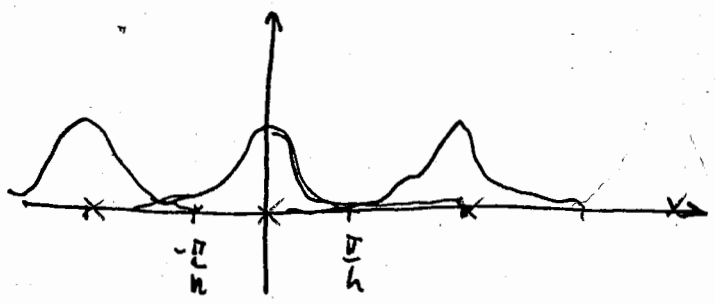
$$\frac{(f *^h g)(x)}{h^n} = \sum_{k \in \mathbb{Z}^n} f(x - hk) g(hk)$$

↑  
Faltung + Trapezregel  
"diskret gefaltet"

$$\frac{(f *^h g - f * g)^\wedge(\xi)}{(2\pi)^{n/2}} = \hat{f}(\xi) \sum_{\ell \neq 0} \hat{g}\left(\xi - \frac{2\pi}{h} \ell\right)$$

also Abweichung  
im allg.  
außerhalb!  
(→ Pl. Tests!?)

vgl. Anwendung bei  
gef. Filter Blindprog.!



Beweis!  $(f *^h g)^\wedge(\xi) = h^n \sum_{k \in \mathbb{Z}^n} g(hk) e^{-ikh \cdot \xi} \hat{f}(\xi)$

Poisson'sche Formel:

$$= (2\pi)^{\frac{n}{2}} \sum_{\ell \in \mathbb{Z}^n} \hat{g}\left(\xi - \frac{2\pi}{h} \ell\right) \hat{f}(\xi)$$

$$= (2\pi)^{\frac{n}{2}} \hat{g}(\xi) \hat{f}(\xi) + (2\pi)^{\frac{n}{2}} \sum_{\ell \neq 0} \hat{g}\left(\xi - \frac{2\pi}{h} \ell\right) \hat{f}(\xi)$$

$$= \sum_{\ell \neq 0} \hat{g}\left(\xi - \frac{2\pi}{h} \ell\right) \hat{f}(\xi)$$

$$= (g * f)^\wedge(\xi) + \dots$$

§5 Das Abklatprozess von Peterseu-Middleton

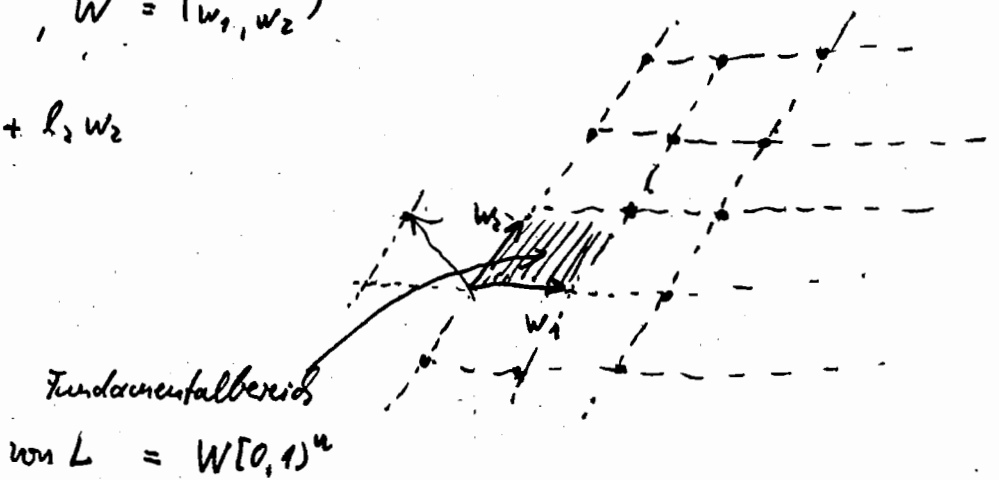
(5.1) Def: Sei  $W$  eine  $(n, n)$ -Matrix mit Elementen aus  $\mathbb{R}$ ,  
 $W$  sei nicht singular. Dann heit

$$L := \{x \in \mathbb{R}^n : x = Wl, l \in \mathbb{Z}^n\} = \underline{W \mathbb{Z}^n}$$

ein (von  $W$  erzeugtes) Gitter.

Beispiel:  $n=2$ ,  $W = (w_1, w_2)$

$$l_1 w_1 + l_2 w_2$$



$$( = \mathbb{R}^n / L \rightarrow \text{Quotientenring} )$$

Lemma:  $L_1 = W_1 \mathbb{Z}^n$ ,  $L_2 = W_2 \mathbb{Z}^n$  <sup>Sei  $l_1 = l_2$</sup>  Gitter. Dann gibt es  
eine ganze Matrix  $U$  mit  $\det(U) = \pm 1$ , so da  
 $W_1 = W_2 U$

Beweis:  $\forall l_1 \exists l_2 : W_1 l_1 = W_2 l_2$

$$l_2 = \underbrace{W_2^{-1} W_1}_{=: U} l_1 \Rightarrow U \text{ ganz (d.h. Koeff. } \in \mathbb{Z} \text{)}$$

$U^{-1}$  mu auch ganz sein (aus Symm. grnden)  
 $\Rightarrow \det(U), \det(U^{-1})$  sind ganze Zahlen

wegen  $\det(U) = [\det(U^{-1})]^{-1} \Rightarrow \det U = \pm 1$

Folgerung:  $|\det(W)|$  ist invariant unter der Darstellung des Gitters  
!!

$\det(L)$  falls  $L = W\mathbb{Z}^n$

Def S.2.:  $\hat{L} = \sum_{\pi} (W^{-1})^T \mathbb{Z}^n = \sum_{\pi} (W^{-T}) \mathbb{Z}^n$   
transponiert

heißt reziprokes (od. duales) Gitter.

Bemerkung: Def. sinnvoll:

denn: sei  $\det(U) = \pm 1$ ,  $U$  ganz  $\Rightarrow$

$$\begin{aligned} & \sum_{\pi} ((WU)^{-1})^T \mathbb{Z}^n \\ &= \sum_{\pi} (U^{-1}W^{-1})^T \mathbb{Z}^n = \sum_{\pi} W^{-T} \underbrace{U^{-T}}_{\text{ganz, det } \pm 1} \mathbb{Z}^n \end{aligned}$$

erzeugt dasselbe Gitter.

Volumen des Fundamentalbereiches:  $\det(L)$

Satz 5.1.: (Poisson'sche Formel):

Sei  $f \in \mathcal{S}(\mathbb{R}^n)$ . Dann gilt:  
= 1 für  $L = [0,1]^n$  vgl. S.27!

$$\sum_{\eta \in \hat{L}} \int_{\mathbb{R}^n} f(x - \eta) dx = \det(L) (2\pi)^{-\frac{n}{2}} \sum_{x \in L} f(x) e^{-i \frac{f \cdot x}{2}}$$

(vgl. S.27 für  $W = \mathbb{1}$ )

fest!

z.B.  $f = \delta!$

( Falls  $L = \mathbb{Z}^n$  : siehe Satz 3.3. )

Beweis:  $f_W(x) = f(Wx)$ .

Aufg. 2:  $\hat{f}_W(W^T \xi) = \frac{1}{|\det(W)|} \hat{f}(\xi)$  ,  $W^T \xi = \xi'$

$$\hat{f}_W(\xi') = \frac{1}{\det(L)} \hat{f}(W^{-T} \xi')$$

Satz 3.3  $\Rightarrow \sum_{k \in \mathbb{Z}^n} \hat{f}_W(\xi - 2\pi k) = (2\pi)^{-\frac{n}{2}} \sum_{k \in \mathbb{Z}^n} f(k) e^{-i\xi \cdot k}$

$$L = \mathbb{Z}^n \Rightarrow \hat{L} = 2\pi \mathbb{Z}^n$$

$$\Rightarrow \sum_{k \in \mathbb{Z}^n} \hat{f}(W^{-T}(\xi - 2\pi k)) = (2\pi)^{-\frac{n}{2}} \det(L) \sum_{k \in \mathbb{Z}^n} f(Wk) e^{-i\xi \cdot k}$$

siehe  $W^{-T} \xi = \xi'$

$$\Rightarrow \sum_{\eta \in \hat{L}} \hat{f}(\xi' - \eta) = (2\pi)^{-\frac{n}{2}} \det(L) \sum_{x \in L} f(x) e^{-iW^T \xi' \cdot k}$$

wegen  $W^T \xi' \cdot k = \xi' \cdot Wk = \xi' \cdot x$  folgt die Beh.

Zur Ortsbereich:

Def:  $\underline{\underline{W_L f}} := \sum_{x \in L} f(x)$  ,

vgl.  $W_L f_s$  auf S. 36!

$\underline{\underline{f_L}} := \det(L) f \underline{\underline{W_L}}$  ist Distr.!

↳ also: Ablaster auf dem Gitter  $L$ !

$$\left[ \sum_{\eta \in \hat{L}} \hat{f}(\xi + \eta) = \det(L) (2\pi)^{-\frac{n}{2}} \sum_{x \in L} f(x) \right] , \text{ d.h.:}$$

$$W_L \hat{f} = \det(L) (2\pi)^{-\frac{n}{2}} \underline{\underline{W_L f}}$$

$$\Rightarrow \widehat{W}_L = \det(L) (2\pi)^{-\frac{n}{2}} W_L \quad ]$$

Ergibt im Folgebereich:

Satz 5.2.:  $f \in \mathcal{F}(\mathbb{R}^n)$ . Dann gilt:

$$(f_L)^\wedge(\xi) = \sum_{\eta \in \hat{L}} \hat{f}(\xi - \eta)$$

s.o.: Periodisches Fortsetzen von  $\hat{f}$  durch diskretes Abtasten!

cf. 5.56!

Beweis:

$$(f_L)^\wedge = \det(L) (f W_L)^\wedge$$

$$\stackrel{\text{Satz 2.2.}}{=} \det(L) (2\pi)^{-\frac{n}{2}} \widehat{W}_L * \hat{f}$$

$$\stackrel{\text{s.o.}}{=} W_L * \hat{f}$$

$$(f_L)^\wedge(\xi) = W_L \sum_{\eta \in \hat{L}} \hat{f}(\xi - \eta)$$

$$= \sum_{\eta \in \hat{L}} \hat{f}(\eta - \xi) = \sum_{\eta \in \hat{L}} \hat{f}(\xi - \eta) \quad \square$$

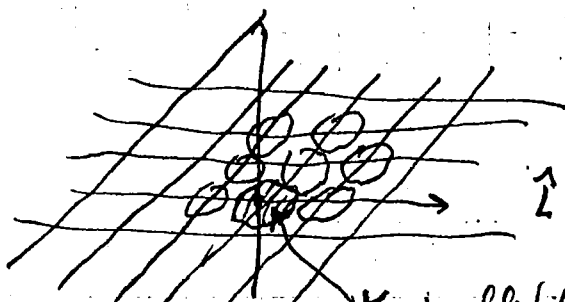
Satz 5.3.: (Abtasttheorem von Peteresen - Middleton):

Sei  $f \in L_2(\mathbb{R}^n)$ . Dann  $\hat{f}(\xi) = 0$  außerhalb einer Menge  $K \subset \mathbb{R}^n$ .

Es seien die Mengen  $K + \eta$ ,  $\eta \in \hat{L}$ , paarweise <sup>disjunkt</sup> verschieden.

Dann ist  $f$  eindeutig bestimmt durch seine Werte auf  $L$ .

Beweis: 1.)  $f \in \mathcal{F}(\mathbb{R}^n)$ .  $\hat{f} = (f_L)^\wedge$  in  $K$





$$\hat{f} = (f_L)^\wedge \text{ in } K$$

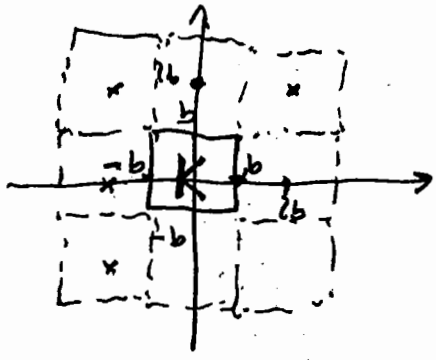
$$= 0 \text{ außerhalb } K$$

2.)  $f \in L_2(\mathbb{R}^n)$  : wie bei Shannon

Beispiele: 1.)  $K = [-b, +b]^n$ ,  $L = h \mathbb{Z}^n \Rightarrow$  Shannon?

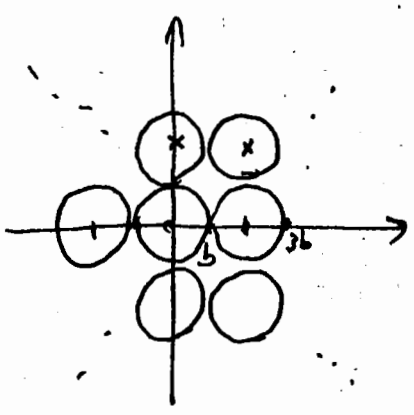
$$h \bar{\Delta} = \frac{\pi}{b}, \quad \hat{L} = 2\pi \frac{b}{\pi} \mathbb{Z}^n$$

$$= 2b \mathbb{Z}^n$$



2.)  $K = \{x \in \mathbb{R}^n : \|x\|_2 \leq b\}$ ,  $L$  wie in 1.)!

(\*)  
"Stabilitätskriterium erfüllt!"

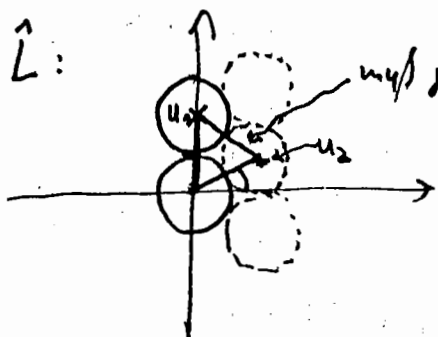


3.)  $K$  wie in 2.)  
wie kann  $\hat{L}$  (und damit  $L$ ) "effizienter"  
gewählt werden?

$$2\pi W^{-T} = (u_1, u_2)$$

$$u_1 = \begin{pmatrix} 0 \\ 2b \end{pmatrix}$$

$$u_2 = 2b \begin{pmatrix} \cos 30^\circ \\ \sin 30^\circ \end{pmatrix}$$



mus. gleichseitiges Dreieck sein!

$$u_2 = 2b \begin{pmatrix} \cos 30^\circ \\ \sin 30^\circ \end{pmatrix} = b \begin{pmatrix} \sqrt{3} \\ 1 \end{pmatrix}$$

vgl. S. 74  
in Nat 33

$$\Rightarrow \exists \pi W^{-T} = \frac{1}{b} \begin{pmatrix} 0 & \sqrt{3} \\ 2 & 1 \end{pmatrix}$$

$$\Rightarrow \exists \pi W^{-1} = \frac{1}{b} \begin{pmatrix} 0 & 2 \\ \sqrt{3} & 1 \end{pmatrix}$$

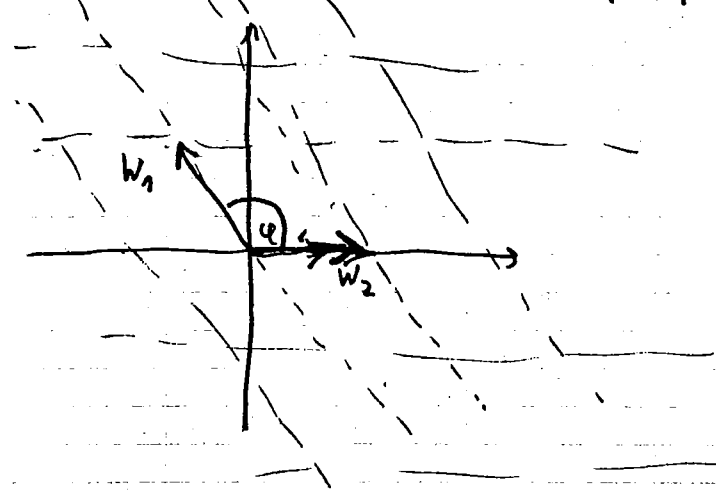
$$\Rightarrow W = \frac{\pi}{b} \begin{pmatrix} -\frac{1}{\sqrt{3}} & \frac{2}{\sqrt{3}} \\ 1 & 0 \end{pmatrix}$$

$$\cos \varphi = \frac{\langle w_1, w_2 \rangle}{\|w_1\| \|w_2\|} = \frac{-2/3}{4/3} = -\frac{1}{2}$$

$$\Rightarrow \varphi = 120^\circ$$

$w_1, w_2$  Spaltenvektoren von  $W$

$L$ :

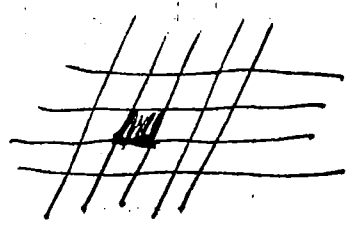


Beispiele aus der CT vgl. S. 146! Dort aber FT auf  $C^2$ ! Komplexwertes Struktur!

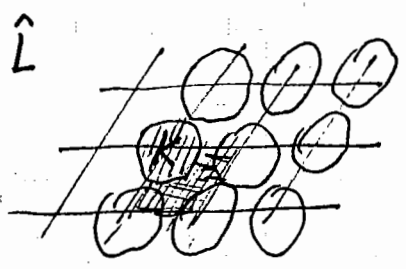
Effizienz von Gittern:

Def: 5.3.: Ein Gitter  $L$  erfüllt die Nyquist-Bedingung bzgl.  $K \subseteq \mathbb{R}^n$ , falls die Mengen  $K + \eta$ ,  $\eta \in \hat{L}$  paarweise fremd (disjunkt!) sind.

# Gitterpunkte pro Einheitsvolumen  $\hat{L}$ :  $\frac{1}{\det(L)}$



(falls Fundamentallbereich existiert klein spez. über Einheitsvol.)



Betrachte:  $\frac{\text{Vol}(K)}{\text{Vol}(\text{Fund. bereich})}$

Effizienz:  $\frac{1}{\det(L)}$  möglichst klein

$$\det(\hat{L}) = |\det(\sqrt{n} W^T)| = (\sqrt{n})^n \frac{1}{|\det(W)|}$$

$$= (\sqrt{n})^n \frac{1}{\det(L)}$$

also:  $\left\| \frac{\text{Vol}(K)}{\det(\hat{L})} =: \underbrace{\eta(L, K)}_{\text{Effizienz von } L \text{ bzgl. } K} \right\|$  möglichst groß

Maximale Effizienz:  $\eta = 1$  ?

(weil aus Nyquist-Bedg. folgt, dass  $\text{Vol}(K) \leq \det(\hat{L})$ )

Beispiele: 1.)  $K = [-b, b]^n$ ,  $L = h\mathbb{Z}^n$ ,  $h = \frac{\pi}{b}$   
(wie oben?)

$$\text{Vol}(K) = \det(\hat{L}) \Rightarrow \eta(L, K) = 1$$

$\Rightarrow L$  maximal effizient für dieses  $K$

2.)  $K = \{f \in \mathbb{R}^n, |f_i| < b\}$ ,  $L$  wie in 1.)

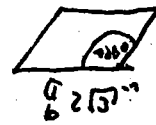
$$\eta(L, K) = \frac{b^n \omega_n}{(\sqrt{b})^n}, \quad \omega_n = \text{Vol. der } n\text{-dim. Einheitskugel}$$

$$\underline{n=1}: \quad \eta = 1$$

$$\underline{n=2}: \quad \eta = \frac{\pi}{4} = \underline{\underline{0.785}}$$

3.) n=2:

$$\eta(L, K) = \frac{\pi b^2}{2\sqrt{3}b^2} = \frac{\pi}{2\sqrt{3}} = \underline{\underline{0.907}}$$



Also: für  $n=2$  ist das L aus Bsp. 3.) effizienter als das L aus Bsp. 2.)!

(Numer. Bildv. 15.11.90)

Nyquist - Bedg.:  $K + \eta$ ,  $\eta \in \hat{L}$  paarweise fremd  
 $\Rightarrow$  Gitterpackung von  $K$

$\eta(L, K)$  Dichte der Gitterpackung

(Lit: Erdős, Pichal.: Lattice points

Verlag Longman, New York 1989)

Beispiele: 3.)  $K = \{x \in \mathbb{R}^2 : |x| < b\}$

$L:$



$\cong$  hexagonales Gitter

4.)  $K = \{x \in \mathbb{R}^n : |x| < b\}$

Effizienz des kartes. Gitters?  $\downarrow$  max. mögliche Effizienz?

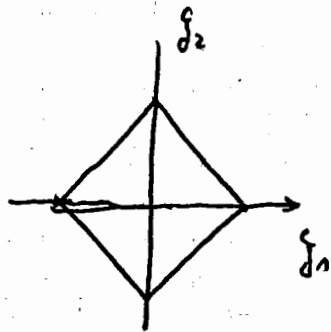
	$\eta_{\text{cartes.}}$	$\eta_{\text{eff.}}$
1	1	1
2	0.785	0.907
3	0.524	0.742
4	0.308	0.612
5	0.165	0.466
6	0.087	0.373
7	0.037	0.295
8	0.005	0.081

für Anwendungen interessant  $\rightarrow$

$$n=3: \eta_{\text{cart}}(L, K) = \frac{\frac{4}{3} \pi b^3}{(2b)^3} = \frac{|K|}{\det(L)} = \frac{\pi}{6} = 0.524$$

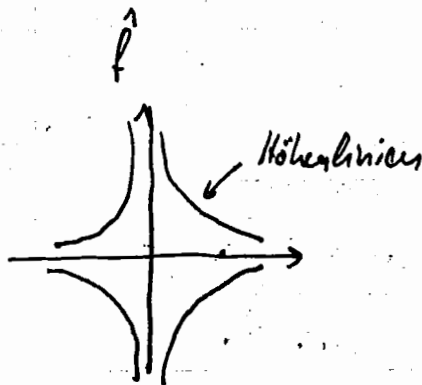


5.) (Aufg. 16.) :



$f =$  stat. Fu. des Einheitsquadrates

$$\hat{f}(\xi) = c \cdot \text{sinc}(\xi) = c \frac{\sin \xi_1}{\xi_1} \frac{\sin \xi_2}{\xi_2}$$



Verallgemeinerte sinc - Funktionen für bel. Gitter :

$$\chi_k(x) = \begin{cases} 1, & x \in K \\ 0 & \text{sonst} \end{cases}$$

$$\text{sinc}_{L,K} \underset{\rightarrow L}{=} \det(L) (2\pi)^{-\frac{d}{2}} \underset{\uparrow \rightarrow K}{\sim} \chi_k$$

$$\underline{S_{L,K} f} = \sum_{y \in L} f(y) \text{sinc}_{L,K}(x-y) \leftarrow \text{sinc - Kerne für bel. Gitter!}$$

$$(\underline{S_{L,K} f})^\wedge(\xi) = \sum_{y \in L} f(y) e^{-iy \cdot \xi} \det(L) (2\pi)^{-\frac{d}{2}} \chi_k(\xi)$$

Poisson'sche Formel =  $\sum_{y \in L} \chi_k(\xi) \sum_{y \in L} \hat{f}(\xi - y) = (\hat{L} \chi_k)^\wedge(\xi)$

$$\Rightarrow \underline{(S_{L,K} f)^\wedge} = \hat{f}_L \chi_K \quad (\text{vgl. S.57 für } W=1!)$$

Satz 5.4  $f \in \mathcal{F}$ ,  $L$  erfüllt Nyquist-Bedingung bzgl.  $K$ .

Dann gilt:

$$\| (S_{L,K} f - f)(x) \| \leq 2(\pi)^{-1/2} \int_{\mathbb{R}^n \setminus K} |\hat{f}(\xi)| d\xi$$

(Teilw. bei Unterabtastung für Bel. Filter, vgl. S.42 für  $W=1$ !)

Beweis:

$$\begin{aligned} (S_{L,K} f)^\wedge(\xi) &= (\hat{f}_L \chi_K)(\xi) = \\ &= \chi_K(\xi) \sum_{\eta \in \mathbb{Z}^n} \hat{f}(\xi - \eta) = \\ &= \chi_K(\xi) \hat{f}(\xi) + \chi_K(\xi) \sum_{\substack{\eta \in \mathbb{Z}^n \\ \eta \neq 0}} \hat{f}(\xi - \eta) \end{aligned}$$

( $K$  mag nicht mehr zus. hängend sein!)

$$\Rightarrow (S_{L,K} f - f)^\wedge(\xi) = (\chi_K(\xi) - 1) \hat{f}(\xi) + \chi_K(\xi) \sum_{\substack{\eta \in \mathbb{Z}^n \\ \eta \neq 0}} \hat{f}(\xi - \eta)$$

$$\Rightarrow (S_{L,K} f - f)(x) = (\pi)^{-1/2} \int_{\mathbb{R}^n} \{ e^{ix \cdot \xi} (\chi_K - 1) \hat{f} + \chi_K \sum_{\substack{\eta \in \mathbb{Z}^n \\ \eta \neq 0}} \hat{f}(\xi - \eta) \} d\xi$$

$$\Rightarrow \| \cdot \| \leq (\pi)^{-1/2} \left( \int_{\mathbb{R}^n \setminus K} |\hat{f}(\xi)| d\xi + \int_K \sum_{\substack{\eta \in \mathbb{Z}^n \\ \eta \neq 0}} |\hat{f}(\xi - \eta)| d\xi \right)$$

$\xi - \eta = \xi'$

$$\leq \sum_{\substack{\eta \in \mathbb{Z}^n \\ \eta \neq 0}} \int_{K - \eta} |\hat{f}(\xi')| d\xi'$$

$$\leq \int_{\mathbb{R}^n \setminus K} |\hat{f}(\xi)| d\xi \quad \left. \begin{array}{l} \text{weil} \\ \text{Nyquist-} \\ \text{Bedg.} \end{array} \right\}$$

⇒ Def.

□

Satz 5.5: Sei  $f, g \in \mathcal{S}$ ,  $f \overset{L}{*} g(x) := \det(L) \sum_{\gamma \in L} f(x-\gamma) g(\gamma)$

Dann gilt:

$$\underline{(f \overset{L}{*} g - f * g)^\wedge(\xi)} = \underbrace{\hat{f}(\xi)}_{(2\pi)^{n/2}} \sum_{\substack{\eta \in L \\ \eta \neq 0}} \underline{\hat{g}(\xi-\eta)}$$

(vgl. 5.43 für  $W=1$ !)

Beweis:

$$\begin{aligned} (f \overset{L}{*} g)^\wedge(\xi) &= \det(L) \sum_{\gamma \in L} e^{-i\gamma \cdot \xi} \hat{f}(\xi) g(\gamma) \\ &= \hat{f}(\xi) \sum_{\eta \in L} \hat{g}(\xi-\eta) \cdot (2\pi)^{n/2} \\ &= \underbrace{(2\pi)^{n/2} \hat{f}(\xi) \hat{g}(\xi)}_{(f * g)^\wedge(\xi)} + (2\pi)^{n/2} \hat{f}(\xi) \sum_{\substack{\eta \in L \\ \eta \neq 0}} \hat{g}(\xi-\eta) \end{aligned}$$

□



## §6 Die diskrete Fourier-Transformation (n-dim!)

$$\hat{Y}_k = p^{-n} \sum_{\substack{0 \leq j < p \\ \text{komp. weik!}}} e^{-2\pi i j \cdot k / p} Y_j \quad (\text{diskr. F.T.})$$

$$j = (j_1, \dots, j_n)$$

$$k = (k_1, \dots, k_n)$$

$$j \cdot k = \sum_{\ell=1}^n j_\ell k_\ell$$

$$\tilde{Y}_k = \sum_{0 \leq j < p} e^{2\pi i j \cdot k / p} Y_j \quad (\text{inverse diskr. F.T.})$$

n-dim. diskrete FT der Länge p

n=2:  $k = (k_1, k_2)$ ,  $j = (j_1, j_2)$

$$Y_{k_1, k_2} = \frac{1}{p^2} \sum_{j_1=0}^{p-1} \sum_{j_2=0}^{p-1} e^{-2\pi i (j_1 k_1 + j_2 k_2) / p} Y_{j_1, j_2} =$$

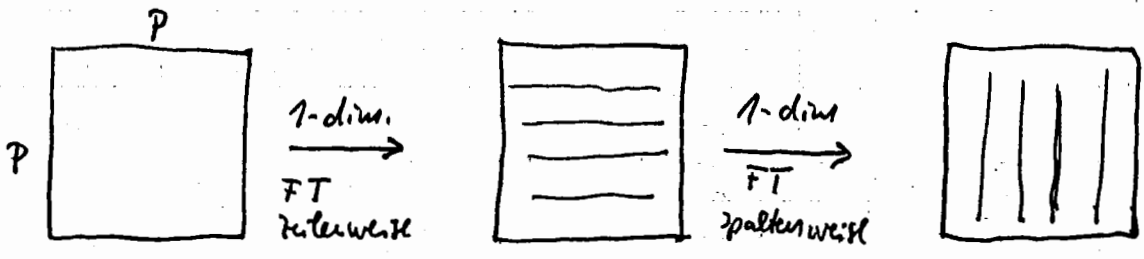
$$= \frac{1}{p} \sum_{j_1=0}^{p-1} e^{-2\pi i j_1 k_1 / p} \underbrace{\frac{1}{p} \sum_{j_2=0}^{p-1} e^{-2\pi i j_2 k_2 / p} Y_{j_1, j_2}}_{\substack{\forall j_1 = 0, \dots, p-1 \text{ je eine} \\ \text{1-dim. FT der Länge } p}} =$$

ergibt  $\hat{Y}_{j_1, k_2} \stackrel{\forall j_1}{=} \Rightarrow$  n-dim FT  
dies ist  
 Kontaktstelle 1-dim  
 FFT!

FFT = schnelle FT = Algorithmus zur 1-dim FT  
 mit  $p \log p$  Operationen.

! FFT für n-dim FT der Länge p:  $p^n \log p$  RO. !

nicht  $(p \log p)^n$  !



Discrete Faltung: (n-dim):

$$z_k = \sum_{l=0}^{p-k} w_{k+l} y_l, \quad 0 \leq k < p \quad \text{Länge } p$$

$0 \leq l < p$  Komp. wert!

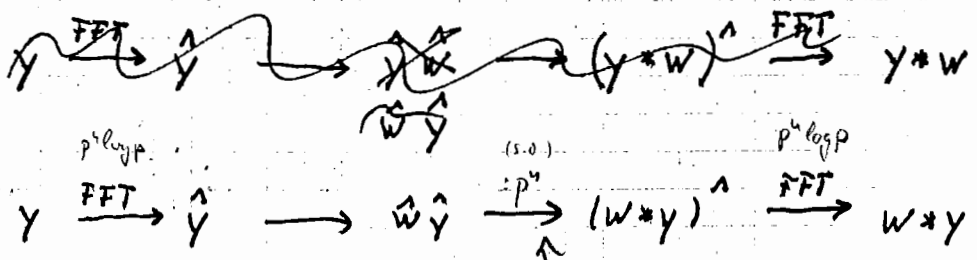
Schreib:  $z = w * y$

Zyklische Faltung:  $w_{k+pe_i} = w_k$  Also: mod p.  
*i=1, ..., n, e\_i i-tes Einheitsvektor*  
 (d.h. in jeder Komponente separat p-period.)

Bes. Für zyklische Faltungen <sup>duftiger</sup> gilt:

$$(w * y)_k^{\wedge} = p^n \hat{w}_k \hat{y}_k \quad (\text{v. Bew.})$$

⇒ Schnelle Faltung:



$p^n \log p$  Operationen.

Dieser Schritt funktioniert nur für zyklische Faltungen! (noch eine Bemerkung!)  
 Allgemein: bitte periodisch fort (s.u.)

Diskrete Faltung: (der Länge  $p$ )

$$z_k = \sum_{0 \leq l < p} w_{k-l} y_l \quad 0 \leq k < p \quad ; \quad z = w * y$$

Zyklische Faltung: (der Länge  $p$ )

falls  $w_{k+p} = w_k$  d.h.  $w$  hat die Periode  $p$

Behauptung: (Satz)

Für zyklische Faltungen der Länge  $p$  gilt:

$$(w * y)_k = p^{-1} \hat{w}_k \hat{y}_k$$

Schnelle Faltung (Zyklisch):



19.11.90

Diskrete Faltung

$$z_k = \sum_{0 \leq l < p} w_{k-l} y_l \quad n=2: \quad z_k = \sum_{0 \leq l_1 < p} \sum_{0 \leq l_2 < p} w_{k-l_1-l_2} y_{l_1} y_{l_2}$$

Die Faltung heißt zyklisch, falls  $w_k = w_{k+pe}; \quad i=1, \dots, n$   
 $e_i$  = i-ter Einheitsvektor

Für zyklische Faltung:

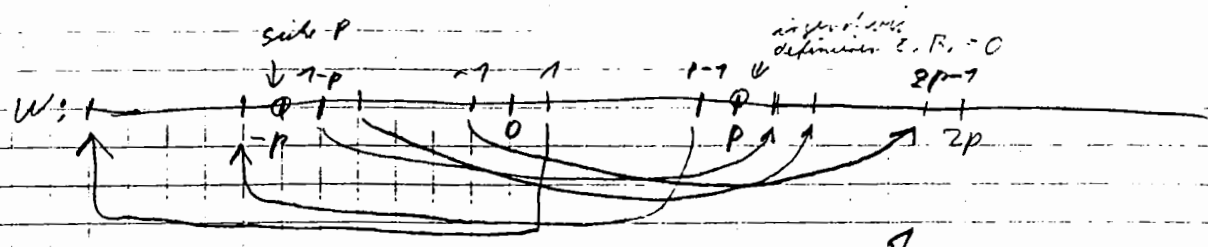
$\hat{z}_k = p^{-1} \hat{w}_k \hat{y}_k, \quad 0 \leq k < p$  wird in der schnellen (zykl.) F. ausgenutzt

Schnelle zyklische Faltung:

FFT (S. 50, S. 57?)  
 nichtperiodische Freq., werden zu vorperiodisch fortgesetzt!  
 (wrap-around Fehler! s.u.)

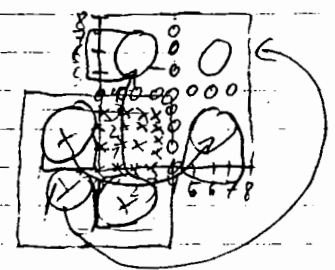
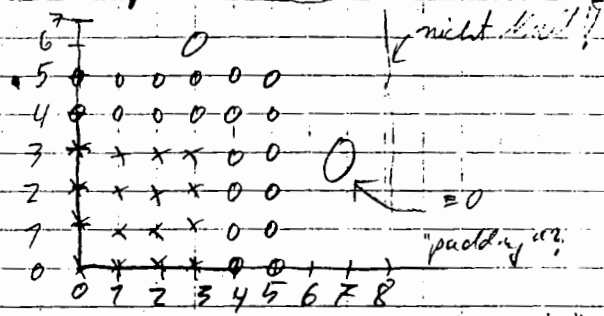
Schnelle Faltung (allgemein):

$n=1: \quad z_k = \sum_{l=0}^{2p-1} w_{k-l} y_l, \quad y_l = y_{l+2p} = \dots = y_{l-2p} = \dots = 0$   
 (zero-padding)  
 durch 0 fortgesetzt padding  
 neu fortgesetzt



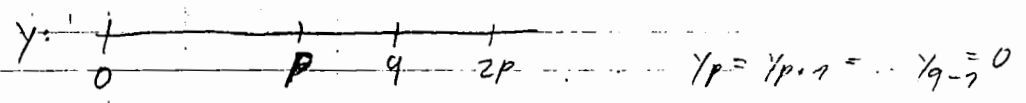
Durch fortsetzen von  $w$  mit Periode  $(2p)$  entsteht eine zyklische Faltung der Länge  $2p$ . Dann FFT!

$n=2$ :  $p=4$

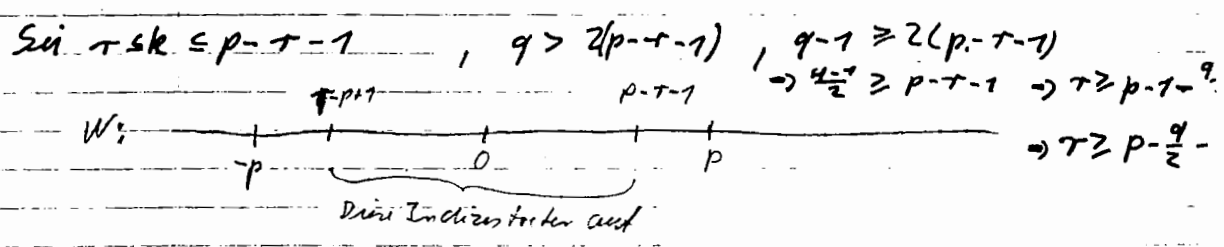


Unzureichendes padding  $\Rightarrow$  wrap-around - Fehler

$n=1$ :



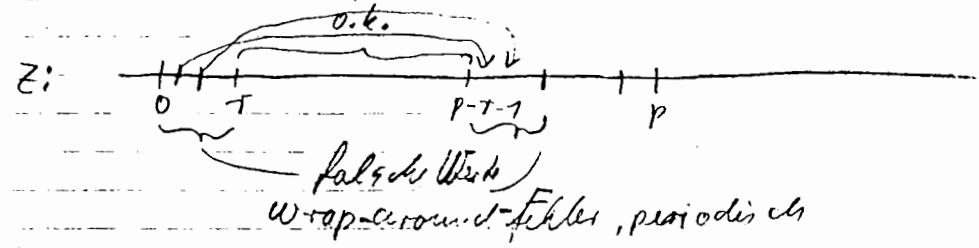
$$z_k = \sum_{l=0}^{q-1} w_{k-l} y_l \quad \text{für } k=0, \dots, p-1$$



Setze  $w^*$  fort zu  $q$ -periodischem Vektor ~~for~~  $w^*$   
 \* außerhalb  $\tau \cdot p + 1$  und  $p - \tau - 1$  \*

$$z'_k = \sum_{l=0}^{q-1} w_{k-l} y_l, \quad k=0, \dots, q-1 \quad \text{Zyklische Faltung der Länge } q$$

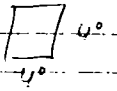
$$z'_k = z_k, \quad \text{falls } \tau \cdot sk \leq p - \tau - 1 \text{ und } \tau \geq p - \frac{q}{2} - \frac{1}{2}$$



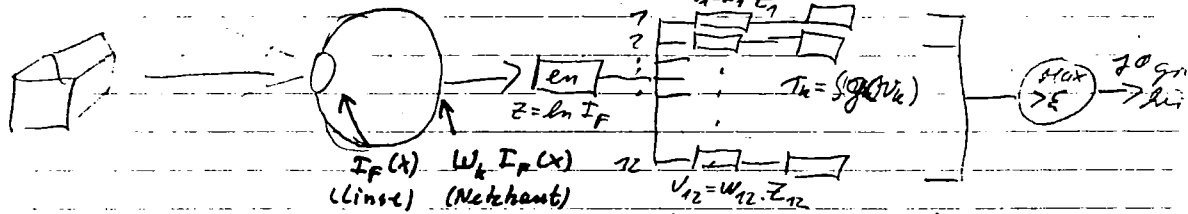
Folgerung:  $q \geq 2p$ , um wrap-around zu vermeiden?

## § 1 Das menschliche Auge

Ziel: mathematische Beschreibung des Sehvorganges  
(einfarbige, unbewegliche Bilder)



$I(x)$ : Intensität des Bildes im Punkte  $x$ ,  $x \in \mathbb{R}^2$   
 $x_1, x_2$  in Winkelgraden  
 $I(x) = \text{Strahlungsenergie (Zeiteinheit} \cdot \text{Flächeneinheit)}$



Betrachtet wird ein Quadrat mit  $4^\circ$  Seitenlänge  
 $\Rightarrow$  In 30 cm Abstand hat das Quadrat die Seitenlänge  
 $30 \cdot \sin 4 \frac{2\pi}{360} \approx 2 \text{ cm}$

### 7 Stufen:

1. Stufe:

$$\hat{I}_F(x) = \begin{cases} \hat{I}(x), & |x| < b \\ 0, & \text{sonst} \end{cases} \quad \begin{matrix} b \sim 400 \\ \text{Türpaßfilterung} \end{matrix}$$

2. Stufe:

Abtasten mit  $h = \frac{1}{120}^\circ$ ,  $\frac{\pi}{b} = \frac{1}{128} \sim h$

Abtasttheorem von Shannon erfüllt!

3. Stufe

Übergang zum Logarithmus

$$z = \ln I_F = \ln(I_0 + I_F - I_0)$$

$I_0$ : Hintergrundbild

Taylor  $\approx \ln I_0 + \frac{I_F - I_0}{I_0} + \dots$

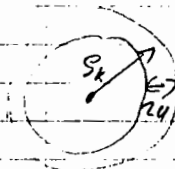
Die Empfindlichkeit  $\frac{I_F - I_0}{I_0} \sim 0.02$  wird aufgelöst.

Der Intensitätsbereich, den das Auge verarbeiten kann:  $1 - 10^4$

### 4. Stufe:

Trennung der räumlichen Frequenzen:

$$\hat{z}_k(\xi) = \begin{cases} \hat{z}(\xi), & | |\xi| - s_k | < a \\ 0, & \text{sonst} \end{cases}$$



(Bandpaß-Filter)

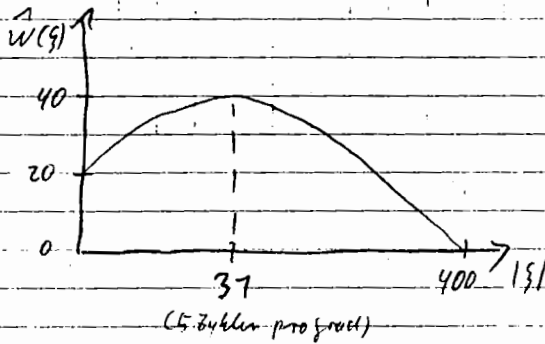
$q \approx 16 \Rightarrow k = 1 \dots 12$

### 5. Stufe

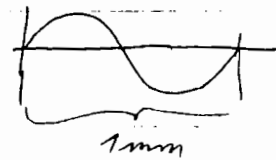
Kontrastverstärkung:

$$v_k = w_k \cdot z_k, \quad k = 1 \dots 12$$

d.h.  $\hat{v} = \hat{w} \cdot \hat{z}$ ,  $\hat{w}(\xi) = w_k$  für  $| |\xi| - s_k | < a$



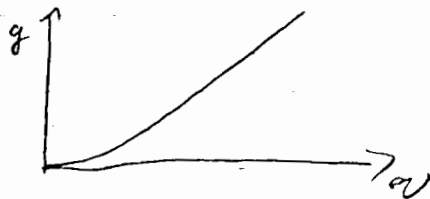
$5 \frac{2000}{800} = 12 \text{ Zyklen} / \text{Grad}$   
 $30 \text{ mm} \Rightarrow 1 \text{ Zyklus auf } 30 \cdot \sin(\frac{2\pi}{566})$   
 $\Rightarrow 1 \text{ Zyklus pro mm}$



### 6. Stufe

In jedem der 12 Kanäle wird

$$T_k = \int g(v_k) dx, \quad g \text{ nicht linear}$$



### 7. Stufe

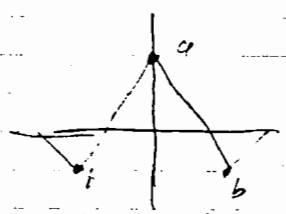
Maximum der 12 Kanäle  $> \epsilon \Rightarrow$  Meldung aus Großkanal

# Kontrastverstärkung durch laterale Inhibition

$y_j$  : Intensität, mit der die Zelle  $j$  getroffen wird.

$u_j$  : Reaktion der Zelle  $j$

$$u_j = \underbrace{a y_j}_{\text{Impuls}} - \underbrace{b y_{j-1} - b y_{j+1}}_{\text{benachbarte Zellen hemmen Impuls}}$$



"Filter"  
Kontrastverstärkung

## § 2 Stochastische Bildmodelle

1.) Zufallsgröße in  $\mathbb{R}^1$ : Experiment mit reellwertigen, aber zufälligen Ausgang

$$(*) P(x \leq \xi \leq x + \Delta x) = \int_x^{x+\Delta x} p(x') dx'$$

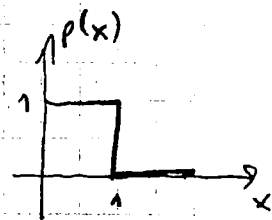
$$\text{mit } \int_{-\infty}^{+\infty} p(x) dx = 1, \quad p \geq 0$$

ist Wahrscheinlichkeit dafür, daß  $\xi$  in  $[x, x + \Delta x]$  fällt.  
 $p$  heißt Wahrscheinlichkeitsdichte von  $\xi$

Realisierung von  $\xi$ : Ausgang eines bestimmten Experimentes (reelle Zahl)

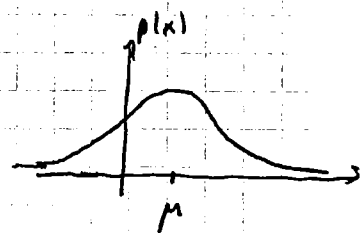
Beispiele: i.)  $\xi$  sei gleichverteilt in  $[0, 1]$ , d.h.

$$p(x) = \begin{cases} 1 & \text{für } x \in [0, 1] \\ 0 & \text{sonst} \end{cases}$$



ii.)  $\xi$   $(\mu, \sigma)$ -normal verteilt:

$$p(x) = \frac{1}{\sqrt{2\pi} \cdot \sigma} e^{-\frac{(x-\mu)^2}{2\sigma^2}}$$



Histogramm: Unterteile x-Achse durch Punkte  $x_k$

$$z_k := \frac{\# \{ \ell : x_k \leq \xi^{(\ell)} < x_{k+1} \}}{n \cdot (x_{k+1} - x_k)}$$

( n Experimente mit Realisierungen  $\xi^{(1)}, \dots, \xi^{(n)}$  von  $\xi$  ! )



Zusammenhang zwischen Histogramm und Dichte:

$$P(x_k \leq \xi < x_{k+1}) = \int_{x_k}^{x_{k+1}} p(x) dx \sim p(x_k) (x_{k+1} - x_k)$$

$$\frac{\#\{l: x_k \leq \xi^{(l)} < x_{k+1}\}}{n} = \text{rel. H\u00e4ufigkeit} \sim$$

$$\sim P(x_k \leq \xi < x_{k+1}) \sim p(x_k) (x_{k+1} - x_k)$$

$$\Rightarrow z_k \sim p(x_k)$$

Erwartungswert:  $E\xi = \int_{\mathbb{R}^1} x p(x) dx$

$$\sim \sum_k x_k p(x_k) (x_{k+1} - x_k) \sim \sum_k x_k z_k (x_{k+1} - x_k)$$

$$= \frac{1}{n} \sum_k x_k \cdot \#\{l: x_k \leq \xi^{(l)} < x_{k+1}\}$$

$$= \frac{1}{n} \sum_{k=1}^n x_{k_e} \quad , \quad k_e : x_{k_e} \leq \xi^{(e)} < x_{k_e+1}$$

$$\sim \frac{1}{n} \sum_{l=1}^n \xi^{(l)}$$

$F: \mathbb{R}^1 \rightarrow \mathbb{R}^1$ ,  $F(\xi)$  Zufallsgr\u00f6\u00dfe

$$\Rightarrow E F(\xi) := \int F(x) p(x) dx \sim \frac{1}{n} \sum_{l=1}^n F(\xi^{(l)})$$

Varianz:  $\sigma^2(\xi) = E(\xi - E\xi)^2 = \int (x - E\xi)^2 p(x) dx$

$$\sim \frac{1}{n} \sum_{l=1}^n (\xi^{(l)} - E\xi)^2$$

$$F(\xi) = (\xi - E\xi)^2$$

Standardabweichung:  $\sigma(\xi)$

2. Zufallsgrößen in  $\mathbb{R}^N$  :

$$\xi = \begin{pmatrix} \xi_1 \\ \vdots \\ \xi_N \end{pmatrix}, \quad \xi_i \text{ Zufallsgrößen in } \mathbb{R}^1$$

$$P(\xi \in B) = \int_B p(x) dx \quad \text{mit} \quad \int_{\mathbb{R}^N} p(x) dx = 1, \quad p \geq 0.$$

$p$  Dichte von  $\xi$ , gemeinsame Dichte von  $\xi_1, \dots, \xi_N$

gemeinsame Dichte  $p$  bestimmt die Dichte  $p_i$  von  $\xi_i$  :

$$P(x_1 \in \xi_1 < x_1 + \Delta x_1) = P(x_1 \in \xi_1 < x_1 + \Delta x_1, \xi_2 \in \mathbb{R}^1, \dots, \xi_N \in \mathbb{R}^1)$$

$$= P(\xi \in B) \text{ mit } B = [x_1, x_1 + \Delta x_1] \times \mathbb{R}^{N-1}$$

$$= \int_B p(x) dx = \int_{x_1}^{x_1 + \Delta x_1} \int_{\mathbb{R}^{N-1}} p(x_1, x') dx' dx_1$$

$$= \int_{x_1}^{x_1 + \Delta x_1} p_1(x'_1) dx'_1 \quad \text{mit} \quad p_1(x_1) = \int_{\mathbb{R}^{N-1}} p(x_1, x') dx'$$

$$\xi_1, \dots, \xi_N \text{ unabhängig} \Leftrightarrow p(x) = \prod_{i=1}^N p_i(x_i),$$

$p_i$ : Dichte von  $\xi_i$

$$\Leftrightarrow P(x_i \in \xi_i < x_i + \Delta x_i, i = 1, \dots, N)$$

$$= \prod_{i=1}^N P(x_i \in \xi_i < x_i + \Delta x_i)$$

$F : \mathbb{R}^N \rightarrow \mathbb{R}^M$ ,  $F(\xi)$  Zufallsgröße in  $\mathbb{R}^M$

$E F(\xi) = \int_{\mathbb{R}^N} F(x) p(x) dx \in \mathbb{R}^M$  !

Speziell:  $E \xi = \int x p(x) dx \in \mathbb{R}^N$

$$\int x_i p_i(x_i) dx_i = E \xi_i = \int x_i p(x) dx$$

$$E(\xi_i - E \xi_i)(\xi_j - E \xi_j) =: \underline{\text{cov}(\xi_i, \xi_j)}$$

"Kovarianz"

Korrelation:  $\rho(\xi_i, \xi_j) = \frac{\text{cov}(\xi_i, \xi_j)}{\sigma(\xi_i) \sigma(\xi_j)}$

$$\begin{aligned} \sigma^2(\xi_i) &= E(\xi_i - E \xi_i)^2 = \int (x_i - E \xi_i)^2 p(x) dx \\ &= \int (x_i - E \xi_i)^2 p(x_i) dx_i \end{aligned}$$

Lemma:  $-1 \leq \rho(\xi_i, \xi_j) \leq 1$

Beweis: Inneres Produkt  $(f, g) = \int f(x) g(x) p(x) dx$

$$f = x_i - E \xi_i, \quad g = x_j - E \xi_j$$

$$\rho(\xi_i, \xi_j) = \frac{(f, g)}{(\|f\| \|g\|)}$$

$$[ E(\xi_i - E \xi_i)(\xi_j - E \xi_j) = \int (x_i - E \xi_i)(x_j - E \xi_j) p(x) dx \quad ? ]$$

$\Rightarrow |\rho(\xi_i, \xi_j)| \leq 1$  nach Cauchy-Schwarz für  $(f, g)$   $\square$

Bemerkung:  $\xi_i, \xi_j$  seien  $\left\{ \begin{array}{l} \text{positiv} \\ \text{un-} \\ \text{negativ} \end{array} \right\}$  Korrel. ist

$$\Leftrightarrow \rho(\xi_i, \xi_j) \left\{ \begin{array}{l} > 0 \\ = 0 \\ < 0 \end{array} \right\}$$

Seien  $f^{(1)}, \dots, f^{(n)}$  Realisierungen von  $f$

$$\text{cov}(f_i, f_j) \sim \frac{1}{n} \sum_{l=1}^n (f_i^{(l)} - E f_i) (f_j^{(l)} - E f_j)$$

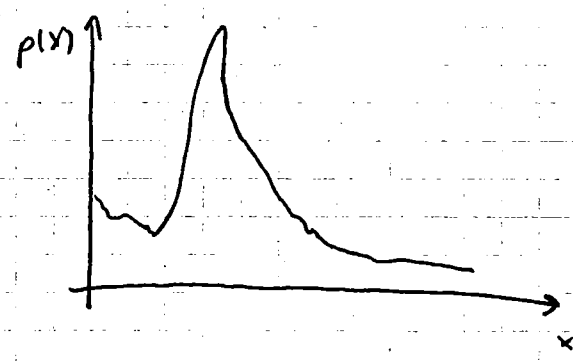
$\rho(f_i, f_j)$  Maß für die Korrelation von  $f_i, f_j$

Stochastisches Bildmodell:

Bild:  $f = (f_1, \dots, f_N)^T \in \mathbb{R}^N$ ,  $f_k$  Zufallsgrößen.  
(= Spaltenvektor)

In der Regel:  $f_k$  gleiche Dichten,  $\mu = E f_k$ ,  $\sigma^2 = \sigma^2(f_k)$

Fakt 1: Verteilung  $p$  von  $f_k$  extrem ungleichmäßig:



Fakt 2: Benachbarte  $f_k$  sind hochkorreliert

$$(\rho \in [0,85; 0,95])$$

$R_f := (\rho(f_k, f_l))_{k,l=1,\dots,N}$  Korrelationsmatrix von  $f$

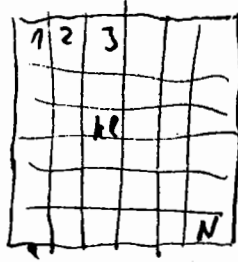
$K_f := (\text{cov}(f_k, f_l))_{k,l=1,\dots,N}$  Kovarianzmatrix von  $f$   
pos. semidefinit

Modelle für  $K_f$ :

Isotropes exponentielles Modell:  $\text{cov}(f_k, f_l) = \sigma^2 e^{-\lambda \|x_k - x_l\|_2}$

Separables exponentielles Modell:

$x_k$  Mittelpunkt von Pixel  $k$ ,  $\text{cov}(f_k, f_l) = \sigma^2 e^{-\lambda \|x_k - x_l\|_1}$



$\| \cdot \|_1 = L_1$ -Norm!

also: Cov. exponentiell mit dem Abstand  
abnehmend!

(Numer. L. L. 26.11.90)

### § 3 Effiziente Codierung von Bildern (Datenproduktion)

$$f = (f_1, \dots, f_N)^T \text{ Bild}$$

gesucht:  $g$  mit

- 1.)  $f$  aus  $g$  rekonstruierbar (bzgl. gegebenes Fehlertoleranz?)
- 2.) Übertragung von  $g$  „einfacher“ als Übertragung von  $f$ .

#### 1.) Heuristische Methoden:

a) Run-coding: Es treten „runs“ auf:

$$f_k = f_{k+1} = \dots = f_l$$

Übertrage  $(k, l, f_k)$ !

b) Predictive coding: (DPCM = differential pulse code modulation):

Annahmen:  $f_1, \dots, f_N$  Zufallsgrößen

$$E f_k = \mu, \quad \rho = \rho(f_k, f_{k+1}),$$

$$G = G(f_k), \quad k = 1, \dots, N$$

Schätzung für  $f_{k+1}$  nach der Übertragung von  $f_k$ :

$$\hat{f}_{k+1} = \rho f_k + (1-\rho) \mu$$

Übertrage:  $d_{k+1} = f_{k+1} - \hat{f}_{k+1}$

Frage: Wo wird  $f$  codiert, und wo die Schätzung  $d_{k+1}$ ?

→ vgl. S. 84, 88!

(„Recursive block coding“)

$$\begin{aligned} E d_{k+1}^2 &= E (f_{k+1} - \rho f_k - (1-\rho) \mu)^2 = \\ &= E ((f_{k+1} - \mu) - \rho (f_k - \mu))^2 = \end{aligned}$$

$$\begin{aligned}
 &= E(f_{k+1} - \mu)^2 + \rho^2 E(f_k - \mu)^2 - 2\rho E(f_{k+1} - \mu)(f_k - \mu) \\
 &= \sigma^2 + \rho^2 \sigma^2 - 2\rho \cdot \rho \sigma^2 \\
 &= \sigma^2 (1 - \rho^2)
 \end{aligned}$$

$$\begin{aligned}
 E d_{k+1} &= E(f_{k+1} - \rho f_k - (1-\rho)\mu) \\
 &= \mu - \rho\mu - (1-\rho)\mu = 0
 \end{aligned}$$

$$\Rightarrow \frac{\sigma^2(d_{k+1})}{\sigma^2(f_{k+1})} = \frac{\sigma^2(1-\rho^2)}{\sigma^2} = 1-\rho^2$$

$$\Rightarrow \frac{\sigma(d_{k+1})}{\sigma(f_{k+1})} = \sqrt{1-\rho^2} \quad \left. \begin{array}{l} \} \text{Reduktion der Größenordnung} \\ \text{des zu übertragenden Werts!} \end{array} \right\}$$

(z.B.  $\rho = 0.9$ ,  $\sqrt{1-\rho^2} \approx 0.5$ ) (d.h. Reduktion auf etwa die Hälfte!)

## 2.) Transformationsmethoden:

noch geeigneter zu wählende (s.u.)  $\rightarrow$  Karhunen-Loève-Transf. Karhunen Loève  
 $U$  unitäre  $(N, N)$ -Matrix,  $g = Uf$  ✓  
 $U^{-1} = U^T = V_f$ , s.u.?

übertrage:  $g^M = \begin{cases} g_k, k=1, \dots, M \\ b_k, k=M+1, \dots, N \end{cases}$   
 ('Codierung')

d.h. bei der Übertragung weg-  
gelassen und wo Rekonstruktion  
werden müssen?

( $b_k$  bekannt)  
 (z.B.  $b_k = 0$ )

$\underbrace{V_f}_{= V_f = \text{Matrix der orthogon. Eigen von } K_f, \text{ s.u.}} = U^T g^M$  ('Rekonstruktion')

Satz 3.1.:  $f = (f_1, \dots, f_N)^T$  ein Bild mit  $Ef = \mu$

und ~~Korrelations~~ <sup>varianz</sup> matrix  $K_f$ . Sei  $b = U\mu$ . Dann

gilt:  $E \|f - f^M\|^2 = \sum_{i=M+1}^N u_i^T K_f u_i$ , mit  $U = \begin{pmatrix} u_1^T \\ \vdots \\ u_N^T \end{pmatrix}$

soll minimiert werden! euklid. Norm

Beweis:

$$\begin{aligned}
f - f^M &= f - U^{-1} g^M = U^T U f - U^T g^M \\
&= U^T (g - g^M) \\
&= \sum_{i=M+1}^N (g_i - b_i) u_i
\end{aligned}$$

$$\|f - f^M\|^2 = \sum_{i=M+1}^N (g_i - b_i)^2$$

$$b_i = u_i^T \mu, \quad g_i = u_i^T f$$

$$\begin{aligned}
&= \sum_{i=M+1}^N (g_i - b_i) (g_i - b_i) \\
&= \sum_{i=M+1}^N u_i^T \underbrace{(f - \mu)(f - \mu)^T}_{\text{dyad. Prod.}} u_i
\end{aligned}$$

$$g_i - b_i = u_i^T (f - \mu), \quad (g_i - b_i)^T = (f - \mu)^T u_i$$

$$\begin{aligned}
E \|f - f^M\|^2 &= \sum_{i=M+1}^N u_i^T E \underbrace{(f - \mu)(f - \mu)^T}_{\text{also } = K_f \text{ (Kovarianzmatrix)}} u_i \\
E (f_k - \mu_k)(f_l - \mu_l) &= \text{cov.}(f_k, f_l)
\end{aligned}$$

Ziel: Wähle  $U$  so, dass  $\sum_{i=M+1}^N u_i^T K_f u_i$  so möglichst klein!

d.h. möglichst viel Information auf die abwerfen (vgl. Satz 3.1.!)  
mit Eintragungswegen!

Satz 3.2.: Sei  $f$  wie in Satz 3.1.

Karhunen Loève: Sei  $V_f = (v_1, \dots, v_N)$  die Matrix der orthonormalisierten Eigenvektoren der Kovarianzmatrix  $K_f$ , und seien  $\lambda_1 \geq \lambda_2 \geq \dots \geq \lambda_N$  die zugehörigen EWe. Dann ist das

$$\begin{aligned}
U^T &= V_f \\
\text{d.h. } U &= (V_f)^T
\end{aligned}$$

$$\begin{aligned}
\text{Min}_{\text{Unität}} E \|f - f^M\|^2 &= \lambda_{M+1} + \dots + \lambda_N \quad (\text{b.w.})
\end{aligned}$$



und das Minimum wird bei  $U^T = V_p$  angenommen.

Bemerkung:

Die durch  $V_p$  erzeugte unitäre Transformation  $U$  heißt die "Karhunen-Loève-Transformation" oder "Hotelling-Transf." zu  $K_f$ .

! Variiert mit  $K_f$ !

Beweis: zu zeigen:

$$\text{Min}_{U^T U = I} \sum_{i=1}^N u_i^T K_f u_i = \lambda_1 + \dots + \lambda_N$$

Min exist., da stetige Fz. auf kompakter Menge.

(a)  $M=0$  :  $\text{Min}_{U^T U = I} \sum_{i=1}^N u_i^T K_f u_i$

$$= \text{Min}_{U^T U = I} \text{Spur} (U K_f U^T)$$

$$= \text{Spur} (K_f) \quad , \text{ da Spur invariant und Min. unabh. von } U$$

$$= \lambda_1 + \dots + \lambda_N$$

(b)  $0 < M < N$  :

Lagrange'sche Multiplikatoren :

$$\text{Min } F(x) \quad \text{unter NB } g_i(x) = 0, \quad i=1, \dots, p$$

notw. Bedingung:  $\exists \beta_1, \dots, \beta_p : F(x) - \sum_{i=1}^p \beta_i g_i(x)$  stationär,

d.h. sämtliche part. All. von  $x$  verschwinden.

### Anwendung 1

$$\sum_{i=M+1}^M u_i^T K_f u_i - \sum_{i,k=M+1}^M \beta_{ik} (u_i^T u_k - \delta_{ik}) \text{ stativär}$$

$$\text{NB: } u_i^T u_k = \delta_{ik}$$

$$\nabla_{u_j} : 2 K_f u_j - \sum_{i=M+1}^N \beta_{ij} u_i - \sum_{i=M+1}^N \beta_{ji} u_i = 0$$

$$(j = M+1, \dots, N)$$

⇒ Für die Lösung unseres Problems ist notwendig:

$$K_f u_j \in \text{Lin} \{ u_{M+1}, \dots, u_N \} =: V$$

d.h.:  $V$  ist invarianter Unterraum von  $K_f$

$$\Rightarrow V = \text{Lin} \{ v_1, \dots, v_{N-M} \} \text{ mit EVecn } v_i \text{ von } K_f$$

Da invar. Unterr. von EVecn aufgespannt werden.

def:  $K_V =$  Restriktion von  $K_f$  auf  $V$

$$\Rightarrow \text{Min}_{u^T u = I} \sum_{i=M+1}^M u_i^T K_f u_i = \text{Min}_{\substack{u_i \in V \\ u_i^T u_k = \delta_{ik}}} \sum_{i=M+1}^N u_i^T K_f u_i$$

$$= \text{Min}_{\substack{u_i \in V \\ u_i^T u_k = \delta_{ik}}} \sum_{i=M+1}^N u_i^T K_V u_i$$

mit Wende von (a) aus, dann folgt:

$$= \lambda_{i_1} + \dots + \lambda_{i_{N-M}}$$

Also zu suchen:  $\text{Min} \{ \lambda_{i_1} + \dots + \lambda_{i_{N-M}} \} = \lambda_{M+1} + \dots + \lambda_N$   
da alle aufsteigend sortiert

Satz 3.2.:  $\min_U E \|f - f^M\|^2 = \lambda_{M+1} + \dots + \lambda_N$  Minimum wird

Korollar:  
aus letzten Std.

angewandt für  $U^T = V_f$

$U^{-1}$ , da  $U$  unitär

unitär?  
 $g = U f$ ,  $U^{-1} = U^T$   
 $f^M \Rightarrow f^M = U^{-1} g^M$   
 $= U^T g^M$   
 $= V_f g^M$

Bemerkung: 1.)  $U$  Karhunen - Löve

Rekonstruktion: 2.)  $f^M = V_f g^M$  !

Spalten von  $V_f$  heißen "Basisbilder" !

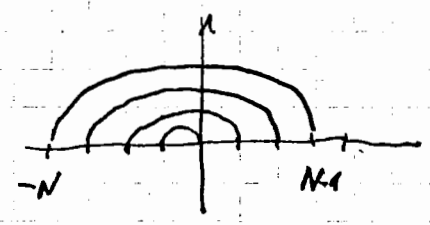
Beispiele: 1.) Diskrete Cosinus - Transformation

$N=1$ :

$$\frac{1}{\sqrt{2N}} e^{-\frac{\pi i k}{2N}} \sum_{l=-N}^{N-1} e^{-\pi i k l / N} f_l =: g'_k$$

Es gilt:  $\sum_{k=-N}^{N-1} |g'_k|^2 = \sum_{l=-N}^{N-1} |g_l|^2$

$f_l = f_{-l-1}$ ,  $l = -1, \dots, -N$



$$g'_k = \frac{1}{\sqrt{2N}} \sum_{l=-N}^{N-1} e^{-\pi i k (l+\frac{1}{2}) / N} f_l$$

$$= \frac{1}{\sqrt{2N}} \left\{ \sum_{l=0}^{N-1} e^{-\pi i k (l+\frac{1}{2}) / N} f_l + \sum_{l=-1}^{-N} e^{-\pi i k (l+\frac{1}{2}) / N} f_l \right\}$$

( $l = -l' - 1$ ):

$$\sum_{l'=0}^{N-1} e^{-\pi i k (-l' - \frac{1}{2}) / N} f_{-l'-1}$$

$$\sum_{l=0}^{N-1} e^{\pi i k (l+\frac{1}{2}) / N} f_l$$

$$= \frac{1}{\sqrt{2N}} \cdot 2 \cdot \sum_{l=0}^{N-1} \cos \pi k (l + \frac{1}{2}) / N f_l$$

$$g'_k = -g'_{-k} \quad , \quad g'_N = 0$$

$$\Rightarrow \sum_{k=-N}^{N-1} |g'_k|^2 = |g'_0|^2 + 2 \sum_{k=1}^{N-1} |g'_k|^2 = \sum_{l=-N}^{N-1} |f_l|^2$$

$$= 2 \sum_{l=0}^{N-1} |f_l|^2$$

Sehe:  $g_k = g'_k$  für  $k > 0$

$$g_0 = \sqrt{\frac{1}{2}} g'_0$$

$$\Rightarrow \sum_{k=0}^{N-1} |g_k|^2 = \sum_{l=0}^{N-1} |f_l|^2$$

ASD:

$$g_k = C_k \sum_{l=0}^{N-1} \cos k\pi (l + \frac{1}{2}) / N f_l$$

$$\text{mit } C_k = \begin{cases} \sqrt{\frac{2}{N}} & , k > 0 \\ \sqrt{\frac{1}{N}} & , k = 0 \end{cases}$$

$$\Leftrightarrow: \underline{g} = \underline{U} \underline{f} \quad , \quad \underline{U} \text{ DCT}$$

(Diskrete Cosinus Transformation)

Bem: DCT ist näherungsweise die Karhunen-Loève-Transformation

für

$$K_f = \begin{pmatrix} 1 & \rho & \rho^2 & \dots & \rho^{N-1} \\ \rho & 1 & \rho & \dots & \rho^{N-2} \\ & & 1 & & \\ \vdots & & & \ddots & \\ \rho^{N-1} & \dots & & \rho & 1 \end{pmatrix}$$

exponentielles Modell

z.B.:  $N=8, \rho=0.9$

Näherung für die EWe von  $X_f$ :

$$\lambda_k = \frac{1-\rho^2}{\frac{1}{\rho} + \rho - 2 \cos \frac{k\pi}{N}} \quad \text{für } k=0, \dots, N-1$$

Näherung besonders gut für große  $\rho$  (und wenig kleiner als 1)

### 2.) Hadamard-Transformation

$H_N$  = Hadamard-Matrix der Ordnung  $N$

$U = N^{-\frac{1}{2}} H_N$  unitär

$$H_2 = \begin{pmatrix} 1 & 1 \\ 1 & -1 \end{pmatrix}$$

$$H_4 = \begin{pmatrix} 1 & 1 & 1 & 1 \\ 1 & -1 & 1 & -1 \\ +1 & +1 & -1 & -1 \\ +1 & -1 & -1 & 1 \end{pmatrix}$$

Reihenfolge egal?

$H_{16} \otimes H_{16}$

Basisbilder  $v_{00} \ v_{01} \ v_{10} \ \dots \ v_{15,15}$

(→ quadratisches Muster?)

### 3.) Die Haar-Transformation

$N=8 \quad H_N =$

$$H_N = \begin{pmatrix} 1 & 1 & 1 & 1 & 1 & 1 & 1 & 1 \\ 1 & 1 & 1 & 1 & -1 & -1 & -1 & -1 \\ 1 & 1 & -1 & -1 & & & 0 & \\ & 0 & & 1 & 1 & -1 & -1 & \\ 1 & -1 & & & & & & \\ & 1 & -1 & & & & 0 & \\ & & 1 & -1 & & & & \\ \uparrow & & & & & & 1 & -1 \\ & & & & & & & 0 \end{pmatrix}$$

( Alle diese Transformierungen, da dazu nur Addit. + Subtr., daher keine Mult. notwendig! → kein Runden und Skalieren → keine Rundungsfehler. )

$$U = D^{-1} H_N$$

$$D^2 = \begin{pmatrix} 8 & & & & & & & \\ & 8 & & & & & & \\ & & 4 & & & & & \\ & & & 4 & & & & \\ & & & & 2 & & & \\ 0 & & & & & 2 & & \\ & & & & & & 2 & \\ & & & & & & & 2 \end{pmatrix}$$

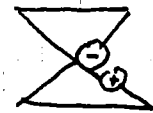
Schnelle Haar-Transformation : (s.u.! Dort ausführlicher!)

(Beispiel des) dieses Bausteins: Orthonormal Transf.!

$g = D^{-2} H_N f$

	$\cdot \frac{1}{2}$	Umordnen:		$\cdot \frac{1}{2}$		$\cdot \frac{1}{2}$
$b_1$	$b_1 + b_2$	$\rightarrow$	$b_1 + b_2$	$b_1 + b_2 + b_3 + b_4$	$\rightarrow$	$b_1 + b_2 + b_3 + b_4$
$b_2$	$b_1 - b_2$	$\rightarrow$	$b_3 + b_4$	$b_1 + b_2 - b_3 - b_4$	$\rightarrow$	$b_1 + b_2 - b_3 - b_4$
$b_3$	$b_3 + b_4$	$\rightarrow$	$b_5 + b_6$	$b_5 + b_6 + b_7 + b_8$	$\rightarrow$	$b_5 + b_6 + b_7 + b_8$
$b_4$	$b_3 - b_4$	$\rightarrow$	$b_7 + b_8$	$b_5 + b_6 - b_7 - b_8$	$\rightarrow$	$b_5 + b_6 - b_7 - b_8$
$b_5$	$b_5 + b_6$	$\rightarrow$	$b_1 - b_2$			
$b_6$	$b_5 - b_6$	$\rightarrow$	$b_3 - b_4$			
$b_7$	$b_7 + b_8$	$\rightarrow$	$b_5 - b_6$			
$b_8$	$b_7 - b_8$	$\rightarrow$	$b_3 - b_4$			

wird schön passend

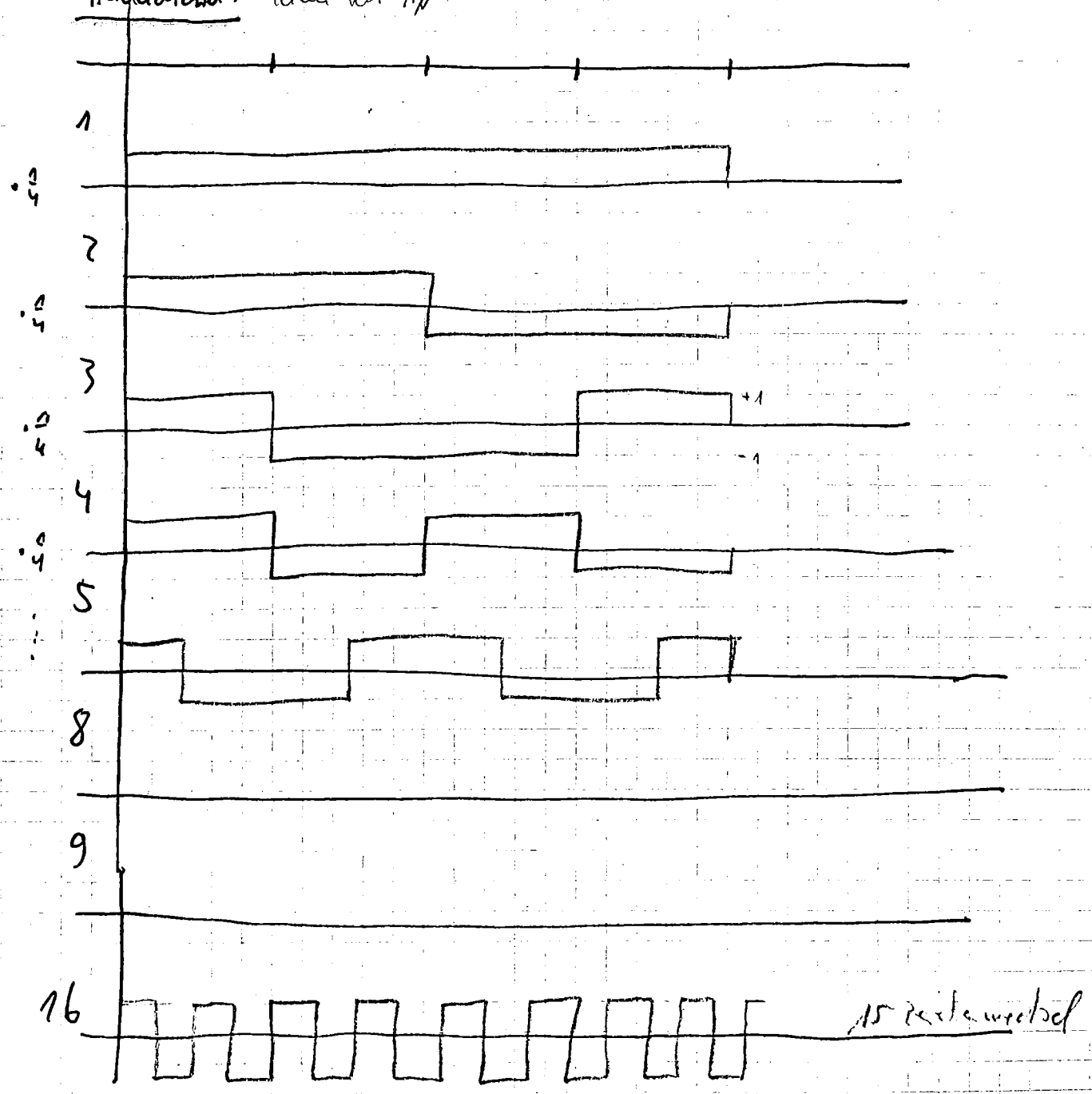
S: Schmetterling :  $\begin{matrix} 1 \\ 2 \end{matrix}$  

Anzahl Additionen:

$$N + \frac{N}{2} + \frac{N}{4} + \dots + 2 = \underline{\underline{2N-2}}$$

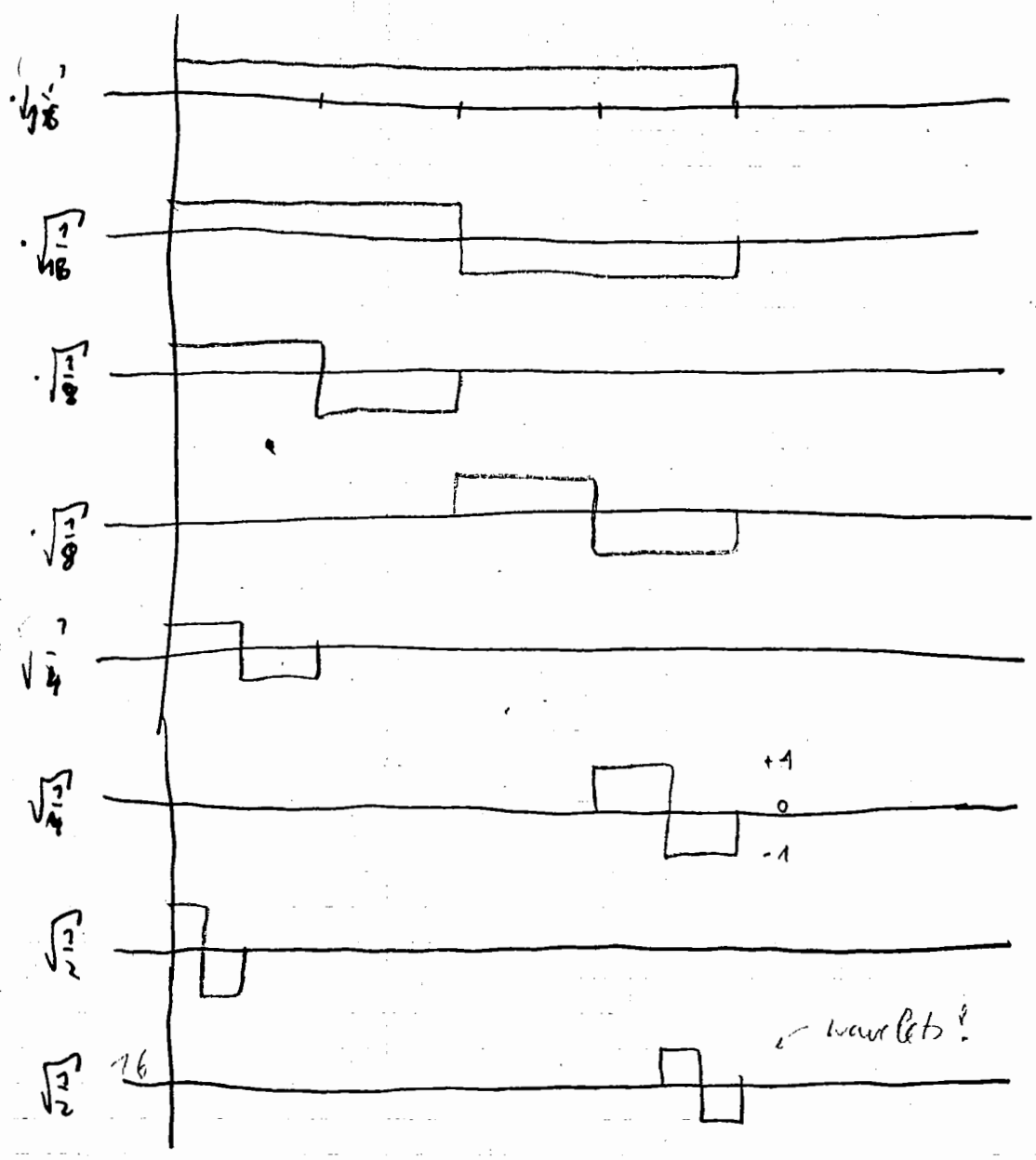
Vergleich: Hadamard-Transformation mit Hadw-Transformation  
(N = 16)

Hadamard: Teil von  $H_N$ :



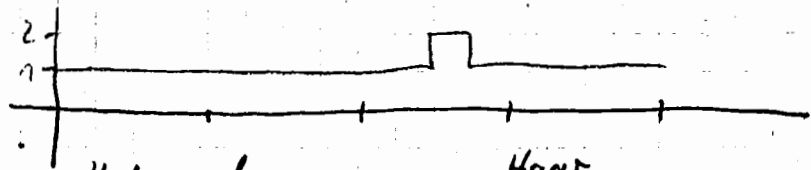
Haar - Transform.

Zerlegen von  $N=16$



$f = U_g$

Koeffizienten:



$$\begin{pmatrix} g_1 \\ g_2 \\ g_3 \\ g_4 \\ g_5 \\ g_6 \end{pmatrix} = \begin{pmatrix} 1/4 \\ -1/4 \\ -1/4 \\ +1/4 \\ \vdots \\ -1/4 \\ +1/4 \end{pmatrix} = \begin{pmatrix} 1/4 \\ -1/4 \\ 0 \\ \sqrt{1/8} \\ 0 \\ \vdots \\ -1/4 \\ 0 \end{pmatrix}$$

alle Koeff  $\neq 0$

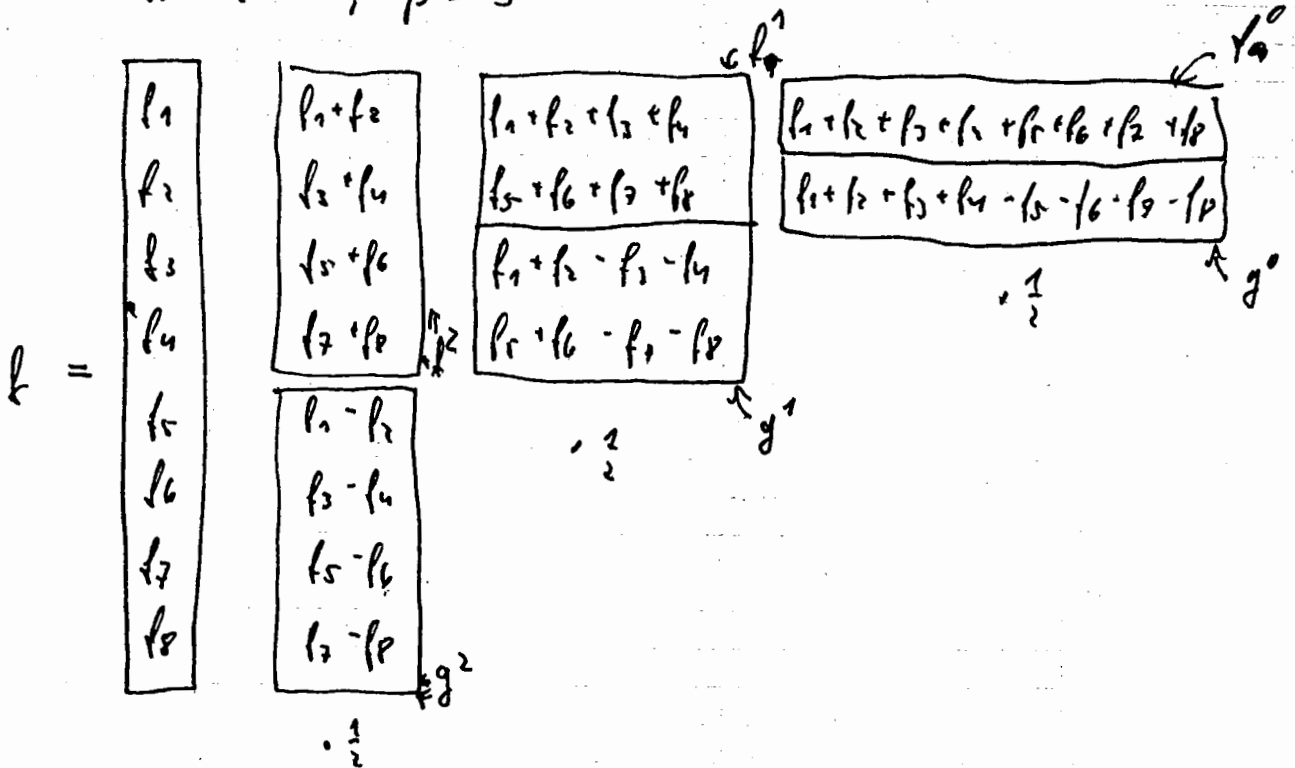
alle Koeff = 0 ?

Haar

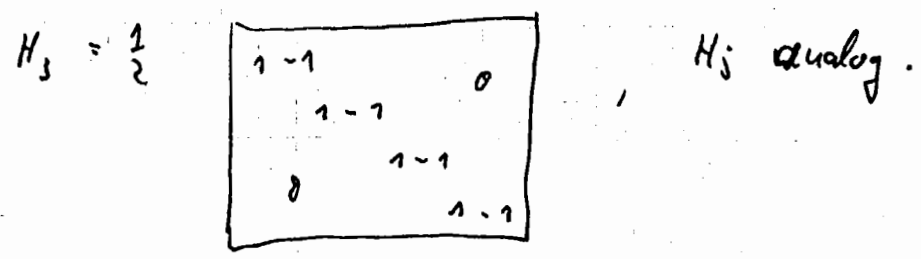
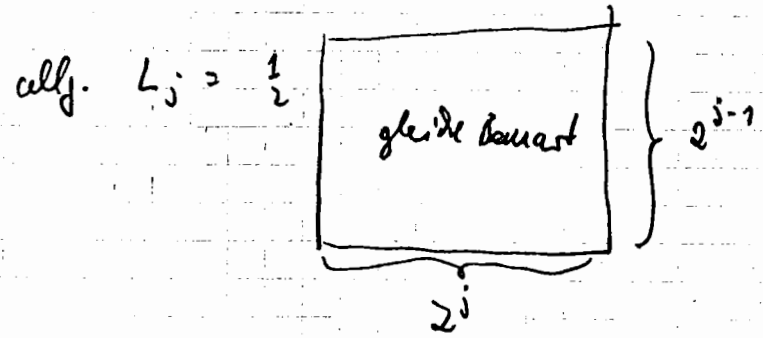
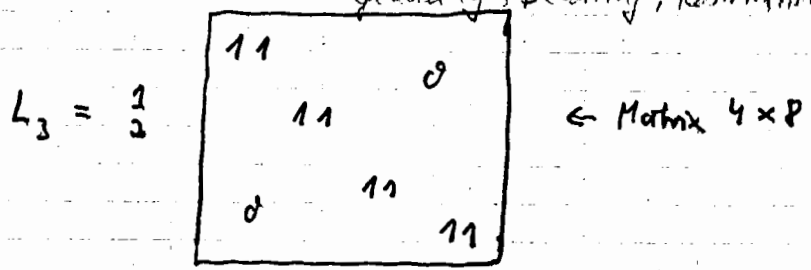


# Schnelle Haus - Transformation

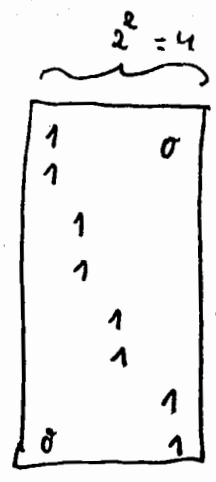
$N = 2^p, p = 3$



"Glättung", "Blurring", "Restriktion"



$$\underline{L'_3 = 2 L_3^T}$$

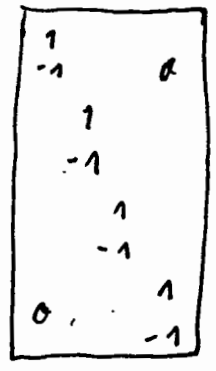


"Erweiterung"

,  $L'_j$  analog

$2^3 = 8$

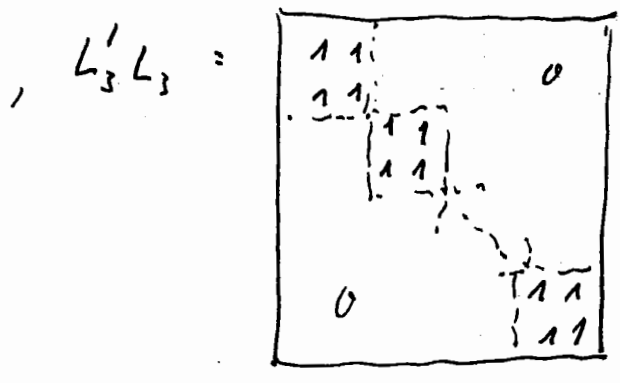
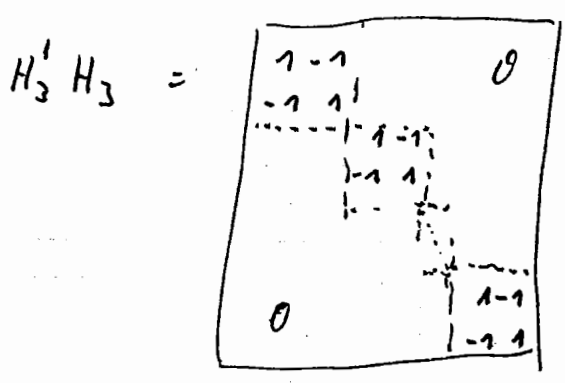
$$\underline{H'_3 = 2 H_3^T}$$



$$L_3 L'_3 = \begin{bmatrix} 1 & & 0 \\ & 1 & \\ & & \ddots \\ 0 & & & 1 \end{bmatrix} = I_{2^{j-1}}$$

$$L_j L'_j = I_{2^{j-1}}$$

$$H_j H'_j = I_{2^{j-1}}$$



$$H'_3 H_3 + L'_3 L_3 = I_{2^j}$$

## Algorithmus von Mallot:

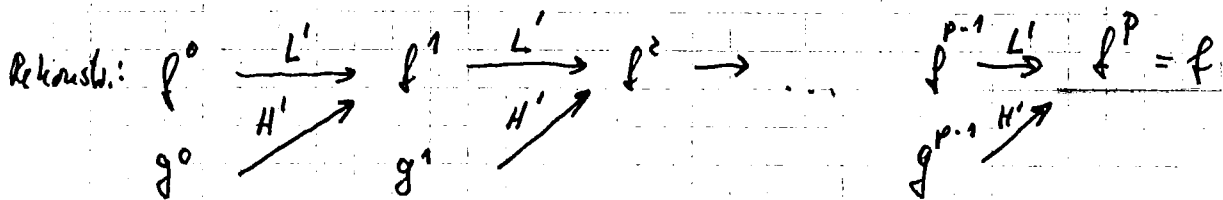
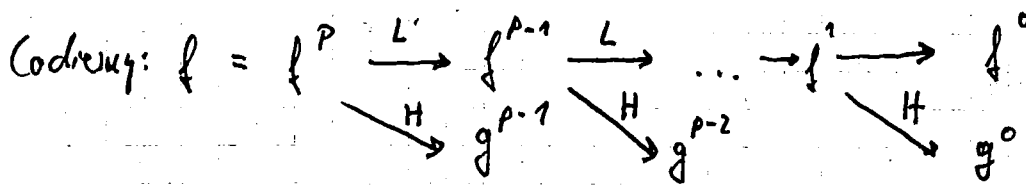
$f$  wie vorne.  $f = (f_0, \dots, f_{p-1})^T$

$$f^p = f, \quad f^{j-1} = L_j f^j, \quad g^{j-1} = H_j f^j, \quad j = p, p-1, \dots, 1$$

Resultat:  $f^0, g^0, g^1, \dots, g^{p-1}$

Rekonstruktion:

$$f^j = (H_j^T H_j + L_j^T L_j) f^j = H_j^T g^{j-1} + L_j^T f^{j-1}, \quad j = 1, \dots, p$$



$$d^j = f^j - L_j^T f^{j-1} = f^j - L_j^T L_j f^j = (I - L_j^T L_j) f^j$$

$$d_{\frac{3}{2}}^3 = \begin{pmatrix} f_1 \\ f_2 \\ f_3 \\ f_4 \\ f_5 \\ f_6 \\ f_7 \\ f_8 \end{pmatrix} - \frac{1}{2} \begin{pmatrix} f_1 + f_2 \\ f_2 + f_3 \\ f_3 + f_4 \\ f_4 + f_5 \\ f_5 + f_6 \\ f_6 + f_7 \\ f_7 + f_8 \end{pmatrix}$$

"Details der Stufe 3"

3.) Rekursive Block-Codierung:

Ausgangspunkt DPCM: (vgl. S. 69!)

$$f = (f_0, \dots, f_N) \quad , \quad E f_k = \mu \quad , \quad \sigma^2(f_k) = \sigma^2$$

$$\rho_{k,l} = \rho^{|k-l|} \quad (k, l = 0, 1, 2, \dots, N)$$

bei DPCM:

Schätzung:  $\hat{f}_k = \rho f_{k-1} + (1-\rho) \mu$

Übertrag:  $d_k = f_k - \hat{f}_k$  ,  $E d_k^2 = \sigma^2 (1-\rho^2)$

Nun: Verbesserung:

$$\hat{f}_k = \alpha \overset{\text{Vorgänger}}{f_{k-1}} + \beta \underset{\text{neuer!}}{f_{k+1}} + \gamma \overset{\text{mitt. Wert}}{\mu} \quad , \quad d_k = f_k - \hat{f}_k$$

Bestimme  $\alpha, \beta, \gamma$  so, dass  $E(d_k^2)$  minimal!

OBdA:  $\mu \neq 0$  (sonst ersetze  $f_k$  durch  $f_k - \mu$ !). bedeutet  $\mu = 0$ !

Symmetrieprinzip  $\hat{f}_k = \alpha (f_{k+1} + f_{k-1})$  (d.h.  $\alpha = \beta, \gamma = 0$ .)

$$d_k = f_k - \alpha f_{k+1} - \alpha f_{k-1}$$

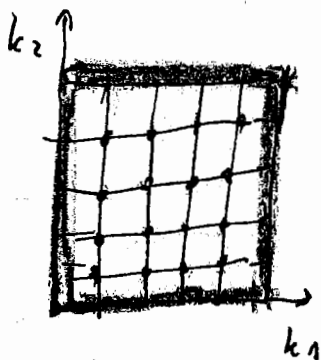
$$E d_k^2 = \sigma^2 + 2\alpha^2 \sigma^2 - 2\alpha \sigma^2 \rho_{k,k+1} - 2\alpha \sigma^2 \rho_{k,k-1} + 2\alpha^2 \rho_{k+1,k-1}$$

$$= \sigma^2 (1 + 2\alpha^2 - 4\alpha \rho + 2\alpha^2 \rho^2) \text{ als Fkt. von } \alpha!$$

Minimierung:

$$\frac{\partial}{\partial \alpha} = 0 \quad : \quad \alpha - \rho + \alpha \rho^2 = 0 \quad , \quad \alpha = \frac{\rho}{1 + \rho^2}$$

$$\Rightarrow E(d_k^2) = \sigma^2 \frac{1 - \rho^2}{1 + \rho^2}$$



f bekannt: ✓

"nicht kausal"

rot: wird f kodiert  
 weiß: wird d kodiert

1.) Kausal:  $f$  kodiert wird  $d_k$  (bis auf die Ränder!) ✓

$$\text{Codierung: } f \rightarrow \begin{cases} f_k = \sum_{l \neq 0} \alpha_l f_{k+l} \quad (= d_k) & , k_1, k_2 > 0 \\ f_k & , k_1 \text{ oder } k_2 = 0 \end{cases}$$

Rekonstruktion:

$$f_k = \sum_{l \neq 0} \alpha_l f_{k+l} + d_k \quad , k_1, k_2 > 0$$

$f_k$  bekannt für  $k_1$  oder  $k_2 = 0$

Beispiel:

$$f_{k_1, k_2} = \alpha (f_{k_1, k_2-1} + f_{k_1-1, k_2}) - \beta f_{k_1-1, k_2-1} + d_{k_1, k_2}$$

Beziehungen zu Diff. gln.:

$$\frac{\partial^2 f}{\partial x_1 \partial x_2} + a \left( \frac{\partial f}{\partial x_1} + \frac{\partial f}{\partial x_2} \right) + b f$$

$$\sim \frac{f_{k_1, k_2} - f_{k_1, k_2-1} - (f_{k_1-1, k_2} - f_{k_1-1, k_2-1})}{h^2} +$$

$$\begin{aligned}
 & + a \left( \frac{f_{k_1, k_2} - f_{k_1-1, k_2}}{h} + \frac{f_{k_1, k_2} - f_{k_1, k_2-1}}{h} \right) + b f_{k_1, k_2} \\
 & = \left( \frac{1}{h^2} + \frac{2a}{h} + b \right) f_{k_1, k_2} - \left( \frac{1}{h^2} + \frac{a}{h} \right) (f_{k_1, k_2-1} + f_{k_1-1, k_2}) + \frac{1}{h^2} f_{k_1-1, k_2-1} \\
 & = \left( \frac{1}{h^2} + \frac{2a}{h} + b \right) \left( f_{k_1, k_2} - \alpha (f_{k_1, k_2-1} + f_{k_1-1, k_2}) + \beta f_{k_1-1, k_2-1} \right)
 \end{aligned}$$

falls  $\alpha = \frac{\frac{1}{h^2} + \frac{a}{h}}{\frac{1}{h^2} + \frac{2a}{h} + b} \stackrel{!}{=} d$  nach Def.!

$\left( \frac{1}{h^2} + \frac{2a}{h} + b \right) \leftarrow$  Vorfaktor!

mit diesem  $\alpha$  und diesem  $\beta$ : ( $\rightarrow$  Def. wird!)  $\beta = \frac{1}{h^2 \left( \frac{1}{h^2} + \frac{2a}{h} + b \right)}$  . Also:

$$\begin{aligned}
 \Rightarrow \quad & \frac{\partial^2 f}{\partial x_1 \partial x_2} + a \left( \frac{\partial f}{\partial x_1} + \frac{\partial f}{\partial x_2} \right) + b f \approx \\
 & \approx \left( \frac{1}{h^2} + \frac{2a}{h} + b \right) \cdot d
 \end{aligned}$$

ist hyperbolische Differentialgleichung, Anfangswertproblem.

2.) Semikausal:

Beispiel:  $f_{k_1, k_2} = \alpha (f_{k_1-1, k_2} + f_{k_1, k_2-1}) + \beta f_{k_1, k_2-1} + d_{k_1, k_2}$

$$- \frac{\partial^2 f}{\partial x_1^2} + a \frac{\partial f}{\partial x_2} + b f \approx \left( \frac{2}{h^2} + \frac{a}{h} + b \right) d$$

parabolische  
D.f.g.

falls  $\alpha = \frac{h^2}{2 + ha + h^2 b}$ ,  $\beta = \frac{a}{\frac{2}{h} + a + hk}$

"Anfangs-Randwert  
- Aufgabe"

Codierung:

(\*) :  $d_k = -\hat{f}_k + f_k = f_k - \alpha(f_{k-1} + f_{k+1})$  ,  $k=1, \dots, N-1$

$\rightarrow f_k = \alpha(f_{k-1} + f_{k+1}) + d_k$  ,  $k=1, \dots, N-1$  (f<sub>0</sub>, f<sub>N</sub> bleiben!)

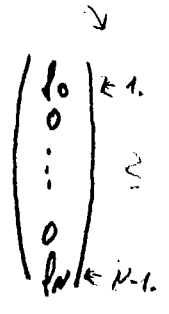
$$T = \begin{pmatrix} 1 & -\alpha & & & & \\ -\alpha & 1 & \alpha & & & \\ & \alpha & 1 & \alpha & & \\ & & \alpha & 1 & \alpha & \\ & & & \alpha & 1 & \alpha \\ & & & & \alpha & 1 \\ & & & & & \alpha & 1 \\ & 0 & & & & & -\alpha & 1 \\ & & & & & & & -\alpha & 1 \end{pmatrix} \xrightarrow{N-1} \nabla \cong (*)$$

Blendung im  $\mathbb{R}^{N-1}$   $N-1$

$Tf = d + b$  ,  
 $Tf_k = \begin{cases} d_k, & k=1, \dots, N-1 \\ f_k, & k=0, N \end{cases}$



Referenzwerte!



Codierung:  $f \rightarrow \begin{pmatrix} d \\ b \end{pmatrix} \nabla$

Rekonstruktion:

$\begin{pmatrix} d \\ b \end{pmatrix} \rightarrow f \nabla$

Dazu: Löse  $Tf = d + b$  (T bekannt!)

nach Proben I, da  $T$  ~~hermitisch~~ hermitisch  $T$  hermitisch  $\therefore \mathcal{O}(N)$  RO's

Alternativ: Aufgabe 25 :

U Sinus-Transformation

$U^T T U = \Lambda$  ,  $\Lambda = (\lambda_n)$  ,

$\lambda_k = 1 + 2\alpha \cos \frac{k\pi}{N}$  ,  $k=1, \dots, N-1$

$$U \Lambda U^T f = d + b$$

$$g := U^T f = \Lambda^{-1} U^T (d + b) \quad \leftarrow \text{Codierung}$$

$$f = U g \quad \leftarrow \text{Rekonstruktion} \quad \square$$

Beziehung zu Dgl:

Sei  $h$  Pixelabstand

Berechne  $\left( \frac{1}{\alpha h^2} T f \right)_k$

$$= \frac{1}{\alpha h^2} d_k = \frac{1}{\alpha h^2} f_k - \frac{1}{h^2} (f_{k-1} + f_{k+1}) \stackrel{?}{=} g$$

$$= \frac{1}{h^2} (-f_{k-1} + 2f_k - f_{k+1}) + \left( \frac{1}{h^2} (\frac{1}{\alpha} - 2) \right) f_k$$

aus Nummer 1 bekannt:  $\neq 0$

$$\approx -f''(x_k)$$

$$x_k = k\text{-tes Pixel}, f(x_k) = f_k$$

Also:

$$\left. \begin{array}{l} T f = d + b \\ \text{Randwerte} \end{array} \right\} \begin{array}{l} (\Rightarrow) -f'' + \alpha f = d \\ f(0) = f_0 \\ f(hN) = f_N \end{array} \left. \vphantom{\begin{array}{l} T f = d + b \\ \text{Randwerte} \end{array}} \right\} \text{Randwertaufgabe!}$$

geht zurück auf Jam ~ 1978

entspricht Erzeugnis eines stochastischen Prozesses?



(Num. Bildv. 10.12.90)

Im 1D war ja Tridiagonalsystem  $TP = d + b$  von latter?

RCC in 2D:

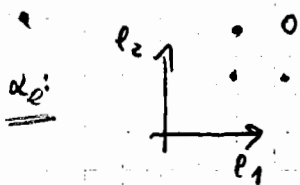
$$k = \begin{pmatrix} k_1 \\ k_2 \end{pmatrix}$$

↙  $\alpha_l$   $\alpha_r$   $\alpha_b$   $\alpha_t$   $\alpha_c$   $\alpha_s$

$$\hat{f}_k = \sum_{l \neq 0} \alpha_l f_{k+l}, \quad c = \begin{pmatrix} c_1 \\ c_2 \end{pmatrix}$$

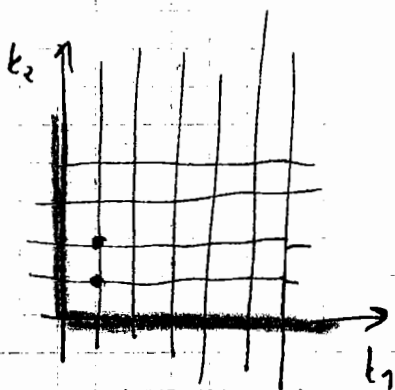
← vgl. S. 83!

$$f_k = \hat{f}_k + d_k \quad d_k := f_k - \hat{f}_k$$



$$\alpha_{l_1, l_2} = 0, \quad l_1 > 0, \quad l_2 > 0$$

( $\Rightarrow \hat{f}_k$  unabh. von  $f_{k+l} \quad \forall l = \begin{pmatrix} 0 \\ 1 \end{pmatrix}, \begin{pmatrix} 1 \\ 0 \end{pmatrix}, \dots$ )



kausal

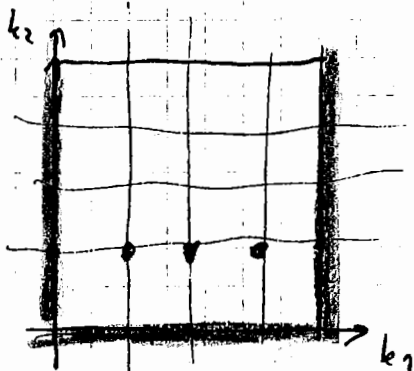
f bekannt: ✓



$$\alpha_{l_1, l_2} = 0$$

(d.h.  $\hat{f}_k$  unabh. von  $f_{k+l}$ , links Wahlweise?)

für  $l_2 > 0$



f bekannt: ✓

"semikausal"

3.) Nichtkausalität:

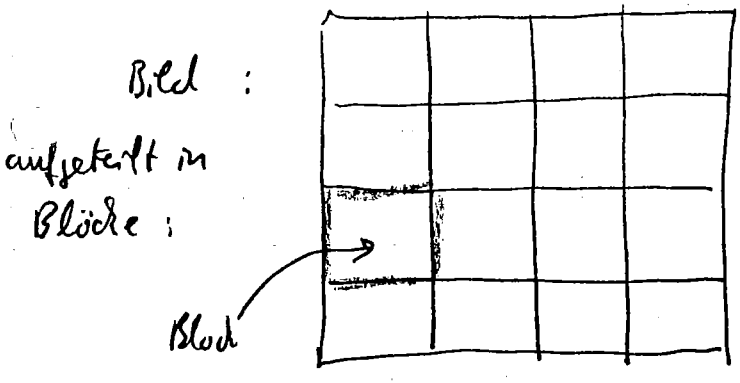
Beispiel: 
$$f_{k_1, k_2} = \alpha (f_{k_1+1, k_2} + f_{k_1-1, k_2} + f_{k_1, k_2+1} + f_{k_1, k_2-1}) + d_{k_1, k_2}$$

$$-\frac{\partial^2 f}{\partial x_1^2} - \frac{\partial^2 f}{\partial x_2^2} + af \approx \left(\frac{4}{h^2} + a\right) \left\{ f_{k_1, k_2} - \alpha (f_{k_1+1, k_2} + \dots + f_{k_1, k_2-1}) \right\}$$

falls  $\alpha = \frac{1}{4 + ah^2} = \left(\frac{4}{h^2} + a\right)^{-1} d$

ist Elliptische Dgl., Randwertproblem

Praktische Anwendung:



als DGL?!

löse für die einzelnen Blöcke separat und setze  
hintereinander die Lsg. zusammen.

→ "Tiling-Effekt" tritt dabei auf,  
↑  
etwa abhängig an Blockgrößen?

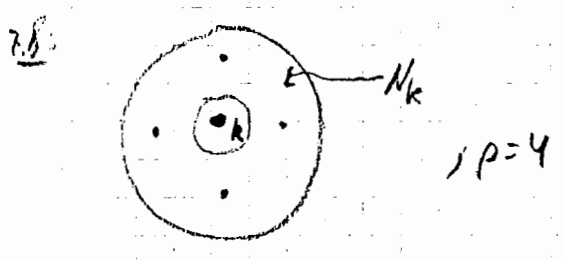
# §4 Bildanalyse

f Bild, g Objekt (= Bild)

Frage: Kommt g in f vor?

1.) g = Punkt:

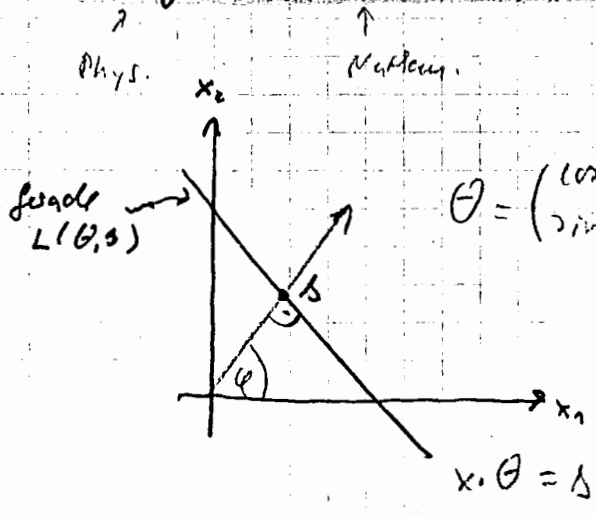
$d_k := f_k - \frac{1}{P} \sum_{l \in N_k} f_l$ ,  $N_k =$  Menge der benachbarten Pixel zu  $k$   
 $k \in N_k, P = |N_k|$   
 $P = |N_k|$



k Punkt  $\Leftrightarrow |d_k| \geq d$

2.) g = Gerade:

## Hough - (Radon -) Transformation:



$\theta = \begin{pmatrix} \cos \theta \\ \sin \theta \end{pmatrix}$

$x = \rho \theta + t \theta^\perp$

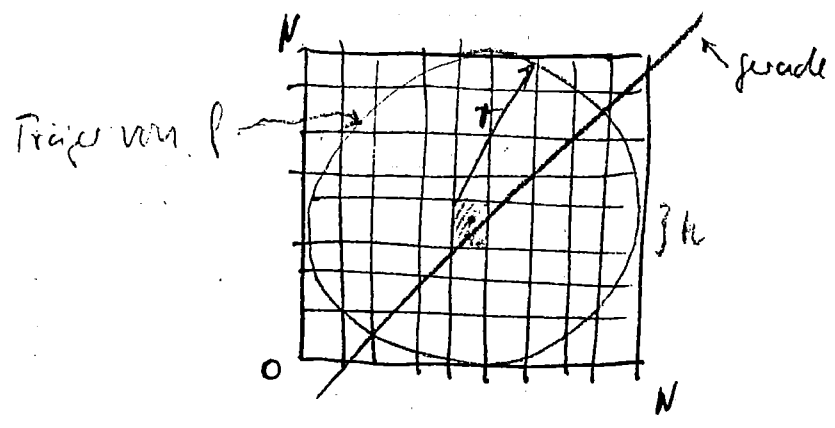
$\theta^\perp = \begin{pmatrix} -\sin \theta \\ \cos \theta \end{pmatrix}$

Anm:  $(\theta, \rho) \Leftrightarrow (-\theta, -\rho)$  = beschreiben die <sup>selben</sup> Geraden!

$$\underline{(Rf)(\theta, s)} = \int_{x \cdot \theta = s} f(x) dx = \int_{-\infty}^{+\infty} f(s\theta + t\theta^\perp) dt$$

(Radon-Transformation)

Geraden in  $f \iff$  Punkten in  $Rf$

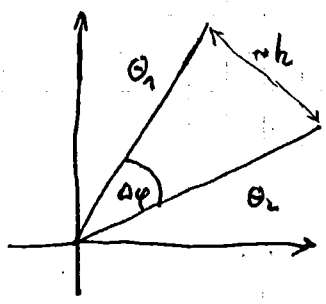


Die Fun.  $f$  sei konstant in jedem Quadrätchen  
 (z.B. einem <sup>bet.</sup> bet. Fun.wert innerhalb dieses Quadrätchens!)

$$Rf(\theta, s) = \sum_l |L(\theta, s) \cap \text{Pixel}_l|$$

$$s = h \cdot \theta_2$$

$$r \sin \Delta\varphi \sim r \Delta\varphi = h$$



$$\theta = \begin{pmatrix} \cos \varphi_j \\ \sin \varphi_j \end{pmatrix}$$

$$\varphi_j = \Delta\varphi \cdot j$$

$O(N^3)$  Operationen!

3.) g beliebiges Objekt:

(a) Sind  $f$  und  $g$  identisch bis auf Translation?

→ Fouriers-Transform.  $\hat{f}$

$$f_a(x) = f(a+x) \Rightarrow \hat{f}_a(\xi) = e^{i\xi \cdot a} \hat{f}(\xi)$$

$$|\hat{f}_a(\xi)| = |\hat{f}(\xi)|$$

Also: Falls ja, folgt:  $|\hat{f}(\xi)| = |\hat{g}(\xi)|$

(b) Gehen  $f$  und  $g$  durch Bewegungen auseinander hervor?  
(Translation + Rotation)

$$N_f(p) = \int_{S^1} |\hat{f}(p\omega)| d\omega, \quad S^1 = \text{Einheitskreis in } \mathbb{R}^2$$

Falls ja  $\Rightarrow$   $N_f = N_g$

(c) Gesteht  $f$  aus  $g$  durch Skalierung (+ Translation) hervor?

$$f_r(x) = f(rx), \quad \hat{f}_r(\xi) = r^{-2} \hat{f}(\xi/r) \quad \text{im } 2\text{-dim.}$$

$$P_f(\omega) = \int_0^\infty |\hat{f}(p\omega)| p dp, \quad \omega \in S^1$$

$$P_{f_r}(\omega) = \int_0^\infty |\hat{f}_r(p\omega)| p dp = r^{-2} \int_0^\infty |\hat{f}(\frac{p}{r}\omega)| p dp$$

$$\left(\frac{p}{r} = p'\right) = r^{-2} r^2 \int_0^\infty |\hat{f}(p'\omega)| p' dp' = P_f(\omega)$$

Falls ja  $\Rightarrow$   $P_f = P_g$

(d) Geben  $f$  und  $g$  durch Ähnlichkeit auseinander hervor?

$$\underline{T_f} = \int_{S^1} P_f(w) dw$$

(siehe Üb.aufgabe 30)

4. Erkennen von Texturen:

Texture = doppelt periodische Fu.

Auf Periodizität überprüfen:

$2\pi$ -periodisch in beiden Argumenten, d.h.

$$f(x) = f(x + 2\pi l), \quad l \in \mathbb{Z}^2$$

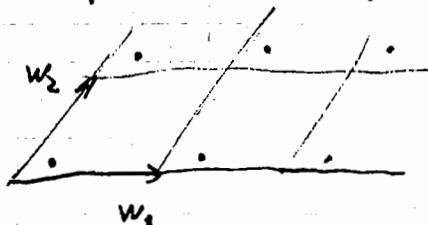
$$\rightarrow \hat{f}(f) = 2\pi \sum_{k \in \mathbb{Z}^2} \hat{f}_k \delta(f - k), \quad \hat{f}_k = \frac{1}{(2\pi)^2} \int_{[0, 2\pi]^2} f(x) e^{-ix \cdot k} dx$$

d.h. es sind nur noch Punkte im Gitter festzustellen.

Dieses Problem ist bereits gelöst.

$W$ -periodisch,  $W$   $(2,2)$ -Matrix, nicht singular

$$\text{d.h. } f(x + Wl) = f(x) \quad \forall l \in \mathbb{Z}^2$$



$$f_{W/2\pi}(x) = f\left(\frac{W}{2\pi}x\right)$$

$f_{W/2\pi}$  ist  $2\pi$ -periodisch in beiden Argumenten.

$$f_{W/2\pi}(x + 2\pi l) = f\left(\frac{1}{2\pi}W(x + 2\pi l)\right) = f\left(\frac{1}{2\pi}Wx\right) = f_{W/2\pi}(x)$$

$$\hat{f}_{W/2\pi}(f) = 2\pi \sum_{k \in \mathbb{Z}^2} \hat{f}_k \delta(x - 2\pi k)$$

Aufgabe 7: 
$$\hat{f}_{W/2\pi}(f) = c \hat{f}\left((W/2\pi)^{-T} f\right)$$

$$= c \hat{f}\left(2\pi W^{-T} f\right)$$

$$\hat{f}(2\pi W^{-T} \xi) = c_2 \sum_k \hat{f}_k \delta(\xi - 2\pi k)$$

$$\delta_{Ag'} = \int \delta(A\xi) g(\xi) d\xi = \frac{1}{|\det(A)|} \int \delta(\xi') g(A^{-1}\xi') d\xi' = \frac{1}{|\det(A)|} g(0)$$

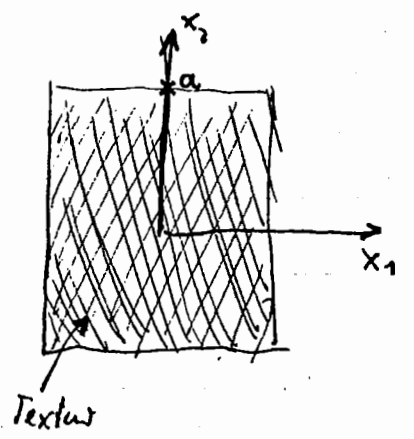
$$A\xi = \xi'$$

$$\delta_A = \frac{1}{|\det A|} \delta$$

$$\begin{aligned} \hat{f}(\xi') &= c_2 \sum_{k \in \mathbb{Z}^2} \hat{f}_k \delta\left(\frac{1}{2\pi} W^T \xi' - k\right) = \\ &= c_3 \sum_{k \in \mathbb{Z}^2} \hat{f}_k \delta(\xi - 2\pi W^{-T} k) \end{aligned}$$

d.h.  $\hat{f}$  hat "Pkte" in den Punkten des zu  $W\mathbb{Z}^2$  reziproken Gitters.

Praktisch kann  $\hat{f}$  nicht berechnet werden (da man die Periode ja nicht kennt!)



$$\chi_{\eta_a}(x) = \begin{cases} 1, & x \in [-a, a]^2 \\ 0 & \text{sonst} \end{cases}$$

d.h. man legt ein hinreichend großes "Fenster" über die Textur und bildet durch die Fourier-Transformierte:

$$\begin{aligned} \underline{(\hat{f} \chi_{\eta_a})} &= c \int_{\text{vgl. oben!}} \hat{f} * \hat{\chi}_{\eta_a} \\ \delta_{-y}(\xi) &= \delta(\xi - y) \end{aligned}$$

$$\delta_{-y} * \hat{\chi}_{\eta_a} = \int \delta(\xi - y - \eta) \hat{\chi}_{\eta_a}(\eta) d\eta = \hat{\chi}_{\eta_a}(\xi - y)$$

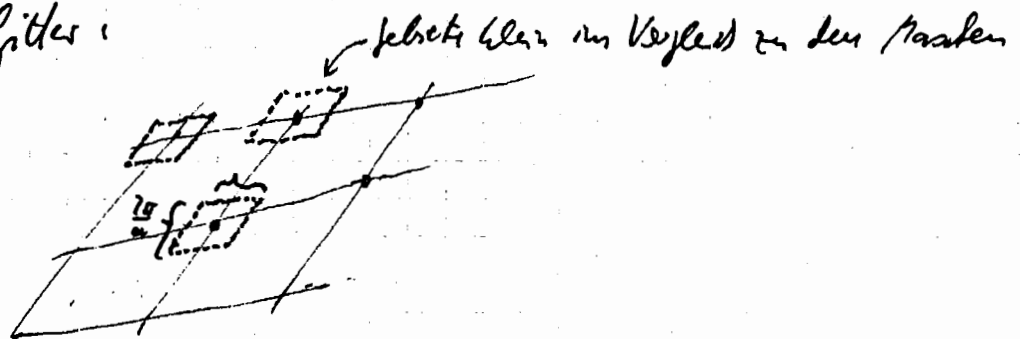


$$\hat{f} * \hat{\chi}_{\eta a} = c_5 \sum_{k \in \mathbb{Z}^2} \hat{f}_k \hat{\chi}_{\eta a} (\xi - 2\pi W^{-1}k)$$

$$(\hat{\chi}_{\eta a}(\xi) = c_6 \operatorname{sinc}(a\xi))$$

$$= c_7 \sum_{k \in \mathbb{Z}^2} \hat{f}_k \operatorname{sinc}(a(\xi - 2\pi W^{-1}k))$$

Reziprokes Gitter:



Punkte, falls  $\frac{2\pi}{a}$  hinreichend klein, aber d.h.

falls  $[-a, +a]^2$  viele Fundamentallbereiche des Gitters  $W$  enthält.

5. Sind zwei Konturen gleich (bis auf Bewegungen)?

$$(a) \Gamma: x = \gamma(s) \quad 0 \leq s \leq L = \text{Länge von } \Gamma$$

$\gamma = \text{Bogenlänge}$

$$\Rightarrow |\dot{\gamma}| = 1$$

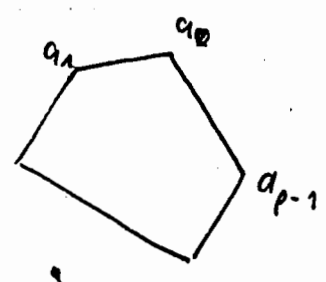
$$= \sqrt{\left(\frac{dx}{ds}\right)^2 + \left(\frac{dy}{ds}\right)^2}$$

$$\oint_{\Gamma} f = \int_{\Gamma} f = \int_0^L f(\gamma(s)) ds$$

$$\hat{\oint}_{\Gamma}(\xi) = \frac{1}{2\pi} \int_0^L e^{-i\xi \cdot \gamma(s)} ds$$

Berechne also  $N, P$ , usw. (Invarianten)

(b)  $\mathbb{T}$  Polygonzug, erzeugt von  $a_0, \dots, a_{p-1}$



$$\sum_{j=0}^{p-1} \delta(x - a_j)$$

Beweis:  $a_j = \begin{pmatrix} a_{1j} \\ a_{2j} \end{pmatrix} \Leftrightarrow a_{1j} + i a_{2j} =: a_j \in \mathbb{C}$   
 ↑  
 identifiziere

dann:  $\hat{a}_k = \frac{1}{p} \sum_{j=0}^{p-1} e^{-2\pi i j k / p} a_j$  DFFT!

Translation:  $\left. \begin{matrix} a_j \rightarrow a_j + b \\ \hat{a}_k \rightarrow \hat{a}_k + b \delta_k \end{matrix} \right\}$  nicht schön

Beweis:

Normiere  $a_j$ :  $b = \frac{1}{p} \sum_{j=0}^{p-1} a_j$  (damit Schwerpunkt des Polygons im Nullpunkt)

ersetze  $a_j \rightarrow a_j - b$

Drehung:  $\begin{matrix} a_j \\ \uparrow \\ \mathbb{R}^2 \end{matrix} \rightarrow U(\varphi) \begin{matrix} a_j \\ \uparrow \\ \mathbb{R}^2 \end{matrix}$ ,  $U(\varphi) = \begin{pmatrix} \cos \varphi & -\sin \varphi \\ \sin \varphi & \cos \varphi \end{pmatrix}$

in  $\mathbb{C}$ :  $a_j \rightarrow e^{i\varphi} a_j$

$\Rightarrow \hat{a}_k \rightarrow e^{i\varphi} \hat{a}_k$ , d.h.  $|\hat{a}_k|$  invariant bzgl. Drehung

Bei Veränderung der Nummerierung:

$$\hat{a}_k \rightarrow \frac{1}{p} \sum_{j=0}^{p-1} e^{-2\pi i j k / p} a_{j+s} \quad (a_p = a_0 \dots \text{ usw.})$$

nach Ummummung:  $\rightarrow \frac{1}{p} e^{2\pi i k s} \underbrace{\sum_{j=0}^{p-1} e^{-2\pi i k (j+s) / p}}_{\hat{a}_k} a_j$

d.h.  $|\hat{a}_k|$  hängt nicht ab von Nummerierung

Bedeutung dieses Verfahrens:

FD (Fourier Descriptor)

Da dort überall FT mit im Spiel!

Weiterer Fourier Descriptor für Kurven  $\gamma \subset \mathbb{T}$ ,  $\rightarrow$  Übungen.

6. Invarianten, die auf Momenten basieren:

$$m_k(f) := \int x^k f(x) dx$$

$$x^k = x_1^{k_1} x_2^{k_2}$$

Translation:

$$m(f) := \frac{1}{m_{00}} \int x f(x) dx, \quad m_{00} := \int f(x) dx$$

$\Rightarrow m$  ist Baryzentrum ("Schwerpunkt")

$$f_y(x) = f(x-y)$$

$$\Rightarrow m(f_y) = \frac{1}{m_{00}} \int x f(x-y) dx = \frac{1}{m_{00}} \int (x'+y) f(x') dx' \quad \text{d.h.}$$

$$= m(f) + y$$

Zentrierte Momente:  $\mu_k(f) = \int (x - m(f))^k f(x) dx$

Transl.:  $\mu_k(f_y) = \int (x - m(f_y))^k f_x(x) dx = \int (x - m(f) - y)^k \overset{x'}{\tilde{f}(x-y)} dx$   
 $= \int (x' - m(f))^k f(x') dx' = \underline{\mu_k(f)}$   $\Rightarrow \mu_k$  invariant bzgl. Translationen!

Rotation:  $f_u(x) = f(U^{-1}x)$

$$U = \begin{pmatrix} \cos\varphi & -\sin\varphi \\ \sin\varphi & \cos\varphi \end{pmatrix}$$

$$\begin{aligned} \mu_k(f_u) &= \int (x - m(f_u))^k f_u(x) dx = \\ &= \int (x - Um)^k f(\underbrace{U^{-1}x}_{x'}) dx \\ &= \int (Ux' - Um)^k f(x') dx' = \int (U(x - m(f)))^k f(x) dx \end{aligned}$$

$$\begin{aligned} \Rightarrow \underline{\mu_{(2,0)}^{(f_u)} + \mu_{(0,2)}^{(f_u)}} &= \int \left( (U(x-m))_1^2 + (U(x-m))_2^2 \right) f(x) dx \\ &= \int \|U(x-m)\|^2 f(x) dx \\ &\quad \uparrow \\ &\quad \text{euklid. Norm} \end{aligned}$$

$$\stackrel{U \text{ unitär}}{=} \int \|x-m\|^2 f(x) dx = \underline{\underline{(\mu_{(2,0)} + \mu_{(0,2)}) (f)}}$$

$\Rightarrow$  d.h.  $\mu_{(2,0)} + \mu_{(0,2)}$  ist invariant gegenüber Bewegungen. ↳ Transl. + Rot.

Weitere Invarianten:

$$(\mu_{(4,0)} - \mu_{(0,4)})^2 + 4\mu_{(4,1)}^2 \quad (\mu_{(3,0)} + \mu_{(0,3)})^2 + (\mu_{(1,3)} + \mu_{(3,1)})^2$$

$$(\mu_{(3,0)} - 3\mu_{(1,2)})^2 + (3\mu_{(2,1)} - \mu_{(0,3)})^2$$

# §5 Bildaufbereitung (Image Enhancement)

## 1. Kontrastverbesserung

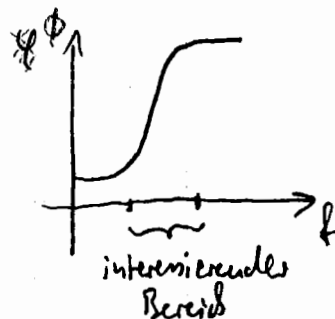
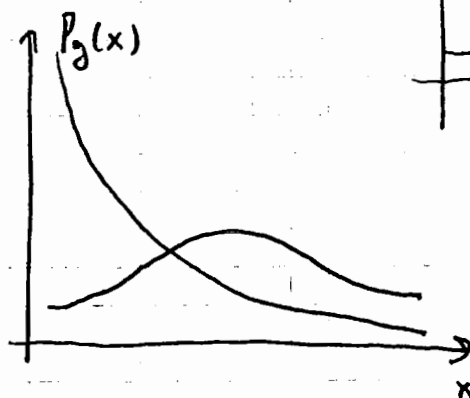
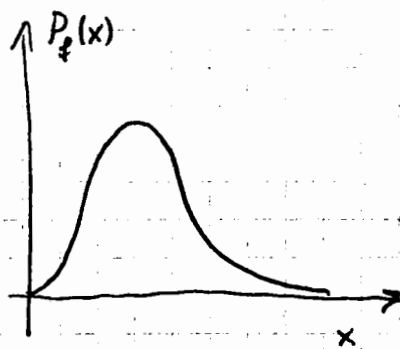
Änderung der Graustufen  $g = \Phi(f)$

( $\rightarrow$  bessere Graustufenverteilung)  
( $\Phi$ 's Aufg. besser identifizierbar)

$\Phi$  monoton wachsend

Systematische Konstruktion von  $\Phi$  auf Grund von Histogrammen:

$f$ , Dichte  $P_f$



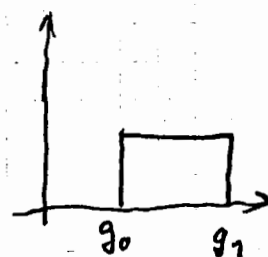
Vorgabe:  $P_g$  . Gesucht:  $\Phi$

$$\int_0^x P_g(x') dx' = P(g \leq \Phi(x)) = P(f \leq x) = \int_0^x P_f(x') dx'$$

$\Phi(f(x)), \Phi$  monoton!

Beispiele: 1)  $P_g(x) = \begin{cases} 0 & , x \leq g_0 \\ \frac{1}{g_1 - g_0} & , g_0 \leq x \leq g_1 \\ 1 & , x \geq g_1 \end{cases}$

$\rightarrow \Phi(x) = (g_1 - g_0) I(f \leq x) + g_0$



( $\rightarrow P(f(x)) = \frac{\Phi(x) - g_0}{g_1 - g_0}$ )

$$\int_0^{\phi(x)} P_g(x') dx' = \left\{ \begin{array}{l} 0, \phi(x) \leq g_0 \\ (\phi(x) - g_0) / (g_1 - g_0), g_0 \leq \phi(x) \leq g_1 \\ 1, \phi(x) \geq g_1 \end{array} \right\} = P(f \leq x)$$

2.)  $P_g(x) = \begin{cases} 0, & x \leq g_0 \\ \alpha \exp\{-\alpha(x - g_0)\}, & x > g_0 \end{cases}$

$\phi(x) = g_0 - \frac{1}{\alpha} \ln(1 - P(x \leq f))$

2. Kontrastverstärkung (Hervorheben kleiner Details)

(a) Direkt:

$g(x) = \sum_k a_k f(x - hk)$

z.B. Feurtes S. 102 unten:

diskret:  $g(lh) = \sum_k a_k f(k-l)h$

$\begin{bmatrix} 0 & -1 & 0 \\ -1 & 4 & -1 \\ 0 & -1 & 0 \end{bmatrix} \cong \Delta$  Laplace

Nur diese werden berechnet.

Schreibe:  $g(x) = S * f(x)$  mit  $S(x) = \sum_k a_k \delta(x - hk)$  im Ortsraum

$\hat{g}(\xi) = (2\pi)^{-1/2} \hat{S}(\xi) \hat{f}(\xi)$

$\hat{S}(\xi) = (2\pi)^{1/2} \sum_k a_k e^{-ik\xi \cdot k}$

$\hat{g}(\xi) = \underbrace{\sum_k a_k e^{-ik\xi \cdot k}}_{=: H(\xi)} \cdot \hat{f}(\xi)$  im Frequenzraum

$H(\xi)$  ← soll Hochpasscharakter haben!  
liegt im Frequenzraum!

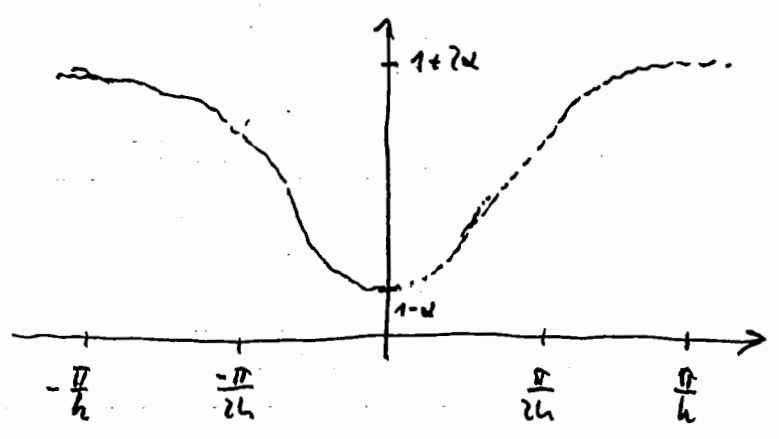
Ziel: H soll Hochpass-Filter werden. (Also in hohen Frequenzen (Ausgaben) soll schwach bleiben)

Beispiele:

1.) 1 Dimensional

$g(x) = f(x) - \alpha (f(x-h) + f(x+h))$

$\rightarrow H(f) = 1 - \alpha (e^{-i h f} + e^{i h f}) = 1 - 2\alpha \cos(h \cdot f)$



$0 \leq \alpha \leq \frac{1}{2}$

2.) 2 Dimensional

$g(x) = f(x) - \alpha (f(x-h \begin{pmatrix} 0 \\ 1 \end{pmatrix}) + f(x-h \begin{pmatrix} 0 \\ -1 \end{pmatrix})$   
 $+ f(x-h \begin{pmatrix} 1 \\ 0 \end{pmatrix}) + f(x-h \begin{pmatrix} -1 \\ 0 \end{pmatrix})$

$\rightarrow H(f) = 1 - 2\alpha (\cos h f_1 + \cos h f_2)$  ,  $0 \leq \alpha \leq \frac{1}{4}$

z.B.  $\alpha = \frac{1}{4}$  :  $\begin{bmatrix} & -\frac{1}{4} & \\ -\frac{1}{4} & 1 & -\frac{1}{4} \\ & -\frac{1}{4} & \end{bmatrix} = \alpha \sim \underline{-\frac{1}{4} \Delta}$  (eben die elast. Form!)  
mit  $\Delta f = \frac{\partial^2 f}{\partial x^2} + \frac{\partial^2 f}{\partial y^2}$

(4.) im Fourier-Raum :

$$\hat{g}(f) = H(f) \hat{f}(f) \quad (\text{s.o., a!})$$

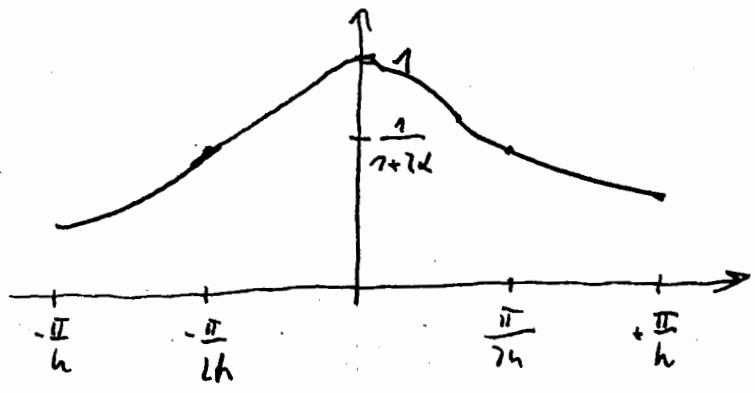
3. Glättung :

(a) Direkt :  $H(f)$  nun Tiefpaß ! (Ziel!)  
analog zu 2.) ? (s.o.)!

Beispiele:

1.) 1D :  $g(x) = \frac{1}{1+2\alpha} (f(x) + \alpha(f(x-h) + f(x+h)))$

$H(f) = \frac{1}{1+2\alpha} (1 + 2\alpha \cos(h \cdot f))$



$0 \leq \alpha \leq 1/2$

Erweiterung analog zum Hochpaß-Beispiel in 2.)  
(1D)-Fall!

2.) 2D :  $g(x) = \frac{1}{1+4\alpha} (f(x) + \alpha (f(x-h_1) + \dots (s.o.) \dots))$

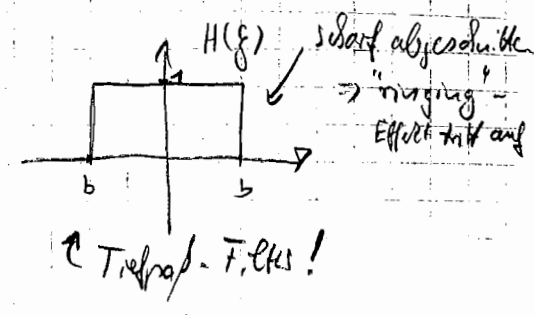
$H(f) = \frac{1}{1+4\alpha} (1 + 2\alpha \cos(h \cdot f_1) + 2\alpha \cos(h \cdot f_2))$



(b) Im Fourier-Raum:  ~~$\hat{g} = H \hat{f}$~~   $\hat{g} = H \hat{f}$

Beispiele:

1.)  $H(f) = \begin{cases} 1, & |f| \leq b \\ 0 & \text{sonst} \end{cases}$   
 = "Idealer Tiefpass"

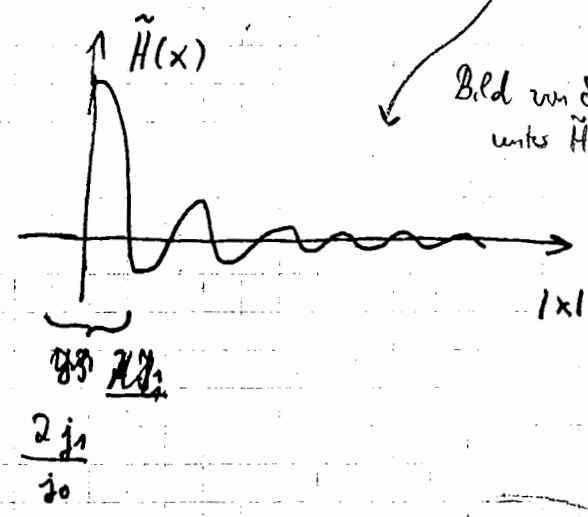


$g = (\pi)^{1/2} \tilde{H} * f$

z.B.  $f = \delta \Rightarrow g = (\pi)^{1/2} \tilde{H}$

4=2:  $\tilde{H}(x) = c \frac{J_1(b|x|)}{b|x|}$

$J_1$  Bessel-Fn.



$J_1 =$  kleinste Nullstelle  
in  $J_1$

2denn:



"ringing" außerhalb ist unerwünscht

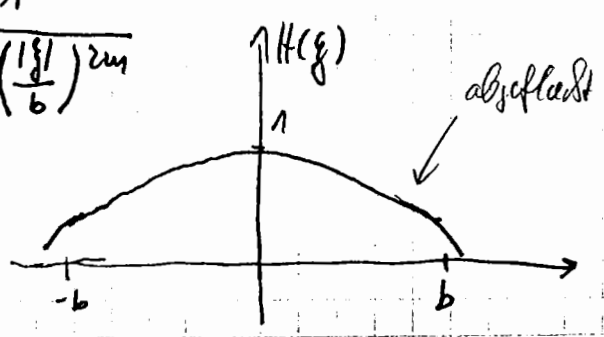
"Ringing" tritt auf, unerwünscht! Deshalb:

Soll schneller abfallen

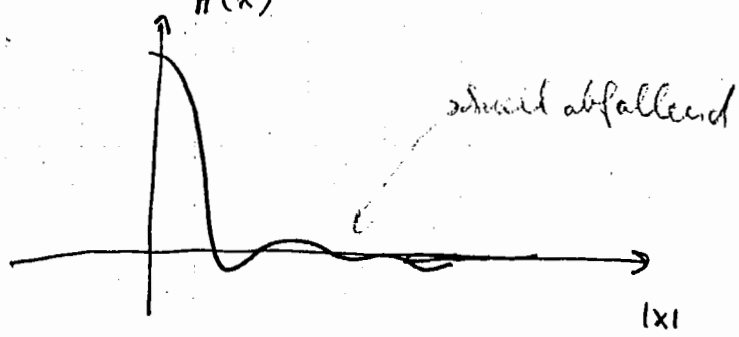
2.) Butterworth-Filter der Ordnung  $m$

$H(f) = \frac{1}{1 + (\frac{|f|}{b})^{2m}}$

(vgl. auch S. 107?)

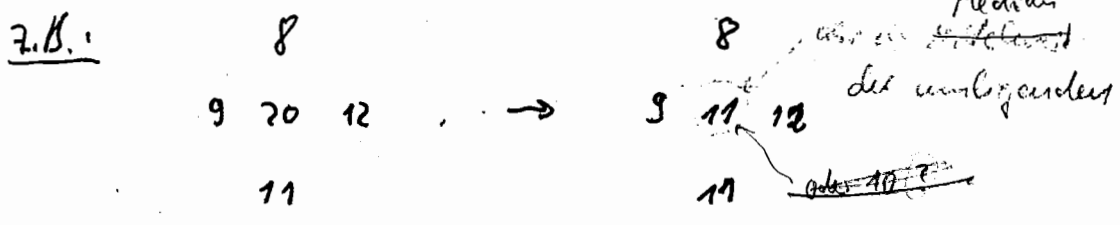


$\hat{H}(x) \leftarrow$  Also wieder Bild im Dvac- $\delta$ !  $\hat{H}(x) = (2\pi)^{-2} g$ , falls  $f = \delta$



(c) Median - Filter :

8 9 11 12  
 $\uparrow \uparrow$   
 eines von beiden!



4. Coefficient rooting, Cepstrum (Kunstwort aus Spectrum)

coeff. rooting  $\hat{g} = \frac{\hat{f}}{|\hat{f}|} |\hat{f}|^\alpha$ ,  $0 \leq \alpha < 1$

Cepstrum  $\hat{g} = \frac{\hat{f}}{|\hat{f}|} \log(a + b|\hat{f}|)$

5. Image restoration Wichtig!

$f(y)$  Bild

beobachtbar also nun:

$$g(x) = \int B(x,y) f(y) dy + n(x)$$

blurring-funktion Rauschen  
 verwackeln, trüben, verwackeln!

Problem:  $g, B$  gegeben,  $f$  gesucht (für  $n$  wähle z.B. weißes Rauschen  $\Rightarrow n = \text{const.}$ )

$$f = \delta : \int B(x,y) f(y) dy = B(x,0)$$

point spread - function

$$B(x,y) = \tilde{B}(x-y) \quad (\text{d.h. nur von Differenz abhängen } f, f!)$$

(typisches Beispiel:  $\tilde{B}(x) = c e^{-\frac{|x|}{\tau}}$  und weiter aufgelöst!  $x$  steht für  $x'-y'$ ?)

$$\rightarrow g = B * f + n$$

$$\hat{g} = (2\pi)^{-\frac{d}{2}} \hat{B} \hat{f} + \hat{n}$$

$$\hat{f} = (2\pi)^{-\frac{d}{2}} \frac{\hat{g} - \hat{n}}{\hat{B}}$$

aber:  $\hat{n}$  unbekannt!

$$\hat{f} = (2\pi)^{-\frac{d}{2}} \frac{\hat{g}}{\hat{B}} \stackrel{+?}{=} \frac{-\hat{n}}{\hat{B}}$$

$\hat{B}(f) \rightarrow 0$  sehr schnell für  $|f| \rightarrow \infty$

$\hat{n}$  : Typisch  $|\hat{n}| = \sigma$  (klein) (vgl. S. 110)  
Nähe

$\Rightarrow \left| \frac{\hat{n}}{\hat{B}} \right|$  ist sehr groß für große  $|f|$

Butterworth - Filter der Ordnung  $n$  und Abschnurdefrequenz  $b$ :

$$H(s) = \frac{1}{1 + \left(\frac{|s|}{b}\right)^{2n}} \quad \text{(vgl. S. 110!)} \\ \text{vgl. S. 104! u. S. 110!}$$

$$\tilde{H}(x) \stackrel{\text{Auf. 7}}{=} \int_0^{\infty} \tau J_0(\tau|x|) \frac{d\tau}{1 + \left(\frac{\tau}{b}\right)^{2n}}$$

$n=1$ : Hankel - Widolser - Integral

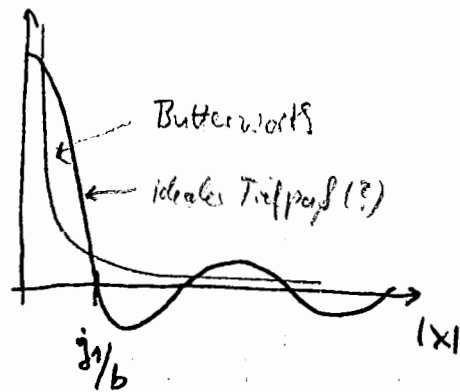
Formel 11.4.44 Abram. Stegun :  $= K_0(|x|b)$ ,

$K_0$  modifiziertes Besselfn.

$$K_0(\tau) \sim \begin{cases} \ln \tau & , \tau \rightarrow 0 \\ e^{-\tau} & , \tau \rightarrow \infty \end{cases}$$

Vgl. mit:

$$\frac{J_1(|x|b)}{|x|b} \quad \text{(ideales Tiefpaß)} :$$



$$j_1 = 3.83171$$

### 5.) Bildrestoration

$$g = 2\pi^{-\frac{u}{2}} B * f + n$$

$$\hat{g} = \hat{B} \hat{f} + \hat{n}$$

$$\hat{f} = \frac{\hat{g} - \hat{n}}{\hat{B}}$$

funktioniert nicht, da

$\hat{B}$  evtl. klein,  $\hat{n}$  aber groß  $\Rightarrow$  Ausdruck sehr groß

Stattdessen:

Wiener-Filter:  $W, \hat{f}_R = \hat{W} \hat{g}$  <sup>Restaurationsvorschrift</sup> Wähle  $\hat{W}$  so, dass Fehler:

$$\hat{f}_R - \hat{f} = \hat{W} (\hat{B} \hat{f} + \hat{n}) - \hat{f}$$

$$= (\hat{W} \hat{B} - 1) \hat{f} + \hat{W} \hat{n} \quad \text{klein wird!}$$

$$(a+b)^2 = 2(|a|^2 + |b|^2)$$

$$|\hat{f}_R - \hat{f}|^2 \leq 2 (|\hat{W} \hat{B} - 1|^2 |\hat{f}|^2 + |\hat{W} \hat{n}|^2)$$

Fehler zwischen gestörtem und korrektem Bild, soll im folgenden minimiert werden!

statistisches Argument  $\rightarrow$

$$= \text{erwartungswert } E |\hat{f}_R - \hat{f}|^2 \quad \text{ist zu minimieren!}$$

falls  $n$  "weißes Rauschen"

vgl. auch S. 74 "Codierung", Herleitung von  $V_f$ !

Lemma: Sei  $F(w) = |w-z|^2 + w|w|^2, w \in \mathbb{C}, w \geq 0$ .

$$\Rightarrow \min_w F(w) = \frac{w}{1+w} |z|^2 \quad \text{wird angenommen für } w = \frac{z}{1+w}$$

Beweis:  $w = u+iv, z = x+iy$

$$F(w) = (u-x)^2 + (v-y)^2 + w(u^2 + v^2)$$

$$\nabla F = 0 :$$

$$\Rightarrow z(u-x) + z\omega u = 0$$

$$z(v-y) + z\omega v = 0$$

$$\Rightarrow W-z + \omega W = 0 \rightarrow \text{Res.}$$

Wende Lemma an auf  $F(\hat{w}) = (W - \hat{w})^T B^{-1} (W - \hat{w}) + \left| \frac{\hat{n}}{B\hat{f}} \right|^2 |\hat{w}|^2$

$$F(\hat{w}) = | \hat{w} - \hat{B}^{-1} \hat{f} |^2 + \left| \frac{\hat{n}}{\hat{B}\hat{f}} \right|^2 |\hat{w}|^2$$

$$\rightarrow \text{minimal für } \hat{w} = \frac{1}{1 + \left| \frac{\hat{n}}{\hat{B}\hat{f}} \right|^2} \hat{B}^{-1} \hat{f}$$

Es folgt:  $\Rightarrow$  Wiener-Filter  $\hat{w} = \frac{|\hat{B}|^2}{|\hat{B}|^2 + \left| \frac{\hat{n}}{\hat{f}} \right|^2} \hat{B}^{-1}$

Lemma(?)  
 $\rightarrow F(\hat{w}) = \frac{\left| \frac{\hat{n}}{\hat{B}\hat{f}} \right|^2}{1 + \left| \frac{\hat{n}}{\hat{B}\hat{f}} \right|^2} |\hat{B}^{-1}\hat{f}|^2$

mit der Fehlerabschätzung:

$$\hat{w} = \frac{\hat{B}}{|\hat{B}|^2 + \left| \frac{\hat{n}}{\hat{f}} \right|^2}$$

Fehler:  $|\hat{p}_R - \hat{f}|^2 \leq 2 |\hat{B}\hat{f}|^2 F(\hat{w}) =$

~~$$= 2 \frac{|\hat{n}|^2}{1 + \left| \frac{\hat{n}}{\hat{B}\hat{f}} \right|^2} |\hat{B}\hat{f}|^2$$~~

$$= 2 \frac{\left| \frac{\hat{n}}{\hat{B}\hat{f}} \right|^2}{1 + \left| \frac{\hat{n}}{\hat{B}\hat{f}} \right|^2} |\hat{f}|^2$$

$$\frac{|\hat{B}\hat{f}|}{|\hat{n}|} \hat{=} \text{Signal - Rausch-Verhältnis}$$

wird im folgenden Zyklus gelöst!

Weitere Rauschen:  $E n(x)n(x-y) = \sigma^2 \delta(y)$  (Stochastik!)

d.h. alle am besten stellen wir uns das unabhängig, "white-noise"

Hier:  $\frac{1}{N} \sum_{k=1}^N n(x_k) n(x_k - \gamma) \sim \sigma^2 \delta(\gamma)$

$$\rightarrow \int n(x) n(x-\gamma) dx = \sigma^2 \delta(\gamma)$$

steht zuwendet  
Furrier Summe,  
deshalb:

$$n * \hat{n} = \sigma^2 \delta \quad \text{F.T.} \Rightarrow \hat{n} \hat{n} = c \sigma^2 1$$

$$\left( \hat{n}(\gamma) = n(x-\gamma) \right) \Rightarrow \underline{\underline{|\hat{n}| = \text{konst.}}}$$

Also: weiches Rauschen  $\Leftrightarrow$  Furrier-Transformierte ist konstant  
( $\hat{=}$  gleichverteilt alle Frequenzen!)

Dies Folgendes:

Vor:  $\hat{n}: |\hat{n}| = \sigma \text{ konstant}$

$\hat{f}: \text{typisch: } |\hat{f}(f)| \sim |f|^{-\beta}, \quad \beta \sim 3/2$

$\hat{B}: \text{bekannt}$   $\hat{W}$  hängt von  $\hat{n}, \hat{f}$  und  $\hat{B}$  ab!

Beispiele:

1.)  $B = (2\pi)^{n/2} \delta \quad (n=2), \text{ d.h. } g = f + n$

$$\hat{B} = 1$$

$\hat{W} = \frac{1}{1 + \left| \frac{\sigma}{f} \right|^2} \sim \frac{1}{1 + \sigma^2 |f|^{-2\beta}}$

d.h. Wiener-Folter ist hier  
angenähert das  
Butterworth der  
Ordnung  $\beta$   
(vgl. S. 107!)

2.)  $B(x) = \begin{cases} \frac{1}{\pi r^2} & \text{für } |x| \leq r \\ 0 & \text{sonst} \end{cases}$

$$\hat{B}(f) = \frac{2r (|f| r)^{-1}}{\pm |f| r} \sim c |f|^{-3/2}$$

$$\hat{w}(f) = \frac{|\hat{u}|^2}{|\hat{B}|^2 + |\hat{u}|^2}$$

Wiener Filter: (vgl. S. 105)

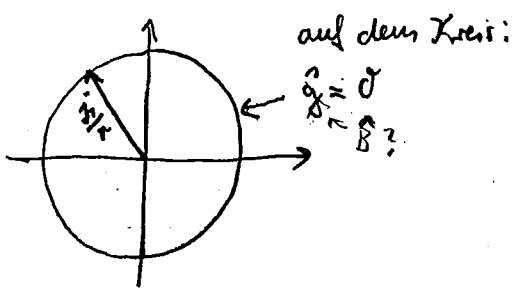
Wiener Filter:  
Verhalten bei Nullstellen von  $\hat{B}(f)$ :  
 (vgl. Berechnung in Beispiel 4.) am Filter!

$$\hat{w}(f) = \frac{|\hat{B}|^2}{|\hat{B}|^2 + |\hat{u}|^2} \quad \hat{B}^{-1} = \frac{\hat{B}^*}{|\hat{B}|^2 + |\hat{u}|^2} = 0 \quad ?$$

für  $\hat{B}(f) = 0$ !

Also: Wo ist  $\hat{B}(f) = 0$ ?  
 vgl. S. 107 unten!  
 $\hat{B}(f) = 0$ , falls  $|f|_+ = j_+$ ,  $\hat{g} = 3.8...$

dh.: Dort ist  
 Rekonstruktion nicht  
 möglich!  
 (→ Informationsverlust!)

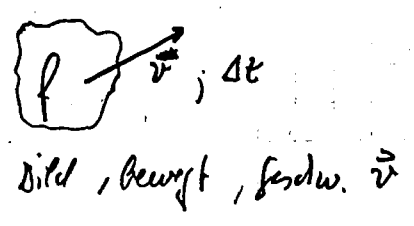


← Handelt es sich um den z. V. des Systems?  
 Modellzeit.

3.)  $B(x) = c e^{-\frac{1}{2}(x/r)^2}$ ,  $r$ : "blur spread parameter"  
 (eigentlich:  $e^{-2|x|^2}$ ) (beim Bild - aufwachen!)

$\hat{B}(f) = c' e^{-\frac{1}{2}(fr)^2}$  ( $\neq 0 \forall f$ )

4.) Aufgabe 9:



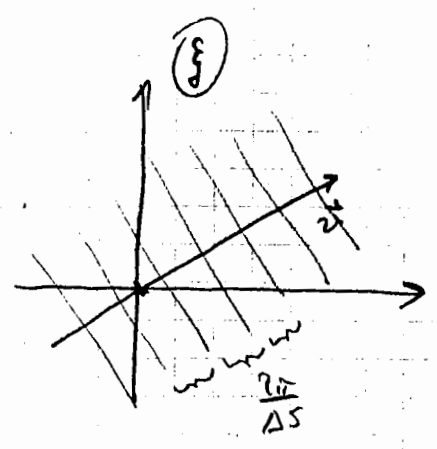
$\hat{B}(f) = c e^{i \Delta t \frac{v \cdot f}{2}}$   
 $\cdot \sin(\Delta t \frac{v \cdot f}{2})$   
 kann 0 werden!

$\hat{B}(f) = 0 \Leftrightarrow \Delta t \cdot v \cdot f / 2 = k\pi$ ,  $k = \pm 1, \pm 2, \dots$

$v \cdot f = \frac{2k\pi}{\Delta t}$ ,  $\frac{v}{|v|} \cdot f = \frac{2k\pi}{\Delta t |v|} = \frac{2k\pi}{\Delta s}$  (\*)

$\Delta s$  = Entfernung, die ein Bildpunkt zurücklegt





Sei  $f$  wie in (K).  $\hat{f}(f)$  ist für diese  $f$  nicht zu berechnen  
 aus  $\hat{g} = \hat{B}\hat{f} + \hat{m}$  :

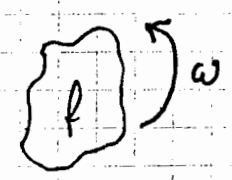
$$e^{ix \cdot f} = e^{i \frac{v}{|v|} f} \text{ bzw. } e^{i \frac{2\pi x}{\Delta s}}$$

, periodisch mit Periode  $\Delta s$

$$x = 0 \frac{v}{|v|}$$

! Diese  $\hat{B}$  und  $\hat{m}$  sind keine Totkopfformeln und zu berechnen. Wenn Filter setzt sie gleich 0.

5.) (zu Aufgabe 10) : Rotation :



$$f(x) = \sum_k f_k(t) e^{ik\varphi}, \quad x = r \begin{pmatrix} \cos\varphi \\ \sin\varphi \end{pmatrix}$$

$$g(x) = \int_0^{\Delta t} f(u(t)x) dt$$

$$u(t) = \begin{pmatrix} \cos\omega t & -\sin\omega t \\ \sin\omega t & \cos\omega t \end{pmatrix}$$

$$g_k = \frac{1}{ik\omega} (e^{ik\omega\Delta t} - 1) f_k$$

Falls  $k = \frac{2\pi p}{\omega \Delta t}$  :  $f_k g_k = 0$  durch Wiener Filter.

wird Frage: ist das sinnvoll? :

$$e^{ike} = e^{\frac{2\pi i p}{\omega \Delta t} \varphi}, \text{ hat Periode } \omega \Delta t$$

### III Bildrekonstruktion

#### § 1 Das allgemeine Rekonstruktionsproblem

$$g(x) = \int_Y K(x,y) f(y) dy, \quad x \in X \quad (K(x,y) \text{ Kernfunktion})$$

ist Integralgleichung 1. Art für  $f$ .

Bemerkungen: 1.) Das allgem. nicht eindeutig lösbar

z.B.:  $K \equiv 1$

2.) Selbst wenn eindeutig lösbar, immer noch instabil.

z.B.:  $X = Y = [0, 2\pi]$ ,  $K \in L_2(X \times Y)$

$f_k(y) = \frac{1}{\sqrt{2\pi}} e^{iky}$ ,  $k \in \mathbb{N}$ , vollst. ON-System in  $[0, 2\pi]$

$$\Rightarrow \sum_k \underbrace{\left| \frac{1}{\sqrt{2\pi}} \int K(x,y) e^{iky} dy \right|^2}_{g_k(x)} = \int_0^{2\pi} |K(x,y)|^2 dy$$

$$g_k(x) = \int K(x,y) f_k(y) dy$$

$$\int_0^{2\pi} \sum_k |g_k(x)|^2 dx = \int_0^{2\pi} \int_0^{2\pi} |K(x,y)|^2 dy dx < \infty$$

$$\sum_k \|g_k\|_{L_2(0,2\pi)}^2 < \infty, \text{ d.h. } \|g_k\| \rightarrow 0, k \rightarrow \infty$$

aber:  $\|f_k\| = 1 \quad \forall k$

d.h. die Umkehrabb. (wenn sie exist.) ist instabil (d.h. unstetig!)

Definition:  $F, G$  Hilbert-Räume,  $A: F \rightarrow G$  linear und stetig.

Das Problem  $Af = g$  heißt gut gestellt, falls:

i)  $Af = g$  stets eindeutig lösbar (d.h.  $\exists! f$ )

ii.)  $f$  hängt stetig von  $g$  ab.

Anderenfalls heißt  $Af = g$  schlecht gestellt.

Bemerkung: Falls statt  $g$  nur  $g_\delta$  mit  $\|g - g_\delta\| \leq \delta$  bekannt,

und falls  $Af_\delta = g_\delta$  eindeutig lösbar, ist

$f_\delta - f = A^{-1}(g_\delta - g)$  nicht notwendig klein, selbst wenn  $\delta$  klein ist.

Beispiele: 1.)  $(Af)(x) = \int_0^{\Delta t} f(x+tv) dt$ ,  $F = G = L_2(\mathbb{R}^2)$

Stetigkeit:  $|Af(x)|^2 \leq \int_0^{\Delta t} 1 \cdot \int_0^{\Delta t} |f(x+tv)|^2 dt$   
Schwarz'sche Ungl.

$$= \Delta t \int_0^{\Delta t} |f(x+tv)|^2 dt$$

$$\Rightarrow \int_{\mathbb{R}^2} |Af(x)|^2 dx \leq \Delta t \int_{\mathbb{R}^2} \int_0^{\Delta t} |f(x+tv)|^2 dt dx$$

$$\|Af\|_{L^2}^2 = \Delta t \int_0^{\Delta t} \underbrace{\int_{\mathbb{R}^2} |f(x+tv)|^2 dx}_{= \|f\|_{L^2}^2} dt = \Delta t^2 \|f\|_{L^2}^2$$

=  $\|f\|_{L^2}^2$  da über ganz  $\mathbb{R}^2$  integriert  $\Rightarrow$   $tv$  irrelevant

$$\Rightarrow \|Af\| \leq \Delta t \|f\|, \text{ d.h. } \|A\| = \Delta t, \text{ d.h. } A \text{ stetig (weil beschränkt)}$$

Nach Üs. aufg. 7:  $(Af)^\wedge(\xi) = \frac{1}{4\pi} e^{i\alpha} \text{sinc}(\alpha) \hat{f}(\xi)$ ,

mit  $\alpha = \frac{\Delta t v \cdot \xi}{2}$

$$Af = g \Leftrightarrow \hat{f}(\xi) = \frac{4\pi e^{-i\alpha}}{\text{sinc}(\alpha)} \hat{g}(\xi) \notin L_2 \forall g \in L_2$$

coll. nicht (eindeutig) lösbar  $\forall g$ !  
 (wegen sinc-Fun. im Nenner!)

$\Rightarrow$  Problem ist schlecht gestellt (i) verletzt?

2) Radon-Transformation:

$$\underbrace{(Rf)(\theta, \rho)}_{\substack{\uparrow \\ S^1}} = \int_{\substack{\uparrow \\ \mathbb{R}^1}} f(x) dx = \int_{\mathbb{R}^1} f(\rho\theta + t\theta^\perp) dt$$

$x \cdot \theta = \rho$

$F = L_2(|x| \leq 1)$  ,  $G = L_2(S^1 \times \mathbb{R}^1)$

Stetigkeit:

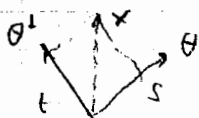
$|\rho\theta + t\theta^\perp|^2 = \rho^2 + t^2 < 1$

$$|(Rf)(\theta, \rho)| \leq \int_{-\sqrt{1-\rho^2}}^{\sqrt{1-\rho^2}} |f(\rho\theta + t\theta^\perp)| dt$$

Cauchy-Schwarz:  $\leq \left( \int_{-\sqrt{1-\rho^2}}^{\sqrt{1-\rho^2}} 1 dt \right)^{1/2} \left( \int_{-\sqrt{1-\rho^2}}^{\sqrt{1-\rho^2}} |f(\rho\theta + t\theta^\perp)|^2 dt \right)^{1/2}$

$$\Rightarrow \int_{-1}^{+1} \int_{-1}^{+1} |(Rf)(\theta, \rho)|^2 ds \leq 2 \cdot \int_{-1}^{+1} \int_{-1}^{+1} |f(\rho\theta + t\theta^\perp)|^2 dt ds$$

$=: x$



$$= 2 \int_{|x| < 1} |f(x)|^2 dx$$

$$\Rightarrow \int_{S^1} \int_{-1}^{+1} |(Rf)(\theta, \rho)|^2 ds d\theta \leq 4\pi \int_{|x| < 1} |f(x)|^2 dx$$

d.h.  $\|Rf\| \leq 2\sqrt{\pi} \|f\| \Rightarrow R$  beschränkt

Also:  $R$  ist stetig.

Gut gestellt hat:

Nach Aufgabe 31:  $(Rf)^\wedge(\theta, \rho) = (2\pi)^{1/2} \hat{f}(\rho\theta)$

$\Rightarrow R$  ist injektiv

Wes:  $Rf = g$  nicht immer lösbar:

$g(\theta, \rho) = g(-\theta, -\rho)$ , d.h.  $g$  ist gerade. (Nöhw. Bedingg. at 9)

darüberhinaus:

$$\int_{\mathbb{R}^1} s^m g(\theta, s) ds = \int_{\mathbb{R}^1} s^m Rf(\theta, s) ds$$

$$= \int_{\mathbb{R}^1} s^m \int_{\mathbb{R}^1} \underbrace{f(s\theta + t\theta^\perp)}_x dt ds, \quad s = x \cdot \theta$$

$$= \int_{\mathbb{R}^2} (x \cdot \theta)^m f(x) dx = q_m(\theta)$$

Polynom vom Grade m in  $\theta$

$\Rightarrow$  schlecht gestellt (wegen Bed. (i)?)

Hilfe: (3)  
 Ersetze  $G$  durch  $G_0 = \{g \in G : g \text{ gerade, } \int s^m g(\theta, s) ds \text{ ist Polynom vom Grade } m \text{ in } \theta\}$   
 (damit Bed. (i) erfüllt ist?)

$$Rf = g \quad (\Rightarrow) \quad \hat{g}(\theta, \sigma) = (\sigma\pi)^{m/2} \hat{f}(\sigma\theta)$$

$$\|f\|^2 = \int_{\mathbb{R}^2} |f(x)|^2 dx = \int_{\mathbb{R}^2} |\hat{f}(f)|^2 df = \quad (\text{Subst. } f = \sigma\theta)$$

$$= \int_{S^1} \int_0^\infty \sigma |\hat{f}(\sigma\theta)|^2 d\sigma = (\sigma\pi)^{-1} \int_{S^1} \int_0^\infty \sigma |\hat{g}(\theta, \sigma)|^2 d\sigma \quad (*)$$

$$\|g\|^2 = \int_{S^1} \int_{\mathbb{R}^1} |g(\theta, s)|^2 ds d\theta$$

$$\stackrel{\text{Parseval.}}{=} \int_{S^1} \int_{\mathbb{R}^1} |\hat{g}(\theta, \sigma)|^2 d\sigma d\theta$$

$$= 2 \int_{S^1} \int_0^\infty |\hat{g}(\theta, \sigma)|^2 d\sigma$$

$\int_{S^1} \left[ \int_0^\infty + \int_{-\infty}^0 \right]$   
 da  $\hat{g}$  gerade  $F_n = \int_0^\infty$

2. Schätzung  $\|f\| \leq C \|g\|$  nicht möglich! (wegen des streuenden  $\sigma$  in (\*))  
 also hängt  $f$  nicht stark von  $g$  ab

$\Rightarrow$  Hilfe nützt nichts  $\Rightarrow$  Problem definitiv schlecht gestellt.

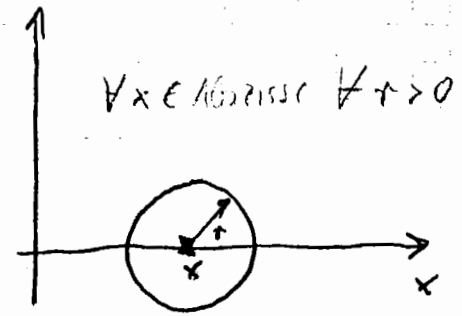
da (ii) verletzt!

3.)  $K(x,y) = e^{-i x \cdot y}$ , also  $(A f)(x) = \int e^{-i x \cdot y} f(y) dy$

wir wissen: falls  $F = G = L_2$  : gut gestellt (Fourier-Transform. bij. Isometrie!)  
( $\leadsto$  MRI)

4.)  $(A f)(x,r) = \int_{S^1} f(x+r\theta) d\theta$

(z.B. Radar, SAR)  
überfalls schlecht gestellt.



Zur Lösung schlecht gestellter Probleme:

Singulärwertzerlegung (SVD) von A:

$A: F \rightarrow G$  linear, stetig,  $F, G$  Hilbert  
 $A^*: G \rightarrow F$  linear, stetig, ist def. durch:  
 $(A f, g)_G = (f, A^* g)_F$

$A^*$  heißt Adjungierte zu  $A$ .

Beispiele: <sup>für Adjungierte!</sup> 1.)  $F = \mathbb{C}^m, G = \mathbb{C}^n$  :  $A^* = \bar{A}^T$

2.)  $F = L_2(Y), G = L_2(X)$   
 $(A f)(x) = \int_Y K(x,y) f(y) dy$

Adjungierte:  $(A f, g) = \int_X \int_Y K(x,y) f(y) dy \bar{g}(x) dx$   
 $= \int_Y f(y) \int_X K(x,y) \bar{g}(x) dx dy$   
 $= \int_Y f(y) \overline{\int_X \overline{K(x,y)} g(x) dx} dy \stackrel{!}{=} (f, A^* g)$

$$\Rightarrow A^*g(x) = \int_X \overline{k(x,y)} g(y) dy$$

3.)  $F = L_2(X)$ ,  $G = \mathbb{C}^m$ ,  $Af = \begin{pmatrix} (f, u_1) \\ \vdots \\ (f, u_m) \end{pmatrix}$  mit  $u_k \in L_2(X)$   
 $(k=1, \dots, m)$

Adjungierte:  $g \in \mathbb{C}^m = G$ ,  $f, u_k \in L_2(X)$  Skalarprodukt Produktform

$$\begin{aligned} (Af, g) &= \sum_{k=1}^m (Af)_k \bar{g}_k = \sum_{k=1}^m (f, u_k) \bar{g}_k = \sum_{k=1}^m (f, g_k u_k) \\ &= (f, \sum_{k=1}^m g_k u_k) \stackrel{!}{=} (f, A^*g) \end{aligned}$$

$$\Rightarrow A^*g = \sum_{k=1}^m g_k u_k \quad (u_k \in L_2(X))$$

4.) Radon-Transf.  $R : L_2(|x| < 1) \rightarrow L_2(S^1 \times [-1, +1])$

Adjungierte:

$$\int_{S^1} \int_{\mathbb{R}^2} Rf(\theta, \rho) g(\theta, \rho) d\rho d\theta = \iint \underbrace{f(\rho\theta + t\theta^\perp)}_{x \leftarrow \text{entspricht wieder}} dt g(\theta, \rho) d\rho d\theta$$

um die Drehung der Koordinaten

$$= \int_{\mathbb{R}^2} f(x) g(\theta, x \cdot \theta) dx$$

$$\begin{aligned} (Rf, g) &= \int_{S^1} \int_{\mathbb{R}^2} Rf(\theta, \rho) g(\theta, \rho) d\rho d\theta = \int_{S^1} \int_{\mathbb{R}^2} f(x) g(\theta, x \cdot \theta) dx d\theta \\ &= \int_{\mathbb{R}^2} f(x) \int_{S^1} g(\theta, x \cdot \theta) d\theta dx \stackrel{!}{=} (f, R^*g) \end{aligned}$$

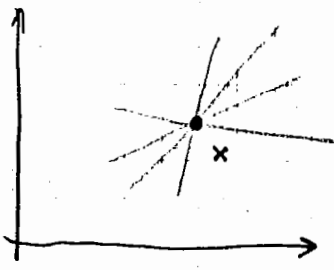
laufen alle durch  $x$ , da ja  $G = \{x \mid x \cdot \theta = s(\theta^\perp \cdot x \cdot \theta)\}?$

$$\Rightarrow \underline{(R^*g)(x)} = \int_{S^1} g(\theta, x \cdot \theta) d\theta$$

heißt "Rückprojektion"

$g(\theta, s)$ : Gerade  $x \cdot \theta = s$





Rückprojektions  
nimmt alle Geraden durch den  
Punkt x und mittelt diese.

SVD von A :

$A: F \rightarrow G$  ,  $f_k$  ON-System in  $F$   
 $g_k$  ON-System in  $G$

$\sigma_k > 0$  heißen Impulsstärken

$$\left\{ \begin{aligned} Af &= \sum_{k=1}^{\infty} \sigma_k (f, f_k) \cdot g_k \\ A^*g &= \sum_{k=1}^{\infty} \sigma_k (g, g_k) f_k \end{aligned} \right. \left. \begin{array}{l} \text{best. Impulsstärkenfolge} \\ \text{von } A \text{ (vgl. (MAT), S. 26)} \end{array} \right.$$

(10.01.91)

$$\begin{aligned} Af_k &= \sigma_k g_k, & A^*g_k &= \sigma_k f_k \\ \text{operiert in } F! & & & \\ A^*Af &= \sum_{k=1}^{\infty} \sigma_k (f, f_k) A^*g_k = \sum_{k=1}^{\infty} \sigma_k^2 (f, f_k) f_k \\ \text{operiert in } G! & & & \\ AA^*g &= \sum_{k=1}^{\infty} \sigma_k (g, g_k) Af_k = \sum_{k=1}^{\infty} \sigma_k^2 (g, g_k) g_k \end{aligned} \left. \begin{array}{l} \text{vgl. (MAT)} \\ \text{S. 26} \end{array} \right.$$

$\Rightarrow f_k$  Eigenelemente zum EW  $\sigma_k^2$  von  $A^*A$   
 $g_k$  Eigenelemente ...  $\sigma_k^2$  von  $AA^*$

Beispiele 1.)  $A: \mathbb{C}^n \rightarrow \mathbb{C}^m$  ,  $\text{Rang}(A) \text{ maximal} = r = \min(n, m)$   
 $(A^*A)^* = A^*A$  hat  $r$  positive EWe  $\sigma_1^2, \dots, \sigma_r^2$   
s.a.?

$$\begin{aligned} A^*A f_k &= \sigma_k^2 f_k, & \|f_k\| &= 1 \\ AA^* A f_k &= \sigma_k^2 A f_k, & g_k &= \frac{1}{\sigma_k} A f_k \end{aligned}$$

$$\|g_k\|^2 = (g_k, g_k) = \frac{1}{\sigma_k^2} (A f_k, A f_k) = \frac{1}{\sigma_k^2} (A^* A f_k, f_k) = \\ = (f_k, f_k) = 1.$$

da ja wir ONS, und kein VONS!

$$f = \sum_{k=1}^r (f, f_k) f_k + f^0, \quad A f^0 = 0 \quad (\text{da } \text{Rang}(A) = r?) \\ \text{und } A f_k \neq 0 \text{ vorausgesetzt, es gilt}$$

$$A f = \sum_k (f, f_k) A f_k = \sum_k (f, f_k) g_k$$

Matrizenweise:

$$F = (f_1, \dots, f_r), \quad \Sigma = \begin{pmatrix} \sigma_1 & & \\ & \ddots & \\ & & \sigma_r \end{pmatrix}, \quad G = (g_1, \dots, g_r)$$

$$A f = G \cdot \Sigma \cdot F^* f \quad \Rightarrow \quad A = G \cdot \Sigma \cdot F^*$$

$$F^* f = \begin{pmatrix} f_1^* \\ \vdots \\ f_r^* \end{pmatrix} f \quad \leftarrow f^* = f^T$$

Ebenso:  $A^* = F \cdot \Sigma \cdot G^*$

$G, F$  orthogonal,  $\Sigma$ : Diagonalmatrix mit positiven Elementen.

$${}^m_m A = {}^n_n I \cdot \begin{matrix} r \\ \Sigma \end{matrix} \cdot \begin{matrix} r \\ F^* \end{matrix} \cdot {}^m_m I$$

2.)  $A: F \rightarrow \mathbb{C}^m, \quad A f = \begin{pmatrix} (f, u_1) \\ \vdots \\ (f, u_m) \end{pmatrix}, \quad u_k \in F$

$$A^* h = \sum_{k=1}^m h_k u_k$$

$$A A^* : \mathbb{C}^m \rightarrow \mathbb{C}^m, \quad (A A^* h)_k = \sum_{k=1}^m h_k (u_k, u_k)$$

dh.:  $AA^* = (u_e, u_k)_{e,k=1,\dots,m}$

"Gram'sche Matrix", Normalmatrix  
positiv definit

$$AA^* g_k = \sigma_k^2 g_k, \quad k=1,\dots,m, \quad \|g_k\| = 1$$

$$f_k = \frac{1}{\sigma_k} A^* g_k = \frac{1}{\sigma_k} \sum_{e=1}^m g_{ke} u_e$$

↑  
(g<sub>k</sub>)<sub>e</sub>

Nun: Lösung von  $Af = g$  durch SVD:

Da stetige Inverse (wöhlcherwert) nicht existiert!

Def: Verallgemeinerte Lösung:  $f^+$

also das  $f^+$  mit kleinster Abweichung!

(i)  $\|Af^{*+} - g\| \leq \|Af - g\|, \forall f$

(ii) Sucht unter allen  $f^+$  mit (i) dasjenige kleinste Norm! (→ Endergebnis!)

$= f^+ = A^+ g, \quad A^+ \text{ "verallgemeinerte Inverse" ("Moore-Penrose")}$

Sucht also statt Log, die "Verallg. Log"! (Existiert Log nicht, falls gar nicht!)

Satz 1.1.:  $A$  besitzt eine SVD. Dann gilt:

(vgl. ENAT, S. 87)

$$A^+ g = \sum_{k=1}^{\infty} \frac{1}{\sigma_k} (g, g_k) f_k$$

(oder in Matrixschreibweise:  $A^+ = F \cdot \Sigma^{-1} \cdot G^*$ )

Beweis: Sei  $f \in F \Rightarrow f = \sum_{k=1}^{\infty} (f, f_k) f_k + f^0, \quad Af^0 = 0$ .

EW  $\neq 0$       EW 0

$$Af = \sum_{k=1}^{\infty} \sigma_k (f, f_k) g_k = \sum_{k=1}^{\infty} (f, A^* g_k) g_k =$$

$$= \sum_{k=1}^{\infty} (A^+ f, g_k) g_k$$

$$g = \sum_{k=1}^{\infty} (g, g_k) g_k + g^0, \quad A^+ g^0 = 0$$

$$\Rightarrow \|A^+ f - g\|^2 = \sum_k \underbrace{|(A^+ f, g_k) - (g, g_k)|^2}_{(f, f_k) \sigma_k} + \|g^0\|^2$$

ist minimal, falls  $(f, f_k) = \frac{(g, g_k)}{\sigma_k}$

also: (i)  $\Leftrightarrow (f, f_k) = \frac{(g, g_k)}{\sigma_k}$ . Suche nun unter dieser NB das  $f$  mit kleinstem Norm  $\Rightarrow$  (ii)

$$\|f\|^2 = \sum_{k=1}^{\infty} |(f, f_k)|^2 + \|f^0\|^2$$

ist minimal  $\Rightarrow f^0 = 0$

d.h. wenn  $f^+ = \sum_{k=1}^{\infty} \frac{(g, g_k)}{\sigma_k} f_k$

$$= A^+ g \quad \square$$

Also: Damit ist ein Ersatz für die (nicht vorhandene) Inverse gefunden

Stem:  $Af = g$ ,  $g_\delta$  bekannt mit  $\|g - g_\delta\| \leq \delta$  aber: stetig?

$$\Rightarrow \|A^+ g_\delta - A^+ g\|^2 = \sum_k \left| \frac{(g - g_\delta, g_k)}{\sigma_k} \right|^2 \leq \sum_{k=1}^{\infty} \frac{\delta^{k,2}}{\sigma_k^2}$$

iallg. normprop! ( $\infty$ )

für schlecht gestellte Probleme

Deshalb:

( $\sigma_k \rightarrow 0$  für  $k \rightarrow \infty$ )

(d.h.  $\sigma_k$  werden sehr schnell kleiner, je schlechter das Problem gestellt!?)

Abgeschnittene SVD:  $A^+_\omega g = \sum_{\substack{k \\ \sigma_k \geq \omega}} \frac{(g, g_k)}{\sigma_k} f_k$

d.h.: Man schnuppelt in der SWZerlegung-Darstellung von  $A^+$  die gleiche mit den kleineren SWen einfach ab!

Dann gilt:

124

Satz 1.2.: Sei  $\|g - g_\delta\| \leq \delta$ . Dann gilt:

$$\|A_\omega^+ g_\delta - A^+ g\| \leq \left( \sum_{\sigma_k < \omega} (f, f_k)^2 \right)^{1/2} + \delta \left( \sum_{\sigma_k \geq \omega} \frac{1}{\sigma_k^2} \right)^{1/2},$$

$$(A f = g)$$

Beweis:  $\|A^+ g - A_\omega^+ g_\delta\| \leq \|(A^+ - A_\omega^+) g\| + \|A_\omega^+ (g - g_\delta)\|$

$$\leq \left\| \sum_{\sigma_k < \omega} \frac{(g, f_k)}{\sigma_k} f_k \right\| + \left\| \sum_{\sigma_k \geq \omega} \frac{(g - g_\delta, f_k)}{\sigma_k} f_k \right\|$$

$$= \underbrace{\left\| \sum_{\sigma_k < \omega} (f, f_k) f_k \right\|}_{\left( \sum_{\sigma_k < \omega} |(f, f_k)|^2 \right)^{1/2}} + \left( \sum_{\sigma_k \geq \omega} \frac{\delta^2}{\sigma_k^2} \right)^{1/2}$$

$$\left( \sum_{\sigma_k < \omega} |(f, f_k)|^2 \right)^{1/2}$$

Bemerkungen:

1.)  $\left( \sum_{\sigma_k < \omega} |(f, f_k)|^2 \right)^{1/2}$  gibt an, wie genau  $f$  durch  $f_k$  mit  $\sigma_k \geq \omega$  dargestellt werden kann.

2.)  $\delta \left( \sum_{\sigma_k \geq \omega} \frac{1}{\sigma_k^2} \right)^{1/2} \sim \frac{\delta}{\omega}$  ist ein Verstärkungsfaktor für Datenfehler.

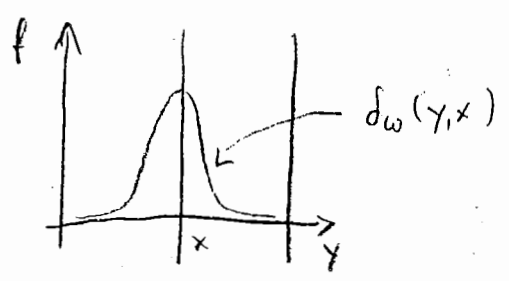
(d.h.:  $\sigma_k$  klein  $\Rightarrow$  große Fehlerverstärkung  $\Rightarrow$  Störgröße (bzw.  $\omega$  klein))

3.)  $F = L_2(X)$ :

$$\begin{aligned} A_\omega^+ g &= \sum_{\sigma_k \geq \omega} (f, f_k) f_k = \sum_{\sigma_k \geq \omega} \left( f, \frac{1}{\sigma_k} A^+ g_k \right) f_k = \\ &= \sum_{\sigma_k \geq \omega} \frac{(A f, f_k)}{\sigma_k} f_k = \sum_{\sigma_k \geq \omega} \int_X f \bar{f}_k dx f_k \end{aligned}$$

$$\begin{aligned}
 \underline{(A_\omega^+ g)(y)} &= \sum_{\sigma_k \geq \omega} \int_x f \bar{f}_k dx f_k(y) = \\
 &= \int_x f(x) \underbrace{\sum_{\sigma_k \geq \omega} f_k(y) \bar{f}_k(x)}_{=: \delta_\omega(y,x)} dx = \int_x f(x) \delta_\omega(y,x) dx
 \end{aligned}$$

$\delta_\omega$  : "Point spread function"  
 $= A_\omega^+ g$ , falls  $f = \delta$



Beispiele: 1.)  $\int_{-3}^3 f(x) e^{-(x-y_j)^2} dy = g(y_j)$ ,  $j=1, \dots, m$

$A : L_2(-3, +3) \rightarrow \mathbb{C}^m$

$\cong$  Bsp. 2 mit  $u_j(x) = e^{-(x-y_j)^2}$

(Num. B. l. d. v. 13.07.91)

$$Af = \sum_k \sigma_k (f, f_k) f_k$$

$$Af = g, \quad A_w^+ g = \sum_{\sigma_k > \omega} \frac{(g, f_k)}{\sigma_k} f_k$$

Beispiel:  $Af = \begin{pmatrix} (f, u_1) \\ \vdots \\ (f, u_m) \end{pmatrix}, \quad A: F \rightarrow \mathbb{C}^m, \quad F = L_2(X)$

Bsp. a.)  $\int_{-3}^3 e^{-(x-y)^2} f(y) dy = g(x), \quad y = y_j, \quad j = 1, \dots, m$

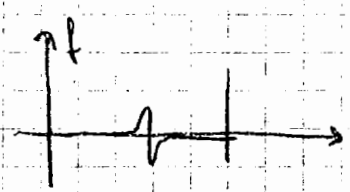
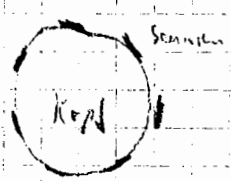
$$u_j(x) = e^{-(x-y_j)^2}, \quad X = (-3, 3)$$

$(u_j, u_k)$  Gram'sche Matrix, Normalmatrix

$$A_w^+ g = \int_{-3}^3 f(y) \underbrace{\delta_w(x-y)}_{\text{PSF}} dy$$

b.)  $\int_0^1 \frac{f(x)}{|x-y|} dx = g(y), \quad y = y_j, \quad j = 1, \dots, m, \quad m = 10$   
 $y_j > 1.$

z.B. Brougnaché



Merkmale Brougnaché verfeinert (algebraische SVD)

(Wichtig!)

(Singulärwerte klein: schlechtes, groß: gutes)

große p.w.f.

schlechte Punkt spread f

Praktische Lösung: Tychonoff - Phillips - Methode (vgl. EMAT S. 88)

$$f_{\omega} : \text{Min}_f \{ \|Af - g\|^2 + \omega^2 \|f\|^2 \} \quad \int \quad (\text{Anwendung: S. 152?})$$

wie bei unvollst. Inverse Idee!

Satz 1.3.: A besitzt eine SVD. Dann gilt:

$$f_{\omega} = \sum_k \frac{1}{\sigma_k} \frac{1}{1 + \frac{\omega^2}{\sigma_k^2}} (g, g_k) f_k$$

Tychonoff - Phillips - Methode

(vgl. Satz 1.1!)

identifiziert zur SVD mit dem Faktor  $\frac{1}{1 + \frac{\omega^2}{\sigma_k^2}}$ !

Bemerkung:  $\sigma_k \gg \omega : \frac{1}{1 + \frac{\omega^2}{\sigma_k^2}} \approx 1$

$$\sigma_k \ll \omega : \frac{1}{1 + \frac{\omega^2}{\sigma_k^2}} \ll 1$$

d.h.: Effekt ähnlich wie bei abgeschn. SVD

(große  $\sigma$ -Werte bleiben stehen, kleine bekommen Faktor)

Beweis des Satzes:  $Af = \sum_k \sigma_k (f, f_k) g_k$

$$f = \sum_k (f, f_k) f_k + \underbrace{f^0}_{\perp f_k}, \quad Af^0 = 0 \quad (\text{bzw. } f^0 \perp f_k)$$

da nicht VONS, sondern nur ONS  
unvollständig! ( $\rightarrow$  unvollst. Inverse)

$$g = \sum_k (g, g_k) g_k + g^0, \quad A^* g^0 = 0, \quad g^0 \perp g_k$$

$$\|Af - g\|^2 + \omega^2 \|f\|^2 = \left\| \sum_k (\sigma_k (f, f_k) - (g, g_k)) g_k - g^0 \right\|^2$$

$$+ \omega^2 \left\| \sum_k (f, f_k) f_k + f^0 \right\|^2$$

$$= \sum_k |\sigma_k (f, f_k) - (g, g_k)|^2 + \|g^0\|^2 + \omega^2 \left( \sum_k |(f, f_k)|^2 + \|f^0\|^2 \right)$$

Nun: Lemma aus II: (Wiene F. l. k.) (II.5):



$F(w) = |z - w|^2 + \omega^2 |w|^2$ ,  $w \in \mathbb{C}$ ,  $z \in \mathbb{C}$   
 ist minimal für  $w = \frac{1}{1 + \omega^2} z$  (vgl. S. 108 Lemma!)

Sei hier:  $w = (f, f_k)$ . Wende an auf:  $(\forall k)$

$$|\sigma_k w - (g, g_k)|^2 + \omega^2 |w|^2$$

$$|w - \underbrace{\frac{(g, g_k)}{\sigma_k}}_z|^2 + \frac{\omega^2}{\sigma_k^2} |w|^2 \stackrel{\text{Minimalwert}}{\Rightarrow} w = \frac{1}{1 + \frac{\omega^2}{\sigma_k^2}} \cdot z \Rightarrow$$

$$\left. \begin{aligned} (f, f_k) &= \frac{1}{\sigma_k} \frac{1}{1 + \frac{\omega^2}{\sigma_k^2}} (g, g_k) \\ f^0 &= 0 \end{aligned} \right\} \text{ ist Lösung der Minimierungsaufgabe}$$

$$f_w = \sum_k (f, f_k) f_k = \sum_k \frac{1}{\sigma_k} \frac{1}{1 + \frac{\omega^2}{\sigma_k^2}} (g, g_k) f_k \quad \square$$

Satz 1.4.:  $A$  besitzt eine SVD. Dann ist  $f_w$  Lösung von

$$(A^*A + \omega^2 I) f_w = A^*g$$

("regularisierte Normalgleichungen")

(vgl. Numerik I: Normalgleichungen!)

$\Rightarrow f_w = (A^*A + \omega^2 I)^{-1} A^*g$   
 wenn man SVD nicht kennt:  
Lösungsweglichkeit!  
 GLS-System zu lösen!

Beweis:  $(A^*A + \omega^2 I) f_k = (\sigma_k^2 + \omega^2) f_k$

$\rightarrow$  direkte Methode!  
 "direkte Methode"  
 vgl. S. 150!

Schreibe  $f_w$  nach Satz 1.3.:

$$\begin{aligned} (A^*A + \omega^2 I) f_w &= (A^*A + \omega^2 I) \left\{ \sum_k \frac{1}{\sigma_k} \frac{1}{1 + \frac{\omega^2}{\sigma_k^2}} (g, g_k) f_k \right\} \\ &= \sum_k \frac{1}{\sigma_k} \frac{1}{1 + \frac{\omega^2}{\sigma_k^2}} (g, g_k) (\sigma_k^2 + \omega^2) f_k = \\ &= \sum_k \frac{1}{\sigma_k} \frac{\sigma_k^2}{\omega^2 + \sigma_k^2} (g, g_k) f_k = \end{aligned}$$

$$= \sum_k \sigma_k (g, g_k) f_k = A^* g \quad \square$$

(d.h.: Der Tychonov-Phillips nur nach lin. fgs. system zu lösen  
aber: Normal fgs. sind aufzustellen!)

Satz 1.5.: Sei  $A: L_2(X) \rightarrow \mathbb{C}^m$ ,  $Af = \begin{pmatrix} (f, u_1) \\ \vdots \\ (f, u_m) \end{pmatrix}$  ← vgl. Bsp. 3), S. 124!

$$\Rightarrow f_\omega(x) = \int_X f(x) \underbrace{\delta_\omega(x-y)} dx$$

neue PSF? (nicht abgesenkt SVD?)  
← eben die des Tychonov-Phillips-Verfahrs

Beweis: (hier nicht) für dieses Bsp!

(17.01.91) Eine weitere Methode zur Regularisierung ist das Iterationsverfahren. Der Regularisierungsparameter ist hier die Anzahl der Iterationsschritte, die zu optimieren ist.  
Iterative Lösung von  $Af = g$

Landweber:  $f^{t+1} = f^t - \gamma A^*(Af^t - g)$

$A$  besitzt eine SVD:  $Af = \sum_k \sigma_k (f, f_k) g_k$ ,

$$A^*g = \sum_k \sigma_k (g, g_k) f_k$$

Ansatz  
 $f^0 = 0, f^t = \sum_k c_k^t f_k$   
wobei zu bestimmen! (s.u.)

$$\Rightarrow Af^t = \sum_k \sigma_k c_k^t g_k$$

$$A^*(Af^t - g) = \sum_k (\sigma_k^2 c_k^t f_k - \sigma_k (g, g_k) f_k) =$$

$$= \sum_k (\sigma_k^2 c_k^t - \sigma_k (g, g_k)) f_k$$

$$f^{t+1} = \sum_k (c_k^t - \gamma (\sigma_k^2 c_k^t - \sigma_k (g, g_k))) f_k$$

$$= \sum_k c_k^{t+1} f_k$$

$$\Rightarrow c_k^{t+1} = c_k^t (1 - \gamma \sigma_k^2) + \sigma_k \gamma (g, g_k) \quad , \quad c_k^0 = 0$$

$$\Rightarrow \underline{c_k^t} = \underbrace{(1 + \gamma + \dots + \gamma^{t-1})}_{\frac{1-\gamma^t}{1-\gamma}} \sigma_k \gamma (g, g_k) \quad , \quad \gamma = 1 - \gamma \sigma_k^2$$

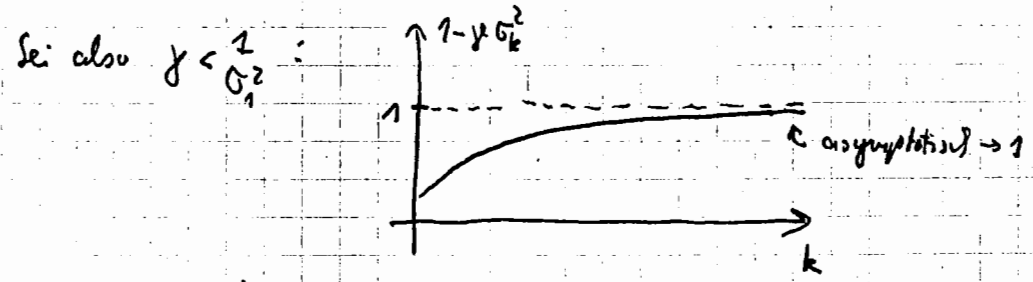
$$= \frac{(1 - (1 - \gamma \sigma_k^2)^t)}{\gamma \sigma_k^2} \frac{(g, g_k)}{\sigma_k}$$

Satz 7.5:  $\Rightarrow$   $f^t = \sum_k c_k^t f_k = \sum_k (1 - (1 - \gamma \sigma_k^2)^t) \frac{(g, g_k)}{\sigma_k} f_k$

*ASVD  $\Rightarrow$  Index?  $\gamma$   $\sigma_k^2$   $\frac{(g, g_k)}{\sigma_k}$   $f_k$   $\leftarrow$  neues  $F_k$ !*

Folgerung: Falls  $|1 - \gamma \sigma_k^2| < 1 \quad \forall k$ , dann folgt:  $f^t \rightarrow A^+ g$ .

( $\Rightarrow \gamma < \frac{2}{\sigma_1^2}, \sigma_1 \geq \sigma_2 \geq \dots$ )



$\Rightarrow (1 - \gamma \sigma_k^2)^t \rightarrow 0$  „schnell“ für kleine  $k$   
 „langsam“ für große  $k$  (d.h. für kleine Sing.werte!)

$\Rightarrow$  Nun darf nicht zu lang iterieren! ( $\rightarrow$  rechtzeitig abbrechen!)

$\uparrow$   
 hier steht der Regularisierungsparameter!  
 da klein die hängt in der kleinen Stufen dann kommen!

Nun: Lösung von  $Af = g$  bezüglich Ungleichungen (z.B.  $0 \leq f$ ):

dann ist zu tun:  $\min_{f \geq 0} \|Af - g\|$  (laut Literatur!)

Aber:  
Beispiel:  $A: \mathbb{R}^2 \rightarrow \mathbb{R}^2, \text{rang}(A) = 2$ .

Exakte Lösung von  $Af = g$ :  $f_{\text{ex}} \geq 0$  (komponentenweise)

$f_H$ :  $\min_{f \in \mathbb{R}^2} \|Af - g\|, \|g - g_0\| = \delta$

$$f_+ : \text{M.M. } \|Af - g\|_{l_2}$$

Vermutung:  $f_+$  ist wegen der Problemstellung das bessere Ergebnis  
fast sicher!

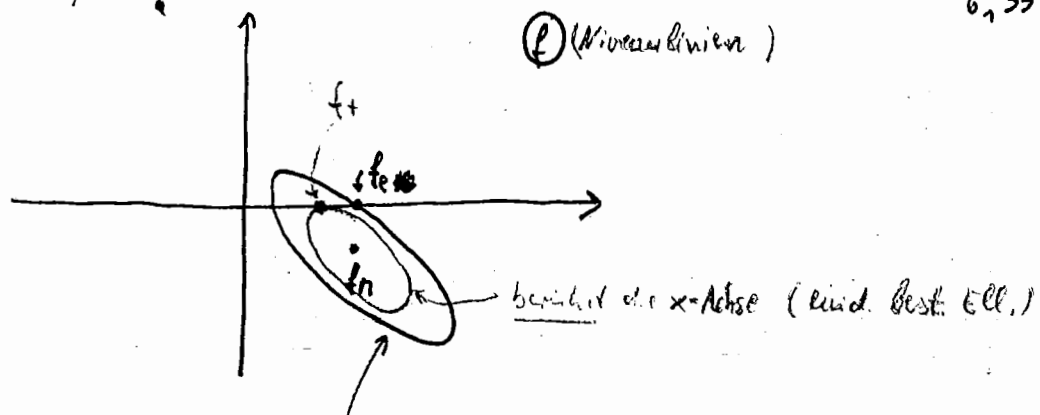
$$\|Af - g\| = \delta \Leftrightarrow \text{(Ellipse, Mittelpunkt } f_M, \text{ Halbachsen der Länge } \frac{1}{\sigma_1}, \frac{1}{\sigma_2} \text{ in}$$

$$R^* R f_i = \sigma_i^2 f_i, \quad i=1,2 \quad \left. \begin{array}{l} \text{Richtung } f_1, f_2 \end{array} \right\}$$

Matrix der Ellipse

$$\sigma_1 \gg \sigma_2$$

(Niveaulinien)



$\sigma_1 \gg \sigma_2$ , d.h. sehr unterschiedliche Halbachsen  
(unterschiedlich gezeichnet?)

Ergebnisbeispiel:  $f_+$  ist schlechter als  $f_M$ !

§2 Die Radon-Transformation in  $\mathbb{R}^n$

$n = 2, 3 \quad R: \mathcal{P}(\mathbb{R}^n) \rightarrow \mathcal{P}(\mathbb{Z}), \quad \mathbb{Z} = S^{n-1} \times \mathbb{R}$

Def:  $(Rf)(\theta, s) = \int_{x \cdot \theta = s} f(x) dx, \quad \theta \in S^{n-1} = \{x \in \mathbb{R}^n, |x|=1\}$

Satz 2.1. (Projektionssatz): Sei  $f \in \mathcal{P}(\mathbb{R}^n)$

$\hat{f}(\theta, s) = (2\pi)^{(n-1)/2} (Rf)^\wedge(\theta, s) = (2\pi)^{(n-1)/2} (R_\theta f)^\wedge(s) !$   
 n-dim FT 1-dim FT bzgl. s, d.h. bzgl. 2. Arg.

Beweis: wie in Übungen

Satz 2.2.:  $f, g \in \mathcal{P}(\mathbb{R}^n)$ . Dann gilt:

~~R(Rf \* Rg) = Rf \* Rg~~  
n-dim Faltung 1-dim Faltung bzgl. s

Beweis:  $R(f * g)(\theta, s) =$

$Rf(\theta, s) * Rg(\theta, s)$   
 Faltung in  $\mathbb{R}^n$  bzgl. 2. Var.

altern. Def:  $(Rf)(\theta, s) = \int_{y \in \theta^\perp} f(s\theta + y) dy, \quad \theta^\perp = \{x \in \mathbb{R}^n: x \cdot \theta = 0\}$

$\Rightarrow$  hier:  $= \int_{\theta^\perp} (f * g)(s\theta + y) dy = \int_{\theta^\perp} \int_{\mathbb{R}^n} f(s\theta + y - z) g(z) dz dy$

setze  $z = t\theta + y'$  mit  $y' \in \theta^\perp$

$= \int_{\theta^\perp} \int_{\theta^\perp} \int_{\mathbb{R}^1} f((s-t)\theta + y - y') g(t\theta + y') dt dy' dy$

$= \int_{\theta^\perp} \int_{\mathbb{R}^1} Rf(\theta, s-t) g(t\theta + y') dy' dt = (\text{s.w.})$

$$= \int_{\mathbb{R}^1} (Rf)(\theta, s-t) Rg(\theta, t) dt = ((Rf) * (Rg))(\theta, s)$$

$$(R^*g)(x) = \int_{S^{n-1}} g(\theta, x \cdot \theta) d\theta$$

≡ Hyperebene

≡ Mittelwert über alle Hyperebenen durch den Punkt x  
(vgl. S. 83 in F. Voigt, 3. od. S. 117)

$$g \in \mathcal{P}(\mathbb{Z}) \quad , \quad \mathbb{Z} = \int_{S^{n-1}} \times \mathbb{R}^1 = \text{Einheitszylinder in } \mathbb{R}^n$$

$$\mathcal{P}(\mathbb{Z}) := \{ g \in \mathcal{C}^\infty(\mathbb{Z}) \text{ , } 1^\alpha D^\beta g \text{ beschränkt } \forall \alpha, \beta \}$$

Maßsatz:  
"also, "erst Kündigung, dann Faltung" ist das Gleiche, wie "erst Faltung, dann Kündigung"

Satz 2.3.:  $f \in \mathcal{P}(\mathbb{R}^n)$  ,  $g \in \mathcal{P}(\mathbb{Z})$  . Dann:

$$\underline{\underline{!(R^*g)*f = R^*(g*Rf)!}}$$

Wichtig!

(→ Anwendung später: gefilterte Radonprojektion, vgl. S. 3!)

Beweis:  $(R^*g)*f(x) = \int_{\mathbb{R}^n} R^*g(x-y) f(y) dy =$

$$= \int_{\mathbb{R}^n} \int_{S^{n-1}} g(\theta, (x-y) \cdot \theta) d\theta f(y) dy$$

$$= \int_{S^{n-1}} \int_{\mathbb{R}^n} g(\theta, (x-y) \cdot \theta) f(y) dy d\theta$$

setze  $y = s\theta + y'$  ,  $y' \in \theta^\perp \Rightarrow y \cdot \theta = s$

$$= \int_{S^{n-1}} \int_{\theta^\perp} \int_{\mathbb{R}^1} g(\theta, x \cdot \theta - s) f(s\theta + y') ds dy' d\theta$$

$$= \int_{S^{n-1}} \int_{\mathbb{R}^1} g(\theta, x \cdot \theta - s) Rf(\theta, s) ds d\theta$$

$$= \int_{S^{n-1}} (g * Rf)(\theta, x \cdot \theta) d\theta = R^*(g * Rf)$$

Anwendung: Auf die Lösung von  $Rf = g$  :

$$R^*(\underbrace{h * Rf}_{\text{Filtern mit } h}) = R^*h * f$$

$\nearrow$  Rückproj.  
 $\nearrow$  wuhle  $h$  so, dass  $R^*h \sim \delta$   
 $\uparrow$   
 $\delta$ -Fu.

("gefiltete Ruckprojektion") (vgl. § 3?)  
 (S. 137)

(21.0191)

Hilbert - Transformation:  $H: \mathcal{S}(\mathbb{R}^1) \rightarrow \mathcal{S}(\mathbb{R}^1) \text{?}$

$f \in \mathcal{S}(\mathbb{R}^1)$ ,  $(Hf)(x) := \frac{1}{\pi} \int_{\mathbb{R}^1} \frac{f(y)}{x-y} dy$   
 Alles Adirer!  
 (= (siehe Aufgabe 1 ? §: Hauptwert))

Satz 2.4.:  $(Hf)^\wedge(\xi) = -i \operatorname{sgn}(\xi) \hat{f}(\xi) \leftarrow \text{in } \mathbb{R}^1 \text{!}$

Beweis: Sei  $Tf = \int \frac{f(x)}{x} dx$  wie in Aufgabe 1.

(vgl. EVAT, Anhang!) Dann ist  $T \in \mathcal{S}'$ .

$$\frac{1}{\pi} T * f = Hf \quad (\text{nach Def. der Faltung})$$

Nach Satz 2.3.:  $(T * f)^\wedge = (2\pi)^{1/2} \hat{T} \hat{f}$

Nach Aufgabe 1:  $\hat{T}(\xi) = -i \left(\frac{\pi}{2}\right)^{1/2} \operatorname{sgn}(\xi)$

$$\Rightarrow (Hf)^\wedge(\xi) = \frac{1}{\pi} (2\pi)^{1/2} \hat{T} \hat{f}(\xi)$$

$$= \left(\frac{2}{\pi}\right)^{1/2} (-i) \left(\frac{\pi}{2}\right)^{1/2} \operatorname{sgn}(\xi) \hat{f}(\xi) \quad (\checkmark) \quad \square$$

Folgerung:  $(H^k f)^\wedge(\xi) = (-i \operatorname{sgn}(\xi))^k \hat{f}(\xi)$

$\Rightarrow$   $k$  gerade:  $H^k = (-i)^k \operatorname{Id} = (1 \cdot (-1)^2)^{k/2} \operatorname{Id} = (-1)^{k/2} \operatorname{Id}$

$k$  ungerade:  $[(-i) \operatorname{sgn}(\xi)]^k = (-i)^{k-1} (-i) \operatorname{sgn}(\xi)$

$$= (-1)^{\frac{k-1}{2}} (-i) \operatorname{sgn}(\xi)$$

$\Rightarrow H^k = (-1)^{\frac{k-1}{2}} H$

Satz 2.5.: (Radon'sche Inversionsformel, 1917):

$f \in \mathcal{P}(\mathbb{R}^n)$ ,  $g = Rf$ . Dann gilt:

$$f = \begin{cases} \frac{1}{2} (\pi)^{1-n} (-1)^{\frac{n-2}{2}} R^* H g^{(n-1)} & \text{für } n \text{ gerade} \\ \frac{1}{2} (\pi)^{1-n} (-1)^{\frac{n-1}{2}} R^* g^{(n-1)} & \text{für } n \text{ ungerade} \end{cases}$$

mit  $g = g(\theta, s)$ ,  $g^{(n-1)} = \frac{d^{n-1}}{ds^{n-1}} g(\theta, s)$ ,  
bsp. E! über!  $Hg^{(n-1)}(\theta, t) = \frac{1}{\pi} \int \frac{g^{(n-1)}(\theta, s)}{t-s} ds$  also Ableitung Signus

Beweis:  $f(x) = (\pi)^{-\frac{n}{2}} \int_{\mathbb{R}^n} e^{ix \cdot \xi} \hat{f}(\xi) d\xi$

(Polarkoord.:  $\xi = \sigma \theta$ ,  $\sigma > 0$ ,  $\theta \in S^{n-1}$ )

$$= (\pi)^{-\frac{n}{2}} \int_0^\infty \int_{S^{n-1}} \sigma^{n-1} e^{i\sigma x \cdot \theta} \hat{f}(\sigma \theta) d\theta d\sigma$$

( $\hat{f}(\sigma \theta) = (\pi)^{-\frac{n-1}{2}} (Rf)^\wedge(\theta, \sigma)$ )

$$= (\pi)^{-n+\frac{1}{2}} \int_0^\infty \int_{S^{n-1}} \sigma^{n-1} e^{i\sigma x \cdot \theta} \hat{g}(\theta, \sigma) d\theta d\sigma$$

$$\stackrel{(\text{??})}{=} \frac{1}{2} (\pi)^{-n+\frac{1}{2}} \int_{-\infty}^{+\infty} \int_{S^{n-1}} |\sigma|^{n-1} e^{i\sigma x \cdot \theta} \hat{g}(\theta, \sigma) d\theta d\sigma$$

(aus Symmetriegründen!)

$$= \frac{1}{2} (\pi)^{-n+\frac{1}{2}} \int_{S^{n-1}} \int_{-\infty}^{+\infty} |\sigma|^{n-1} e^{i\sigma x \cdot \theta} \hat{g}(\theta, \sigma) d\sigma d\theta$$

$$=: \underline{(I^{1-n} g)(x \cdot \theta)}$$

wobei  $I^{1-n}$  "Bessel-Potential" genannt wird

$$(I^{1-n} g)(s) = (\pi)^{-\frac{n}{2}} \int_{-\infty}^{+\infty} |\sigma|^{n-1} e^{i\sigma s} \hat{g}(\theta, \sigma) d\sigma \stackrel{(\text{b.w.})}{\Rightarrow} \text{b.w.}$$



$$\begin{aligned} \Rightarrow (I^{1-n} g)^\wedge(\sigma) &= (2\pi)^{n/2} |\sigma|^{n-1} \hat{g}(\theta, \sigma) \\ &= (2\pi)^{n/2} (\operatorname{sgn} \sigma)^{n-1} \sigma^{n-1} \hat{g}(\theta, \sigma) \end{aligned}$$

Nach I.1. Beispiel a.) :  $\sigma^{n-1} \hat{g}(\theta, \sigma) = i^{1-n} (g^{(n-1)})^\wedge(\theta, \sigma)$

$$\Rightarrow (I^{1-n} g)^\wedge(\sigma) = (2\pi)^{n/2} \underbrace{i^{1-n} (\operatorname{sgn} \sigma)^{n-1}}_{(-i \operatorname{sgn} \sigma)^{n-1}} (g^{(n-1)})^\wedge(\theta, \sigma)$$

$$= (2\pi)^{n/2} (H^{n-1} g^{(n-1)})^\wedge(\theta, \sigma)$$

$$\Rightarrow \mathcal{F} I^{1-n} g = (2\pi)^{n/2} H^{n-1} g^{(n-1)}$$

In obige Gleichung eingesetzt :

$$\Rightarrow f(x) = \frac{1}{2} (2\pi)^{-n+1} \int_{S^{n-1}} H^{n-1} g^{(n-1)}(\theta, x \cdot \theta) d\theta$$

$$= \frac{1}{2} (2\pi)^{-n+1} R^* (H^{n-1} g^{(n-1)})(x)$$

Mit der Folgerung aus Satz 2.4. zusammen folgt das Bes.  $\square$

Bemerkungen:  $n$  ungerade :

$$f(x) = \frac{1}{2} (2\pi)^{-n+1} (-1)^{\frac{n-1}{2}} R^* g^{(n-1)}(x)$$

Ableitung folgt, ergibt sich nur lokale Umkehrung!

(n=3) : Rückproj :



4. Mittelwert

bei Mann Umgeb. von x

Integral über  $S^2$ !

$R^*$  ist berechenbar, wenn  $g$  für alle Hyperebenen durch  $U(x)$  bekannt ist für eine beliebige Umgebung  $U(x)$  um  $x$ . (ganz Umgeb., da ja Differentiation!)

Man sagt: "Die Inversionsformel ist lokal".

n gerade:  $f(x) = \frac{1}{2} (\sqrt{\pi})^{-n+1} (-1)^{\frac{n-2}{2}} R^* H g^{(n-1)}(x)$

$R^* H g^{(n-1)}(x)$  verlangt:  $H g^{(n-1)}(\theta, x \cdot \theta)$

$H g(\theta, s) = \frac{1}{\pi} \int \frac{g(\theta, t)}{s-t} dt$

↳ Integration über ganz  $\mathbb{R}$ ! ( $\in \mathbb{R}$ !)



Hier reicht lokale Kenntnis von  $g$  nicht aus da ja  $\int$  über ganz  $\mathbb{R}$ !

Man sagt: Inversionsformel nicht lokal!

Also z.B. im 3-dim sehr viel einfacher als im 2-dim!

(→ z.B. mediz. Anwendungen...)



§3 Die gefilterte Rückprojektion. (vgl. {Nat, S102}!)

Problem:  $f, g = Rf$   
 $g$  bekannt,  $f$  gesucht.

Radon'sche Inversionsformel mathem. kompliziert ⇒ nicht sehr gut

1. Möglichkeit: Benutze Radon'sche Inversionsformel <sup>↗ also</sup>  
 (Satz 2.5, 10.1)

2. Möglichkeit:  $W_b * f = R^*(w_b * Rf)$  (falls  $W_b = R^* w_b$ )  
 (besser RAD-LAS Verf.!)

Wenn dann steht links  $\delta * f = f$  (→ Satz 2.3)!

Ziel: wähle  $w_b$  so, dass  $W_b \approx \delta$ -Distr. ;  $W_b(x) = W_b(|x|)$  d.h. radiale Fm.  
 $\Rightarrow w_b(\theta, s) = w_b(s)$

Kauf Aufg. 43:  $(R^* w_b)^\wedge(\xi) = 2(\sqrt{\pi})^{\frac{n-1}{2}} |\xi|^{1-n} \widehat{w_b}(|\xi|) = w_b(-s)$   
 $= \widehat{w_b}(|\xi|)$

d.h.  $W_b$  liefert  $f$  aus  $w_b$  zu bestimmen:

a.)  $\hat{W}_b(|\xi|) = (2\pi)^{-u}$ , d.h.  $W_b = \delta$ .

$\Rightarrow \hat{w}_b(\xi) = \frac{1}{2} (2\pi)^{\frac{(1-u)}{2}} \xi^{u-1}$

$w_b(s) = (2\pi)^{-\frac{1}{2}} \frac{1}{2} (2\pi)^{\frac{1-u}{2}} \int e^{is\xi} \xi^{u-1} d\xi$

↑  
wird gebraucht zu  
gefilterten Bildproj.!

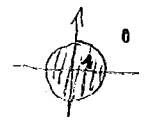
Dieses Integral exist. garantiert!

klar, da  $w_b$  Distribution und keine Funktion!

⇒ Man verzichtet auf exakte  $\delta$ -Dist.!

b.)  $\hat{W}_b(|\xi|) = (2\pi)^{-u/2} \phi\left(\frac{|\xi|}{b}\right)$ ,  $\phi$  Tiefpass-Filter

also:  $\phi(\xi) \sim \begin{cases} 1, & |\xi| < 1 \\ 0, & |\xi| > 1 \end{cases}$



d.h. für Negative Argumente = 1  
sonst = 0

z.B. idealer Tiefpass:  $\phi(\xi) = \begin{cases} 1, & |\xi| < 1 \\ 0, & \text{sonst} \end{cases}$

(allerdings wird sich typen: Sprung zu abrupt!)

$\Rightarrow W_b(|x|) = (2\pi)^{-u/2} b^u \frac{J_{u/2}(b|x|)}{(b|x|)^{u/2}}$  ← Bessel fun.  
Statt  $\delta$ -Fu! → (vgl. Sinc-Fu.!)  
vgl. S. 32!

ist  $\approx \delta$ -Fu!

$\Rightarrow \hat{w}_b(\xi) = \frac{1}{2} (2\pi)^{u/2-u} |\xi|^{u-1} \hat{\phi}\left(\frac{|\xi|}{b}\right)$

$w_b(s) = \frac{1}{2} (2\pi)^{-u} \int_{-b}^{+b} e^{is\xi} |\xi|^{u-1} \phi\left(\frac{|\xi|}{b}\right) d\xi$

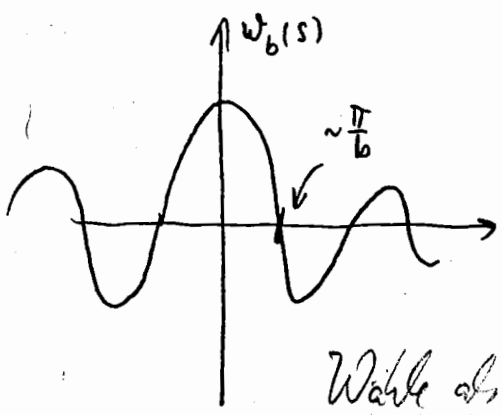
Deshalb würde ja { nach Def.  
gerade der Tiefpass  $\phi$   
eingesetzt! } wenn  $\phi$ !

dieses Integral macht Sinn!

⇒ Idealer Tiefpass:  $w_b(s) = \frac{b^2}{4\pi^2} u(b|s|)$  } Rau-Lak-Filt.!

mit  $u(s) = \begin{cases} \frac{\cos s - 1}{s^2} + \frac{2u s}{s} & , s \neq 0 \\ \frac{1}{2} & , s = 0 \end{cases}$

"RAM-LAK-Filt." →



gefunden wir: (2 Ticks:)  
 Rauschbanden -  
 Lachspurayonen  
 (kurz: Raus-Lak)

Wählt also als Filter  $w_b = \text{Raus-Lak-Filter}$   

$$= \frac{\cos s - 1}{s^2} - \frac{\sin s}{s}$$

(24.01.91)

$g = Rf$ ,  $(Rf)(\theta, s) = \int_{x=\theta} f(x) dx$

$w_b * f = R^* w_b * g$ ,  $R^* w_b = \hat{w}_b$

} soll im folgenden (diskretisiert) berechnet werden!

$\hat{w}_b(\xi) = 2(\pi)^{(n-1)/2} |\xi|^{1-n} \hat{w}_b(|\xi|)$ , falls  $\hat{w}_b$  nichtsymmetrisch.

$\hat{w}_b(\sigma) = \frac{1}{2} (\pi)^{n/2-n} |\sigma|^{n-1} \phi(\frac{\sigma}{b})$  ←  $\phi$  erbauen, damit  $F_{in}$  und  $F_{out}$  Dicht. transformiert!  
 mit  $\phi \approx \begin{cases} 1 & \text{für } |\sigma| \leq b \\ 0 & \text{für } |\sigma| > b \end{cases}$  (s.o.)

1.) Diskretisierung der Faltung:

$-4 \leq l \leq 4$

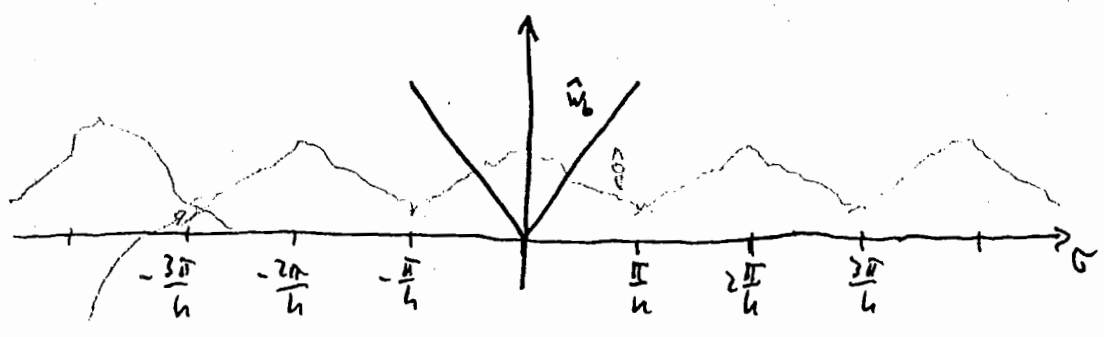
Nach Satz 1.5.5.:

mit:  $L = h\mathbb{Z}$ ,  $\hat{L} = \frac{2\pi}{h}\mathbb{Z}$ :

$\Rightarrow (w_b *^h g)(s) := h \sum_{l=-4}^4 w_b(s-hl) g(hl)$  Anwendung: S.149 oben

Es gilt:  $(w_b *^h g - w_b * g)^\wedge(\sigma) = (\pi)^{1/2} \hat{w}_b(\sigma) \sum_{l \neq 0} \hat{g}(\sigma - \frac{2\pi}{h} l)$

(n=2)



$\frac{\pi}{h} \geq b$  !

Überlappungen sollen klein sein =>

Also:

⇒ Falls  $\hat{g}$  vernachlässigbar für  $|b| > \frac{\pi}{h}$ :  $w_b * g \sim w_b * g$   
 d.h. direkte Faltung ist gute Approx. der Reaktion Faltung

2.) Diskretisierung der Rückprojektion:

$$(R^*g)(x) = \int_{-\infty}^{\infty} g(\theta, x \cdot \theta) d\theta \sim \sum_{j=0}^{p-1} \alpha_j g(\theta_j, x \cdot \theta_j)$$

Ziel! ← setzt man zu wählen!

n=2:  $\int_{-\infty}^{\infty} g(\theta, x \cdot \theta) d\theta \approx \frac{2\pi}{p} \sum_{j=0}^{p-1} g(\theta_j, x \cdot \theta_j)$  ! Anwendung: S. 149 oben!

$R_p^* g(x)$  Trapezregel! mit  $\theta_j = \begin{pmatrix} \cos \varphi_j \\ \sin \varphi_j \end{pmatrix}$ ,  $\varphi_j = \frac{2\pi}{p} j$  ← Def. v. p!

Frage: Wo ist  $R_p^*(w_b * g)$  zuverlässig? (j = 0, ..., p-1)

Nach Aufgabe 8:

im Folgenden: Ziel: Diese Summe soll klein werden!



$$R_p^* w_b * g(x) = R^*(w_b * g) + 2\pi \sum_{\ell=0}^{p-1} c_{\ell p}(x)$$

mit  $c_{\ell}(x) = \frac{1}{2\pi} \int_0^{2\pi} w_b * g(\theta, x \cdot \theta) e^{-i\ell\varphi} d\varphi$ ,  $\theta = \begin{pmatrix} \cos \varphi \\ \sin \varphi \end{pmatrix}$

Es gilt:  $c_{\ell}(x) = \frac{1}{2\pi} \int_0^{2\pi} e^{-i\ell\varphi} (2\pi)^{-1/2} \int_{-\infty}^{\infty} (w_b * g)^{\wedge}(\theta, \sigma) e^{i\sigma x \cdot \theta} d\sigma d\varphi$

(das inverse FT der FT Transformierte!) =  $\hat{w}_b \hat{g} \cdot (2\pi)^{1/2}$

$$= \frac{1}{2\pi} \int_0^{2\pi} e^{-i\ell\varphi} \int_{-b}^{+b} \hat{w}_b(\sigma) \hat{g}(\theta, \sigma) e^{i\sigma x \cdot \theta} d\sigma d\varphi$$

=  $(2\pi)^{1/2} \hat{f}(\sigma\theta)$  nach Satz 1.1.

da  $\hat{w}_b$  auf  $\theta$  abh.  $\equiv \theta$ !

$$= (2\pi)^{-3/2} \int_0^{2\pi} e^{-i\ell\varphi} \int_{-b}^{+b} \hat{w}_b(\sigma) \int_{\mathbb{R}^2} f(y) e^{-iy \cdot \sigma\theta} dy e^{i\sigma x \cdot \theta} d\sigma d\varphi$$

$$= (2\pi)^{-3/2} \int_{\mathbb{R}^2} f(y) \int_{-b}^{+b} \hat{w}_b(\sigma) \int_0^{2\pi} e^{-i\ell\varphi + i\sigma\theta \cdot (x-y)} d\varphi d\sigma dy$$

Schreibe  $x-y = |x-y| \begin{pmatrix} \cos \psi \\ \sin \psi \end{pmatrix}$ ,  $\psi = \psi(x, y)$

Damit: (d.w.)

$$\Rightarrow \int_0^{2\pi} \dots d\varphi = \int_0^{2\pi} e^{-i l \varphi + i \sigma |x-y| \cos(\varphi - \psi)} d\varphi$$

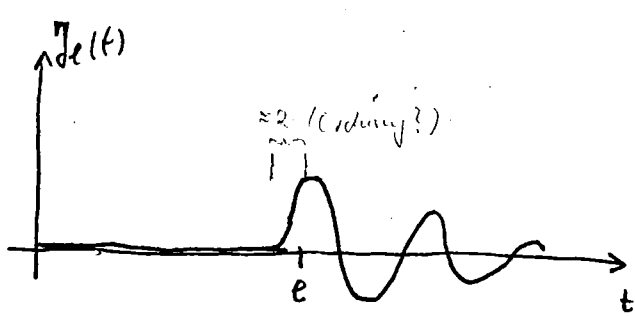
(Setze  $\varphi - \psi = \varphi'$  :)

$$= e^{i l \psi} \int_0^{2\pi} e^{-i l \varphi' + i \sigma |x-y| \cos \varphi'} d\varphi'$$

(Teil I.4. des Vorl.)

$$= e^{i l \psi} 2\pi \int_0^b (G|x-y| \chi)^l, \text{ Jo Besselfunktion der Ordnung } l.$$

$$\Rightarrow c_l(x) = (2\pi)^{-1/2} (i)^{-l} \int_{\mathbb{R}^2} f(y) \int_{-b}^{+b} \hat{w}_b(\sigma) \int_0^{2\pi} (G|x-y| \chi)^l d\sigma e^{i l \psi} dy$$



und nun untersucht

Debye'sche Beziehung:  $0 < \rho < 1, l \geq 0$

$$0 \leq g_l(\rho) \leq (2\pi l)^{-1/2} (1-\rho)^{-1/4} e^{-\frac{\rho}{2}(1-\rho^2)^{3/2}}$$

Also: Unter folgenden Bedingungen ist relevanter Term

Annahme:  $f(x) = 0$  für  $|x| \geq 1 \leftarrow$  (1)  $R_p^*(w_b^*)$  zuverlässig:

Falls  $2b \leq l$ :  $c_l(x)$  vernachlässigbar!

$$\Rightarrow R_p^* w_b^* g \sim R^+ w_b^* g, \text{ falls } p \geq 2b$$

Folgerung (Tiefpass)

diskr. Rückproj. (i.o.)

diskr. Tiefpass (i.o.)

Zusammenfassung:

$$f_{FB} = R_p^* w_b^* g$$

was ist das kleinste Detail im Pat. (i.o.)

5.14.0 Rückproj. (i.o.)  $w_b$  ideale Tiefpass! (vgl. S. 138)

$$\boxed{q \geq \frac{b}{\pi}}$$

Falls:  $h \leq \frac{\pi}{b}$  und  $p \geq 2b$  und falls  $\hat{g}$  vernachlässigbar für

$|x| \geq b$ , dann ist praktisch  $f_{FB} = w_b^* f \approx \delta * f = f$

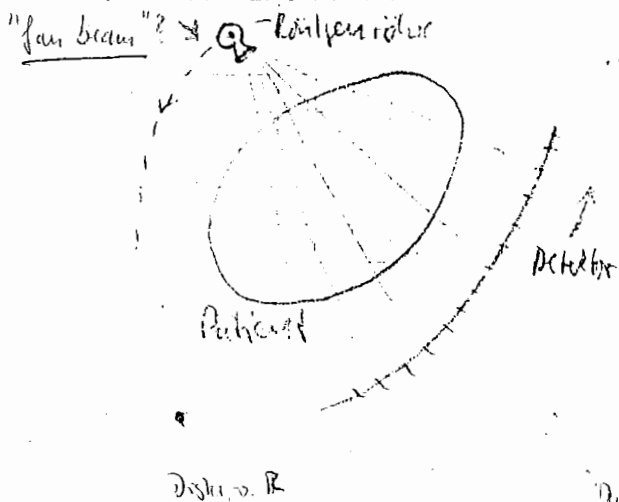
d.h.  $\hat{f}(\xi) \sim 0$  für  $|\xi| \geq b$

d.h. was ist das kleinste Detail im Pat. (i.o.)

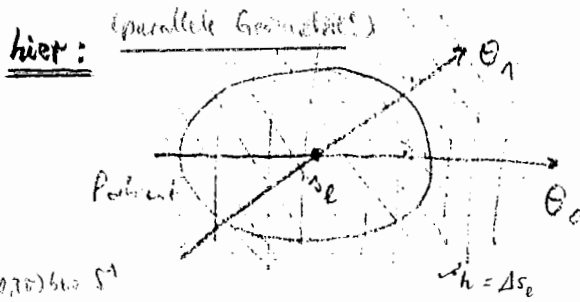
(vgl. S. 148: "Gefilterte Rückproj. für unterbreit!")

2.8. Gefilterte Rückprojektion für parallele Geometrie (S. 147/148: interleaved!) 142

Anwendung in der Computertomographie:



(siehe - )  
Sei  $f$ : Disk in Einheitskreis  
 $g_{j\ell} = (Rf)(\theta_j, s_\ell)$



Disk in  $\mathbb{R}^2$  Disk in  $(0, \pi)$  bis  $S^1$

$$s_\ell = \ell h, \quad \theta_j = \begin{pmatrix} \cos \varphi_j \\ \sin \varphi_j \end{pmatrix}, \quad \varphi_j = \frac{2\pi j}{p}, \quad j=0, \dots, p-1$$

"Parallele Geometrie": (weiter unten S. 147-148) heißt sich: Es reicht, die  $j, \ell$  mit  $j+\ell = \text{gerade}$  zu nehmen  $\rightarrow$  "interleaved"?)

(28.01.31)



$f(x) = 0 \forall |x| \geq 1$   $\leftarrow$  Bilden endlich (im Einheitskreis!)  
 $\hat{f}(\xi) \sim 0 \forall |\xi| > b$   $\leftarrow$  (wesentlich)  $b$ -bandbeschränkt?

(S.O.)  
S. 141

Gefilterte Rückprojektion ist zuverlässig, falls  $\leftarrow$  Aber fehlt noch: Abtasttheorem!

- 1.)  $h \leq \frac{\pi}{b}$  (Nyquist) 2.)  $p \geq 2b$  (Rückproj.) 3.)  $p = 2\pi q$   $\leftarrow$  vgl. S. 144

Daten:  $g(\theta_j, s_\ell)$  mit  $\theta_j = \begin{pmatrix} \cos \varphi_j \\ \sin \varphi_j \end{pmatrix}, s_\ell = \ell h, \ell = -q, \dots, q$   
"Parallele Geometrie!"  
( $h = \frac{a}{q} = \frac{\pi}{b} = \frac{2\pi}{p}$ )

Also 3!)  $q \geq \frac{b}{\pi}$   $\varphi_j = \frac{2\pi}{p} j, (j=0, \dots, p-1)$

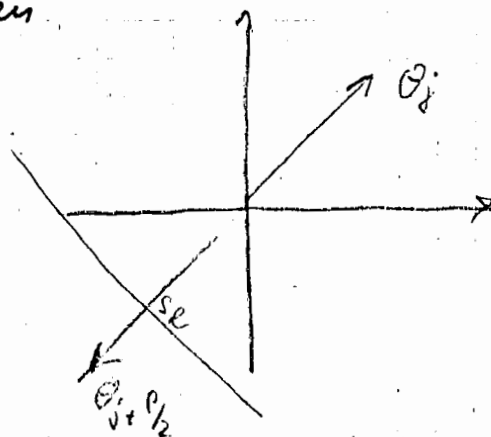
$p := \#$  der Richtungen über  $\mathbb{R}_p^*$   
 $\uparrow$   
diskretisiert via  $\int \dots d\theta$

Bemerkungen: 1.) Anzahl der Daten?

(Standard) parallele  $p$  gerade:  $g(\theta_{j+p/2}, s_\ell) = g(\theta_j, -s_\ell)$

Geometrie:  
d.h. man braucht bloß  $p/2$  Richtungen  
mit  $p/2 \geq b$ .

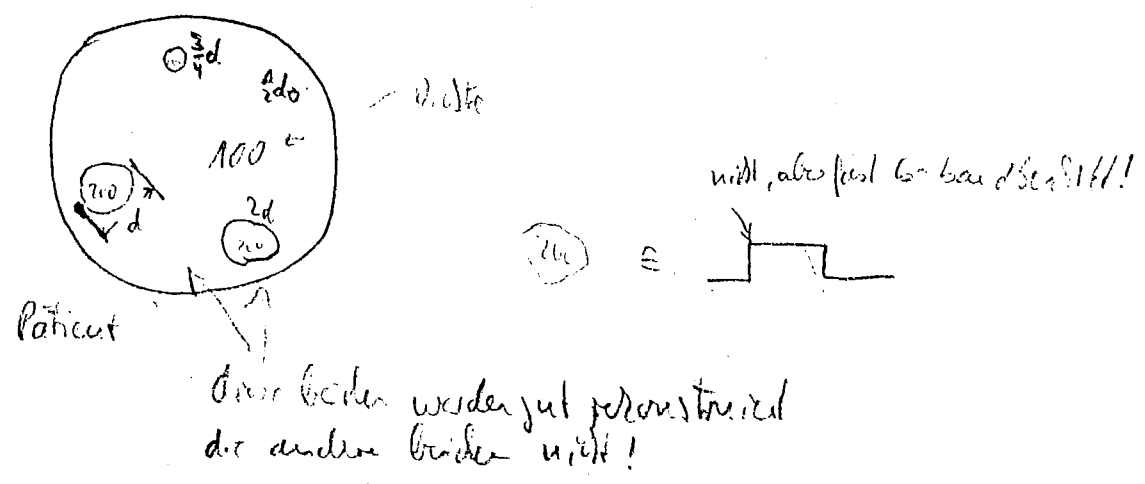
$\Rightarrow$  # Daten =  $\frac{p}{2} \cdot \frac{2}{h} \stackrel{\text{Min. \#}}{=} b \cdot \frac{2}{\pi/b}$   
 $\stackrel{\text{Länge}}{=} \frac{2}{\pi} b^2 \cdot !$   
2 = Durchmesser Einheitskreis!



(aber: vgl. S. 147: Interleaved kommt mit der Hälfte der Daten aus!)

2.) Auflösung von  $\frac{2\pi}{b}$  (in allen Richtungen)

Beispiel: 1.)  $p = 128$ ,  $\frac{2\pi}{b} \approx 0.05 =: d$



Das werden wir konstruieren  
die anderen werden nicht!

2.)  $p = 128$ ,  $b = 256$ ,  $h = \frac{d}{2}$

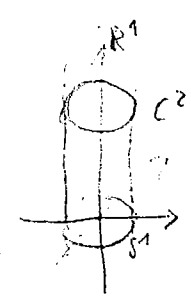
Unterschied zu PerMid auf S. 47 ff: Jetzt FT und Abtasten auf  $C^2$

§4 Das Abtasttheorem der Computer-Tomographie (statt  $\mathbb{R}^n$ )

Sei  $n=2$ ,  $f(x) = 0, |x| \geq 1$ ,  $\hat{f}(\xi) \sim 0, |\xi| > b$

Deshalb:  $g = Rf$ ,  $g \in \mathcal{P}(C^2)$

Abtasttheorem für  $S^1 \times \mathbb{R}^1 =: C^2$



$C^2 \xrightarrow{\mathcal{F}} \mathbb{Z} \times \mathbb{R}^1$

Fourier-Transform auf  $C^2$ : identifiziere  $C^2 = [0, 2\pi) \times \mathbb{R}^1$

$g \in \mathcal{P}(C^2)$  denn  $S^1 \ni \theta = \begin{pmatrix} \cos \theta \\ \sin \theta \end{pmatrix}$

$\hat{g}(k, \sigma) := \frac{1}{2\pi} \int_{\mathbb{R}^1} \int_{C^2} e^{-i\sigma\theta - ik\eta} g(\eta, \theta) d\sigma d\eta \quad \forall (k, \sigma) \in \mathbb{Z} \times \mathbb{R}^1$   
 $\hat{g}$  will heißen  $g(\theta, \sigma)$  nach Identif. =!

$\tilde{g}(\eta, \theta) := \frac{1}{2\pi} \sum_{k \in \mathbb{Z}} \int_{\mathbb{R}^1} e^{i\sigma\theta + ik\eta} \hat{g}(k, \sigma) d\sigma$

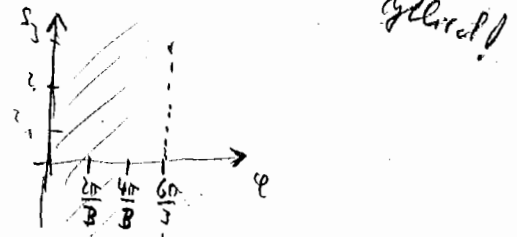
$\tilde{\tilde{g}} = g$



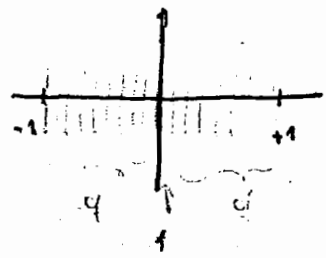
Gitter L auf  $\mathbb{C}^2$  :  $WZ^2$   $2\pi$ -periodisch in der ersten Komponente. (d.h.  $2\pi \begin{pmatrix} 1 \\ 0 \end{pmatrix} \in WZ^2$ !)

Dann  $L := WZ^2 \cap [0, 2\pi) \times \mathbb{R}^1$ .   
 ↑  $\psi$ -Komponente?  $\rightarrow$  zyklisch!

Beispiel:  $W = \begin{pmatrix} \frac{2\pi}{p} & 0 \\ 0 & h \end{pmatrix}$  ,  $p \in \mathbb{N}$



Kontext: [ 3.) Wir haben  $2p$  Ritzstufen.  $A$ :  $2q+1$  Integrale pro Ritzstufe



$$\frac{1}{q} = h = \frac{\pi}{b} = \frac{2\pi}{p}$$

$$\Rightarrow p = 2\pi q$$

Weiter: Duales Gitter :  $2\pi W^{-T} \mathbb{Z} = \hat{L} \subset \mathbb{Z} \times \mathbb{R}^1$

Lemma: Die erste Komponente von  $\hat{L}$  ist ganzzahlig (unter den gegebenen Bedingungen), d.h.:  $\hat{g}$  ist definiert auf  $\hat{L}$ !  
 $\cdot \text{d.h.} = (k, 0) \in \mathbb{Z} \times \mathbb{R}^1$ !

Beweis: z.z.: 1. Zeile von  $2\pi W^{-T}$  ist ganzzahlig:  
 d.h.:  $(1, 0) \cdot 2\pi W^{-T}$  ganzzahlig  
 $\Leftrightarrow 2\pi W^{-1} \begin{pmatrix} 1 \\ 0 \end{pmatrix} \dots \Leftrightarrow 2\pi \begin{pmatrix} 1 \\ 0 \end{pmatrix} \in WZ^2$

Satz 4.1. (Poisson'sche Formel) (vgl. 3.45, hier versteht man!)

Sei  $g \in \mathcal{S}(\mathbb{C}^2)$ . Dann gilt:  $\overset{a}{=} \overset{b}{\Leftrightarrow}$  sonst identisch!  

$$\sum_{x \in L} g(x) e^{-i \xi \cdot x} = \frac{2\pi}{\det(L)} \sum_{\eta \in \hat{L}} \hat{g}(\xi - \eta), (\xi \in \hat{L}).$$

Beweis: Siehe Aufg. 8!  
 $\rightarrow (k, p)$  in Fourierraum! {vgl. 5.49 für  $K \in \mathbb{R}^d$ !}

Def:  $K \subseteq \mathbb{Z}^1 \times \mathbb{R}^1$ . L erfüllt die Nyquist-Bedingung bzgl. K  
 $\Leftrightarrow K + \eta, \eta \in \hat{L}$  sind disjunkt.

Wie geht es ausserhalb  $\mathbb{R}^2$  um  $g (= Rf)$  im  $C^2$ ? Vor  $f$  ist noch nicht  $C^2$  die Rede!

Satz 4.2. (Peterseu-Middleton) (für CT?)

Sei  $g \in \mathcal{F}(C^2)$ .  $\hat{g}(f) = 0$  für  $f \notin K$ .  $L$  erfülle

bezgl.  $K$  die Nyquist-Bedingung.  $\leftarrow$  d.h.  $K + 2\pi i \mathbb{Z} \in L$  disjunkt!

Dann ist  $g$  durch seine Werte auf  $\hat{L}$  eindeutig bestimmt.

Erfüllen  $g_1, g_2$  die oberen Bedingungen, so gilt:

$$\int_0^{2\pi} \int_{\mathbb{R}^2} g_1 g_2 ds d\varphi = \det(L) \sum_{x \in L} g_1(x) g_2(x)$$

da  $\mathbb{C}^2$  statt  $\mathbb{R}^2$  komplizierter Struktur?

Anmerkung: Dies alles ist wesentlich Gruppen Theorie! (harmonische Analyse, ...)

Anwendung auf  $g = Rf$ : Abwastheorem verlangt:  $\hat{g}(f) = 0 \forall f \notin K$ :

Hier:  $\hat{g}(k, \sigma) = \frac{1}{\sqrt{2\pi}} \int_0^{2\pi} e^{-ik\varphi} \int_{\mathbb{R}^2} \frac{1}{\sqrt{2\pi}} e^{-i\sigma\psi} g(\varphi, \psi) ds d\varphi$

Frage nach P.H.; wo  $\sim 0$ ?

Das ergibt  $K$ !

$$= \frac{1}{\sqrt{2\pi}} \hat{f}(\sigma\theta), \quad \theta = \begin{pmatrix} \cos\varphi \\ \sin\varphi \end{pmatrix}$$

$$= \int_0^{2\pi} e^{-ik\varphi} \hat{f}(\sigma\theta) d\varphi$$

$$= \frac{1}{2\pi} \int_0^{2\pi} e^{-ik\varphi} \int_{\mathbb{R}^2} f(x) e^{-ix \cdot \sigma\theta} dx d\varphi$$

$$= \frac{1}{2\pi} \int_{\mathbb{R}^2} f(x) \int_0^{2\pi} e^{-ik\varphi - ix \cdot \sigma\theta} d\varphi dx$$

$$x = |x| \begin{pmatrix} \cos\varphi \\ \sin\varphi \end{pmatrix}$$

$$\int_0^{2\pi} e^{-ik\varphi - i|x|\sigma \cos(\varphi-\psi)} d\varphi$$

$$\varphi - \psi = \varphi'$$

$$= e^{-ik\psi} \int_0^{2\pi} e^{-ik\varphi' - i|x|\sigma \cos\varphi'} d\varphi'$$

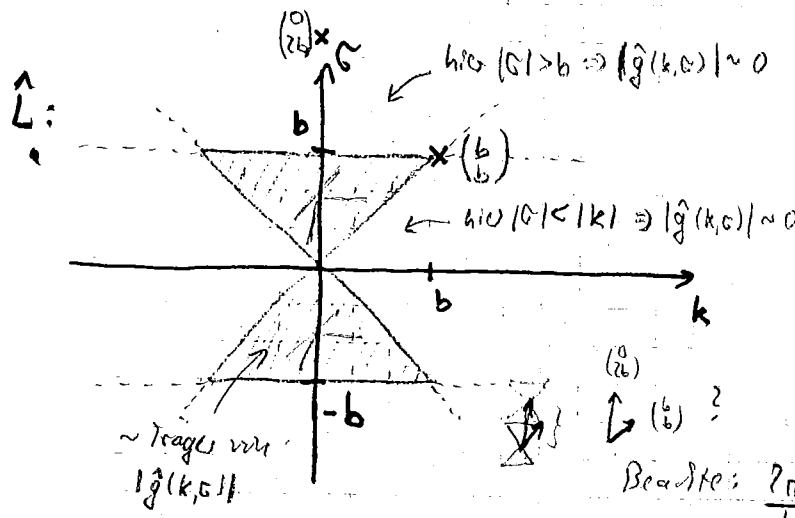
$$= e^{-ik\psi} \int_K (-\sigma/|x|) i^k 2\pi$$

$$\Rightarrow \underbrace{|\hat{g}(k, \sigma)|}_{\substack{\mathbb{Z} \mathbb{R} \\ \mathbb{R}^2 \\ |\sigma| < 1}} \leq \int_{\mathbb{R}^2} |f(x)| \underbrace{|\hat{g}_k(\sigma|x|)|}_{\substack{d\lambda \sim 0 \\ \text{siehe Mann, falls} \\ |\sigma| < |k|}} dx$$

("Debye'sche Beziehung")

und:  $|\hat{g}(k, \sigma)| \sim 0$ , falls  $|\sigma| > b$

Wähle also  $K$  wie folgt:



$\leftarrow$  außerhalb  $\Sigma =: K$   
Ist  $\tilde{g} \sim 0$

Wähle also:

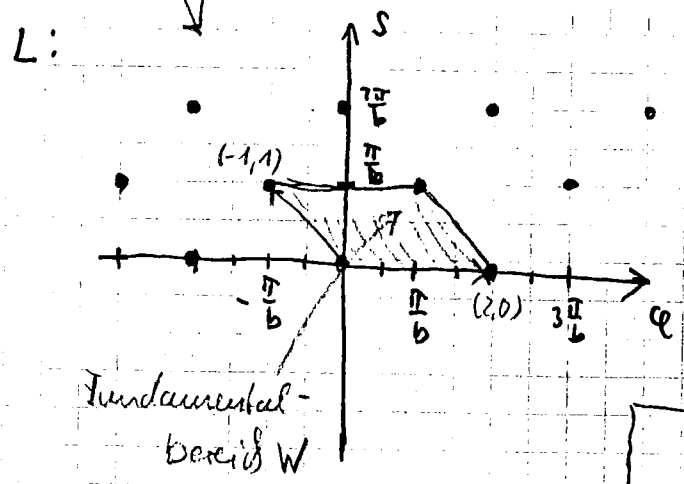
$$2\pi W^{-T} = \begin{pmatrix} 0 & b \\ 2b & b \end{pmatrix}$$

Beachte:  $2\pi W^{-T} Z = \hat{L}$  Abstand strecken!  
 $L \stackrel{\Delta}{=} WZ^T$  im versch.

L erfüllt Nyquist-Bedingung bzgl. K!

Abstand strecken!  
vgl. Def. Nyquist bed. oben!  
(S. 74)

$$\Rightarrow W = \frac{\pi}{b} \cdot \begin{pmatrix} 0 & 1 \\ 2 & 1 \end{pmatrix} \cdot \begin{pmatrix} -1 & 2 \\ 1 & 0 \end{pmatrix}$$



Interlaced:

$$\varphi_j = j \frac{\pi}{b}$$

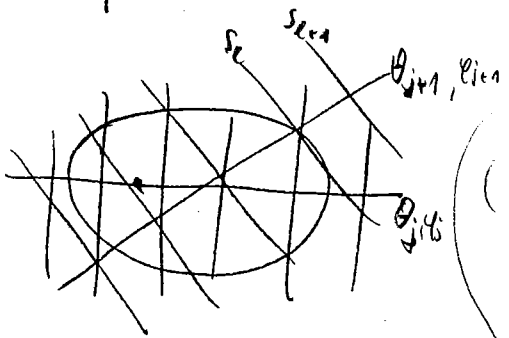
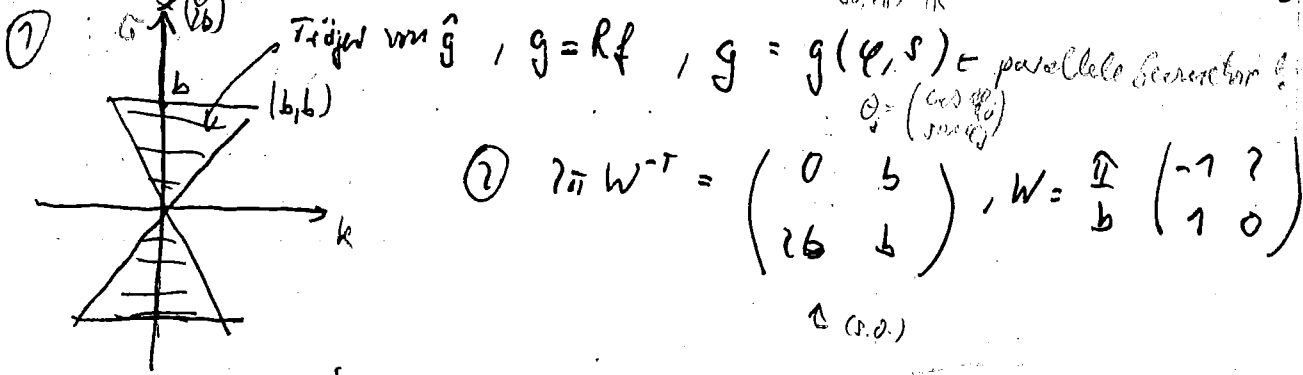
$$\psi_{je} = \frac{\pi}{b} l, \quad l+j \text{ gerade}$$

(vgl. S. 74, 75 in [NAT]!)

Anm: Vgl. auch die analogen Betrachtungen auf S. 47 ff !!

(Diese Seite enthält einen Permutation!)

$(0, \pi) \mathbb{R}$



Interlaced  $\{\phi_j = j \Delta\phi,$

(parallele Streifen)

$$\Delta\phi = \frac{\pi}{b} = \frac{2\pi}{p}$$

$(j=0, \dots, p-1)$

$(l=-q, \dots, q)$

$$q = \frac{1}{h} = \frac{L}{\Delta}$$

$$s_{j+l} = lh, \quad h = \frac{\pi}{b}$$

$\rightarrow$   $j+l$  gerade

$\Rightarrow$  Faktor  $\frac{1}{2}$  (?)

$b$  ganz,  $p = 2b$

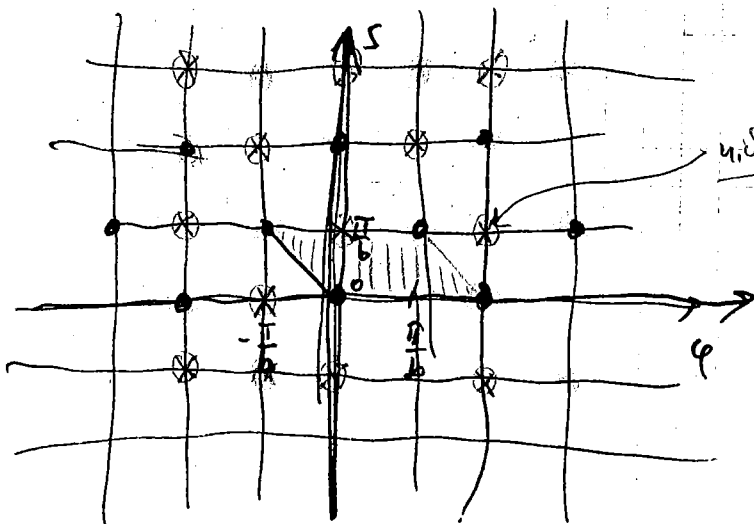
H Daten:  $g(\theta_j, s_l) = g(\theta_{j+\frac{p}{2}}, -s_l)$

$$\theta_{j+\frac{p}{2}} = -\theta_j$$

$$\frac{p}{2} \cdot \frac{2}{2h} = b \frac{2}{2 \cdot \frac{\pi}{b}} = \frac{2}{\pi} \frac{b^2}{b} !$$

d.h. nur die Hälfte von  $\{s\}$  (S. 142?)  
wird

← Abtasten



Wir haben nun also  $g = Rf$  zuverlässig abgetastet. (Abtasttheorem)  
Wie kommt man nun aber an  $f$  ran?

(vgl. MATS 5.11 ff)

Rückprojektion:  $g: \mathbb{R}^d \rightarrow f$

Nun: gefilterte Rückprojektion für interlaced: (vgl. auch S 137?)

$$\underline{W_b * f(x)} = \int_0^{2\pi} \int_{\mathbb{R}^1} \underbrace{W_b(x \cdot \theta - s)}_{= h(\varphi, s)} \underbrace{g(\theta, s)}_{\text{supp}(g) \text{ ist}} ds d\varphi, \quad \theta = \begin{pmatrix} \cos \varphi \\ \sin \varphi \end{pmatrix}$$

$\int_{\mathbb{R}^1} = \int_{\text{RAM LAK?}}$        $\text{lim Wesentliche}$

also:  $h(\varphi, s) = W_b(x \cdot \theta - s)$

$$\begin{aligned} \hat{h}(k, \sigma) &= \frac{1}{2\pi} \int_0^{2\pi} \int_{\mathbb{R}^1} h(\varphi, s) e^{-i(k\varphi + s\sigma)} ds d\varphi \\ &= \frac{1}{2\pi} \int_0^{2\pi} e^{-ik\varphi} \underbrace{\int_{\mathbb{R}^1} W_b(x \cdot \theta - s) e^{-is\sigma} ds}_{\int_{\mathbb{R}^1} W_b(s') e^{-i(x \cdot \theta - s')\sigma} ds'} d\varphi \\ &= \int_{\mathbb{R}^1} \hat{W}_b(-\sigma) e^{-ix \cdot \theta \sigma} \end{aligned}$$

$(x \cdot \theta - s = s')$

$$\begin{aligned} &= \frac{1}{\sqrt{2\pi}} \int_0^{2\pi} e^{-ik\varphi - ix \cdot \theta \sigma} d\varphi \hat{W}_b(-\sigma) \\ &= \sqrt{2\pi} e^{-ik\varphi} i^k J_k(|x|\sigma) \hat{W}_b(-\sigma) \end{aligned}$$

$x = |x| \begin{pmatrix} \cos \varphi \\ \sin \varphi \end{pmatrix}$

$= 0, |\sigma| > b$

$|x| \leq 1$ :

$\sim \sigma \left\{ \begin{array}{l} \text{falls } |\sigma| > b \\ \text{oder } |\sigma| < |k| \end{array} \right.$  d.h. falls  $(k, \sigma) \notin K$

→ Nach Peterzen - Mittelton: mit proper fernungkeit:

Diskret:  $\underline{W_b * f} = \det(L) \sum_{(\varphi, s) \in L} W_b(x \cdot \theta - s) g(\theta, s) =$

aus diskreter Rückproj. (Trapezregel?)  
 aus diskreter Faltung!

$$\frac{2\pi^2}{b^2} \sum_{j=0}^{p-1} \sum_{l=-q}^q w_b(x \cdot \theta_j - hl) g(\theta_j, hl) = R_p^* w_b * g$$

Dist. von  $\mathbb{R}^2$  bzw.  $\mathbb{R}^1$   
 Dist. von  $\mathbb{R}$

Wichtig!

$l+j$  gerade!  $\rightarrow$  interleaved

$$\theta_j = \begin{pmatrix} \cos\left(\frac{j\pi}{p}\right) \\ \sin\left(\frac{j\pi}{p}\right) \end{pmatrix}$$

vgl. S. 139, 140

Gefilterte Rückprojektion für interleaved. Rechte Seite: Nach diskreter Faltung mit  $w_b$  und diskreter Rückproj!

Wichtig!

Samplingtheorem für  $b=1c$

Interleaved, PET, Parallel, Fan Beam

Diskretisierte Form von  $R^*$

$w_b * g$   
 diskret gefaltet:  $\sum_{j=-q}^q w_b(s-hl) g(\theta, hl)$   
 dann diskret rückproj:  $\sum_{j=0}^{p-1} \dots s \rightarrow x \cdot \theta_j$

! "Direkte algebraische Methode" !  
§ 5 Bildrekonstruktion aus Streifenintegralen

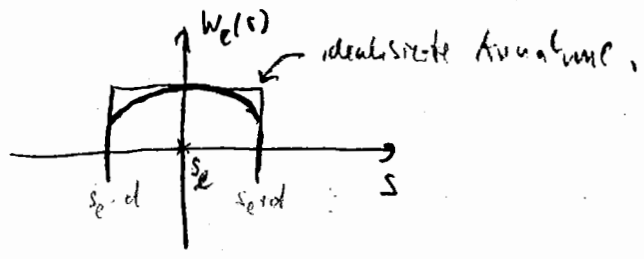
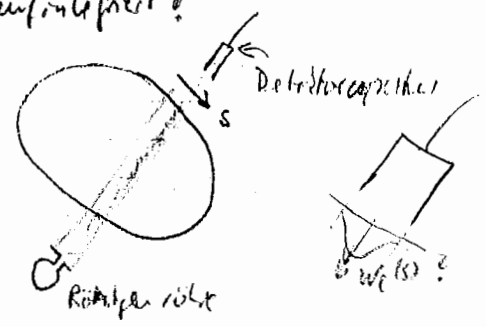
vgl. auch Prop. Effiz. Algor.!

vgl. Entsch., S. 146 ff (Kap. V.5.7)!

$$g_{ej} = \int_{s=-\infty}^{+\infty} w_e(s) R_f(\theta_j, s) ds$$

$(j=0, \dots, p-1; l=1, \dots, q)$

$w_e$  = Empfindlichkeitsprofil des  $l$ -ten Detektors!



! Problem:  $g_{je}$  bekannt, finde  $f$  ! !

Also detekt.: zusätzlich noch über  $\mathbb{R}^2$  aufintegriert!  
 (brilliant:  $R_f$  bekannt,  $f$  gesucht!)

$$g_{je} = \int w_e(s) \int f(s\theta_j + t\theta_j^\perp) dt ds$$

Alles skalieren!  
 $= \int_{\mathbb{R}^2} f(x) w_e(x \cdot \theta_j) dx$

$(f, w_{je}) = \left( f, \frac{R_{je} f}{w_{je}(x) = w_e(x \cdot \theta_j)} \right) = (b.w.)$

$(\cdot, \cdot) = (\cdot, \cdot)_{L_2(1 \times 1)}$

löse also  $g_{ie} = R_{je} f$  ( $i=0, \dots, p-1, e=1, \dots, q$ )  
 $= R_{je} f$  ( $R_{je}$  lineare stetige Funktionale auf  $L_2(|x| < 1) =: H$ )

löse also  $R_{je} f = g_{ie} [= (f, w_{se})]$  auf  $L_2(|x| < 1) =: H$

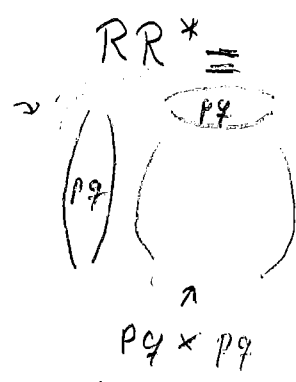
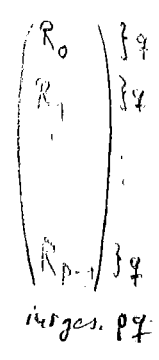
mit  $R_{je} f = (f, w_{se})$

Sei  $R_j f := \begin{pmatrix} R_{j1} f \\ \vdots \\ R_{jq} f \end{pmatrix}, R_j : H \rightarrow \mathbb{R}^q$

→  Bündelung:

$R f := \begin{pmatrix} R_0 f \\ \vdots \\ R_{p-1} f \end{pmatrix}, R : H \rightarrow \mathbb{R}^{p \times q}$

$g_j := \begin{pmatrix} g_{j1} \\ \vdots \\ g_{jq} \end{pmatrix} \in \mathbb{R}^q, g := \begin{pmatrix} g_0 \\ \vdots \\ g_{p-1} \end{pmatrix} \in \mathbb{R}^{p \times q}$



Problem

$R f = g$

Suche Tychonoff-Phillips-Lösung:

überbestimmtes System

$\min \{ \|R f - g\|^2 + \omega^2 \|f\|^2 \}$

→  $f_\omega$

Ergibt GLGS-System?

Löse dieses!

Euklid. Norm in  $\mathbb{R}^{p \times q}$

Norm in  $L_2(|x| < 1)$

Nach Satz 1.4.: (S. 128?) ((R besitzt ja SVD!)) →  $f_\omega$  ist Lösung von:

$(R^* R + \omega^2 I) f_\omega = R^* g$

$R^* : \mathbb{R}^{p \times q} \rightarrow H = L_2(|x| < 1)$

Sei  $f_\omega = R^* h, h \in \mathbb{R}^{p \times q}$

⇒  $(R^* R + \omega^2 I) R^* h = R^* g$

⇒  $(R^* R R^* + \omega^2 R^*) h = R^* g$

*kleine Umformung*

$\Rightarrow \underline{R^*(RR^* + \omega^2 I)h = R^*g} \quad (*)$

Aus FA1  $H, K$  Hilberträume,  $R: H \rightarrow K$  lin. stetig

$R^*: K \rightarrow H$

Falls  $R(H) = K$ , d.h.  $R$  surj., dann ist  $R^*$  injektiv.

Hier:  $R$  ist surjektiv  $\Rightarrow$

also:  $R^*$  injektiv  $\Rightarrow R^*$  kann weggelöst werden

zu lösen!

$\Rightarrow \left\| \begin{array}{l} \omega = R^*h \\ \| h = (RR^* + \omega^2 I)^{-1}g \| \end{array} \right\|$

(vgl. MATS, S. 148 ff!)

$(RR^* + \omega^2 I)$  ist aber eine  $(p, p)$ -Matrix (d.h. rechenbar!)

(Erklärung alles vollständig exakt! Keine Näherungen! Keine Block-Tridiagonal-Formen!)

$(R^*g)(x) = \sum_{j \in E} g_j w_{j \cdot}(x)$   
 $= \sum_j \underbrace{\sum_e g_{je} w_{je}(x)}_{R_j^* g_j} = \sum_j (R_j^* g_j)(x)$

Deshalb: bringe auf Block-Tridiagonal-Form (folgt aus Rotationsinvarianz!):  $\rightarrow S_{k-j}$  (s.u.)  
Dieser löst dann mit FFT!

(vgl. MATS, S. 133 ff.)

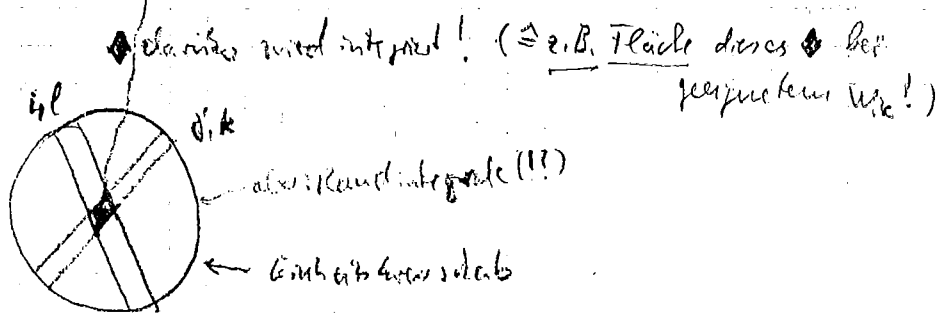
$RR^*$  =  $\begin{pmatrix} R_0 R_0^* & \dots & R_0 R_{p-1}^* \\ \vdots & & \vdots \\ R_{p-1} R_0^* & \dots & R_{p-1} R_{p-1}^* \end{pmatrix} = (R_i R_j^*)_{i,j=0, \dots, p-1}$   
jeweils  $(q, q)$ -Matrizen

$R_i R_j^* g_j = R_{ik} \sum_e g_{je} w_{je} = (w_{ik}, \sum_e g_{je} w_{je}) = \sum_e g_{je} (w_{ik}, w_{je})$



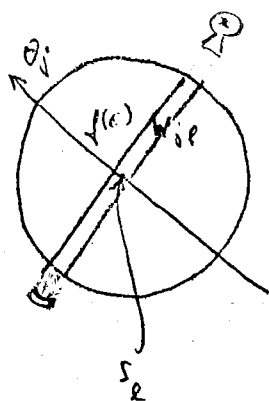
$\Rightarrow (R_i R_j^*)_{ke} = (w_{ik}, w_{je}) = (\langle \cdot, w_k(x, \theta_i) \rangle, \langle \cdot, w_e(x, \theta_j) \rangle)$   
 nur von der Geometrie (dem Aufbau) abhängig!

$RR^*$  heißt "Schnittmatrix"



(04.02.91)

Streifen statt Linien!



$g_{je} = \int w_{je}(x) f(x) dx \quad (j=0, \dots, p-1, e=1, \dots, q)$

$R : L_2(1 \times 1 < 1) \rightarrow \mathbb{R}^{pq}$

$R = \begin{pmatrix} R_0 \\ \vdots \\ R_{p-1} \end{pmatrix}, R_j f = \begin{pmatrix} R_{j,1} f \\ \vdots \\ R_{j,q} f \end{pmatrix}$

$\Rightarrow$  Tychonow - Ph. l. - Sz. von

$Rf = g$  (vgl. S. 127!) (vgl. auch [Nat., Effiz. Alg. V-23]?)

läßt sich schreiben als: 
$$\begin{cases} (RR^* + \omega^2 I) h = g \\ \omega = R^* h \end{cases}$$

Es ist:  $RR^* = \begin{pmatrix} R_0 R_0^* & \dots & R_0 R_{p-1}^* \\ \vdots & & \vdots \\ R_{p-1} R_0^* & \dots & R_{p-1} R_{p-1}^* \end{pmatrix}$

ist nicht etwa dünn besetzt!  
 (zu aufwendig, es direkt zu lösen! Muffe beim Rot. invertieren des Systems! sub.)

$R_j : L_2(1 \times 1 < 1) \rightarrow \mathbb{R}^q$

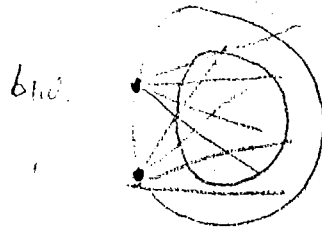
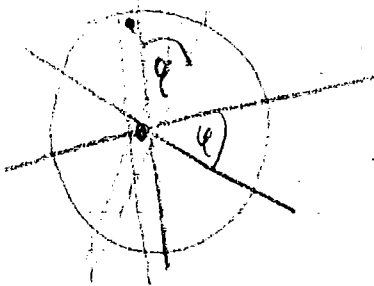
$R_j R_k^* : \mathbb{R}^q \rightarrow \mathbb{R}^q$

Es gilt:  $\underline{(R_j R_k^*)}_{ie} = \int_{|x|<1} w_{je} w_{ki} dx =: \underline{(S_{jk})}_{ie}$

Annahme: Die  $w_{je}$  <sup>d.h. der Versuchsraum!</sup> seien rotations-symmetrisch, d.h.

$\varphi = \frac{2\pi}{P}$

$w_{je}(U^{-1}x) = w_{j+1,e}(x)$  für  $U = \begin{pmatrix} \cos\varphi & -\sin\varphi \\ \sin\varphi & \cos\varphi \end{pmatrix}$



$\rightarrow (S_{j+1, k+1})_{ie} = \int_{|x|<1} w_{j+1,e}(x) w_{k+1,i}(x) dx$

$= \int_{|x|<1} w_{je}(U^{-1}x) w_{ki}(U^{-1}x) dx$

Transform

$= \int_{|x'|<1} w_{je}(x') w_{ki}(x') dx'$

$= (S_{j,k})_{ie}$

{Mat S. 148}

d.h.:  $\underline{S_{j,k}} = \underline{S_{k-j}}$  (vollst. sym. Es kommt nur auf die Differenz der Indizes an!)

$S * h = g$

löse also mit FFT-Techniken wie folgt:

$\Rightarrow \underline{RR^*} = \begin{pmatrix} s_0 & s_1 & s_2 & \dots & s_{p-1} \\ s_{p-1} & s_0 & s_1 & & s_{p-2} \\ s_{-2} & & & & \vdots \\ \vdots & & & & \vdots \\ s_{1-p} & \dots & \dots & \dots & s_0 \end{pmatrix}$

≐ eine Faltung!

d.h. folgende Tabelle gibt den Vorrang der durch Shifts hervor

Allgemein:

Erinnerung:  $\hat{Y}_k = \frac{1}{p} \sum_{j=0}^{p-1} e^{-2\pi i j k / p} y_j$  (dirkt. FT)

umgekr.  $y_j = \sum_{k=0}^{p-1} e^{2\pi i j k / p} \hat{Y}_k$

falls:  $y_k = \sum_{j=0}^{p-1} z_{k-j} x_j$ ,  $z$  Periode  $p$ , ( $k=0, \dots, p-1$ )  
zykl. Faltung der Periode  $p$ !

$\Rightarrow \hat{Y}_k = p \hat{z}_k \hat{x}_k$

Lösen eines Systems  $y = z x$  mit  $Z = \begin{pmatrix} z_0 & z_{-1} & & z_{1-p} \\ z_1 & z_0 & & z_{2-p} \\ \vdots & \vdots & \ddots & \vdots \\ z_{p-1} & \dots & \dots & z_0 \end{pmatrix}$

FFT!

1.) Bilde FT von  $y$ :  $\hat{Y}_k$  ( $p \log p$ ) RO

2.)  $\hat{x}_k = \frac{1}{p} (\hat{z}_k)^{-1} \hat{Y}_k$   $p$  RO

3.)  $x_j$  durch inverse FT von  $\hat{x}_k$ . ( $p \log p$ ) RO

$\Rightarrow$  insgesamt  $p \log p$  RO

Speziell hier:

(anstatt von  $p^2$  RO!)

Übertragung auf den

Algorithmus zur Lösung von  $(RR^* + \omega^2 I) h = g$  das weggelassen? <sup>Nein!</sup> (wie Potenzen!)

1.)  $\hat{S}_k = \sum_{i=0}^{p-1} e^{-2\pi i j k / p} S_j$ ,  $S_j = \begin{cases} S_j & \text{für } j \neq 0 \\ S_0 + \frac{\omega^2 I}{p} & \text{für } j = 0 \end{cases}$   
 $\cong p \log p$  RO

2.)  $\hat{S}_k^{-1}$  (hier stehen plötzlich Matrizen! wie?)  $\cong p^3$  RO

3.)  $g = \begin{pmatrix} g_0 \\ \vdots \\ g_{p-1} \end{pmatrix}$ ,  $g_j \in \mathbb{R}^q$   $\Rightarrow$

$$\hat{g}_k = \frac{1}{p} \sum_{j=0}^{p-1} e^{-2\pi i j k / p} g_j \quad \hat{=} \quad \underline{p \log p} \text{ RO}$$

4.)  $\hat{h}_k = \frac{1}{p} \hat{J}_k^{-1} \hat{g}_k \quad \hat{=} \quad \underline{p q^2} \text{ RO}$   
 existieren eigentlich gar nicht

5.)  $h_j = \sum_{k=0}^{p-1} e^{2\pi i j k / p} \hat{h}_k \quad \hat{=} \quad \underline{p \log p} \text{ RO}$

Ende der Rekonstruktion:

6.)  $f_w = R^* h(x) = \sum_{\substack{j,l \text{ mit} \\ w_{j,l}(x) \neq 0}} h_{j,l} w_{j,l}(x) \quad \text{Reidproj.}$   
 sind nur wenige  
 (eben die Streifen, über die  
 integriert wird!)

Rechenaufwand:

<offene Kiste, Skript Effiz. Algorithmen,  
 Anwendungen in der CT 9.3>

Schritte ① und ② : nur einmal  
 Schritte ③-⑥ : für jeden Datenatz } insgesamt  $\hat{=} \sim \underline{p q^2} \text{ RO} + p q \log p$

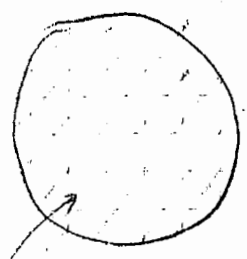
d.h. praktisch gleiche Rechenaufwand  
 ihre Größe ( laut Nat):

Frage bleibt: was ist mit ⑦? : insgesamt  $\underline{p q^2 + p q \log p} \text{ RO!}$

$\hat{f}_k$  im allg. nicht invertierbar! Denn:

$RR^*$  im allg. nicht inv. bar. denn  $RR^*$  ist Gramsche Matrix  
 der Funktionen  $w_{j,l}$ . Diese Fun. sind im allg. nicht lin.  
 unabhängig!

Grund:



$$\Rightarrow \sum_{k=1}^p w_{k,0} = 1 \quad \text{in } |x| < 1$$

$$\Rightarrow \sum_p w_{k,0} = \sum_c w_{k,c} \quad \forall k, l$$

$\Rightarrow$  lin. abh.

Scheiben sollen sich nicht überlappen!

! Es zeigt sich: lediglich  $\hat{J}_0$  ist invertierbar } Schritt 2!  
alle anderen nicht! (hier nicht!) } so also nicht möglich!

Abhilfe: Ersetze  $(\hat{J}_h)^{-1}$  durch  $\hat{J}_h^+ =$  "Moore-Penrose-Inverse"

Dem: zu lösen:  $\hat{g}_k = p \hat{J}_k \hat{h}_k$  <sup>vgl. Schritt 4.1!</sup> Dies ist lösbar, aber nicht eindeutig!

Die Moore-Penrose-Inverse nimmt halt irgendwie diese Lösungen!

$$\rightarrow \hat{h}_k = \hat{h}_k^+ + \hat{z}_k \quad \text{mit } \hat{z}_k \in \text{Ker}(\hat{J}_k)$$

$$h_k = h_k^+ + z_k$$

$$\underline{fw} = \underline{fw}^+ + \cancel{R^* z} = 0, \quad z = \begin{pmatrix} z_0 \\ \vdots \\ z_{p-1} \end{pmatrix}$$

$$\hat{J}_h \hat{z}_k = 0 \Leftrightarrow RR^* z = 0 \Leftrightarrow R^* z = 0$$

Zur folgenden: über die Injektivität feststellen:

### §6 Die SVD der Radon-Transformation

Hier:  $n=2$ .

$$\underline{R_\theta f(s)} := (Rf)(\theta, s) \quad \text{D(f) } \subset \mathbb{R} \times \mathbb{C} \times \mathbb{R}, \text{ da Bild?} \quad s \in [-1, +1]!$$

$$R_\theta : L_2(|x| < 1) \rightarrow L_2([-1, +1])$$

$$\Rightarrow R_{\theta}^* g(x) = g(\theta \cdot x)$$

Lemma 6.1:  $R_{\theta_1} R_{\theta_2}^* g(s) = \int_{-\sqrt{1-s^2}}^{+\sqrt{1-s^2}} g(s \cos \varphi + t \sin \varphi) dt$

mit  $\theta_1 \cdot \theta_2 =: \cos \varphi$ ,  $0 \leq \varphi \leq \pi$

d.h.  $\varphi$  ist  $\angle$  zwischen  $\theta_1$  und  $\theta_2$ !

Beweis:  $\mathbb{E} : \theta_1 = \begin{pmatrix} 0 \\ 1 \end{pmatrix} \Rightarrow \theta_2 = \begin{pmatrix} \sin \varphi \\ \cos \varphi \end{pmatrix}$

$$\begin{aligned} \Rightarrow R_{\theta_1} R_{\theta_2}^* g(s) &= \int_{\mathbb{R}^1} (R_{\theta_2}^* g)(s \theta_1 + t \theta_2) dt \\ &= \int_{\mathbb{R}^1} g(\theta_2 \cdot (s \theta_1 + t \theta_2)) dt = \int_{-\sqrt{1-s^2}}^{+\sqrt{1-s^2}} g(s \cos \varphi + t \sin \varphi) dt \end{aligned}$$

Tschebyscheff-Polynome 2. Art:  $U_m(s) := \frac{\sin(m+1)\varphi}{\sin \varphi}$ ,

mit  $\cos \varphi = s$ ,  $-1 \leq s \leq 1$

sind Polynome vom Grade  $m$  in  $s$  (Addit. Kosinusformel)

$$\int_{-1}^{+1} w(s) U_m(s) U_l(s) ds = \begin{cases} 0, & l \neq m \\ \frac{\pi}{2}, & l = m \end{cases} \Rightarrow \text{Orthogonal bzgl. Skalarprodukt } \int w(s) ds$$

$$w(s) := (1-s^2)^{1/2}$$

Lemma 6.2:  $R_{\theta_1} R_{\theta_2}^* U_m = U_m(\theta_1 \cdot \theta_2) w U_m$   
Winkelabhängigkeit

Beweis: (i) Wende Lemma 6.1. auf  $g := s^j t^{m-j}$  an  
 ( $j = 0, \dots, m; m = 0, 1, 2, \dots$ )

~~$\int_{-\sqrt{1-s^2}}^{+\sqrt{1-s^2}} s^j t^{m-j} dt = \begin{cases} 0 & \text{für } j \text{ ungerade} \\ c \cdot s^{j-1} t^{m-j} & \text{für } j \text{ gerade} \end{cases}$~~

$$\int_{-\sqrt{1-s^2}}^{+\sqrt{1-s^2}} s^j t^{m-j} dt = \begin{cases} 0 & \text{für } m-j \text{ ungerade} \\ \sim s^j \sqrt{1-s^2}^{m-j+1} & \text{für } m-j \text{ gerade} \end{cases} = \sqrt{1-s^2} P_m(s)$$

Polynom  
 m-ten Grades

(ii)  $g = U_m$

$$R_{\theta_1} R_{\theta_2}^*(s) = \int_{-\sqrt{1-s^2}}^{+\sqrt{1-s^2}} U_m(s \cos \varphi + t \sin \varphi) dt = \sqrt{1-s^2} P_m(s)$$

mit  $P_m$  Polynom vom Grade  $m$

Beh:  $P_m$  ist Tschebyscheff-Pol. 2. Art!

Bew:  $(R_{\theta_1} R_{\theta_2}^* U_m, U_\ell) = \int_{-1}^{+1} (\dots) ds$

(\*)

$$\int_{-1}^{+1} \sqrt{1-s^2} P_m(s) U_\ell(s) ds = 0 \text{ für } m < \ell$$

$\hat{=}$  inneres Prod. bzgl. Kernsf. für  $\sqrt{1-s^2}$

Beh:  $= 0$  gilt auch für  $m \geq \ell$ !

Bew:  $(R_{\theta_1} R_{\theta_2}^*)^* = R_{\theta_2} R_{\theta_1}^* \stackrel{\uparrow}{=} R_{\theta_1} R_{\theta_2}^*$   
siehe Lemma 6.1.

$\Rightarrow R_{\theta_1} R_{\theta_2}^*$  ist symmetr. Operator  
 (s.a.)

Also gilt (\*) auch mit  $l, m$  vertauscht, d.h.

$$(R_{\theta_1} R_{\theta_2}^* U_m, U_l) = 0 \quad \forall l \neq m$$

$$\Rightarrow R_{\theta_1} R_{\theta_2}^* U_m = \alpha_m(\theta_1, \theta_2) \sqrt{1-s^2} U_m$$

überprüfe  
das OR-System

$$\alpha_m(\theta_1, \theta_2) = \lim_{s \rightarrow 1} \frac{1}{\sqrt{1-s^2}} U_m(s) \int_{-\sqrt{1-s^2}}^{+\sqrt{1-s^2}} U_m(s \cos \varphi + t \sin \varphi) dt =$$

(mit  $\cos \varphi := \cos \theta_1 \cdot \theta_2$ )

$$= \frac{2 \cdot U_m(\theta_1 \cdot \theta_2)}{U_m(1)}$$

□

(07.02.91)

Letzte Std:  $R_{\theta_1} R_{\theta_2}^* U_m = \alpha_m(\theta_1, \theta_2) w U_m$   $w(s) = (1-s^2)^{1/2}$

$$\alpha_m(t) = \frac{2U_m(t)}{U_m(1)}$$

$$U_m(t) = \frac{\sin(m+1)\varphi}{\sin \varphi}, \quad \cos \varphi = t, \quad 0 \leq \varphi \leq \pi$$

$$U_m(1) = m+1$$

$L_2([-1, +1]; w^{-1})$  inneres Produkt  $\int_{-1}^{+1} \frac{1}{w} f \bar{g} ds =: (f, g)_{w^{-1}}$

$$R: L_2(|x| < 1) \rightarrow L_2([-1, +1], w^{-1})$$

Damit ändert sich die Adjungierte:

$$\underline{R^\#}: (R_\theta f, g)_{w^{-1}} = \int_{\mathbb{R}^1} \underbrace{f(s\theta + t\theta^\perp)}_x w^{-1}(s) dt g(s) ds =$$

$$= \int f(x) w^{-1}(x \cdot \theta) g(x \cdot \theta) dx = (f, R_\theta^\# g)_{L_2(|x| < 1)}$$



$$\text{d.h. } \underline{R^\# g(x) = (w^{-1}g)(x \cdot \theta)}$$

$$\text{Schritt: } \underline{R_{\theta}^\# g = R_{\theta}^\# (w^{-1}g)}$$

$$=: g' \text{ (od. } \tilde{g})$$

$$\Rightarrow \underline{R_{\theta}^\# (w g')} = R_{\theta}^\# g'$$

$$R_{\theta_1}^\# R_{\theta_2}^\# (w u_m) = d_m(\theta_1, \theta_2) w u_m$$

$$=: u_m \quad \quad \quad u_m$$

$$\Rightarrow \underline{R_{\theta_1}^\# R_{\theta_2}^\# u_m = d_m(\theta_1, \theta_2) u_m}$$

$$\underline{\text{Nun: } R : L_2(|x| < 1) \rightarrow L_2(\mathbb{Z}, w^{-1})}$$

$$(f, g)_{w^{-1}} = \int_{S^1} \int_{-1}^{+1} w^{-1} f \bar{g} \, ds \, d\theta$$

$$\underline{R^\# g(x) = \int_{S^1} w^{-1}(x \cdot \theta) g(\theta, x \cdot \theta) \, d\theta = \int_{S^1} R_{\theta}^\# g(x) \, d\theta}$$

Lemma 6.5: Der Operator  $RR^\#$  hat die Eigenfunktionen

$$g_{m,\ell}^{(\theta,s)} = c_m u_m^{(s)} e^{i\ell\varphi}, \quad \theta = \begin{pmatrix} \cos\varphi \\ \sin\varphi \end{pmatrix}$$

$$\text{mit Eigenwerten } G_{m,\ell}^2 = \frac{4\pi}{m+1} \quad (m=0,1,2,\dots)$$

$$\ell = -m, -m+2, \dots, m-2, m)$$

Beweis:

$$RR^\#(h u_m)(w, s) = R_w R^\#(h u_m)(s) =$$

$$(h = h(\theta))$$

$$= \left( R_w \int_{S^1} R_{\theta}^\# h u_m(x) \, d\theta \right) (s)$$

$$= \int_{S^1} (R_w R_{\theta}^\# h u_m)(s) \, d\theta$$

Weegen  $(R_\omega R_\theta^\# h_{um}) \stackrel{2.0.}{=} \alpha_m(\omega \cdot \theta) u_m(s) \cdot h(\theta)$  folgt:

$$\dots = \int_{S^1} \alpha_m(\omega \cdot \theta) u_m(s) h(\theta) d\theta = \underbrace{\int_{S^1} \alpha_m(\omega \cdot \theta) h(\theta) d\theta}_{=: (A_m h)(\omega)} u_m(s)$$

also:  $(A_m h)(\omega) = \int_{S^1} \alpha_m(\omega \cdot \theta) h(\theta) d\theta$

$$h(\theta) = e^{i\ell\varphi}, \quad \theta = \begin{pmatrix} \cos\varphi \\ \sin\varphi \end{pmatrix}, \quad \omega = \begin{pmatrix} \cos\psi \\ \sin\psi \end{pmatrix}$$

$$(A_m h)(\omega) = \int_0^{2\pi} \alpha_m(\cos(\varphi - \psi)) e^{i\ell\varphi} d\varphi$$

$\underbrace{\hspace{2cm}}_{=: \varphi'}$

$$= e^{i\ell\psi} \underbrace{\int_0^{2\pi} \alpha_m(\cos\varphi') e^{i\ell\varphi'} d\varphi'}_{=: \sigma_{me}^2}$$

$h(\omega)$

$$\Rightarrow RR^\# g_{me} = \sigma_{me}^2 g_{me}$$

$$g_{me}(\theta, s) = e^{i\ell\varphi} u_m(s)$$

$\varphi' \rightarrow \varphi' + \pi$   
gleiches Integral um  $\pi$  verschieben!

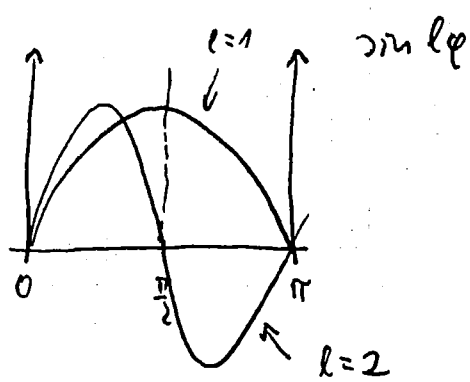
$$\sigma_{me}^2 = \int_0^\pi \alpha_m(\cos\varphi') e^{i\ell\varphi'} d\varphi' \cdot \left( 1 + \underbrace{e^{i\ell\pi}}_{(-1)^\ell} (-1)^m \right)$$

$$= \begin{cases} 0, & \text{falls } m+\ell \text{ ungerade} \\ 2 \int_0^\pi \alpha_m(\cos\varphi) e^{i\ell\varphi} d\varphi, & \text{falls } \ell+m \text{ gerade.} \end{cases}$$

m+l gerade:

$$\sigma_{me}^2 = 2 \int_0^\pi \alpha_m(\cos\varphi) e^{i\ell\varphi} d\varphi =$$

$$= \frac{4}{m+1} \int_0^\pi \frac{\sin((m+1)\varphi)}{\sin\varphi} (\cos\varphi + i\sin\varphi) d\varphi$$



bzgl.  $\frac{\pi}{2}$   
 gerade ( $l=1$ )  
 ungerade ( $l=2$ )  
 ...  
 $\int_0^\pi \cos m\varphi \cos n\varphi d\varphi = 0$  falls  
 $n \neq m$  gerade,  $\neq 0$ .

$m$  ungerade  $\Rightarrow \frac{\sin(m+1)\varphi}{\sin\varphi} = 2(\cos m\varphi + \cos(m-1)\varphi + \dots + \cos\varphi)$

$m$  gerade  $\Rightarrow \dots = 2(\cos m\varphi + \cos(m-2)\varphi + \dots + \cos\varphi) + 1$

$\Rightarrow \sigma_{ml}^2 = \dots = \int_0^\pi \cos^2 m\varphi d\varphi = \begin{cases} \pi, & \text{falls } m=0 \\ \frac{\pi}{2}, & \text{falls } m \neq 0 \end{cases}$

$\Rightarrow \sigma_{ml}^2 = \dots = \frac{4}{m+1} \pi$

$|l| > m : \sigma_{ml}^2 = 0$

SVD der Radon-Transformation:

$RR^\# g_{ml} = \sigma_{ml}^2 g_{ml} \quad , \quad g_{ml} = c_m e^{i l \varphi} u_m$

Normierungsforderung:  $c_m^{-2} = \int_0^{2\pi} \int_{-1}^1 \underbrace{w^{-1} w^2}_{w} u_m^2 ds d\varphi$   
 $= 2\pi \int_{-1}^1 (1-s^2)^{1/2} \frac{\sin^2(m\varphi)}{\sin\varphi} ds$

$(s = \cos\varphi)$

$= \dots = \pi^2$

$\Rightarrow c_m = \frac{1}{\pi}$

$f_{ml} = \frac{1}{\sigma_{ml}} R^\# g_{ml}$

$$\Rightarrow f_{me}(x) = \frac{1}{\sigma_{me}} \frac{1}{\pi} \int_0^{2\pi} e^{il\varphi} \mathcal{U}_m(x \cdot \vartheta) d\varphi, \quad \vartheta = \begin{pmatrix} \cos\varphi \\ \sin\varphi \end{pmatrix}$$

Dies sind (orthogonale) Polynome:

$$x = |x| \begin{pmatrix} \cos\varphi \\ \sin\varphi \end{pmatrix}$$

$$\begin{aligned} \Rightarrow f_{me}(x) &= \frac{1}{\pi \sigma_{me}} \int_0^{2\pi} e^{il\varphi} \mathcal{U}_m(|x| \cos(\varphi - \varphi')) d\varphi \\ &= \frac{e^{il\varphi'}}{\pi \sigma_{me}} \int_0^{2\pi} e^{il\varphi'} \mathcal{U}_m(|x| \cos\varphi') d\varphi' \end{aligned}$$

$f_{me}(|x|)$ ,  $f_{me}$  Polynome vom Grade  $m$

$$\Rightarrow f_{me}(x) = \frac{A_m}{\pi \sigma_{me}} e^{il\varphi(x)} f_{me}(|x|)$$

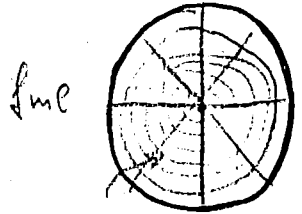
$$\Rightarrow Rf = \sum_{m=0}^{\infty} \sum_{l=-m}^m \sigma_{me} (f, f_{me}) f_{me}$$

$\Sigma'$ : Nur die Summanden mit  $l$  ungerade!  $\left( \sigma_{me}^2 = \frac{4\pi}{m+1} \right)$

$$R^{-1}g = \sum_{m=0}^{\infty} \sum_{l=-m}^m \frac{1}{\sigma_{me}} (g, f_{me}) f_{me}$$

← SVD  
des Radon-  
Transformation

Folgerung: Bei Verdopplung der Auflösung  $\Leftrightarrow$  Verdopplung von  $m$



$$\begin{aligned} m &= 6 \\ l &= 4 \end{aligned}$$

$\Rightarrow$  (b.w.)

Kreisförmige Nullstellen, 6 Stütz  
da Polynom 6. grade

wegen  $\sigma_{me} \sim \frac{1}{\sqrt{n}}$  folgt weiter:  $\Rightarrow$  Verdoppelung der  
Stabilität um Faktor  $\sqrt{2}$ .

$\Rightarrow$  will man die Auflösung verdoppeln, so muss man die Dosis  
verdoppeln.

**Übungen zur Vorlesung NUMERISCHE BILDVERARBEITUNG**

Übungsblatt 1 , Abgabe: 22.10.1990 , 15.00 Uhr, in den Kästen 58, 59

**Aufgabe 1:**Sei  $T$  der Cauchysche Hauptwert, also

$$Tf = \oint \frac{f(x)}{x} dx .$$

Zeigen Sie:

$$(a) \quad T'f = \left( \lim_{h \rightarrow 0} \left\{ \int_{|x| \geq h} \frac{f(x)}{x^2} + \frac{f(h)+f(-h)}{h} dx \right\} \right) -$$

$$(b) \quad Tf = \int \frac{f(x)-f(-x)}{2x} dx$$

$$(c) \quad \hat{T}(\xi) = -i \left(\frac{\pi}{2}\right)^{1/2} \operatorname{sgn} \xi$$

**Aufgabe 2:**Sei  $f \in \mathcal{S}(\mathbf{R}^n)$ . Zeigen Sie:

- (a) Ist  $f$  homogen vom Grade  $k$  (d.h.  $f(tx) = t^k f(x)$  für  $t \in \mathbf{R}^1$ ), so ist  $\hat{f}$  homogen vom Grade  $-k - n$ .
- (b) Ist  $f$  rotationsinvariant (d.h.  $f$  ist eine Funktion von  $|x|$ ), so ist auch  $\hat{f}$  rotationsinvariant.

**Aufgabe 3:**Sei  $f \in L_1(\mathbf{R}^n) = \{f : f \text{ meßbar, } \int |f| dx < \infty\}$ .Zeigen Sie:  $\hat{T}_f = T_{\hat{f}}$  mit

$$\hat{f}(\xi) = (2\pi)^{-n/2} \int e^{-ix\xi} f(x) dx$$

**Aufgabe 4:**

Sei

$$f(x) = \begin{cases} 1 & , \quad -1 \leq x_k \leq 1, \quad k = 1, \dots, n, \\ 0 & , \quad \text{sonst} \end{cases}$$

Berechnen Sie  $\hat{f}$ .

**Übungen zur Vorlesung NUMERISCHE BILDVERARBEITUNG**

Übungsblatt 2 , Abgabe: 29.10.1990 , 15.00 Uhr, in den Kästen 58, 59

**Aufgabe 5:**Für  $f \in \mathcal{S}(\mathbf{R}^n)$ ,  $r > 0$  sei  $f_r(x) = f(rx)$ . Für  $T \in \mathcal{S}'$  sei

$$T_r f = r^{-n} T f_{1/r} .$$

Zeigen Sie:

- 1)  $T_r \in \mathcal{S}'$
- 2)  $\delta = r^n \delta_r$
- 3)  $(T_r)^\wedge = r^{-n} (\hat{T})_{1/r}$

**Aufgabe 6:**Sei  $J_\nu$  die Bessel-Funktion 1. Art der Ordnung  $\nu$ , d.h.

$$J_\nu(x) = \left(\frac{x}{2}\right)^\nu \sum_{k=0}^{\infty} \frac{(-x^2/4)^k}{k! \Gamma(\nu + k + 1)} \quad , \nu \geq 0 .$$

Zeigen Sie: Ist  $f \in L_1(\mathbf{R}^n)$ ,  $n \geq 2$ , eine radiale Funktion (d.h.  $f(x) = f(|x|)$ ) so ist auch  $\hat{f}$  radial, und es gibt

$$\hat{f}(\rho) = \rho^{2-n} \int_0^\infty r J_{(n-2)/2}(r\rho) f(r) dr$$

Hinweis: Für  $n \geq 2$  und  $\Theta \in S^{n-1}$  gilt

$$\int_{S^{n-1}} e^{i\sigma\Theta\omega} d\omega = (2\pi)^{n/2} \sigma^{2-n} J_{(n-2)/2}(\sigma)$$

**Aufgabe 7:**Sei  $x \rightarrow x' = Ax + a$  eine affine Abbildung in  $\mathbf{R}^n$ , d.h.  $A$  ist eine nicht-singuläre  $(n, n)$ -Matrix und  $a \in \mathbf{R}^n$ . Sei  $f \in \mathcal{S}(\mathbf{R}^n)$  und  $F(x) := f(Ax + a)$ .

(a) Zeigen Sie:

$$\hat{F}(A^T \xi) = \frac{1}{\det(A)} e^{ia \cdot \xi} \hat{f}(\xi) .$$

(b)  $T \in \mathcal{S}'(\mathbf{R}^n)$  heißt radial, wenn für jede Rotation  $U$  und jeden  $f \in \mathcal{S}(\mathbf{R}^n)$  gilt

$$Tf = T(f \circ U) .$$

Zeigen Sie: Ist  $T$  radial, so auch  $\hat{T}$ .

**Übungen zur Vorlesung NUMERISCHE BILDVERARBEITUNG**

Übungsblatt 4 , Abgabe: 12.11.1990 , 15.00 Uhr, in den Kästen 58, 59

---

**Aufgabe 11:**

Zeigen Sie: Für  $h = \frac{\pi}{b}$  bilden die Funktionen

$$f_k(x) = h^{-n/2} \operatorname{sinc} b(x - hk), \quad k \in \mathbf{Z}^n$$

ein Orthonormalsystem in  $L_2(\mathbf{R}^n)$ .

**Aufgabe 12:**

Zeigen Sie mit Hilfe der Reihe von Aufgabe 6:

$$\int_0^x t^\nu J_{\nu-1}(t) dt = x^\nu J_\nu(x), \quad \nu \geq 1.$$

**Aufgabe 13:**

Sei  $S_h f$  die sinc-Reihe für  $f \in \mathcal{S}(\mathbf{R}^n)$ , d.h.

$$(S_h f)(x) = \sum_{k \in \mathbf{Z}^n} f(hk) \operatorname{sinc} \frac{\pi}{h}(x - hk).$$

Zeigen Sie:

$$\int (S_h f)(x) dx = h^n \sum_{k \in \mathbf{Z}^n} f(hk)$$

**Aufgabe 14:**

Sei für  $\varepsilon > 0$ ,  $b > 0$

$$f(x) = e^{-\varepsilon^2 x^2} \sin b x, \quad x \in \mathbf{R}^1.$$

Zeigen Sie:

$$\hat{f}(\xi) = \frac{1}{\sqrt{2} 2i\varepsilon} \left( e^{-(\xi-b)^2/2\varepsilon^2} - e^{-(\xi+b)^2/2\varepsilon^2} \right)$$



**Übungen zur Vorlesung NUMERISCHE BILDVERARBEITUNG**

Übungsblatt 5 , Abgabe: 19.11.1990 , 15.00 Uhr, in den Kästen 58, 59

---

**Aufgabe 16:**

Sei  $K = \{\xi \in \mathbf{R}^2 : |\xi_1| + |\xi_2| \leq b\}$ .

- (a) Bestimmen Sie das quadratische achsenparallele Gitter  $L$  maximaler Effizienz für  $K$  und geben Sie  $\eta(L, K)$  an.
- (b) Geben Sie ein Gitter  $L$  mit  $\eta(L, K) = 1$  an.

**Aufgabe 17:**

Wie Aufgabe 16, aber mit

$$K = \{\xi \in \mathbf{R}^2 : |\xi_2| \leq b, |\xi_1| \leq |\xi_2|\}.$$

**Aufgabe 18:**

Sei  $L$  ein Gitter in  $\mathbf{R}^n$ . Zeigen Sie:

- (a)  $\hat{L} = \{\xi \in \mathbf{R}^n : \frac{1}{2\pi} \xi \cdot x \in \mathbf{Z}, \quad \forall x \in L\}$
- (b)  $L$  hat die Periode  $p \in \mathbf{R}^n$  (d.h.  $L + p = L$ ) genau dann, wenn  $p \in \hat{L}$ .
- (c) Sei  $n_L$  die Anzahl der Punkte von  $L$  pro Einheitsvolumen. Dann ist

$$n_L n_{\hat{L}} = (2\pi)^{-n}.$$

**Aufgabe 19:**

Sei  $f \in L^2(\mathbf{R}^n)$   $b$ -bandbeschränkt.

- (a) Zeigen Sie: Ist  $h < \frac{\pi}{b}$ , so gibt es eine von  $x, h, f$  unabhängige Zahl  $C$  mit

$$|f(x)| \leq C \max_{k \in \mathbf{Z}^n} |f(hk)|.$$

- (b) Gilt dies auch für  $h = \frac{\pi}{b}$  ?
- (c) Wie lautet die Aussage (a) für ein beliebiges Gitter  $L$ ?

**Übungen zur Vorlesung NUMERISCHE BILDVERARBEITUNG**

Übungsblatt 6 , Abgabe: 26.11.1990 , 15.00 Uhr, in den Kästen 58, 59

**Aufgabe 20:**

Sei

dft(float \* x, int p, int sign)

bzw.

Procedure dft(VAR X : ARRAY OF REAL;CARDINAL p; INTEGER sign);

ein Programm für die eindimensionale diskrete Fourier-Transformation der Länge  $p$ , d.h. das Feld  $x[0], \dots, x[p-1]$  wird für  $\text{sign} = 1$  mit

$$\hat{x}[k] = \frac{1}{p} \sum_{j=0}^{p-1} e^{-2\pi i j k / p} x[j]$$

und für  $\text{sign} = -1$  mit

$$\hat{x}[k] = \sum_{j=0}^{p-1} e^{2\pi i j k / p} x[j]$$

überschrieben. Schreiben Sie mit Hilfe von dft ein Programm

dft2(float \* x, int p, int sign)

bzw.

```
Procedure dft2(VAR x : ARRAY[1..MAX,1..MAX]
  OF REAL;CARDINAL p;INTEGER sign);
```

zur zweidimensionalen Fourier-Transformation der Länge  $p$ .**Aufgabe 21:**

Schreiben Sie unter Benutzung der Programme der Aufgabe 20 Programme

conv(float \* y, float \* w, float \* z, int p)

bzw.

Procedure conv(VAR x,w,z : ARRAY OF REAL;CARDINAL p)

und

conv2(float \*\* y, float \*\* w, float \*\* z, int p)

bzw.

```
Procedure conv2(VAR y,w,z : ARRAY[1..MAX,1..MAX]
  OF REAL, CARDINAL p);
```

zur ein- bzw. zweidimensionalen Faltung der Länge  $p$  ohne wrap-around-Fehler.**Aufgabe 22:**Sei  $z = w * y$  eine nicht notwendig zyklische Faltung der Länge  $p$  in  $n$  Dimensionen. Sie

**Übungen zur Vorlesung NUMERISCHE BILDVERARBEITUNG**

Übungsblatt 7 , Abgabe: 03.12.1990 , 15.00 Uhr, in den Kästen 58, 59

**Aufgabe 24:**Sei  $f = (f_1, \dots, f_\nu)$  ein Bild mit

$$E f_k = \mu, \quad \rho(f_k, f_{k+1}) = \rho.$$

Sei  $\hat{f}_{k+1} = \alpha f_k + \beta$  eine Schätzung für  $f_{k+1}$  und  $d_k = \hat{f}_k - f_k$ .

Zeigen Sie:

- (a)  $E(d_{k+1}^2)$  ist minimal für  $\alpha = \rho$ ,  $\beta = (1 - \rho)\mu$ .
- (b) Sind  $\alpha, \beta$  wie in a) gewählt, so sind  $d_k, d_{k+1}$  unkorreliert.
- (c) Sind  $\alpha, \beta$  wie in a) gewählt, so ist  $E d_{k+1} = 0$ .

**Aufgabe 25:**Die Transformation  $g = Uf$  mit der  $(N, N)$ -Matrix

$$U_{kl} = \sqrt{\frac{2}{N+1}} \sin \frac{k\ell\pi}{N+1}, \quad k, \ell = 1, \dots, N$$

heißt Sinus-Transformation.

- (a) Zeigen Sie, daß  $U$  unitär ist.
- (b) Zeigen Sie, daß  $U$  die Karhunen-Loève-Transformation für die Kovarianzmatrix

$$K = \begin{pmatrix} 1 & \rho & & & \\ \rho & 1 & \rho & & \\ & \rho & 1 & \rho & \\ & & & \ddots & \\ & & & & \rho & 1 \end{pmatrix}, \quad 0 \leq |\rho| \leq \frac{1}{2}$$

ist. Bestätigen Sie, daß  $K$  positiv definit ist.

- (c) Schreiben Sie mit Hilfe von dft ein Programm dst zur schnellen Sinus-Transformation.

## Übungen zur Vorlesung NUMERISCHE BILDVERARBEITUNG

Übungsblatt 8 , Abgabe: 10.12.1990 , 15.00 Uhr, in den Kästen 58, 59

### Aufgabe 28:

Sei  $H_p$  die Hadamard-Matrix der Ordnung  $N = 2^p$  aus Aufgabe 26 (b). Zeilen und Spalten von  $H_p$  seien mit den Nummern  $0, \dots, N-1$  bezeichnet. Die Dualdarstellung von  $i \in \{0, \dots, N-1\}$  sei  $(i_{p-1}, \dots, i_0)$ , also  $i = i_0 + 2i_1 + \dots + 2^{p-1}i_{p-1}$  mit  $i_\ell \in \{0, 1\}$ .

- (a) Zeigen Sie, daß  $H_p$  für jedes  $i \in \{0, \dots, N-1\}$  genau eine Zeile mit genau  $i$  Zeichenwechslern gibt.
- (b) Die Abbildung  $z$  von  $\{0, \dots, N-1\}$  in sich selbst sei erklärt durch

$$\begin{aligned} z_0(i) &= i_{p-1} \\ z_\ell(i) &= i_{p-\ell} + i_{p-\ell-1} \pmod{2}, \quad \ell = 1, \dots, p-1. \end{aligned}$$

Zeigen Sie, daß  $H_p$  in Zeile  $z(i)$  genau  $i$  Zeichenwechsel hat.

- (c) Sei  $f = (f_0, \dots, f_{N-1})^T$ ,  $g = (g_0, \dots, g_{N-1})^T$  und  $g = H_p f$ .

Zeigen Sie, daß

$$g_i = \sum_{j=0}^{N-1} (-1)^{i_0 j_0 + \dots + i_{p-1} j_{p-1}} f_j, \quad i = 0, \dots, N-1.$$

- (d) Sei  $H = H_p \otimes H_p$  die zweidimensionale Hadamard-Matrix,

$$f = (f_{00}, f_{01}, \dots, f_{N-1, N-1})^T,$$

$$g = (g_{00}, g_{01}, \dots, g_{N-1, N-1})^T$$

und  $g = Hf$ .

Wie lautet die (c) entsprechende Formel?

### Aufgabe 29:

Sei  $K$  die  $(N, N)$ -Matrix

$$K = \begin{pmatrix} 1 & \rho & \rho^2 & \dots & \rho^{N-1} \\ \rho & 1 & \rho & \dots & \rho^{N-2} \\ \vdots & \vdots & \vdots & \ddots & \vdots \\ \rho^{N-1} & \dots & \dots & \dots & 1 \end{pmatrix}$$

- (a) Zeigen Sie, daß

$$\det(K) = (1 - \rho^2)^{N-1}, \quad N = 1, 2, \dots$$

- (b) Schließen Sie aus (a), daß  $K$  für  $|\rho| < 1$  positiv definit ist.

## Übungen zur Vorlesung NUMERISCHE BILDVERARBEITUNG

Übungsblatt 9 , Abgabe: 17.12.1990 , 15.00 Uhr, in den Kästen 58, 59

**Aufgabe 30:**Sei  $\phi \in C^\infty[0, \infty)$  eine Funktion mit folgenden Eigenschaften:

1)

$$\int_0^\infty |\phi(s)s| ds < \infty, \quad \int_0^\infty \phi(s)s ds \neq 0.$$

2) Gilt für ein integrierbares  $h$  mit kompaktem Träger

$$\int_0^\infty \phi(\rho s)h(s) ds = 0, \quad 0 \leq \rho < \infty,$$

so ist  $h = 0$ .

Die Funktion  $\phi(s) = e^{-s}$  ist ein Beispiel einer solchen Funktion. Sei  $f_0$  eine radiale Funktion in  $\mathbb{R}^2$  mit  $|\hat{f}_0(\xi)| = \phi(|\xi|)$  und sei  $F$  die Menge aller Funktionen, die durch eine affine Transformation aus  $f_0$  hervorgehen.

Zeigen Sie:

- (a) Sind  $f, g \in F$  und ist  $N_f = N_g$ , so geht  $f$  aus  $g$  durch eine Bewegung hervor.
- (b) Sind  $f, g \in F$  und ist  $P_f = P_g$ , so geht  $f$  aus  $g$  durch Streckung, eventuell Spiegelung, eventuell Punktspiegelung, und eine Translation hervor.
- (c)  $T_f$  ist konstant auf  $F$ .

Hinweis: Jede  $(n, n)$ -Matrix  $A$  läßt sich in der Form  $A = UDV$  schreiben mit unitären Matrizen  $U, V$  und einer Diagonalmatrix  $D$  mit nichtnegativen Elementen.

**Aufgabe 31:**

- (a) Sei  $f \in \mathcal{S}(\mathbb{R}^2)$ . Sei  $(Rf)^\wedge$  die eindimensionale Fourier-Transformation von  $Rf$  bezüglich des zweiten Arguments, und sei  $\hat{f}$  die zweidimensionale Fourier-Transformation von  $f$ .

Zeigen Sie:

$$(Rf)^\wedge(\Theta, \sigma) = (2\pi)^{1/2} \hat{f}(\sigma\Theta), \quad \sigma \in \mathbb{R}^1, \quad \Theta \in \mathcal{S}^1.$$

- (b) Benutzen Sie (a), um einen Algorithmus zur Suche nach Geraden in einem  $N \times N$ -Bild zu konstruieren, welcher mit  $O(N^2 \log N)$  Operationen auskommt.

interpolierte.

ges.  $f$  auf äquidistanten Gitterges.  $\int (r, \theta), r \in [-1, 1]$   
 $\theta \in [-\pi, \pi]$

## Übungen zur Vorlesung NUMERISCHE BILDVERARBEITUNG

Übungsblatt 10 , Abgabe: 07.01.1991 , 15.00 Uhr, in den Kästen 58, 59

### Aufgabe 32:

Seien  $\mu_k(f)$  die zentrierten Momente von  $f$ .

Zeigen Sie, daß

$$\rho_2(f) = (\mu_{20}(f) - \mu_{02}(f))^2 + 4\mu_{11}^2(f)$$

invariant gegenüber Bewegungen ist.

### Aufgabe 33:

Sei  $\Gamma : x = \gamma(s)$ ,  $0 \leq s \leq L$ , eine zweimal stetig differenzierbare Kurve im  $\mathbb{R}^2$  ohne singuläre Punkte. Der Parameter  $s$  sei die Bogenlänge. Sei  $\phi(s)$  der (kleinere) Winkel zwischen der Tangente an  $\Gamma$  in  $\gamma(s)$  und einer festen Geraden, und sei  $k(s) = \left| \frac{d}{ds} \phi(s) \right|$  die Krümmung von  $\Gamma$  in  $\gamma(s)$ . Sei

$$\hat{k}_\ell = \int_0^L k(s) e^{-2\pi i \ell s / L} ds, \quad \ell \in \mathbb{Z}$$

- (a) Drücken Sie  $\hat{k}_\ell$  durch  $\gamma$  aus.  
 (b) Zeigen Sie, daß  $\hat{k}_\ell$  affin invariant ist.

### Aufgabe 34:

Für  $p > 0$  gerade sei  $\Gamma$  der Polygonzug mit  $p$  Ecken  $a_0, \dots, a_{p-1}$ , der für  $p = 8$  und  $p = 16$  unten abgebildet ist.

- (a) Berechnen Sie die Fourier-Deskriptoren  $|\hat{a}_k|$ ,  $k = 0, \dots, p-1$  von  $\Gamma$ .  
 (b) Zeigen Sie: Sind  $|\hat{b}_k|$  die Fourier-Deskriptoren eines weiteren Polygonzugs  $\Gamma'$  mit  $p$  Ecken und ist  $|\hat{b}_k| = |\hat{a}_k|$ ,  $k = 0, \dots, p-1$ , so liegen die Ecken von  $\Gamma'$  je zur Hälfte auf zwei konzentrischen Kreisen mit Radius  $\rho$  zwischen 1 und  $r$  einschließlich. Hat einer der Kreise den Radius 1 oder  $r$ , so stimmen  $\Gamma$  und  $\Gamma'$  bis auf Rotation überein.

# NUMERISCHE BILDVERARBEITUNG

Übungsblatt 11 , Abgabe: 14.1.1991 , 15.00 Uhr

---

## Aufgabe 35:

Sei  $F = G = L_2(\mathbf{R}^n)$  und  $A$  der Operator aus Aufgabe 10, d.h.

$$(Af)(x) = \int_0^{\Delta t} f(U(t)x) dt .$$

Zeigen Sie, daß  $A$  stetig ist, und untersuchen Sie die Gleichung  $Af = g$  auf Schlechtgestellttheit.

## Aufgabe 36:

Sei  $f$  eine radiale Funktion in  $\mathbf{R}^2$ , d.h.  $f(x) = F(|x|)$ . Sei  $R$  die Radon-Transformation. Zeigen Sie:

$$(Rf)(\theta, s) = 2 \int_{|s|}^{\infty} \frac{F(u)u \, du}{\sqrt{u^2 - s^2}} .$$

## Aufgabe 37:

Sei  $f_r(x) = f(rx)$  und  $R$  die Radon-Transformation.

a) Zeigen Sie:

$$Rf_r(\theta, s) = \frac{1}{r} (Rf)(\theta, sr) .$$

b) Schließen Sie aus (a): Es gibt eine Folge  $(f_k)_{k=1,2,\dots}$  in  $C_0^\infty(\mathbf{R}^2)$  mit

$$\|f_k\|_{L_2(|x|<1)} = 1 , \quad \|Rf_k\|_{L_2(S^1 \times \mathbf{R}^1)} \rightarrow 0$$

für  $k \rightarrow \infty$ .

Aufgabe 35: Sei  $F = G = L_2(\mathbb{R}^n)$  und  $A$  der Operator aus Aufgabe 10, d.h.

$$(Af)(x) = \int_0^{\Delta t} f(U(t)x) dt.$$

Zeigen Sie, dass  $A$  stetig ist, und untersuchen Sie die Gleichung  $Af = g$  auf Solvabilität.

Aufgabe 36: Sei  $f$  eine radiale Funktion in  $\mathbb{R}^2$ , d.h.  $f(x) = F(|x|)$ .

Sei  $R$  die Radon-Transformation. Zeigen Sie:

$$(Rf)(0, \lambda) = \frac{2}{\pi} \int_{|\lambda|}^{\infty} \frac{F(u) u du}{\sqrt{u^2 - \lambda^2}}$$

Aufgabe 37: Sei  $f_r(x) = f(rx)$  und  $R$  die Radon-Transformation.

(a) Zeigen Sie:

$$Rf_r(0, \lambda) = \frac{1}{r} (Rf)(0, r\lambda)$$

(b) Schätzen Sie aus (a): Es gibt eine Folge  $(f_k)_{k=1,2,\dots}$  in  $C_0^\infty(\mathbb{R}^2)$  mit

$$\|f_k\|_{L_2(\mathbb{R}^2)} = 1, \quad \|Rf_k\|_{L_2(S^1 \times \mathbb{R}^1)} \rightarrow 0$$

für  $k \rightarrow \infty$ .



ANTRAG AUF JOBNUMMERN FÜR PROGRAMMIERKURSE

(bitte möglichst mindestens 8 Arbeitstage  
vor Kursbeginn im Dispatch abgeben)

Vorlesungsnummer : VNR = '152177',  
Programmiersprache : TITEL = 'Numerische Bildverarbeitung',  
Semester : SEM = 'WS 90/91',  
Anzahl : ANZ = \_\_\_\_\_, Anf.-nummer : ANF = \_\_\_\_\_,  
Dozent (Name) : DOZ = 'Prof. Dr. F. Natterer',  
(Ben.-Kennung): DOZID = 'ONM 70', ONM 29  
(Telefon) : DOZTEL = '3792.', 3795

- Es soll benutzt werden (bitte JA oder NEIN eintragen):

MVS = 'JA', CMS = 'JA', UNIX = '\_\_\_\_\_',

- Falls CMS='JA' oder UNIX='JA': Testmaschine mit Benutzerkennung Zxy000 einrichten?

(JA oder NEIN) TEST = 'JA',

falls 'JA', Fachnummer: TBOX = 'M01',

- Falls CMS = 'JA': Gemeinsame D-Platte zuordnen, z.B. für Beispiele, Aufgaben usw. (falls ja, bitte Besitzer und virtuelle Adresse an dessen Maschine eintragen)?

Ben.-Kennung (oder 'TEST'): DDINH = 'TEST',

virt. Adresse : DDADR = '\_\_\_\_\_',

- Falls CMS = 'JA': Welche Compiler-Umgebung soll vorwiegend benutzt werden (z.B. PL/I, FORTRAN, PASCAL, LISP)?

ENV = 'C',

---

(Unterschrift des Dozenten, Datum)

Die folgenden Angaben werden vom Rechenzentrum eingetragen:

Kursbuchstaben : KBU = '\_\_\_\_\_',

Fächerbuchstabe(n): BUCHST = '\_\_\_\_\_';

Ausgehändigt am \_\_\_\_\_ an \_\_\_\_\_

Do 9-11 Sitzungszimmer

Nr.	NAME	NEBENFACH	SEMESTER
1			
2			
3			
4			
5			
6			
7			
8			
9			
10			
11			
12			
13			
14			
15			
16			
17			
18			
19			
20			

Fr 11-13 SR 8 BK 57

Nr.	NAME	NEBENFACH	SEMESTER
1	Oliver Kishner	Biologie	8
2	Michael Brink	Physik	9
3	Andreas Schmidt	Astronomie	11
4	NORBERT SCHULTZ WULTER	INFORM	8
5	Oliver Dorn	Physik	13
6	Birgitta Wiemann	Informatik	5
7	Holmut Sielsoth	Physik	5
8	Volker Hartung	Informatik	10
9	Janik Schmidt	"	5
10	Andi Seidlitz	"	"
11	Stefan Grom	"	"
12	Carsten Hoffmann	"	"
13	Carsten Geyer-Michaelis	IT	"
14			
15			
16			
17			
18			
19			

Nr.	NAME	NEBENFACH	SEMESTER
1	Bünkers, Christof	Info.	7
2	Humburg, Michael	"	"
3	Schulte, Jörn	"	4
4	Ott, Gisbert	"	"
5	Oliver, Marcel	Physik	7
6	Ulla Meyer	Logik	
7	Upp, Andreas	Physik	9
8	Meyer, Thomas	Informatik	8
9	Dingert, Andrea	"	8
10	Hastings, Raymond	Info	7
11	Spiegel, Herman	Info	7
12	Junsthövel Dirk	Info	8
13	Siegmann, Anette	Info	19
14	Kemper, Peter	Info	5
15	Fronius, Bernhard	Info	5
16	Kwasniok, Frank	Physik	7
17	Küsse, Martin	Physik	7
18	Dieses, Thomas	Info	5
19			

we conclude that the sample is chemically inhomogeneous, that the  $\text{Li}^-$  comes from the same source as  $\text{Na}^-$ , and that the mass-91 ions come from a different source than either  $\text{Na}^-$  or  $\text{Li}^-$ . This same argument holds for several other species as well. The peaks associated with PS generally have <1% coincidence with  $\text{Na}^-$  whereas those associated with NaF have >5% coincidence with  $\text{Na}^-$  (Fig. 4).

For a more precise comparison between the two groups, one can also attempt to fit the experimental data to the model. Given that the sample is composed of  $\sim 0.5\text{-}\mu\text{m}$  NaF crystals on PS and that the coverage of these crystals on the PS surface is  $\sim 3\%$ , one finds that  $P_{\text{homo}}(\text{M}^+, \text{Na}^-)$ , where  $\text{M}^+$  is an arbitrary mass ion, is a factor of  $\sim 70$  greater than  $P_{\text{in}}(\text{M}^+, \text{Na}^-)$ . In Fig. 4,  $P_{\text{in}}(\text{M}^+, \text{Na}^-)$  is represented by the group of points associated with PS, whereas  $P_{\text{homo}}(\text{M}^+, \text{Na}^-)$  is represented by the group of points associated with NaF. From the plot, one observes that  $\%_{\text{homo}}(\text{M}^+, \text{Na}^-)$  is only a factor of 15 greater than  $\%_{\text{in}}(\text{M}^+, \text{Na}^-)$ . This factor is lower than that predicted by the model because the NaF crystals are not squares as the model assumes. As noted earlier, irregularly shaped NaF crystals lead to a longer interface between the NaF and the PS and larger values for  $\%_{\text{in}}(\text{M}^+, \text{Na}^-)$  than are expected by the model. Nevertheless, the difference in the percent coincidences of more than an order of magnitude between the two groups supports the conclusion that the polystyrene is indeed spatially well separated from the NaF.

This example demonstrates the use of coincidence counting with TOF mass spectroscopy in the analysis of surfaces for chemical homogeneity at the 100-nm level. In principle, the technique should have an ultimate resolution of about 10 nm, that is, the diameter of the sample spot addressed by an individual primary ion (9). In practice, the resolution limit is set by the length of the interface of highly irregularly shaped inhomogeneities in the sample. The coincidence spectra may also be useful in revealing chemical relations between secondary ions and in the separation of mass spectrometric signal from background. Further, coincidence counting may be useful in examining the kinetic energy relations of secondary ions and the relation of secondary ions to secondary electrons.

#### REFERENCES AND NOTES

1. L. Schmidt and H. Jungclas, *Lect. Notes Phys.* **269**, 234 (1986).
2. A. Hedin, P. Hakansson, B. U. R. Sundqvist, *Int. J. Mass Spectrom. Ion Processes* **77**, 123 (1987).
3. N. Furstenaue, *Z. Naturforsch.* **33a**, 563 (1978).
4. W. Knippelberg, F. R. Krueger, G. Weiss, K. Wien, *ibid.* **32a**, 711 (1977).
5. R. D. Macfarlane, *Anal. Chem.* **55**, 1247A (1983).

6. L. Q. Huang, R. J. Conzemius, G. A. Junk, R. S. Houk, *Int. J. Mass Spectrom. Ion Processes* **90**, 85 (1989).
7. S. Della Negra, D. Jacquet, I. Lorthiois, Y. Le Beyec, *Int. J. Mass Spectrom. Ion Phys.* **53**, 215 (1983).
8. W. R. Summers and E. A. Schweikert, *Rev. Sci. Instrum.* **57**, 692 (1986).
9. K. Wien, *Lect. Notes Phys.* **269**, 1 (1986).

10. G. Bolbach et al., *Nucl. Instrum. Methods Phys. Res.* **B30**, 74 (1988).
11. E. Festa and R. Sellem, *Nucl. Instrum. Methods* **188**, 99 (1981).
12. We thank C. H. Spiegelman of the Department of Statistics at Texas A&M University for consultation on the statistical models described above.

12 December 1989; accepted 4 April 1990

## Image Reconstruction of the Interior of Bodies That Diffuse Radiation

J. R. SINGER, F. ALBERTO GRÜNBAUM, PHILIP KOHN, JORGE PASSAMANI ZUBELLI

A method for reconstructing images from projections is described. The unique aspect of the procedure is that the reconstruction of the internal structure can be carried out for objects that diffuse the incident radiation. The method may be used with photons, phonons, neutrons, and many other kinds of radiation. The procedure has applications to medical imaging, industrial imaging, and geophysical imaging.

**I**N THIS REPORT WE DESCRIBE A PROCEDURE to determine and display images of the internal structure of objects that diffuse radiation. Such objects are members of a large class. For example, the human body diffuses infrared radiation, ultrasonic radiation, and neutrons. Almost all solids are also in this class. It is difficult to specify a substance in which diffusion along with absorption does not occur for some form of radiation.

We began studying the transmission of infrared laser beams through animal tissues. The projections of diffusely transmitted radiation could be observed by silicon detector arrays and displayed on a video screen. For tissues up to about 2 cm thick, we could observe shadowgraphs of internal structures. Thicker tissues produced fuzzier shadowgraphs until the internal structures became difficult to delineate. Conventional techniques for reconstructing multiple projections by Cormack (1), Hounsfield (2), Boyd (3), and others for application to computer tomography were not helpful in reconstructing our diffused projections. We did observe that considerable information about internal structures existed within these projections. This observation prompted our research into methods of reconstructing internal images of objects utilizing a large collection of shadowgraphs.

The problem was to develop a method of image reconstruction that could utilize the diffused image projections and reconstruct

internal features of the diffusing object. The simplest case is a homogeneous slab with no internal structure with a particle beam directed at the face of the slab. This ideal example has been completely solved by Feynman and Hibbs (4). However, imaging the interior of a homogeneous body provides minimal information because there is no interior structure. In imaging more complex objects, we use the Feynman concept of summing the emergent particles over all possible paths (5). The resultant pattern of emergent particles will therefore contain the "history" of these paths.

To reconstruct the interior structure of an object containing inhomogeneities, we make the following assumptions:

1) Divide the object into volume elements (voxels); set the size of the voxels to be the desired resolution. (When dealing with the two-dimensional case, each element is termed a pixel.)

2) The particle beam enters the object at a series of points sequentially in time.

3) The particles of the beam may enter and leave each voxel, if not annihilated by absorption within the voxel. The absorption probability is  $\nu_{ijk}$  per voxel, and the survival probability is  $w_{ijk}$  per voxel, where  $w_{ijk} = 1 - \nu_{ijk}$ . The scattered probabilities for each voxel are  $f_{ijk}$  = forward scatter probability,  $b_{ijk}$  = backward scatter probability,  $s_{ijk}$  = sideways scatter probability, and we assume that  $b_{ijk} = 1 - 4s_{ijk} - f_{ijk}$ . The probability of a forward scatter is given by  $w_{ijk} \cdot f_{ijk}$ ; the probability of a backward scatter is  $w_{ijk} \cdot b_{ijk}$ ; the probability of a sideways scatter is  $w_{ijk} \cdot s_{ijk}$ .

4) For each voxel we provide the variables  $w$ ,  $f$ ,  $b$ , and  $s$ . As pointed out above, these reduce to three variables.

J. R. Singer, Electrical Engineering and Computer Science, and Biophysics Departments, University of California, Berkeley, CA 94720.  
F. A. Grünbaum and J. P. Zubelli, Mathematics Department, University of California, Berkeley, CA 94720.  
P. Kohn, International Computer Sciences Institute, University of California, Berkeley, CA 94720.

Eigenschaften der Fouriers-Transformation

$$(\mathcal{D}^\alpha f)^\wedge = i^\alpha \xi^\alpha \hat{f}$$

$$(x^\alpha f)^\wedge = i^{|\alpha|} \partial^\alpha \hat{f}$$

$$r > 0: \mathcal{J}_r f(x) = f(1/x)$$

$$\begin{aligned} \hat{\mathcal{J}}_r f(\xi) &= (2\pi)^{-n/2} \int_{\mathbb{R}^n} e^{-ix\xi} f(1/x) dx, \quad r x = x' \\ &= (2\pi)^{-n/2} r^{-n} \int_{\mathbb{R}^n} e^{-ix'\xi/r} f(x'/r) dx' = r^{-n} \hat{f}\left(\frac{\xi}{r}\right) \end{aligned}$$

$$\hat{\mathcal{J}}_\varepsilon f = (2\pi)^{-n/2} \int_{\mathbb{R}^n} e^{ix\xi} f(x+\varepsilon) dx$$

c)  $f, g \in \mathcal{S}, (f * g)(x) := \int_{\mathbb{R}^n} f(x-y)g(y) dy \Rightarrow f * g \in \mathcal{S}$

$$\begin{aligned} (f * g)^\wedge(\xi) &= (2\pi)^{-n/2} \int_{\mathbb{R}^n} e^{-ix\xi} \int_{\mathbb{R}^n} f(x-y)g(y) dy dx \\ &= (2\pi)^{-n/2} \int_{\mathbb{R}^n} g(y) \int_{\mathbb{R}^n} e^{-ix\xi} f(x-y) dx dy \\ &= (2\pi)^{-n/2} \int_{\mathbb{R}^n} g(y) e^{-iy\xi} \hat{f}(\xi) dy \\ &= (2\pi)^{n/2} \hat{f}(\xi) \hat{g}(\xi) \end{aligned}$$

Zusatz: Die Fouriers-Transformation und die Inverse FT bilden ein Paar auf  $\mathcal{S}$  ab, und ergibt:  $(\hat{\hat{f}})^\wedge = f = (\hat{\hat{f}})^\wedge, f \in \mathcal{S}$

Beweis: (i)  $f \in \mathcal{S} \Rightarrow \hat{f} \in \mathcal{S}$

$$x^\beta \mathcal{D}^\alpha \hat{f} = (\mathcal{D}^\beta x^\alpha f)^\wedge \text{ beschränkt.}$$

$$(ii) (\hat{\hat{f}})^\wedge = f$$

$$f * g \in \mathcal{S} \Rightarrow \int_{\mathbb{R}^n} \int_{\mathbb{R}^n} g(\xi) \hat{f}(\xi) e^{ix\xi} d\xi = \int_{\mathbb{R}^n} \hat{g}(y) f(x+y) dy$$

$$\begin{aligned} \int_{\mathbb{R}^n} \int_{\mathbb{R}^n} g(\xi) \hat{f}(\xi) e^{ix\xi} d\xi &= \int_{\mathbb{R}^n} \int_{\mathbb{R}^n} g(\xi) \int_{\mathbb{R}^n} f(y) e^{-iy\xi} dy e^{ix\xi} d\xi \\ &= \int_{\mathbb{R}^n} \int_{\mathbb{R}^n} g(\xi) f(y) e^{i(x-y)\xi} d\xi dy \\ &= \int_{\mathbb{R}^n} \hat{g}(y) f(x+y) dy \end{aligned}$$

$$g_\varepsilon(x) = g(x)$$

$$g_\varepsilon^\wedge(\xi) = e^{-\varepsilon|\xi|^2} \hat{g}\left(\frac{\xi}{\varepsilon}\right)$$

$$\Rightarrow \int_{\mathbb{R}^n} g_\varepsilon(\xi) \hat{f}(\xi) e^{ix\xi} d\xi = \int_{\mathbb{R}^n} \hat{g}\left(\frac{y}{\varepsilon}\right) f(x+y) dy$$

$$\Rightarrow \int_{\mathbb{R}^n} \hat{g}(y) f(x+y) dy$$

$$g = e^{-x^2/2} \Rightarrow \int_{\mathbb{R}^n} e^{-\xi^2/2} \hat{f}(\xi) e^{ix\xi} d\xi = \int_{\mathbb{R}^n} e^{-y^2/2} f(x+y) dy$$

$$\begin{aligned} m \geq 1, k \geq 2: & \int_{\mathbb{R}^n} \hat{f}(\xi) e^{ix\xi} d\xi = \int_{\mathbb{R}^n} f(y) dy \\ & \Rightarrow \hat{\hat{f}} = f \end{aligned}$$

Satz 3.2:  $\min_V \|f - f^M\|^2 = \sum_{i=M+1}^N x_i$ , Min angenommen für  $V^+ = V_f$ .

Bem.: 1)  $V$  Karhunen-Loève

2)  $f^M = V_f g^M$ , Spalten von  $V_f$  Basisbilder.

Beisp.: 1) Diskrete Cosinustransformation

$$\frac{1}{\sqrt{N}} e^{-\frac{\pi i k}{2N}} \sum_{l=-N}^{N-1} e^{-\pi i k l / N} f_l = g_k', \quad f_l = f_{-l-1}, \quad l = -1 \dots -N.$$

$$g_k' = \frac{1}{\sqrt{2N}} \sum_{l=-N}^{N-1} e^{-\pi i k (l + \frac{1}{2}) / N} f_l = \frac{2}{\sqrt{2N}} \sum_{l=0}^{N-1} \cos(\pi k l (l + \frac{1}{2}) / N) f_l$$

$$\Rightarrow g_k = c_k \sum_{l=0}^{N-1} \cos(\pi k l (l + \frac{1}{2}) / N) f_l, \quad c_k = \begin{cases} \sqrt{\frac{2}{N}}, & k > 0 \\ \sqrt{\frac{1}{N}}, & k = 0 \end{cases}$$

$$\Rightarrow g = V_f f, \quad V \text{ DCT.}$$

Satz: DCT ist näherungsweise die Karhunen-Loève-Trafo für

$$k_f = \begin{pmatrix} 1 & \rho & \rho^2 & \dots & \rho^{N-1} \\ \rho & 1 & \rho & \dots & \rho^{N-1} \\ \rho^2 & \rho & 1 & \dots & \rho^{N-1} \\ \vdots & \vdots & \vdots & \ddots & \vdots \\ \rho^{N-1} & \dots & \rho & 1 & \rho \end{pmatrix}, \text{ das exponentiell abklingend,}$$

Näherung für die Eigenwerte von  $k_f$ :  $\lambda_k \sim \frac{1 - \rho^2}{\rho + \rho - 2 \cos \pi k / N}, \quad k = 0 \dots N-1.$

Für  $\rho > 0,9$  ist die Übereinstimmung der Eigenwerte gut.

2. Hadamard-Trafo:  $H_N =$  Hadamard-Matrix, Ordnung  $N$ .

$$U = N^{-1/2} H_N \text{ unitär.}$$

3. Die Karh-Trafo

$N = 8$ :

$$H_N = \begin{pmatrix} 1 & 1 & 1 & 1 & 1 & 1 & 1 & 1 \\ 1 & 1 & 1 & -1 & -1 & -1 & -1 & -1 \\ 1 & 1 & -1 & -1 & 0 & 0 & 0 & 0 \\ 0 & 0 & 0 & 0 & 1 & 1 & -1 & -1 \\ 1 & -1 & 0 & 0 & 0 & 0 & 0 & 0 \\ 0 & 0 & 1 & -1 & 0 & 0 & 0 & 0 \\ 0 & 0 & 0 & 0 & 1 & -1 & 0 & 0 \\ 0 & 0 & 0 & 0 & 0 & 0 & 1 & -1 \end{pmatrix}, \quad U = \frac{1}{\sqrt{8}} H_N, \quad D = \begin{pmatrix} 2 & & & & & & & \\ & 2 & & & & & & \\ & & 4 & & & & & \\ & & & 4 & & & & \\ & & & & 2 & & & \\ & & & & & 2 & & \\ & & & & & & 2 & \\ & & & & & & & 2 \end{pmatrix}$$

schnelle Karh-Trafo:  $\mathcal{O}(N \log N)$  (dünn besetzt)

$$g := D^{-2} H_N f.$$

Berechne:  $f_1 + f_2, f_3 + f_4, f_5 + f_6, f_7 + f_8, f_1 + f_2 + f_3 + f_4, f_5 + f_6 + f_7 + f_8, f_1 - f_2, f_3 - f_4, f_5 - f_6, f_7 - f_8, f_1 - f_2 + f_3 - f_4, f_5 - f_6 + f_7 - f_8$

$$\text{⊗ } u + \frac{1}{2} u + \frac{1}{4} u + \dots = 2u$$

Butterfly

$$f_3 + f_4$$

$$f_5 + f_6$$

$$f_7 + f_8$$

$$f_1 - f_2$$

$$f_3 - f_4$$

$$f_5 - f_6$$

$$f_7 - f_8$$

## §2 Stochastische Bildmodelle

1. Zufallsgrößen  $\xi$  in  $\mathbb{R}^1$ : Experiment mit reellwertigem, zufälligen Ausgang.

$$P(x \leq \xi \leq x + \Delta x) = \int_x^{x+\Delta x} p(x') dx'$$

$p$  heißt (Wahrscheinlichkeits-) dichte von  $\xi$ ,  $p \geq 0$ ,  $\int_{-\infty}^{\infty} p(x) dx = 1$ .

Realisierung von  $\xi$ : Ausgang eines  $\xi$ -Experiments, eine reelle Zahl.

Beispiele:  $\xi$  gleichverteilt in  $[0, 1]$ ,  $p(x) = \int_{x, [0, 1]}$ .

$\xi$  normalverteilt  $(\mu, \sigma^2) \Rightarrow p(x) = \frac{1}{\sqrt{2\pi\sigma^2}} e^{-\frac{1}{2\sigma^2}(x-\mu)^2}$

Histogramm: Unterteile  $x$ -Achse durch  $(x_k)$  für  $N$  Experimente mit Realisierungen  $\xi_1, \dots, \xi_n$  von  $\xi$

$$z_k := \frac{\#\{i: x_k \leq \xi_i \leq x_{k+1}\}}{N \cdot (x_{k+1} - x_k)} \approx p(x_k)$$

Erwartungswert:  $E \xi = \int_{\mathbb{R}} x \cdot p(x) dx \approx \frac{1}{n} \sum \xi_k$

Varianz:  $\sigma^2(\xi) = E(\xi - E(\xi))^2 = \int (x - E(\xi))^2 p(x) dx$

Standardabw.:  $\sigma(\xi)$

2. Zufallsgr. im  $\mathbb{R}^n$ :

$\xi = \begin{pmatrix} \xi_1 \\ \vdots \\ \xi_n \end{pmatrix}$ ,  $\xi_i$ : Zufallsgrößen

$P(\xi \in B) = \int_B p(x) dx$ ,  $\int_{\mathbb{R}^n} p(x) dx = 1$ ,  $p \geq 0$ .

$p$  Dichte.

$$\sigma^2 = E(x^2) - E(x)^2$$

$$E(x^2) = \sigma^2 + E(x)^2$$

$\sigma^2 + \mu^2$



$$(f, g) = \int f \bar{g} dx = \int_{\mathbb{R}^n} \hat{f} \overline{\hat{g}} d\xi = \int_{[-\frac{\pi}{h}, \frac{\pi}{h}]^n} \hat{f} \overline{\hat{g}} d\xi$$

$$= \sum_k \int_{\mathbb{R}^n} \overline{g_k} \cdot \left(\frac{2\pi}{h}\right)^n$$

$$= \int \left(\frac{2\pi}{h}\right)^n \left(h^n (2\pi)^{-n/2}\right)^2 \sum_k f(hk) \bar{g}(hk).$$

Korollar:  $\hat{f}(\xi) = (2\pi)^{-n/2} h^n \sum_{k \in \mathbb{Z}^n} f(hk) e^{-i h \xi k}$ , d. h. Trapezregel exakt.

$$f_S(x) = h^n \sum_{k \in \mathbb{Z}^n} f\left(\frac{x}{h}\right) \delta(x - hk)$$

$$f_S(hk) = h^n f(k)$$

$$f_S(x) = 0$$

$$= h^n \int \mathbb{1}_h$$

Satz 4.2:  $\hat{f}_S(\xi) = \sum_{l \in \mathbb{Z}^n} \hat{f}\left(\xi - \frac{2\pi l}{h}\right)$ .

Bew.:  $\hat{f}_S(\xi) = h^n \sum_{k \in \mathbb{Z}^n} f(hk) \hat{f}(\xi) e^{-i h k \xi}$

$$= h^n (2\pi)^{-n/2} \sum_{k \in \mathbb{Z}^n} f(hk) e^{-i h k \xi}$$

Satz 3.3  $\Rightarrow \sum_{l \in \mathbb{Z}^n} \hat{f}\left(\xi - \frac{2\pi l}{h}\right) = (2\pi)^{-n/2} h^n \sum_{k \in \mathbb{Z}^n} f(hk) e^{-i h k \xi}$   $\square$ .

Wie unterscheiden sich  $\hat{f}$  und  $\hat{f}_S$ ?

$\Rightarrow \hat{f}, \hat{f}_S$  unterscheiden sich stark außerhalb  $[-\frac{\pi}{h}, \frac{\pi}{h}]^n$ .

Beh.:  $(\hat{f}_S \chi_{h/\pi})^\sim = S_h f$ .

Bew.:  $(\hat{f}_S \chi_{h/\pi})^\sim = (2\pi)^{-n/2} f_S * \chi_{h/\pi}^\sim = \cancel{(2\pi)^{-n/2}} h^{-n} f_S * \text{sinc}_{\pi/h}$

Gibbs-Effekt. (hochfrequenter Fehler), Vermeidung durch "soften" Filter.

$$(E_h f)(x) = \sum_{k \in \mathbb{Z}^n} f(hk) \text{ec}\left(\frac{\pi}{h}(x - hk)\right), \text{ec}(x) = \frac{\pi \cos x}{\frac{\pi^2}{4} - x^2}$$

$$(E_h f)^\wedge = \left(\hat{f}_S \chi_{h/\pi}\right)^\sim, \chi_{h/\pi} = \cos\left(\frac{\pi}{2} \frac{h}{\pi} x\right)$$

Satz 4.1 (Shannon): Sei  $f \in L_2(\mathbb{R}^n)$   $b$ -bandbeschränkt,

$h \leq \frac{b}{2}$ . Dann ist  $f$  eindeutig bestimmt durch  $f(hk), k \in \mathbb{Z}^n$ , und

$$f(x) = \sum_{k \in \mathbb{Z}^n} f(hk) \operatorname{sinc} \frac{\pi}{h} (x - hk) = (S_h f)(x) = \text{sinc-Reihe.}$$

mit Kqz. in  $L_2(\mathbb{R}^n)$ . Erfüllt  $g$  dieselben Vor. wie  $f$ , so ist

$$(f, g) = \int f \bar{g} dx = h^n \sum_k f(hk) \bar{g}(hk)$$

Beweis: Fourier. in  $L_2([-a, a])$ :  $f(x) = \sum_{k \in \mathbb{Z}^n} \hat{f}_k e^{i(\pi/a)x \cdot k}$ .

$$\hat{f}_k = \int_{-a}^a f(x) e^{-i(\pi/a)x \cdot k} dx \cdot (2a)^{-n}.$$

$$\hat{f}(s) = \sum_{k \in \mathbb{Z}^n} \hat{f}_k e^{i(\pi/a)s \cdot k}, \hat{f}_k = (2a)^{-n} \int_{[-a, a]^n} \hat{f}(s) e^{-i\pi s \cdot k/a} ds$$

$$\frac{\pi}{h} \geq b, a = \frac{\pi}{h} \Rightarrow \hat{f}(s) = \sum_{k \in \mathbb{Z}^n} \hat{f}_k e^{ih s \cdot k}.$$

$$\hat{f}_k = \left(\frac{2\pi}{h}\right)^{-n} \int_{[-\frac{\pi}{h}, \frac{\pi}{h}]^n} \hat{f}(s) e^{-ih s \cdot k} ds.$$

$$= \left(\frac{2\pi}{h}\right)^{-n} \int_{\mathbb{R}^n} \hat{f}(s) e^{-ih s \cdot k} ds.$$

$$= h^{+n} (2\pi)^{-n/2} \underbrace{(2\pi)^{-n/2} \int_{\mathbb{R}^n} \hat{f}(s) e^{-ih s \cdot k} ds}_{f(-hk)}$$

$$= h^n (2\pi)^{-n/2} f(-hk)$$

$$\hat{f}(s) = (2\pi)^{-n/2} h^n \sum_{k \in \mathbb{Z}^n} f(hk) e^{-ih s \cdot k} \quad (\text{in } L_2([-a, a])!)$$

$$= (2\pi)^{-n/2} h^n \sum_{k \in \mathbb{Z}^n} f(hk) e^{-ih s \cdot k} \cdot \chi_{h/\pi}(s).$$

$$f(x) = (2\pi)^{-n/2} h^n \sum_{k \in \mathbb{Z}^n} f(hk) \cdot \left( \chi_{h/\pi} e^{-ih s \cdot k} \right) \Big|_{s=x} \quad (\sim \text{stetig in } L_2)$$

$$\left( \operatorname{sinc} \frac{\pi}{h} \right)_{hk}(x) = \operatorname{sinc} \frac{\pi}{h} (x + hk) = \operatorname{sinc} \frac{\pi}{h} (x + hk)$$

$$\begin{aligned} \left( \operatorname{sinc} \frac{\pi}{h} \right)_{hk}(s) &= e^{-ih s \cdot k} \left( \operatorname{sinc} \frac{\pi}{h} \right)^\wedge(s) = e^{-ih s \cdot k} \left( \frac{\pi}{2} \right)^{n/2} \left( \frac{h}{\pi} \right)^n \chi_{h/\pi}(s) \\ &= (2\pi)^{-n/2} h^n e^{-ih s \cdot k} \chi_{h/\pi}(s) \end{aligned}$$

$$\Rightarrow f(x) = \sum_{k \in \mathbb{Z}^n} f(hk) \operatorname{sinc} \left( \frac{\pi}{h} (x - hk) \right)$$

# § 5. Das Abstrakttheoreme von Petersen-Middleton

Def 5.1: Sei  $W$  eine  $(n, n)$ -Matrix mit Elementen aus  $\mathbb{R}$ ,  $W$  invertierbar. Dann heißt  $L = \{x \in \mathbb{R}^n : x = Wl, l \in \mathbb{Z}^n\} = W\mathbb{Z}^n$  ein (von  $W$  erzeugtes) Gitter.

Beispiel:  $n=2$ :  $W = (w_1, w_2)$ .  $L = \{l_1 w_1 + l_2 w_2, l_1, l_2 \in \mathbb{Z}\}$ .

Fundamentaltbereich:  $W([0, 1]^n) = \mathbb{R}^n / L$ . Volumen:  $\det(L)$

Lemma:  $L_1 = W_1 \mathbb{Z}^n, L_2 = W_2 \mathbb{Z}^n$ .  $\exists U \in \mathbb{Z}^{n \times n}, \det U = \pm 1$ , sod  $W_1 = W_2 U$

Bew.:  $\forall l_1 \exists l_2 : W_1 l_1 = W_2 l_2, l_2 = \underbrace{W_2^{-1} W_1}_{=: U} l_1$

klar:  $U$  ist ganz ( $l_2 = U l_1$ ).

ebenso:  $U^{-1}$  ist ganz  $\Rightarrow \det(U)^{-1} = \det(U^{-1}) \Rightarrow$

$\det U = \det U^{-1} = \pm 1$ .

Folgerung:  $|\det(W)| = \det(L)$  falls  $L = W\mathbb{Z}$ .

$\hat{L} = 2\pi W^{-t} \mathbb{Z}^n$  heißt reziprokes Gitter.

Def. sinnvoll, denn: Sei  $W' = W U, \hat{L}' = \hat{L} U^{-t} = W' \mathbb{Z}^n = W' \mathbb{Z}^n$ .

$\hat{L}' = 2\pi (U^{-t} W^{-t}) \mathbb{Z}^n = 2\pi (W^{-t} U^{-t}) \mathbb{Z}^n = \hat{L}'$

Satz 5.1: (Poisson'sche Formel)

Sei  $f \in \mathcal{Y}(\mathbb{R}^n)$ .

$$\sum_{\eta \in \hat{L}} \hat{f}(\xi - \eta) = \det(L) (2\pi)^{-n/2} \sum_{x \in L} f(x) e^{-i\xi x}$$

(Schon bewiesen für  $L = \mathbb{Z}^n$  in 3.3)

$\hat{f}_W(x) = \hat{f}(Wx)$ . Nach Aufgabe 7:

$$\hat{f}_W(W^t \xi) = \frac{1}{|\det W|} \hat{f}(\xi), W^t \xi = \xi'$$

$$\hat{f}_W(\xi') = \frac{1}{|\det W|} \hat{f}(W^{-t} \xi')$$

$$\Rightarrow \sum_{k \in \mathbb{Z}^n} \hat{f}_W(\xi - 2\pi k) = (2\pi)^{-n/2} \sum_{k \in \mathbb{Z}^n} \frac{1}{W} \hat{f}(\xi) e^{-i\xi k}$$

$$\Rightarrow \sum_{k \in \mathbb{Z}^n} \hat{f}(W^{-t}(\xi - 2\pi k)) = (2\pi)^{-n/2} \det(L) \cdot \sum_{k \in \mathbb{Z}^n} \hat{f}(W\xi) e^{-i\xi k}$$

$$\Rightarrow \sum_{k \in \mathbb{Z}^n} \hat{f}(W^{-t} \xi' - \eta) = (2\pi)^{-n/2} \det(L) \cdot \sum_{x \in L} f(x) e^{-i\xi' x}$$

Satz 2.2 :

Sei  $f \in \mathcal{G}, T \in \mathcal{G}'$ .

$$f * T = (2\pi)^{n/2} \hat{f} \hat{T}$$

$$f T = (2\pi)^{-n/2} \hat{f} * \hat{T}.$$

Beweis : Yosida. Kontinuität :

$$T_x \left( \int f(x-y) g(y) dy \right) \stackrel{!}{=} \int T_x f(x-y) g(y) dy$$

Nyquist-Bedingung:  $k + \eta, \eta \in \hat{L}$  paarweise fremd  $\Leftrightarrow$  Gitterpackung von  $k$ .

$\eta(L, k)$  heißt Dichte der Gitterpackung.

(Erdős, P. et al.)

Lattice points, Longman, NY, 1983

Beispiel: 3)  $K = \{x \in \mathbb{R}^2 : |x| \leq b\}$ .

4)  $K = \{x \in \mathbb{R}^n : |x| \leq b\}$

5)  $K = \diamond$  (Aufg. 16).

Sei  $\chi$  die char. Fkt. des Einheitsquadrats.

$$\hat{f}(\xi) = c \cdot \text{sinc } \xi = c \frac{\text{sinc } \xi_1}{\xi_1} \cdot \frac{\text{sinc } \xi_2}{\xi_2}$$

Hyperbeln sind immer gleicher Höhe:



n	$\eta_{\text{best}}$	$\eta_{\text{eff}}$
1	1	1
2	0,785	0,807
3	$\frac{\pi}{6} = 0,524$	0,742
4	0,308	0,677
5	0,165	0,466
6	0,081	0,373
7	0,037	0,295
8	0,005	0,091

Verallgemeinerte sinc-Reihe für bel. Gitter:

$\chi_k(x) = \text{char. Fkt. von } K$ .

$$\text{sinc}_{L, K} = \det(L) (2\pi)^{-n/2} \tilde{\chi}_k$$

$$S_{L, K}(x) = \sum_{y \in L} f(y) \text{sinc}_{L, K}(x-y)$$

$$\begin{aligned} (S_{L, K} f)^\wedge(\xi) &= \sum_{y \in L} f(y) e^{-iy\xi} \det(L) (2\pi)^{-n/2} \chi_k(\xi) \\ &= \chi_k(\xi) \sum_{y \in L} \hat{f}(\xi - y) = (\hat{f}_L \chi_k)(\xi) \\ &\Rightarrow (S_{L, K} f)^\wedge = \hat{f}_L \chi_k \end{aligned}$$

Satz 5.4: Sei  $f \in \mathcal{S}$ . Erfülle die Nyquist-Bed. bzgl.  $K$ . Dann gilt

$$\| (S_{L, K} f - f)(x) \| \leq 2 (2\pi)^{-n/2} \int_{\mathbb{R}^n / K} |f(\xi)| d\xi$$

$$\begin{aligned} \text{Beweis: } (S_{L, K} f)^\wedge(\xi) &= (\hat{f}_L \chi_k)(\xi) = \chi_k(\xi) \sum_{\eta \in L} \hat{f}(\xi - \eta) \\ &= \chi_k(\xi) \hat{f}(\xi) + \chi_k(\xi) \sum_{\substack{\eta \in L \\ \eta \neq 0}} \hat{f}(\xi - \eta). \end{aligned}$$

$$(S_{L, K} f - f)^\wedge(\xi) = (\chi_k(\xi) \hat{f}(\xi) + \chi_k(\xi) \sum_{\substack{\eta \in L \\ \eta \neq 0}} \hat{f}(\xi - \eta) - \hat{f}(\xi))$$

$$\begin{aligned} \Rightarrow (S_{L, K} f - f)(x) &= (2\pi)^{-n/2} \int_{\mathbb{R}^n} e^{ix\xi} \left( (\chi_k - 1) \hat{f}(\xi) + \chi_k \sum_{\substack{\eta \in L \\ \eta \neq 0}} \hat{f}(\xi - \eta) \right) d\xi \\ \text{i. v. 1} &\leq (2\pi)^{-n/2} \left( \int_{\mathbb{R}^n / K} |f(\xi)| d\xi + \int_K \sum_{\eta \in L} |\hat{f}(\xi - \eta)| d\xi \right) \end{aligned}$$

$$\leq |f| + \sum_{\substack{\eta \in L \\ \eta \neq 0}} \int_{K-\eta} |f(\xi')| d\xi'$$

Satz 5.5 Sei  $f, g \in \mathcal{S}$ .  $f \star g(x) := \det(L) \sum_{y \in L} f(x-y) g(y)$ . Dann gilt

$$(f \star g)^\wedge(\xi) = (2\pi)^{u/2} \hat{f}(\xi) \sum_{\eta \in L, \eta \neq 0} \hat{g}(\xi - \eta).$$

Beweis:

$$\begin{aligned} (f \star g)^\wedge(\xi) &= \det L \sum_{y \in L} e^{-iy\xi} \hat{f}(\xi) g(y) \\ &= \hat{f}(\xi) \sum_{\eta \in L} \hat{g}(\xi - \eta) \cdot (2\pi)^{u/2} \\ &= (2\pi)^{u/2} \hat{f}(\xi) \hat{g}(\xi) + (2\pi)^{u/2} \hat{f}(\xi) \sum_{\eta \in L, \eta \neq 0} \hat{g}(\xi - \eta) \\ &= (2\pi)^{u/2} \hat{f}(\xi) \hat{g}(\xi) + (2\pi)^{u/2} \hat{f}(\xi) \sum_{\eta \in L, \eta \neq 0} \hat{g}(\xi - \eta) \end{aligned}$$

### §6. Die Fourier-Transformation (diskret)

$$\begin{aligned} \hat{y}_k &= p^{-n} \sum_{0 \leq s < p} e^{-2\pi i s k / p} y_s \\ \tilde{y}_k &= \sum_{0 \leq s < p} e^{2\pi i s k / p} y_s \end{aligned} \left. \vphantom{\begin{aligned} \hat{y}_k \\ \tilde{y}_k \end{aligned}} \right\} \begin{array}{l} n\text{-dimensionale diskrete FT der} \\ \text{Länge } p \end{array}$$

$n=2$ : FFT, Separabilität,  $\mathcal{O}(n \log n)$ ,  $\mathcal{O}(p^2 \log p)$  Komplexität

Diskrete Faltung; zyklische Faltung:

$$z_k = \sum_{0 \leq l < p} w_{k-l} y_l, \quad w_{k+p} = w_k. \quad (w_r = p\text{-erand-Fehler})$$

$$z = w \star y. \quad (w \star y)^\wedge = p^n \hat{w} \cdot \hat{y}$$

$$\begin{aligned} w_{k+p}^\wedge &= w_k^\wedge \\ w_{k+p}^\wedge &= 0 \end{aligned}$$

c) Nicht-kausaler Fall:

$$\text{Beispiel: } f_t = \alpha (f_{k_1+1, k_2} + f_{k_1-1, k_2} + f_{k_1, k_2-1} + f_{k_1, k_2+1}) + d_{k_1, k_2}$$

$$\left. \begin{aligned} -\frac{\partial^2 f}{\partial x_1^2} - \frac{\partial^2 f}{\partial x_2^2} + a f &= \left(\frac{4}{h^2} + 1\right) (f_t - \alpha (f_{k_1+1, k_2} e^{-u})) \end{aligned} \right\} \alpha = \frac{1}{4 + ah^2}$$

Randwertproblem

Praktische Anwendung: Blocking, Tiling (Aufteilen in viele kleine Fliesen)

§9 Bildanalyse

Gei f Bild, g Objekt (= Bild). Kommt g in f vor?

1. g = Punkt:  $d_k = f_k - \frac{1}{P} \sum_{l \in N_k} f_l$ ,  $N_k$  benachbarter Pixel,  $(k \in N_k)$ ,  $P = |N_k|$ .

k Punkt  $\Leftrightarrow |d_k| \geq d$ .

2. g = Gerade:

Radon (Hough-) Transform:  $\theta = \begin{pmatrix} \cos \varphi \\ \sin \varphi \end{pmatrix}$ .  $x \cdot \theta = s$  Integrationsgerade.  $(\theta, s) = (-\theta, -s)$ .

$$(Rf)(\theta, s) = \int_{x \cdot \theta = s} f(x) dx = \int_{t \in \mathbb{R}} f(s\theta + t \cdot \theta^\perp)$$

Gesetzen in f  $\hat{=}$  Punkte in  $(Rf)$ . Berechnung von  $Rf$ : Annahme  $f = c$  in jedem Pixel,

$$Rf(\theta, s) = \sum_l |L(\theta, s) \cap \text{Pixel}_l| \cdot f(l)$$

$s = h \cdot l$ . Kurwinklich: Wähle  $\Delta \varphi$  so klein, daß das größte auflösbare Objekt erkannt wird,  $r \cdot \sin \Delta \varphi \approx r \cdot \Delta \varphi = h \cdot \theta = \begin{pmatrix} \cos \varphi_s \\ \sin \varphi_s \end{pmatrix}$ ,  $\varphi_s = s \cdot \Delta \varphi$ ,  $\mathcal{O}(N^3)$  Operationen.

(s. Aufg. 5b 3.1 b).

3. g = beliebig.

(a) Sind f, g idealisch bis auf Translation?

$$\hat{f}_a(s) = e^{i s a} \hat{f}(s). \quad |\hat{f}_a(s)| = |\hat{f}(s)|$$

Falls ja, so gilt  $|\hat{f}| = |\hat{g}|$ .

(b) Gehen f, g durch Bewegungen auseinander hervor?

$$N_f(p) = \int_{S^1} |\hat{f}(pw)| |dw|, \quad S^1 = \text{Einheitskugel in } \mathbb{R}^2, \text{ ist rotationsinvariant.}$$

Falls ja,  $N_f = N_g$ .

(c) Geht f aus g durch Streckung hervor?

$$\hat{f}_r(x) = \hat{f}\left(\frac{x}{r}\right). \quad \hat{f}_r(s) = r^{-2} \hat{f}\left(\frac{s}{r}\right)$$

$$P_f(w) = \int_0^\infty |\hat{f}(pw)| p dp, \quad w \in S^1. \quad P_{f_r}(w) = \int_0^\infty |\hat{f}_r(pw)| p dp \\ = r^{-2} \int_0^\infty |\hat{f}\left(\frac{p}{r}w\right)| p dp = r^{-2} r^2 \int_0^\infty |\hat{f}(pw)| p dp = P_f(w).$$

Parabolische DGL: Aufgabendurchführung

$$-\frac{d^2 x}{dt^2} + \alpha \frac{dx}{dt} = \left(\frac{k_2}{2} + \frac{k_1}{a} + \beta\right) dx, \text{ falls } \alpha = \frac{2k_1 k_2}{k_2^2} \text{ falls } \alpha = \frac{2k_1 k_2}{k_2^2} \text{ falls } \alpha = \frac{k_2}{2} + \frac{k_1}{a} + \beta$$

1) Zwei-Knoten:  $\dot{x}_{1,2} = \alpha (\dot{x}_{1,2} + \dot{x}_{2,1}) + \beta \dot{x}_{1,2} + d_{1,2}$   
 Diskretisierung, die sich ergibt das  $\beta$  ungenau 0 ist.  
 Andere Formulierung: Gegeben sei eine DGL mit Parametern. Finde eine  
 äquivalente DGL, Anfangswertproblem.

falls  $\alpha = \frac{1/2 + 2k_1/a + k_2}{1/2 + 2k_1/a + k_2}$  falls  $\alpha = \frac{1/2 + 2k_1/a + k_2}{1/2 + 2k_1/a + k_2}$

Beispiel:  $\dot{x} = \alpha (\dot{x}_{1,2} + \dot{x}_{2,1}) - \beta \dot{x}_{1,2} + d_{1,2}$   
 Polynomfunktion:  $\dot{x} = \sum_{k=0}^{\infty} \alpha^k \dot{x}_{1,2} + d_{1,2}$  falls  $\alpha = 0$  v.  $k_2 = 0$

Verteilung:  $\dot{x} \rightarrow \begin{cases} \dot{x} - \sum_{k=0}^{\infty} \alpha^k \dot{x}_{1,2} = d_{1,2} & \text{falls } \alpha > 0 \\ \dot{x} & \text{falls } \alpha = 0 \end{cases}$   
 $=: d_{1,2}, k_1, k_2 = 0$

Verteilung:  $\square$  mit  $\alpha = 0$ , volle Matrixauflosung  
 nichtlinear.

$\square$ : Eigenwerte für  $(x, x)$ , man braucht f. auf rechten Rand,

keiner Fall:  $\dot{x} = \sum_{k=0}^{\infty} \alpha^k \dot{x}_{1,2} + d_{1,2} + \alpha \dot{x}_{1,2}$   
 $\alpha_{1,2} = 0$  für  $k_2 > 0$   
 $\dot{x}$  konstant auf internen und äußeren Rand,  $\alpha = 0$  v.  $k_2 > 0$ .

(Jin 1978), Stochastische Operatoren.

$\Rightarrow T = d \cdot \beta \Leftrightarrow -f + q \cdot f = d$  bei geg. Anfangswert  $f(0) = f_0, f(x) = d$   
 $-f''(x) = d$

bei  $n$  der Ritzkalkül:  $\left(\frac{d_{1,2}}{2} \cdot T\right)^{\frac{1}{2}} = \frac{1}{2} (-f_{1,2} + 2f_{1,2} - f_{1,2}) + \frac{1}{2} (1/2 - 2) f_{1,2}$   
 $U \cdot V + f = d \cdot k \Rightarrow U + f = A^{-1} U + (d \cdot k) =: g, f = U \cdot g$



Beisp. 1 (Einschub) :  $B = (2\pi)^{1/2} f$ ,  $\hat{B} = 1$ ,  $\hat{u} = \frac{1}{1 + |\frac{\sigma}{f}|^2} \sim \frac{1}{1 + \sigma^2 |\xi|^{2\beta}}$ , Butterworth.

Probleme bei Nullstellen!

3)  $B(x) = C e^{-\frac{1}{2}(x/r)^2}$ ,  $r$  blut s. presel parameter. (eigentlich:  $e^{-\lambda|x|^{5/3}}$ )

$$\hat{B}(\xi) = C' e^{-1/2(\xi r)^2}$$

4) Aufg. 9:  $\hat{B}(\xi) = C e^{i \Delta t v \cdot \xi / 2} \text{sinc}(\Delta t \cdot v \cdot \xi / 2)$

$$\hat{B}(\xi) = 0 \Leftrightarrow \Delta t v \cdot \xi / 2 = k\pi, k \in \mathbb{Z}, \frac{v \cdot \xi}{|\xi|} = \frac{2k\pi}{\Delta t v} = \frac{2k\pi}{\Delta s}$$

Problem:  $\hat{q} = \hat{B} - \hat{f}$ ,  $\hat{f}$  ist nicht berechenbar falls  $\hat{B} = 0$ !

$e^{i x \xi} = e^{i s \frac{v}{|v|} \cdot \xi} = e^{i s \frac{2k\pi}{\Delta s}}$  ist periodisch,  $x = s - \frac{v}{|v|}$ , mit Periode  $\Delta s$ .

( Da beim Fotografieren über eine  $\Delta s$ -Periode integriert wird, ist der Koeffizient 0! )

5) Aufg. 10:  $\hat{f}(\omega) = \sum_k \hat{f}_k(r) e^{i k \varphi}$ ,  $x = r \begin{pmatrix} \cos \varphi \\ \sin \varphi \end{pmatrix}$ ,  $g(x) = \int_0^{\Delta t} U(t|x) dt$ ,

$$U(t) = \begin{pmatrix} \cos \omega t - s \sin \omega t \\ \sin \omega t \cos \omega t \end{pmatrix}, g_k = \frac{1}{i k \omega} (e^{i k \omega \Delta t} - 1) \hat{f}_k.$$

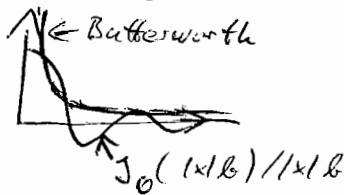
Falls  $k = \frac{2\pi p}{\Delta t} \Rightarrow \hat{f}_k = 0$  durch Wiener-Filter,  $e^{i k \varphi} = e^{\frac{2\pi i p}{\omega \Delta t} \varphi}$ , Periode  $\omega \Delta t$ .

Butterworth:

$$H(\xi) = \frac{1}{1 + \left(\frac{|\xi|}{b}\right)^{2n}}, \quad H(x) \stackrel{\text{Aufg. 7}}{=} \int_0^{\infty} r \cdot J_0(r|x|) \frac{dr}{1 + \left(\frac{r}{b}\right)^{2n}}$$

Abramowitz:  $n=1$

$$\Rightarrow k_0(r) \sim \begin{cases} \ln(r), & r \rightarrow 0 \\ e^{-r}, & r \rightarrow \infty \end{cases}$$



$= k_0(|x|)$ :  $k_0$  mod. Bessel-Funktion (Kugel-Nicholson)

Bildrestoration

$$g = \hat{z} \hat{u} - n/R \hat{B} * \hat{f} + \hat{u}, \quad \hat{g} = \hat{B} \hat{f} + \hat{u}, \quad \hat{f} = \frac{\hat{g} - \hat{u}}{\hat{B}} \text{ ist Usinu!! (kleine Freq. in } \hat{u} \text{ werden verstärkt)}$$

Wiener-Filter  $\hat{w}$ ,  $\hat{f}_R = \hat{w} \hat{g}$  (siehe N. Wiener)

$$(\hat{f}_R - \hat{f}) = \hat{w} (\hat{B} \hat{f} + \hat{u}) - \hat{f} = (\hat{w} \hat{B} - 1) \hat{f} + \hat{w} \hat{u}$$

$$|\hat{f}_R - \hat{f}|^2 \leq (|\hat{w} \hat{B} - 1|^2 |\hat{f}|^2 + |\hat{w} \hat{u}|^2)$$

$\hookrightarrow = E |\hat{f}_R - \hat{f}|^2$  für weißes Rauschen

Lemma:  $F(w) = |w-z|^2 + w|w|^2, w \in \mathbb{C}$ .  $\min_{w \geq 0} F(w) = \frac{w}{1+w} |z|^2$  wird angenommen für  $z = \frac{1}{w}$ .

Beweis:  $w = u+iv, z = x+iy$ .

Anwendung auf  $F(\hat{w}) = |\hat{w} - \hat{B}^{-1}|^2 + \left| \frac{\hat{u}}{\hat{B} \hat{f}} \right|^2 |\hat{w}|^2 = F(\hat{w})$  wird minimiert für

$$\hat{w} = \frac{1}{1 + \left| \frac{\hat{u}}{\hat{B} \hat{f}} \right|^2} (\hat{B})^{-1} = \frac{|\hat{B}|^2}{|\hat{B}|^2 + \left| \frac{\hat{u}}{\hat{f}} \right|^2} \hat{B}^{-1} = \frac{\hat{B}}{|\hat{B}|^2 + \left| \frac{\hat{u}}{\hat{f}} \right|^2}$$

$$|\hat{f}_R - \hat{f}|^2 \leq 2 |\hat{B} \hat{f}|^2 F(\hat{w}) = 2 \frac{|\hat{u}|^2}{1 + \left| \frac{\hat{u}}{\hat{B} \hat{f}} \right|^2} |\hat{B}^{-1}|^2 = 2 \frac{\left| \frac{\hat{u}}{\hat{B} \hat{f}} \right|^2}{1 + \left| \frac{\hat{u}}{\hat{B} \hat{f}} \right|^2} |\hat{f}|^2$$

$\frac{|\hat{B} \hat{f}|}{|\hat{u}|}$  heißt Signal-Rausch-Verhältnis. (vorh. Def. in Literatur)

stochastisch: Weißes Rauschen, unkorreliert,  $E u(x) u(x-y) = \sigma^2 \delta(y)$

$$\int \int E u(x) u(x-y) \sim \sigma^2 \delta(y) \quad \int u(x) u(x-y) = \sigma^2 \delta(y)$$

$\Rightarrow u * \hat{u} = \sigma^2 \delta \Rightarrow \hat{u} \overline{\hat{u}} = c \sigma^2 \cdot 1, |\hat{u}| = \text{konstant}$ . Suche  $\hat{u}$  als Distribution.

$$2) \quad B(x) = \begin{cases} \frac{1}{\pi r^2}, & |x| \leq r \\ 0, & \text{sonst} \end{cases} \quad \hat{B}(\xi) = c \frac{\int_0^r (1-\rho) \rho d\rho}{|\xi| \cdot r} \sim c |\xi|^{-3/2}$$

$$\hat{w}(\xi) = \frac{|\hat{B}|^2}{|\hat{B}|^2 + \left| \frac{\hat{u}}{\hat{b}} \right|^2} \hat{B}^{-1} = \frac{\hat{B} *}{|\hat{B}|^2 + \left| \frac{\hat{u}}{\hat{b}} \right|^2} = 0 \text{ für } \hat{B}(\xi) = 0.$$

# Teil II. Bildverarbeitung

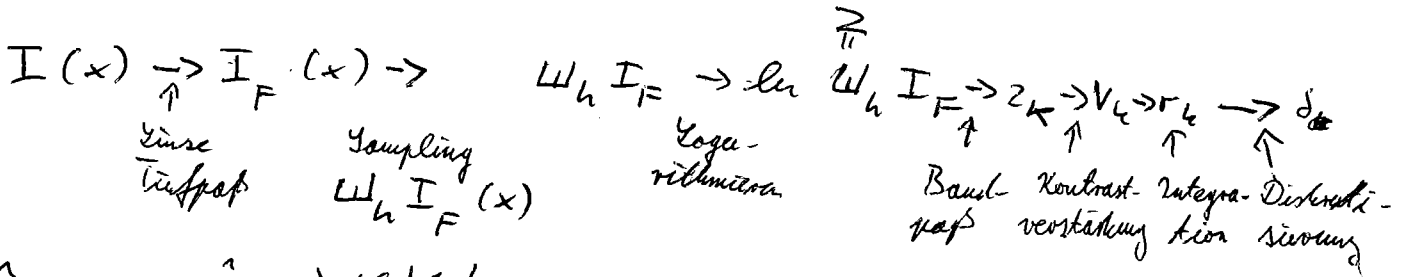
## §1. Das menschliche Auge

Ziel: Mathem. Beschreibung des Sehvorgangs: Einfarbige, unbewegliche Bilder

$I(x)$  := Intensität des Bildes im Punkt  $x \in \mathbb{R}^2$ ,  $\frac{\text{Strahlungsenergie}}{\text{Zeit \cdot Einheit \cdot Flächeneinheit}}$

$x = (x_1, x_2)$ , Winkelgeraden:  $\left\{ \begin{matrix} \square \\ \underbrace{\hspace{2cm}} \\ 40 \end{matrix} \right\} 40^\circ$  In 30 cm Entfernung:  $30 \text{ cm} \cdot \sin 40^\circ = 2 \text{ cm} = x_e$

7 Stufen:



1.  $\hat{I}_F(s) = \begin{cases} \hat{I}(s), & |s| \leq b \\ 0, & \text{sonst} \end{cases}$  (Tropfen)

$b \approx 400 \approx 60 \text{ Zyklen/}^\circ$

2. Stufe: Sampling,  $h = \frac{1}{120}^\circ$ .  $\frac{\pi}{b} = \frac{1}{128} < h$  (wenn auch knapp)

3. Stufe: Übergang zum Logarithmus:

$$z = \ln \mathcal{W}_h I_F = \ln (I_0 + I_F - I_0) = \underbrace{\ln I_0}_{\substack{\text{Hintergrund} \\ \text{test!}}} + \frac{I_F - I_0}{I_0} + \dots$$

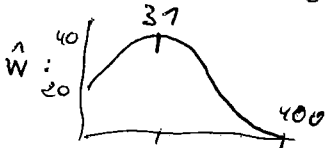
Empfindlichkeit  $\frac{I_F - I_0}{I_0} \approx 0,02$

Intensitätsbereich: 1 .. 10<sup>4</sup>

4. Trennung der Frequenzen:  $z_k(s) = \begin{cases} \hat{z}(s), & |s| - p_k < a \\ 0, & \text{sonst} \end{cases}$  (Bandpass)

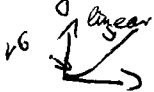
$a \approx 16, k \approx 1..12$

5. Kontrastverstärkung:  $v_k = w_k \cdot z_k$ , also  $\hat{v} = \hat{w} \cdot \hat{z}$ ,  $\hat{w}(s) = w_k$



Max  $\approx 5 \text{ Zyklen/Grad}$   
Bei 30 cm:  $1 \text{ Zyklen/mm} \approx$

6. In jedem der 12 Kanäle wird  $r_k = \int g(v_k) dx$  gebildet,  $g$  nichtlinear.



7. Diskretisierung: Maximumbildung,  $S = \mathcal{Z}(|\text{Max}| \geq \epsilon) \text{Max} : 0$ .

8. Kontrastverstärkung durch laterale Inhibition: benachbarte Neuronen feuern negativ!

Mollot

$$L_3 = \frac{1}{2} \begin{pmatrix} 1 & 1 & 0 \\ & \ddots & \\ 0 & & 1 \end{pmatrix} \quad H_3 = \frac{1}{2} \begin{pmatrix} 1 & -1 & 0 \\ & \ddots & \\ 0 & & 1 \end{pmatrix}$$

$$L_3' = 2L_3^t, \quad H_3' = 2H_3^t.$$

$$L_j' - L_j = I_{2^{s-1}}, \quad H_j' - H_j = I_{2^{s-1}}, \quad H_j' H_j = \frac{1}{2} \begin{pmatrix} 1 & -1 \\ & \ddots \\ & & 1 \end{pmatrix}, \quad L_j' L_j = \begin{pmatrix} 1 & 1 \\ & \ddots \\ & & 1 \end{pmatrix}$$

$$H_3' H_3 + L_3' L_3 = I_{2^3}$$

Codierung:  $f^P = f \cdot f^{s-1} = L_j f^s, g^{s-1} = H_j f^s, s = p-1$ . Resultat:  $f^0, g^0, g^1, \dots, g^{p-1}$   
 $\rightarrow \rightarrow \rightarrow \rightarrow \rightarrow$   
 $E = 2^p = 4$

$$f^s = (H_j' H_j + L_j' L_j) f^s = H_j' g^{s-1} + L_j' f^{s-1}, \quad s = 1-p$$

$$f = f^P \xrightarrow{L_3} f^{P-1} \xrightarrow{L_3} \dots \xrightarrow{L_3} f^0$$

$$f^0 \xrightarrow{H_1} f^1 \xrightarrow{H_1} f^2 \dots \rightarrow f^P = f$$

$$d^s = f^s - L_j' f^{s-1} = f^s - L_j' L_j f^s = (I - L_j' L_j) f^s$$

$L_j$ : Smooth / Blurring / Restriktion

$L_j'$ : Erweiterungen

$d^3 = \begin{pmatrix} f_1 \\ \vdots \\ f_8 \end{pmatrix} = \begin{pmatrix} \frac{1}{2}(f_1+f_2) \\ \vdots \\ \frac{1}{2}(f_7+f_8) \end{pmatrix} \quad 2 \times$  Idee der Codierung: Übertrage nicht absolute Werte, sondern Differenzen zu gewissen Mittelwerten

(Details der Stufe  $p$  werden übertragen), Ähnlich FT: Zerlegung eines Bildes in Stufen, auf denen gewisse Details übertragen werden. Unterschied: Harttrafo ist lokal!

Rekursive Block-Codierung

Ausgangspunkt: DPCM.  $f = (f_0 \dots f_N)^t, E f_k = \mu, \sigma^2(f_k) = \sigma^2, \rho_{kk} = \rho^{|k-l|}$   
 $\hat{f}_k = \rho \hat{f}_{k-1} + (1-\rho) \mu, d_k = f_k - \hat{f}_k, E d_k^2 = \sigma^2(1-\rho^2), k, l = 0, 1, \dots, N$

abs:  $\hat{f}_k = \alpha \hat{f}_{k-1} + \beta \hat{f}_{k+1} + \gamma$ . Bestimme  $\alpha, \beta, \gamma$  optimal ( $E d_k^2$  minimal).

$$E \mu = 0, \gamma = 0, \hat{f}_k = \alpha(\hat{f}_{k-1} + \hat{f}_{k+1}) \quad E d_k^2 = \sigma^2(1 + 2\alpha^2 - 2\alpha\rho + 2\alpha^2\rho^2) = 0$$

$$\frac{\partial}{\partial \alpha} = 0 \Rightarrow \alpha = \frac{\rho}{1+\rho^2}, \quad E(d_k^2) = \sigma^2 \frac{1-\rho^2}{1+\rho^2}$$

$$\hat{f}_k = \alpha(\hat{f}_{k-1} + \hat{f}_{k+1}) + d_k, \quad k = 1 \dots N-1, \quad T = \begin{pmatrix} 1 & & \\ & \ddots & \\ & & 1 \end{pmatrix}$$

$$Tf = d + b, \quad b = \alpha \begin{pmatrix} f_0 \\ \vdots \\ f_N \end{pmatrix} \quad N-1$$

Rekonstruktion: Gegeben  $d, b$ . Löse  $Tf = d + b \cdot \Theta(u)$ .

Alternativ:  $U^T T U = A, U$  sinus-Trafo,  $E u_k = 1 + 2\alpha \cos \frac{k\pi}{N}$   $k = 1 \dots N-1$ .

$(\hat{R}f)(\theta, \sigma) = (2\pi)^{-1/2} \hat{f}(\sigma \cdot \theta) \Rightarrow R$  injektiv, denn  $Rf=0 \Rightarrow \hat{R}f=0 \Rightarrow \hat{f}=0 \Rightarrow f=0$ ,  
aber nicht surjektiv, denn:  $Rf=g \Rightarrow g(\theta, s) = g(-\theta, -s)$ .

$$\int_{\mathbb{R}} s^m g(\theta, s) ds = \int_{\mathbb{R}} s^m \int_{\mathbb{R}} f(\theta, s) ds$$
$$= \int_{\mathbb{R}} s^m \int_{\mathbb{R}} f(s \cdot \theta + t \cdot \theta^\perp) dt \quad \begin{matrix} s = x \cdot \theta \\ t = x \cdot \theta^\perp \end{matrix}$$

$$= \int_{\mathbb{R}^2} f(x) (x \cdot \theta)^m dx$$

$$= Q_m(\theta), \text{ Polynom vom Grad } m \text{ in } \theta$$

$$\mathcal{W}_L f = \sum_{x \in L} f(x), \quad f_L = \det(L) \cdot f \cdot \mathcal{W}_L.$$

Poisson mit  $g=0$ :

$$\sum_{\eta \in \hat{L}} \hat{f}(\eta) = \det(L) \cdot (2\pi)^{-n/2} \sum_{x \in L} f(x),$$

$$\text{d.h. } \mathcal{W}_{\hat{L}} \hat{f} = \det(L) (2\pi)^{-n/2} \mathcal{W}_L f$$

$$\Leftrightarrow (\mathcal{W}_{\hat{L}})^{\wedge} = \det(L) (2\pi)^{-n/2} \mathcal{W}_L.$$

Satz 5.2:  $f \in \mathcal{Y}(\mathbb{R}^n)$ . Dann gilt:

$$(\mathcal{J}_L)^{\wedge}(f) = \sum_{\eta \in \hat{L}} \hat{f}(\xi - \eta).$$

$$\text{Beweis: } (\mathcal{J}_L)^{\wedge} = \det(L) (f \mathcal{W}_L)^{\wedge} = \det(L) (2\pi)^{-n/2} \mathcal{W}_{\hat{L}} * \hat{f}$$

$$(\mathcal{J}_L)^{\wedge}(f) = \mathcal{W}_{\hat{L}} \hat{f} - \xi = \sum_{\eta \in \hat{L}} \hat{f}(\eta - \xi) = \sum_{\eta \in \hat{L}} \hat{f}(\xi - \eta). \quad (\text{noch 2.2})$$

Satz 5.3 (Abtasttheorem von Peteresen - Middleton),

Sei  $f \in L_2(\mathbb{R}^n)$ .  $\hat{f}(\xi) = 0$  außerhalb einer Menge  $K \subseteq \mathbb{R}^n$ ,

$K + \eta, \eta \in \hat{L}$  seien ~~einander~~ ~~verschieden~~ disjunkt. Dann ist  $f$  eindeutig bestimmt durch seine Werte auf  $L$ .

Beweis:

$$\text{Sei } f \in \mathcal{Y}(\mathbb{R}^n). \quad \hat{f} = (\mathcal{J}_L)^{\wedge} \text{ in } K. \\ = 0 \text{ außerhalb von } K.$$

Sei  $f \in L_2(\mathbb{R}^n)$ : wie bei Shannon.

$$\text{Beispiel: 1) } K = [-b, b]^n, L = h \mathbb{Z}^n, h \leq \frac{\pi}{b}. \\ \hat{L} = \frac{2\pi}{h} \mathbb{Z}^n = \frac{2\pi b}{\pi} \mathbb{Z}^n = 2b \mathbb{Z}^n.$$

$$2) K = \{x \in \mathbb{R}^n : |x| \leq b\}, L \text{ wie oben.}$$

3)  $K$  wie in 2),  $L$  so daß:

$$2\pi W^{-t} = (u_1, u_2), u_1 = (0, 2b), u_2 = \begin{pmatrix} \sqrt{3}b \\ b \end{pmatrix}. \quad 2\pi W^{-t} = \begin{pmatrix} 0 & \sqrt{3} \\ 2 & 1 \end{pmatrix} b$$

$$W = \frac{\pi}{b} \begin{pmatrix} -\frac{1}{\sqrt{3}} & \frac{2}{\sqrt{3}} \\ 1 & 0 \end{pmatrix}.$$

### §3. Effiziente Codierung von Bildern (Datenreduktion)

$$f = (f_1 \dots f_N)^T$$

Gesucht  $g$ : 1)  $f$  aus  $g$  rekonstruierbar  
2) Übertragung von  $g$  einfacher als von  $f$ .

1)  $\mu_{k+1}, (k, l, f_k)$

2) DPCM, differential pulse code modulation

Annahmen:  $f_1 \dots f_N$  Zufallsgrößen.

$$E f_k = \mu, \rho = \rho(f_k, f_{k+1}), \sigma = \sigma(f_k), k = 1 \dots N.$$

Schätzung für  $f_{k+1}$ :  $\hat{f}_{k+1} = \rho f_k + (1-\rho)\mu$

$$\text{Übertrag } d_{k+1} = f_{k+1} - \hat{f}_{k+1}$$

$$\begin{aligned} E d_{k+1}^2 &= E (f_{k+1} - \rho f_k - (1-\rho)\mu)^2 = E (f_{k+1} - \mu - \rho(f_k - \mu))^2 \\ &= E (f_{k+1} - \mu)^2 + \rho^2 E (f_k - \mu)^2 - 2\rho E (f_{k+1} - \mu)(f_k - \mu) \\ &= \sigma^2 + \rho^2 \sigma^2 - 2\rho \sigma^2 \rho \\ &= \sigma^2 (1 - \rho^2) \end{aligned}$$

$$E d_{k+1} = E (f_{k+1} - \rho f_k - (1-\rho)\mu) = \mu - \rho\mu - (1-\rho)\mu = 0$$

$$\frac{\sigma^2(d_{k+1})}{\sigma^2(f_{k+1})} = 1 - \rho^2; \quad \frac{\sigma(d_{k+1})}{\sigma(f_{k+1})} = \sqrt{1 - \rho^2} \quad (\rho = 0,9; \sqrt{1 - \rho^2} \approx 0,5)$$

3) Transformationsmethoden:

Unitäre  $(N, N)$ -Matrix,  $g = U f$ ,  $g_k = \begin{cases} g_k, k=1 \dots M \\ b_k, k=M+1 \dots N \end{cases}$ ,  $b_k$  fest.  
 $f^M = U^t g^M$  ist Rekonstruktion.

3.1: Sei  $f = (f_1 \dots f_N)^T$  ein Bild mit  $E f = \mu$ , Korrelationsmatrix  $K_f$ .

Sei  $b = U \mu$ . Dann gilt:

$$E \|f - f^M\|_2^2 = \sum_{i=M+1}^N u_i^t K_f u_i, \quad U = \begin{pmatrix} u_1^t \\ \vdots \\ u_N^t \end{pmatrix}$$

$$\begin{aligned} \text{Bew.: } f - f^M &= f - U^t g^M = U^t U f - U^t g^M = U^t (g - g^M) \\ &= \sum_{i=M+1}^N (g_i - b_i) u_i \\ \|f - f^M\|_2^2 &= \sum_{i=M+1}^N (g_i - b_i)^2, \quad b_i = u_i^t \mu, \quad g_i = u_i^t f \end{aligned}$$

$$\|f - f_M\|^2 = \sum_{i=M+1}^N v_i^t \underbrace{(\mu - f)(\mu - f)^t}_{\text{Dyadisches Produkt}} v_i$$

$$E \|f - f_M\|^2 = \sum_{i=M+1}^N v_i^t (E (\mu - f)(\mu - f)^t) v_i$$

= Kovarianzmatrix  $K_f$

Satz 3.2: Sei  $f$  wie in 3.1. Sei  $V_f = (v_1 \dots v_N)$  die Matrix der orthogonalen Eigenvektore<sub>n</sub> der Kovarianzmatrix  $K_f$ , und seien  $\lambda_1 \geq \lambda_2 \geq \dots \geq \lambda_N$  die zugehörigen Eigenwerte. Dann ist

$$\min_{U^t U = I} E \|f - f_M\|^2 = \lambda_{M+1} + \dots + \lambda_N$$

Das Minimum wird für  $U = V_f$  angenommen

Bemerkung: Die durch  $V_f$  erzeugte unitäre Trafo heißt die Karhunen-Loève-Trafo (oder Hotelling-Trafo) auf  $K_f$ .

a)  $M=0 \dots N$

$$\min_{U^t U = I} \sum_{i=1}^N v_i^t K_f v_i = \min_{U^t U = I} \text{Spur}(U K_f U^t) = \text{Spur}(K_f) = \lambda_1 + \dots + \lambda_N$$

(b)  $0 < M < N$

Lagrange'sche Multiplikatoren:  $\min F(x)$  unter  $g_i(x) = 0, i=1 \dots p$ .

Notwendige Bedingung:  $\exists \beta_1 \dots \beta_p$  mit  $\sum_{i=1}^p \beta_i g_i(x)$  stationär, bzw.

sämtliche partielle Ableitungen nach  $x$  verschwinden.

$$\text{Anwendung: } \sum_{i=M+1}^N v_i^t K_f v_i - \sum_{i=k=M+1}^N \beta_{ik} (v_i^t v_k - \delta_{ik})$$

$$\frac{d}{d v_j} : 2 K_f v_j - \sum_{i=M+1}^N \beta_{ij} v_i - \sum_{\substack{i=M+1 \\ i \neq j}}^N \beta_{ij} v_j = 0$$

d.h.  $K_f v_j \in \langle v_{M+1} \dots v_N \rangle = V$ ,

d.h.  $V$  ist invarianter Unterraum von  $K_f$ .

$$\Rightarrow V = \langle v_1 \dots v_{N-M} \rangle$$

$K_V =$  Restriktion von  $K_f$  auf  $V$ .

$$\min_{U^t U = I} \sum_{i=M+1}^N v_i^t K_f v_i = \min_{\substack{v_i \in V \\ v_i^t v_k = \delta_{ik}}} \sum_{i=M+1}^N v_i^t K_f v_i = \min_{\substack{v_i \in V \\ v_i^t v_k = \delta_{ik}}} \sum_{i=M+1}^N v_i^t K_V v_i \stackrel{(a)}{=} \lambda_1 + \dots + \lambda_{N-M}$$

□



Effizienz von Gittern:

Def 5.3:  $L$  erfüllt die Nyquist-Bed. bzgl.  $K \subseteq \mathbb{R}^n$ , falls  
 $K + \eta, \eta \in \hat{L}$ , paarweise fremd sind.

Wieviel Punkte pro Einheitsvolumen:  $\frac{1}{\text{Fundamentaltbereich}} = \frac{1}{\det(L)}$

Effizienz:  $\frac{1}{\det(L)}$  möglichst klein. ~~so~~

$$\det(\hat{L}) = 2\pi^n \frac{1}{\det(L)}$$

derhalb  $\frac{\text{Vol}(K)}{\det(\hat{L})} \leq 1$  möglichst groß

"

$\eta(L, K) =$  Effizienz von  $L$  bzgl.  $K$ .

Max. Eff.  $\Leftrightarrow \eta(L, K) = 1$ ! (wegen Nyquist-Bedingung),

Beisp.: 1)  $K = [-a, b]^n$ ,  $L = h\mathbb{Z}^n$ ,  $h = \frac{b}{a} \Rightarrow \eta = 1$ .

2)  $\eta = \frac{2^n}{\omega_n}$ ,  $n=1: 1$ ,  $n=2: \frac{\pi}{4} = 0,785$ .

3)  $\eta = \frac{\pi b^2}{2\sqrt{3}b^2}$  ( $n=2!$ ) = 0,907.

6. Invarianten, die auf Momenten basieren

$$\text{Momente: } \int x^k f(x) dx =: m_k(f) \quad x_k = x_1^{\epsilon_1} x_2^{\epsilon_2}$$

$$\text{Translation: } m_k(f) = \frac{1}{m_{00}} \int x^k f(x) dx, \quad m_{00} = \int f(x) dx, \quad m \text{ Baryzentrum.}$$

$$f_Y(x) = f(x-y) : m_k(f_Y) = \frac{1}{m_{00}} \int (x+y)^k f(x) dx = m_k(f) + y^k$$

$$\text{Zentrierte Momente: } \mu_k(f) = \int (x - m(f))^k f(x) dx$$

$$\mu_k(f_Y) = \int (x - m(f_Y))^k f_Y(x) dx = \mu_k(f).$$

$$\text{Rotation: } f_U(x) = f(U^{-1}x) = \int_{x=m(f)}^{\dots} \dots, \quad m(f) = m, \quad \text{Schwerpunkt rotiert mit.}$$

$$\mu_k(f_U) = \int (x - m(f_U))^k f_U(x) dx = \int (x - Um)^k f(U^{-1}x) dx$$

$$= \int (Ux - Um)^k f(x) dx = \int U(x-m)^k f(x) dx.$$

$$(\mu_{20} + \mu_{02})(f_U) = \int |U(x-m)|^2 f(x) dx = (\mu_{20} + \mu_{02})(f), \quad \text{d. h. } \mu_{20} + \mu_{02} \text{ ist invariant.}$$

Witere Invarianten:

$$(\mu_{20} + \mu_{02})^2 + 4\mu_{11}^2; \quad (\mu_{30} - 3\mu_{12})^2 + (3\mu_{21} - \mu_{33})^2; \quad \text{usw.: } (\mu_{30} + \mu_{12})^2 + (\mu_{21} + \mu_{33})^2.$$

#### 4. Erkennung von Teselungen

(Teselung = doppelt periodische Funktion)

$\downarrow$   $2\pi$ -periodisch in beiden Argumenten,  $f(x) = f(x + 2\pi l)$ ,  $l \in \mathbb{Z}^2$ .

$\hat{f}(\xi) = 2\pi \sum_{k \in \mathbb{Z}^2} \hat{f}_k \delta(\xi - k)$  im distributionellen Sinn.

$$\hat{f}_k = \frac{1}{(2\pi)^2} \int_{[0, 2\pi]^2} f(x) e^{-ix \cdot k} dx.$$

$f$  sei  $W$ -periodisch,  $W$  nicht-singuläre  $2 \times 2$ -Matrix, d. h.

$$f(x + Wl) = f(x) \quad \forall l \in \mathbb{Z}^2, W = (w_1, w_2)$$

$f_W(x) = f(W \cdot \frac{1}{2\pi} x)$  ist  $2\pi$ -periodisch in beiden Argumenten

$$\hat{f}_W(\xi) = 2\pi \sum_{k \in \mathbb{Z}^2} \hat{f}_{Wk} \delta(\xi - k)$$

$$\begin{aligned} \text{Aufg. 7: } \hat{f}_W(\xi) &= c_1 \hat{f}\left(\left(\frac{W}{2\pi}\right)^{-t} \xi\right) = c_1 \hat{f}(2\pi W^{-t} \xi) \\ &= c_2 \sum_k \hat{f}_k \delta(\xi - k) \end{aligned}$$

$$\delta_A = \frac{1}{|\det A|} \delta; \quad \delta_A(x) = \delta(Ax); \quad A\xi = \xi'$$

$$\hat{f}(\xi') = c_2 \sum_{k \in \mathbb{Z}^2} \hat{f}_k \delta\left(\frac{1}{2\pi} W^t \xi' - k\right) = c_3 \sum_{k \in \mathbb{Z}^2} \hat{f}_k \delta(\xi - 2\pi W^{-t} k)$$

Praktische Berechnung nicht möglich, denn: bei Abschneiden auf grosses Bild geht die Präzision verloren!

Beispiel:  $\chi_{1/a}(x) = \begin{cases} 1, & x \in [-a, a]^2 \\ 0 & \text{sonst} \end{cases}$

$$\left(\int \chi_{1/a}\right)^{\wedge} = c \int * \chi_{1/a}^{\wedge} \cdot \delta_{-y} * \chi_{1/a}^{\wedge} = \chi_{1/a}^{\wedge}(\xi - \gamma).$$

$$\hat{f} * \hat{\chi}_{1/a} = c \sum_{k \in \mathbb{Z}^2} \hat{f}_k \text{sinc}(a \cdot (\xi - 2\pi W^{-t} k)) \quad (\text{verschmierte Maxima})$$

#### 5. Sind 2 Konturen gleich? (bis auf Bewegung)

(a)  $T: x = \gamma(s)$ ,  $0 \leq s \leq L = \text{Länge von } \gamma$ ,  $s$  Bogenlänge,  $|\dot{\gamma}| = 1$ .

$$\left. \begin{aligned} \int_{\Gamma} f &:= \int_{\Gamma} f = \int_0^L f(\gamma(s)) ds \\ \hat{f}_{\Gamma}(\xi) &= \frac{1}{2\pi} \int_0^L e^{-i\xi \gamma(s)} ds \end{aligned} \right\} \text{Berechne } N, P!$$

(b)  $\Gamma$  Polygonzug, erzeugt von  $a_0, \dots, a_{p-1}$ .

wie oben, oder: Identifiziere  $a_j$  in der Ebene mit  $a_j$  in der komplexen Ebene.

$$\hat{a}_k = \frac{1}{p} \sum_{j=0}^{p-1} e^{-2\pi i k \cdot p} a_j.$$

Translation:  $a_j \rightarrow a_j + b \Rightarrow \hat{a}_j \rightarrow \hat{a}_j + b \delta_{k=0}$ . Normiere  $\hat{a}_j$  <sup>immer</sup> so  $b = \frac{1}{p} \sum a_j$ ,  $a_j \rightarrow a_j - b$ , also  $SP=0$ , also  $|\hat{a}_k|$  invariant.

Drehung:  $a_j \rightarrow U(\varphi) a_j$ ,  $U(\varphi) = \begin{pmatrix} \cos \varphi & -\sin \varphi \\ \sin \varphi & \cos \varphi \end{pmatrix} \hat{=} a_j \rightarrow e^{i\varphi} a_j$   
 $\Rightarrow \hat{a}_k \rightarrow e^{i\varphi} \hat{a}_k$ ,  $|\hat{a}_k|$  invariant.

Änderung der Nummerierung:  $\hat{a}_k \rightarrow \frac{1}{p} \sum_j e^{-2\pi i k \cdot p} a_{j+s} = e^{2\pi i k s} \hat{a}_k$

F D = Fourier-Deskriptor  
(Sammelbegriff)

(d) Gehe  $f, g$  durch Ähnlichkeit auseinander hervor,

$$T_f = \int_{\mathcal{J}^n} P_f(w) dw.$$

Colview: Kontrast 1 / Kontrast 2

Kontrast 1: Ordne die Farben, so daß in jedem Farbstück gleichviele Werte liegen (preferred). Neue Farben erzeugen durch  $\text{intercol}(col_1, col_2, \lambda)$

Kontrast 2: Ordne den Werten neue Farben zu! (mehr Aufwand)  $\rightarrow \lambda \cdot col_1 + (1-\lambda) \cdot col_2!$

$$(v-f, v-f) - (w-f, w-f) + (v-w, v-w) = 0$$

~~$(v-f, v-f)$~~

$$f \rightarrow f+v \Rightarrow v=0 \quad w = v+v'$$

$$f \perp v$$

$$(f, f) - (w-f, w-f) + (w, w) = 0$$

$$(w, w) - (f, f)$$

$$-2(w, f)$$

$$(v, v) + (f, f) + 2 \operatorname{Re} \langle v, f \rangle - \langle w, w \rangle - (f, f) + 2 \operatorname{Re} \langle w, f \rangle + (v-w, v-w) = 0$$

$$(v, v) + 2 \operatorname{Re} \langle v, f \rangle$$

$$(v-f+v', v-f+v')$$

$$\hookrightarrow 2 \operatorname{Re} \langle$$

im Fourierrealm:  $\hat{g} = H(\hat{f})$ ,  $H(\xi) = \begin{cases} 1, & |\xi| \leq b \\ 0, & \text{sonst} \end{cases}$   
 $g = (2\pi)^{-n/2} \tilde{H} * f$ .

1)  $n=2$ :  $\tilde{H}(x) = c J_2(b|x|)/b|x|$

2) Butterworth von Ordnung  $m$ :

$$H(\xi) = \frac{1}{1 + (|\xi|/b)^{2m}}$$

3) Medianfilter: Ersetze durch Median der Umgebung

4) Coefficient rooting:  $\hat{g} = \frac{\hat{f}}{|\hat{f}|^\alpha} \cdot |\hat{f}|^\alpha$ ;  $0 \leq \alpha \leq 1$ .

5) Image restoration:

$$g(x) = \int B(x,y) f(y) dy + u(y)$$

$\uparrow$  Blur
 $\uparrow$  noise

Problem:  $g, B$  gegeben, gesucht  $f$ .  $f = S: \int B(x,y) f(y) dy = B(x,0)$ , point-spread.

Sei  $B(x,y) = B(x-y)$ , z. B.  $B(x) = c e^{-|x|/H^2}$

$$g = B * f + u$$

$$\hat{g} = (2\pi)^{-n/2} \hat{B} \hat{f} + \hat{u}, \quad \hat{f} = (2\pi)^{-n/2} \frac{\hat{g} - \hat{u}}{\hat{B}}, \quad \hat{u} \text{ leider unbekannt.}$$

$$\hat{f} - (2\pi)^{-n/2} \frac{\hat{g}}{\hat{B}} = - \frac{\hat{u}}{\hat{B}}; \quad \hat{B}(\xi) \xrightarrow{\xi \rightarrow \infty} 0 \text{ "sehr schnell"}$$

$\hat{u}$ : Typisch  $|\hat{u}| = \sigma \Rightarrow \frac{\hat{u}}{\hat{B}}$  ist riesengroß für große  $|\xi|$ .

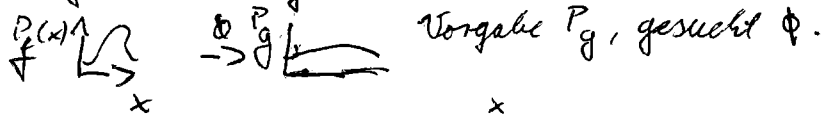
## §5. Bildaufbereitung (Image Enhancement)

### 1. Kontrastverbesserung:

Änderung der Grauwertskala,  $g = \Phi(f)$ ,  $\Phi$  monoton nichtlinear.

Systematische Konstruktion von  $\Phi$  aufgrund von Histogrammen:

$f$  mit Dichte  $P_f$ .



$$P(g \leq \Phi(x)) \Leftrightarrow P(f \leq x) = \int_0^x P_f(x') dx'$$

$$\text{Beisp.} \rightarrow 1) P_g(x) = \begin{cases} 0 & x \leq g_0 \\ \frac{x - g_0}{g_1 - g_0} & g_0 < x < g_1 \\ 1 & x \geq g_1 \end{cases}$$

$$\Phi(x) = \begin{cases} 0, & \Phi(x) \leq g_0 \\ \frac{\Phi(x) - g_0}{g_1 - g_0}, & \Phi(x) \in [g_0, g_1) \\ 1, & \Phi(x) \geq g_1 \end{cases}$$

$$2) P_g(x) = \begin{cases} 0, & x \leq g_0 \\ \alpha \cdot e^{-\alpha(x - g_0)}, & x > g_0 \end{cases}$$

$$\Rightarrow \Phi(x) = g_0 - \frac{1}{\alpha} \ln(1 - P(x \leq f))$$

### 2. Entfernen kleiner Details

(a) direkt:  $g(x) = \sum_k a_k f(x - h_k)$ ; ( $g(h_k)$  berechnet)

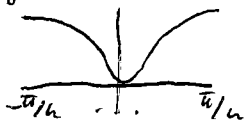
$$= S * f(x), S(x) = \sum_k a_k \delta(x - h_k)$$

$$\hat{g}(\xi) = (2\pi)^{-n/2} \hat{S}(\xi) \hat{f}(\xi), \hat{S}(\xi) = (2\pi)^{-n/2} \sum_k a_k e^{-i h_k \xi}$$

$$= \underbrace{\sum_k a_k e^{-i h_k \xi}}_{H(\xi)} \hat{f}(\xi), H \text{ Hochpass-Filter.}$$

Beispiel:  $g(x) = f(x) - \alpha (f(x-h) + f(x+h))$ ,  $H(\xi) = 1 - \alpha (e^{-i h \xi} + e^{i h \xi}) = 1 - 2\alpha \cos h \xi$

Wichtig:  $h$  ist  $\leq$  Nyquist-Frequenz, also:  $\alpha \leq 1/2$ , insb.  $\alpha = 1/2$ .



$$2) \quad -\alpha$$

$$-\alpha \quad 1 - \alpha \quad \Rightarrow \quad H(\xi) = 1 - 2\alpha (\cos h \xi_1 + \cos h \xi_2), \alpha \leq 1/4, \text{ insb. } \alpha = 1/4.$$

(b) Im Fourier-Raum:  $\hat{g}(\xi) = H(\xi) \hat{f}(\xi)$ .

### 3. Gitterung:

(a) Direkt:  $H(\xi)$  Tiefpass, z. B.  $g(x) = \frac{1}{1+2\alpha} (f(x) + \alpha (f(x-h) + f(x+h)))$

$$H(\xi) = \frac{1}{1+2\alpha} (1 + 2\alpha \cos h \xi),$$

$$\alpha \quad \alpha \quad \alpha \quad \text{für } 2D, H(\xi) = \frac{1}{1+4\alpha} (1 + 2\alpha \cos h \xi_1 + 2\alpha \cos h \xi_2)$$

$$A: F \rightarrow G$$

$$Af = \sum \sigma_k (f, f_k) g_k$$

$$A^*g = \sum \sigma_k (g, g_k) f_k$$

$$Af_k = \sigma_k g_k \quad A^*g_k = \sigma_k f_k$$

$$f_k \text{ EV zum EW } \sigma_k^2 \text{ von } A^*A$$

$$g_k \text{ EV zum EW } \sigma_k^2 \text{ von } AA^*$$

Beisp.:  $A: \mathbb{C}^n \rightarrow \mathbb{C}^m$   $r = R(A)$  maximal.  $A^*A$  hat  $r$  pos. EW  $\sigma_1^2, \dots, \sigma_r^2$

$$AA^*(Af_k) = \sigma_k^2 (Af_k) \cdot g_k := \frac{1}{\sigma_k} f_k \cdot \|g_k\|^2 = \frac{1}{\sigma_k^2} (Af_k, Af_k) = (f_k, f_k) = 1$$

$$f = \sum_{k=1}^r (f, f_k) f_k + f^0, \quad A^*A f^0 = 0 \Rightarrow Af = \sum_k \sigma_k (f, f_k) g_k$$

Matrizenschreibweise:  $F = (f_1 \dots f_r)$ ,  $\Sigma = \begin{pmatrix} \sigma_1 & & 0 \\ & \ddots & \\ 0 & & \sigma_r \end{pmatrix}$ ,  $G = (g_1 \dots g_r)$ .

$$Af = G \Sigma F^* f \Rightarrow A = G \Sigma F^*, \quad A^* = F \Sigma G^*, \quad F, G \text{ orthogonal, } \Sigma \text{ Diag mit pos. ELten} = \text{diag}(\sigma)$$

$$m \begin{bmatrix} \overset{n}{A} \end{bmatrix} = m \begin{bmatrix} \overset{r}{F} \\ \overset{r}{\Sigma} \\ \overset{n}{G} \end{bmatrix}$$

$$A: F \rightarrow \mathbb{C}^m, \quad Af = \begin{pmatrix} \langle f, v_1 \rangle \\ \vdots \\ \langle f, v_m \rangle \end{pmatrix}, \quad (AA^*)_{k,l} = \langle v_k, v_l \rangle \text{ "Gram'sche Matrix"}$$

pos. def. falls  $v_k$  l.u.

$$AA^*g_k = \sigma_k^2 g_k \cdot f_k = \frac{1}{\sigma_k} A^*g_k$$

Lösung von  $Af = g$  durch SVD: durch KQL.

$$A^+ = F Z^{-1} G, \quad A^+g = \sum \frac{1}{\sigma_k} (g, g_k) f_k$$

Satz von der majorierten Konvergenz:  
Seien die nichtnegativen Funktionen  $f_n$  in  $\mathbb{R}^n$ .

$f \geq \sum_{n=0}^{\infty} f_n$  f.ä.,  $|f_n(x)| \leq g(x)$ ,  $g$  integrierbar  $\Rightarrow \sum_{n=0}^{\infty} \int f_n = \int f$ .  
Bem.: (a)  $f_n \geq 0$  (Folgerung 13)

Bem. zu 1.1 (Riemannsche Formeln):  $f, g \in \mathcal{S}$ . Dann gilt:  
a)  $\int f \pm g = \int f \pm g$ ,  $\int f \cdot g = \int f \cdot g$ ,  $\int f \cdot g = \int f \cdot g$

a) Aus dem Bemerkung zu 1.1:

$\int f(x) dx = \int f(x) dx = \int f(x) dx$ . Setze  $x = 0$ .

Bem.: a) Die gleichen Beziehungen gelten auch für  $n$ .  
b) Setze in a)  $f = f_n$ .

2)  $(f, g) := \int f \cdot g$ . Dann mit 5 weiter. Die Parallelschiebung ergibt  $L^2(\mathbb{R}^n)$ .  $(f, g) = (\tilde{f}, \tilde{g})$ , d. h.  $n$ -mal Distributionen von  $\mathcal{S}$ .  
3. Die FT in  $\mathcal{S}$

Def 2.1: Ein lineares Funktionale  $T$  auf  $\mathcal{S}$  heißt Distribution (Temperatur).

falls  $C, k, \alpha$  etc. mit

$|Tf| \leq C \sum_{|\alpha| \leq k} |f^{(\alpha)}|$ ,  $f \in \mathcal{S}$ .  
 $|f^{(\alpha)}| \leq \sup_{x \in \mathbb{R}^n} |x^\alpha| |f(x)|$

Die Menge der Distributionen wird mit  $\mathcal{S}'$  bezeichnet.

Bem.: a)  $g$  mehrfach mit  $\delta$  bezeichnet, d. h.  $\int g(x) |f(x)| dx < \infty$  für ein  $f \in \mathcal{S}$ .

$Tf = \int g(x) dx = \int T\delta = \int \delta(x) g(x) dx = \int g(x) dx$

$T = T_g = g$  (nach Konvention)  
2)  $Tf = f(0)$   $\delta$ -Distribution

3)  $Tf = \int f(x) dx$ ,  $f \in \mathcal{S}$ .  
4)  $\int f(x) dx = \int f(x) dx$

$T = \sum_{k=0}^{\infty} \frac{1}{k!} f^{(k)}(0) x^k$   
 $\int_{-\infty}^{\infty} f(x) dx = \int_{-\infty}^{\infty} \sum_{k=0}^{\infty} \frac{1}{k!} f^{(k)}(0) x^k dx$

4)  $\int_{-\infty}^{\infty} f(x) dx = \int_{-\infty}^{\infty} \sum_{k=0}^{\infty} \frac{1}{k!} f^{(k)}(0) x^k dx$

$\int_{-\infty}^{\infty} f(x) dx = \int_{-\infty}^{\infty} \sum_{k=0}^{\infty} \frac{1}{k!} f^{(k)}(0) x^k dx$

$Tf = \sum_{k=0}^{\infty} \frac{1}{k!} f^{(k)}(0) x^k$





5)  $Tf = \lim_{\epsilon \rightarrow 0} \int_{|x| \geq \epsilon} \frac{f(x)}{x} dx = \int \frac{f(x)}{x} dx$ . PV  $\int \frac{f(x)}{x} dx$ .  
 (n=1!) Integral existiert (innen, außen streichen, MWS).

$|Tf| \leq 2 \sup |f'| + \sup |f(x)| \cdot |x| \cdot \int \frac{dx}{x^2} \checkmark$

Def 2.2: Sei  $T \in \mathcal{S}'$ .

(a) Für  $\alpha \in \mathbb{Z}^n$ :  $(\mathcal{D}^\alpha T)f = (-1)^{|\alpha|} T \mathcal{D}^\alpha f$

(b)  $T_y f = Tf - y \cdot (f_y(x) := f(x+y))$ .

(c)  $g \in \mathcal{S}$ .  $(gT)f = T(gf)$ ,  $f \in \mathcal{S}$ .

(d)  $g \in \mathcal{S}$ .  $(g \checkmark T)(x) = T \checkmark g - x$ ,  $\checkmark g(x) = g(-x)$ .

(e)  $g \in \mathcal{S}$ .  $\checkmark f = T \checkmark f$ .

Weirp.:  $(\mathcal{D}^\alpha \delta)f = \delta(\mathcal{D}^\alpha f) \cdot (-1)^{|\alpha|} = (\mathcal{D}^\alpha f)(0) \cdot (-1)^{|\alpha|}$ .

b)  $n=1$ :  $H(x) = \begin{cases} 1, & x \geq 0 \\ 0, & x < 0 \end{cases}$ .  $T_H(f) = \int H(x)f(x) dx = \int_0^\infty f(x) dx$

$(\frac{d}{dx} T_H)f = -T_H f' = -\int_0^\infty f'(x) dx = f(0)$ .

c)  $\delta_{-y} f = f(y)$ . Schreibweise:  $\int \delta(x-y)f(y) dy = f(x)$

d)  $(\delta_{-y})^\wedge f = \delta_{-y} \hat{f} = \hat{f}(y) = (2\pi)^{-n/2} \int e^{-ixy} f(x) dx$   
 $= T_{(2\pi)^{-n/2} e^{-ixy}}$

$\Rightarrow (\delta_{-y})^\wedge = Tg, g(x) = (2\pi)^{-n/2} e^{-ixy}$

$\Rightarrow (\delta_{-y})^\wedge(x) = (2\pi)^{-n/2} e^{-ixy}, \hat{f}(x) = (2\pi)^{-n/2}$

↳ Vorsicht  $\checkmark \Rightarrow$

e)  $(f * \delta)(y) = \delta(\checkmark f - y) = \checkmark f - y(0) = \checkmark f(y) = f(y)$ .

$\int f(x)\delta(x-y) = f(y)$ .

$(g \checkmark T_h)(x) = T_h(\checkmark g - x) = \int h(y)g(x-y) dy = h * g(x)$ .

f)  $g \in L_1(\mathbb{R}^n), (\checkmark Tg)f = \int g(\xi) \hat{f}(\xi) d\xi = (2\pi)^{-n/2} \int g(\xi) \int_{\mathbb{R}^n} f(x) e^{-ix\xi} dx d\xi$   
 $= (2\pi)^{-n/2} \int f(x) \int g(\xi) e^{-ix\xi} d\xi dx$

$= (T \checkmark g) f$

$g \in L_2(\mathbb{R}^n),$

Satz 2.1: (Plancherel) Zu jedem  $g \in L_2(\mathbb{R}^n) \exists \hat{g} \in L_2(\mathbb{R}^n)$  mit

$$\hat{\hat{g}} = Tg, \|g\| = \|\hat{g}\|.$$

Beweis:  $g \in L_2(\mathbb{R}^n), g_\epsilon(x) = \begin{cases} g(x), & \|x\| \leq \epsilon \\ 0, & \text{sonst} \end{cases} \quad g_\epsilon \in L_1, \hat{g}_\epsilon \text{ existiert.}$   
 $\leftarrow (C-S).$

$$S|g_\epsilon| \approx S1 \cdot g_\epsilon \in S1 \cdot Sg_\epsilon^2.$$

$$\int |g_\epsilon - g_\ell|^2 = \int (g_\epsilon - g_\ell)^2 dx \rightarrow 0, \text{ denn } \int g_\epsilon^2 < \infty.$$
  
 $\epsilon, \ell \rightarrow \infty$

$\Rightarrow g_\epsilon \rightarrow g \in L_2(\mathbb{R}^n)$ , denn  $L_2(\mathbb{R}^n)$  vollständig.

$$\| \hat{g}_\epsilon - \hat{g}_\ell \| = \| g_\epsilon - g_\ell \| \rightarrow 0. \text{ Da } L_2(\mathbb{R}^n) \text{ vollst. : } \hat{g}_\epsilon \rightarrow \hat{g}.$$

$$\begin{aligned} \hat{Tg}f &= Tg\hat{f} = \int g\hat{f} d\xi = \lim_{\epsilon \rightarrow \infty} \int g_\epsilon \hat{f} d\xi \\ &= \lim_{\epsilon \rightarrow \infty} \int \hat{g}_\epsilon f d\xi \end{aligned}$$

Bemerkung:  $\hat{g}_\epsilon(\xi) = (2\epsilon)^{-n/2} \int_{|x| \leq \epsilon} e^{-i \cdot x \cdot \xi} g(x) dx$

$$\hat{g} = \lim_{\epsilon \rightarrow \infty} \hat{g}_\epsilon$$

Schreibweise:  $\hat{g}(\xi) = (2\pi)^{-n/2} \int e^{-i \cdot x \cdot \xi} g(x) dx$

Bemerkung:  $\sum_{\ell} \hat{f}(2^{\alpha} \ell) = (2^{\alpha})^{-n/2} \sum_{\ell} f(\ell)$

$\hat{f}(0) = (2^{\alpha})^{-n/2} \sum_{\ell} f(\ell) - \sum_{\ell \neq 0} \hat{f}(2^{\alpha} \ell)$

$(2^{\alpha})^{-n/2} \int f(x) dx \Rightarrow \int f(x) dx = \sum_{\ell} f(\ell) - (2^{\alpha})^{n/2} \sum_{\ell \neq 0} \hat{f}(2^{\alpha} \ell)$

$\int f(hx) dx = \sum_{\ell} f(h\ell) - (2^{\alpha})^{n/2} \sum_{\ell \neq 0} \hat{f}(2^{\alpha} \ell/h)$

$\Rightarrow \int f(x) dx = h^n \sum_{\ell} f(h\ell) - (2^{\alpha})^{n/2} \sum_{\ell \neq 0} \hat{f}\left(\frac{2^{\alpha} \ell}{h}\right)$

Trapezregel

Integrationsfehler der Trapezregel, = 0 falls  $f(\xi) = 0 \forall |\xi| \geq \frac{2\pi}{h}$

In Satz 3.1:  $(f, g) = (2^{\alpha})^{n/2} \sum_{\ell \in \mathbb{Z}^n} \hat{f}_{\ell} \hat{g}_{\ell}$ , Parseval'sche Formel

4. Shannon's Abtatttheorem

Def.:  $f \in L_2(\mathbb{R}^n)$  heißt bandbeschränkt mit Bandbreite  $b$  falls  $\hat{f}(\xi) = 0 \forall |\xi| \geq b$ .

Beisp:  $n=1: z(x) = \begin{cases} 1, & -1 \leq x \leq 1 \\ 0, & \text{sonst} \end{cases} \quad \hat{z}(\xi) = (2\pi)^{-1/2} \int e^{i\xi x} dx$

$= (2\pi)^{-1/2} \frac{e^{i\xi} - e^{-i\xi}}{i\xi} = \frac{(2\pi)^{-1/2} \cdot 2 \sin \xi}{\xi} = \left(\frac{2}{\pi}\right)^{1/2} \frac{\sin \xi}{\xi} = \left(\frac{2}{\pi}\right)^{1/2} \text{sinc}(x)$

$\hat{\text{sinc}} = \left(\frac{\pi}{2}\right)^{1/2} z$  ist bandbeschränkt mit Bandbreite 1.

$\text{sinc}_b^{\wedge} = b^{-1} \left(\frac{\pi}{2}\right)^{1/2} z_{1/b}$  (Bandbreite  $b$ )



Detail der Größe  $\frac{2\pi}{b}$

$n \geq 1: \text{sinc}_b(x) = \pi \text{sinc}(x)$

$\text{sinc}_b^{\wedge} = \left(\frac{\pi}{2}\right)^{n/2} b^{-n} z_{1/b}^{\wedge}; z_{1/b}^{\wedge}(x) = \begin{cases} 1, & x \in [-b, b] \\ 0, & \text{sonst} \end{cases}$

Bandbreite  $\hat{=} b$ .

3)  $z_b(x) = \begin{cases} 1, & |x| \leq 1 \\ 0, & \text{sonst} \end{cases}$  Radial!

Aufg. 6:  $\int_{S^{n-1}} e^{i\sigma \cdot \omega} d\omega = (2\pi)^{n/2} \sigma^{-(n-2)/2} J_{(n-2)/2}(\sigma)$

$\hat{f}(\rho) = \rho^{-(n-2)/2} \int_0^{\infty} r^{n/2} J_{(n-2)/2}(r\rho) f(r) dr$

$\hat{z}_n(\xi) = |\xi|^{-(n-2)/2} \int_0^1 r^{n/2} J_{(n-2)/2}(r|\xi|) dr$

$\int_0^1 t^{\nu} J_{\nu}(t) dt = 2^{\nu} J_{\nu+1}(2)$

$\hat{z}_n(\xi) = |\xi|^{-n/2} \int_0^{|\xi|} t^{n/2} J_{n/2}(t) dt = \frac{J_{n/2}(|\xi|)}{|\xi|^{n/2}} = \text{sinc}(\xi)$ , Bandbreite 1.

### §3. Fourierreihen

$$\int_{[0, 2\pi]^n} e^{ikx} \cdot e^{-ilx} dx = \begin{cases} 0, & k \neq l \\ (2\pi)^n, & \text{sonst.} \end{cases} \quad \|e^{ikx}\| = (2\pi)^{n/2}$$

$$f \in L^2 \Rightarrow \int_{[0, 2\pi]^n} f(x) dx = (2\pi)^{-n} \sum_{k \in \mathbb{Z}^n} e^{-ikx} f(x) dx, \text{ Fourier-Koeff.}$$

Satz 3.1:  $f \in C^\infty(\mathbb{R}^n)$  und in allen Arg.  $2\pi$ -periodisch.

$$\Rightarrow f(x) = \sum_{k \in \mathbb{Z}^n} e^{ikx} \hat{f}_k \text{ gleichmäßig (und absolut).}$$

$$\text{Es gilt: } \|f\|^2 = (2\pi)^n \sum_{k \in \mathbb{Z}^n} |\hat{f}_k|^2$$

$$\text{Bew (n=1): } \sum_{|k| < K} q^k = q^{-k+1} \sum_{k=0}^{2K-2} q^k = q^{-k+1} \frac{q^{2K-1} - 1}{q - 1} \quad (q \neq 1)$$

$$= \frac{q^K - q^{-k+1}}{q - 1}$$

$$\Rightarrow \sum_{|k| < K} e^{ikx} = \frac{e^{ikx} - e^{i(-k+1)x}}{q - 1}$$

$$= \frac{e^{ix} - 1}{e^{i(k-\frac{1}{2})x} - e^{i(-k+\frac{1}{2})x}}$$

$$= \frac{\sin((k-\frac{1}{2})x)}{\sin(\frac{x}{2})} \quad \begin{matrix} x \neq 2k\pi \\ 2k-1, x=2k\pi \end{matrix}$$

$$\sum_{|k| < K} e^{ikx} \hat{f}_k = (2\pi)^{-n} \int_{[0, 2\pi]^n} \sum_{|k| < K} e^{ikx - iky} f(y) dy$$

$$= \int_0^{2\pi} f(y) \sum_{|k| < K} e^{ik(x-y)} dy$$

Wenn  $f$  nicht da wäre, wäre das Integral 1.

$$\text{also: } f(x) = \int_0^{2\pi} f(y) \frac{\sin((k-\frac{1}{2})x)}{\sin(\frac{x}{2})} dy$$

$$\sum = \int_0^{2\pi} f(y) \frac{\sin((k-\frac{1}{2})x)}{\sin(\frac{x}{2})} dy$$

$$\Rightarrow f(x) - \sum = \int_0^{2\pi} (f(x) - f(y)) \frac{\sin((k-\frac{1}{2})(x-y))}{\sin(\frac{x-y}{2})} dy$$

$$= \int_0^{2\pi} g_x(y) \frac{\sin((k-\frac{1}{2})(x-y))}{\sin(\frac{x-y}{2})} dy; \quad g_x(y) = \frac{f(x) - f(y)}{\sin(\frac{x-y}{2})}$$

$$= \frac{1}{2\pi} \int_0^{2\pi} \left\{ - \int_0^{2\pi} g_x'(y) \cos((k-\frac{1}{2})(x-y)) dy + [g_x(y) \cos((k-\frac{1}{2})(x-y))]_0^{2\pi} \right\}$$

= 0  $\left(\frac{1}{k}\right)$  glm. in  $[0, 2\pi]$ , also in  $\mathbb{R}$ .

$$f = \sum_k e^{ikx} \hat{f}_k \quad \|f\|^2 = \sum_{k \in \mathbb{Z}^n} (2\pi)^n |\hat{f}_k|^2 \quad \square$$

Satz 4.1 (Shannon): Sei  $f$   $b$ -bandbeschränkt,  $0 < h \leq \frac{\pi}{b}$ . Dann ist  $f$  eindeutig bestimmt durch  $f(hk)$ ,  $k \in \mathbb{Z}^n$ , und es gilt:

$$f(x) = \sum_{k \in \mathbb{Z}^n} f(hk) \underset{\substack{\uparrow \\ n\text{-dimensional}}}{\text{sinc}} \left( \frac{\pi}{h} (x - hk) \right)$$

Sind  $f$  und  $g$   $b$ -bandbeschränkt, so gilt:

$$\int f \cdot g \, dx = h^n \sum_{k \in \mathbb{Z}^n} f(hk) g(hk)$$

Bemerkungen:

1.  $h \leq \frac{\pi}{b}$  heißt Nyquist-Bedingung.

$h < \frac{\pi}{b}$ : Oversampling (Überabtasten).

$h > \frac{\pi}{b}$ : Undersampling (Unterabtasten)

( $\because f(x) = \sin x; \hat{f}(\xi) = c(\delta_{\xi=1} - \delta_{\xi=-1})$  ("Bandbreite 1"))

$h \leq \frac{\pi}{b} = \pi \Rightarrow \sin(\pi k) = 0$ , also Shannon nicht anwendbar!

F T

f: Diskrete ~~FT~~ FT eines n-dim. Vektors:

$$Y_k = \sum_{s=0}^{n-1} e^{-iks \frac{2\pi}{n}} y_s, \quad \mathcal{O}(Y * z)_s = \sum_{l=0}^{n-1} Y_l z_{s-l}$$

$$Y_s = \sum_{k=0}^{n-1} e^{iks \frac{2\pi}{n}} Y_k, \quad q := e^{\frac{2\pi i}{n}}$$

Eig:  $\tilde{Y}_s = \sum_{k=0}^{n-1} e^{iks \frac{2\pi}{n}} Y_k$

$$= \sum_{k=0}^{n-1} \sum_{l=0}^{n-1} e^{iks \frac{2\pi}{n}} e^{-ikl \frac{2\pi}{n}} Y_l$$

$$= \sum_{l=0}^{n-1} \left( \sum_{k=0}^{n-1} e^{i \frac{2\pi}{n} k (s-l)} \right) Y_l$$

$$\left( \sum_{k=0}^{n-1} \left( e^{i \frac{2\pi}{n} k (s-l)} \right) \right) Y_l \quad (\text{geom. Summe})$$

~~$(Y * z)_k = \sum_{s=0}^{n-1} e^{-iks \frac{2\pi}{n}} (Y * z)_s$~~

~~$= \sum_{s=0}^{n-1} \sum_{l=0}^{n-1} e^{-iks \frac{2\pi}{n}} Y_l z_{s-l}$~~

~~$= \sum_{l=0}^{n-1} \left( \sum_{s=l}^{n-1} e^{-iks \frac{2\pi}{n}} Y_l z_{s-l} \right)$~~

~~$= \sum_{l=0}^{n-1} \left( \sum_{s=0}^{n-1-l} e^{-ik(s+l) \frac{2\pi}{n}} Y_l z_s \right)$~~

$$= \sum_{l=0}^{n-1} \left( \sum_{s=0}^{n-1} e^{-iks \frac{2\pi}{n}} Y_{s-l} \right) e^{+ikl \frac{2\pi}{n}}$$

$$\begin{aligned}
(\vec{y} * \vec{z})_k &= \sum_{s=0}^{n-1} e^{-ik s \frac{2\pi}{n}} (\vec{y} * \vec{z})_s \\
&= \sum_{s=0}^{n-1} \sum_{\ell=0}^{n-1} e^{-ik s \frac{2\pi}{n}} y_\ell z_{s-\ell} \\
&= \sum_{\ell=0}^{n-1} \sum_{s=0}^{n-1} e^{-ik s \frac{2\pi}{n}} y_\ell z_{s-\ell} \\
&= \sum_{\ell=0}^{n-1} \sum_{j=-\ell}^{n-1-\ell} e^{-ik(s+\ell) \frac{2\pi}{n}} y_\ell z_j \\
&= \left( \sum_{\ell=0}^{n-1} e^{-ik\ell \frac{2\pi}{n}} y_\ell \right) \left( \sum_{s=0}^{n-1} e^{-iks \frac{2\pi}{n}} z_s \right) \\
&= \begin{pmatrix} \vec{y} \end{pmatrix}_k \cdot \begin{pmatrix} \vec{z} \end{pmatrix}_k
\end{aligned}$$

$$\Rightarrow \vec{y} * \vec{z} = \vec{y} \cdot \vec{z} \text{ im } \mathbb{R}^n.$$

Sei  $F$   $N \times M$ -Bild.

$$F(n, m) = \sum_{k=0}^{N-1} \sum_{s=0}^{M-1} e^{i(kn \cdot \frac{2\pi}{N} + s \cdot m \cdot \frac{2\pi}{M})} F(k, s)$$

Separabel!

$$= \sum_{k=0}^{N-1} e^{i(kn \cdot \frac{2\pi}{N})} \sum_{s=0}^{M-1} e^{i(s \cdot m \cdot \frac{2\pi}{M})} F(k, s)$$

$$\text{Faltung im } \mathbb{R}^2: F * G = \sum_{k=0}^{(n,m) N-1} \sum_{s=0}^{M-1} F(k, s) G(k-n, s-m)$$

$$\Rightarrow (F * G) = \vec{F} \cdot \vec{G}$$

$$\Rightarrow (F * G) = (\vec{F} \cdot \vec{G})$$

# Schnelle FT

$$\begin{aligned} \hat{Y}_k &= \sum_{s=0}^{m-1} Y_s q^{sk} & m = n/2 \\ &= \sum_{s=0}^{m-1} Y_{2s+1} q^{(2s+1)k} + \sum_{s=0}^{m-1} Y_{2s} q^{2sk} \\ &= q^k \left( \underbrace{\sum_{s=0}^{m-1} Y_{2s+1} q^{2sk}}_{a_k = a_{m+k}} \right) + \left( \underbrace{\sum_{s=0}^{m-1} Y_{2s} q^{2sk}}_{b_k = b_{m+k}} \right) \end{aligned}$$

~~$a_k = a_{m+k}$~~

Aufwand:  $n^2$ .

$$\begin{aligned} \text{Aufwand: } m^2 + m^2 \\ = 2m^2 = \frac{n^2}{2} \end{aligned}$$

Rekursiv möglich.

Aufwand:  $n \log n$  !